

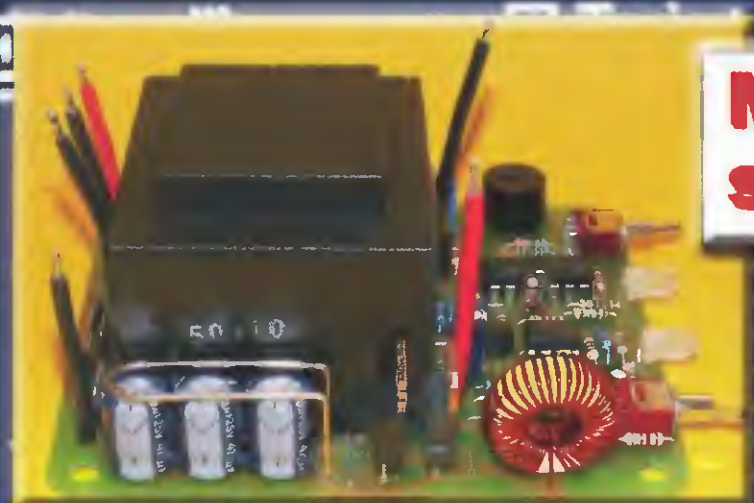
PRAKTICKÁ ELEKTRONIKA

7
2012

Nezapomeňte přes léto
na Konkurs PE-AR 2012

Amatérské

RADIO

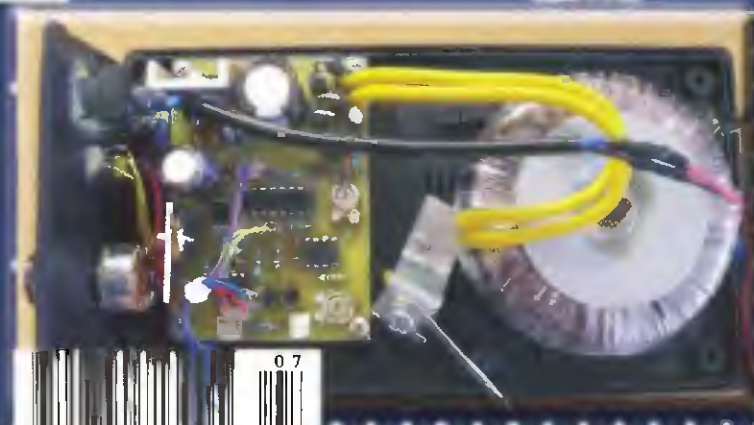


MPos:0.00us
**Malý nabíječ
se síťovým zdrojem**

Pomocný oscilátor



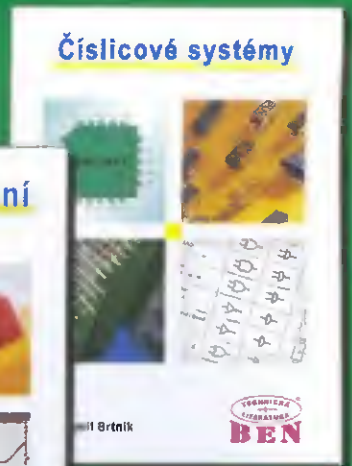
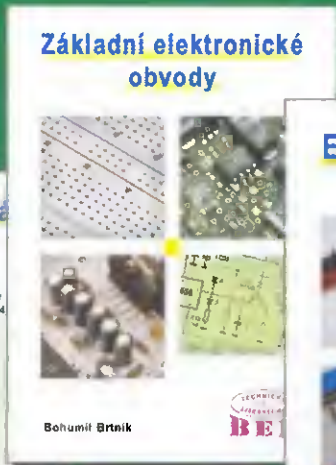
**Koncové zesilovače
200 W a 350 W**



Mikropájka



9 771804 717005



Nova řada
učebnic e-elektroniky



Kvalitní vypínače z ukončených výrob za nápadně nízké ceny

Co v BENu dále koupíte:
Mikrokontroléry MicroWin PIC
Dílničky ELEPCOM, integrované
obvody TESLA, čipové diody
diody TRIPLET, regulátory napětí
– diody 43490 MUB se SAW
na vstupu, řízení s novou pro-
jektovou knihovnou, a mnoho dalších
účinných výrobků



Koho by ještě před nedávnem napadlo, že se v prodejně
s knihami objeví výprodej součástek za poloviční ceny.



Nejúspěšnější
elektronická kniha
poslední doby



Nejúspěšnější
tištěná kniha
poslední doby



Dosud neúspěšnější
tištěné knihy

V TOMTO SEŠITĚ

Náš rozhovor	1
Světlozor	3
AR mládeži:	
Základy elektrotechniky	4
Jednoduchá zapojení pro volný čas	7
Malý nabíječ se síťovým zdrojem	11
Pomocný oscilátor	15
Mikros pájkačka	18
Zahradní osvětlení s LED	19
Přijímač pro signály "meteorologických satelitů NOAA ve formátu HRPT (pokračování) ..."	20
Picaxe mikrokontrolér pro začátečníky a snadné použití (3)	23
Nizkofrekvenční zesilovač N-MOS	25
Inzerce	I-XVI, 56
Xprotolab - šikovný trpaslík (dokončení)	29
Zdroj malého záporného napětí	30
Antény	31
Stereofonní studiový VU metr s LED stupnicí	33
Koncové zesilovače 200 W a 350 W	37
PC hobby	41
Rádio "Historie"	45
Z radioamatérského světa	49

PRAKTICKÁ ELEKTRONIKA Amatérské RADIO

Redakce: Šéfredaktor: ing. Josef Kellner, redaktoři: ing. Jaroslav Belza, Petr Havliš, OK1PFM, ing. Miloš Munzar, CSc.

Adresa redakce: Karlovo nám. 557/30, 120 00 Praha 2, tel.: 257 317 310, 222 968 376.

Ročně vychází 12 čísel. Cena výtisku 75 Kč.

Rozšiřuje První novinová společnost a. s., Mediaprint-Kapa a. s. a soukromí distributoři.

Předplatné v ČR zajišťuje Amaro spol. s r. o. Hana Merglová (Karlovo nám. 30, 120 00 Praha 2, tel.: 257 317 312; tel./fax: 257 317 313; odbyt@aradio.cz). Distribuci pro předplatitele také provádí v zastoupení vydavatele společnost Mediaservis s. r. o., Zákaznické Centrum, Videňská 995/63, 639 63 Brno; tel.: 541 233 232; fax: 541 616 160; předplatne@mediaservis.cz; reklamace - tel.: 800 800 890. **Objednávky do zahraničí:** Mediaservis s. r. o., Zákaznické Centrum, Videňská 995/63, 639 63 Brno; export@mediaservis.cz; tel.: +420 532 165 165.

Předplatné v Slovenskej republike vybavuje Magnet-Press Slovakia s. r. o., Šustekova 10, 851 04 Bratislava - Petržalka; korešpondencia P. O. BOX 169, 830 00 Bratislava 3; tel./fax (02) 67 20 19 31-33 - předplatné; e-mail: předplatne@press.sk.

Podávání novinových zásilek povoleno Českou poštou - ředitelstvem OZ Praha (č.j. nov 6005/96 ze dne 9. 1. 1996).

Inzerce přijímá redakce - Michaela Hrdličková, Karlovo nám. 30, 120 00 Praha 2; tel./fax: 257 317 313; inzerce@aradio.cz.

Za původnost a správnost příspěvků odpovídá autor (platí i pro inzerce).

Vydavatel: AMARO spol. s r. o., IČO 63487233.

Vychází: 5. den v daném měsíci.

Internet: <http://www.aradio.cz>

E-mail: pe@aradio.cz

Nevyžádané rukopisy nevracíme.

ISSN 1804-7173, MKČR E 7409

© AMARO spol. s r. o.

NÁŠ ROZHOVOR



s ředitelem nakladatelství BEN -
- technická literatura, panem
Liborem Kubíčkou o novém smě-
ru vydávání a budoucnosti.

Na každém kroku je v dnešní době slyšet slovo „krize“. Dotklo se to i vašeho nakladatelství?

Takové škrcení veškerého podnikání, jaké provozuje naše vláda, to musí zasáhnout každého. Je jen málo oborů, kterých se to nedotklo. Bohužel toho našeho velmi silně. Zpočátku jsme přirozenou fluktuací snižovali počet našich zaměstnanců. Loni na podzim navíc však ekonomický tlak donutil zavést všechny naše mimopražské pobočky.

Co na to zákazníci? Vždyť už byli zvyklí k vám chodit po mnoho let.

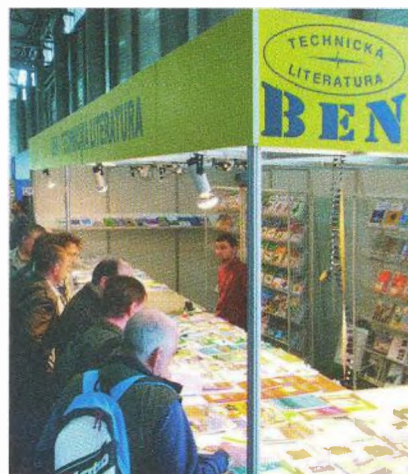
Dostal jsem mnoho emailů, v nichž lidé tesknili po našem širokém výběru pod jednou střechou a těžko se s tím smiřovali. Byl to pro mě impuls, že to tak nemůžu nechat. Následně jsem podepsal smlouvu o spolupráci se dvěma obchodními sítěmi nabízející výdejní místa pro eshopy. Dokážeme tak naše knihy dostat do druhého dne do většiny větších českých a slovenských měst za nižší přepravní náklady, než nabízí Česká pošta. A navíc poštou to trvá zpravidla dva dny, pokud si nepříplatíte.

Nevidím se, že vaši zákazníci tesknili. Vždyť mít takový výběr pohromadě. Sám si vzpomínám, že jsem pro redakci sháněl knihu o grafice a u vás jste jich měli několik. Od každého, kdo o tom něco vydal, i od menších, méně známých nakladatelů.

Víte, mnoho lidí je zvyklých si knihu před nákupem prolistovat, aby se



Elektronické knihy se prodávají ve formátu PDF na CD ROM nebo stažením přes internet (www.ben.cz/eknihy)



Tlačeničky před stánkem na veletrhu AMPER 2012 v Brně dokládá, že o technické knihy je stále zájem

ujistili, že v ní najdou to, co potřebují. Naše nakladatelství bylo jedno z prvních, které vystavilo podrobné obsahy a ukázky knih na webu. Abychom rozptýlili obavy z nákupu přes internet, nabízíme, že každý může knihu do 14 dnů vrátit, pokud zjistí, že kniha není to, co si představoval.

Není to dané zákonem?

Právo na vrácení zboží bez udání důvodu vyplývá ze zákona, avšak nevztahuje se na knihy ani na elektronická data. Naše firma nabízí toto nad rámec zákona. Platí to jen na tištěné knihy, nikoliv na elektronické.

Zminil jste elektronické knihy. Již jste s tím začali i vy?

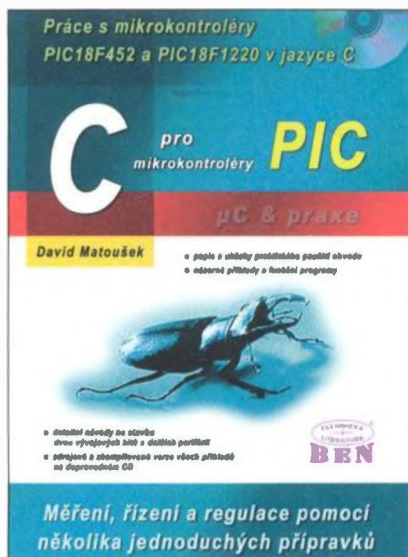
No již více než před rokem. Začali jsme v listopadu 2010, loni v dubnu jsme převedli asi 100 titulů do formátu PDF. Ke dnešku máme z našich celkových 300 již 151 titulů, které nyní nabízíme přes naše elektronické knihkupectví.

A chtějí to vůbec elektronice?

Asi byste se divil. Někteří dokonce nakupují opakovaně. PDF zatím připravujeme pro každého zákazníka individuálně. Myslím tím to, že PDF personalizujeme skrytými i viditelnými značkami. Ale poptávka začíná narůstat tak, že snad konečně v září letošního roku budeme muset spustit automatizovaný eshop.

Já bych tedy technickou knihu v počítači nečetl - jediné z elektronické čtečky.

Nejedná se o to, že by někdo chtěl číst z počítače. Někomu stačí v danou dobu jen část knihy, tak si z PDF vytiskne potřebné stránky. V některých firmách zakládají odborné elektronické knihovny. Další skupinou zákazníků jsou technici, kteří si pro řešení problémů potřebují zachovat mobilitu. To se pozná například nejen podle toho, že na dané téma objed-



Nejúspěšnější kniha poslední doby:
„C pro mikrokontroléry PIC“

nají všechny knihy v PDF, které se i částečně problematikou překrývají. A pak, když mimo svoje běžné pracoviště řeší nějaký technický oříšek, mají vše nezbytné s sebou.

Jaká je cenová hladina elektronických knih?

Průměrně prodáváme asi za polovinu oproti běžným pultovým cenám. Některé starší spíše za méně, ty novější spíše za více. Maximum bych řekl, že je někde kolem 60 až 65 %. Nejdražší knihy, které v tištěné podobě stojí přes 1000 Kč, jsou v PDF maximálně za 500 Kč.

A vyplatí se prodej také u levnějších knih?

Sice na elektronické knihy je vyšší DPH, ale uspořili jsme na tom, že knihy prodáváme jen sami. V dnešní době internetu je to snadné. Jak jsem řekl před chvílí, až nám pojede automatizovaný eshop, pak nás to nebude zatěžovat vůbec.

Vaše nadšení mi nedá nezeptat se, jestli se ještě vyplatí vydávat odborné knihy?

Ne nevyplatí. Vše již dělám jen z prostého entuziasmu. Pirátství vše zničilo. Jinými slovy se přetřnul řetěz s příjmy pro financování nových knih. Piráti si sami podřízli větev. Krátkodobě sice parazitovali na našich knihách, ale do nových hodnotnějších titulů již žádné investice nejdou. Investice do každého takového titulu představuje přibližně 250 až 400 tisíc korun.

To už tedy nic nevydáváte?

Tak zlé to zase není. Za poslední rok jsme vydali poměrně dost nových titulů, většinou díky různým grantům. Příkladem může být edice učebnic elektroniky. U některých dalších knih se autoři zřekli honorářů a zpracovali

si stránky do tiskové podoby, jen aby publikace vyšly. U jiného titulu je zase vydání financováno firemní inzercí. Obecně platí, že knihy vycházejí ve velmi malém nákladu a jejich cena je přibližně dvojnásobná, než by byla kdysi. U některých knih, které jsme si nechali dotiskovat v malém nákladu na digitálních strojích, jsme museli zvednout cenu, abychom nebyli pod náklady.

Jediná rozsáhlejší kniha, která vyšla loni a kterou jsme celou financovali sami, je na téma Programování mikrokontrolérů PIC v jazyce C. Naštěstí to bylo zajímavé téma, po kterém byl docela hlad. Věřím, že už letošní září se investice do knihy vrátí.

Co tedy s pirátstvím?

Podívejte se na www.cpufilm.cz, najdete tam zajímavé příběhy pirátů. On je každý v internetových diskuzích hrdinou. Osobně si myslím, že na každého postupně dojde, jak se tomu nakladatelé a vydavatelé budou věnovat, alespoň jako já. Někteří piráti mě teď nemají rádi (úsměv).

Vidím však, že přesto máte stále radost ze života a že krize vám na psychiku nepůsobí. To určitě připravujete nějaké překvapení.

Ono se to nedá nazvat jako překvapení. Kdysi jsem prodával součástky po burzách. Pak jsem strávil v tomto byznysu jako vedoucí prodejny GM electronic více než tři roky a tak trochu mi to chybí. A tak jsem si říkal, že v naší prodejně ve Strašnicích začnu s nějakými drobnostmi. Vypínače, rezistory, běžné integrované obvody apod. Víte, já jsem hrozný „sysel“, mám doma ve svém bytě na chodbičce a v ložnici přepravky se součástkami. Z obýváku mě už moje manželka vystrnadila. Tím chci jen dokladovat, že mě součástky stále baví. Možná je i začnu sbírat (smích).

Sbírat součástky?

Skutečně. Několik sběratelů se na mě během posledního roku obrátilo. Možná založí i muzeum součástek TESLA. To asi přeháním, zatím začnu jen s prodejem součástek TESLA.

I takové rezistory TR 191 mají v domácím bastlení své kouzlo. Z mla-



Rezistory řady TR 191



Libor Kubica a jeho vztah k součástkám – křest knihy „Začínáme s Labview“ na podzim roku 2008 pomocí směsi součástek SMD.

Zleva: nakladatel Libor Kubica, autoři Jaroslav Vlach, Josef Havlíček, Martin Vlach, Viktorie Vlachová a ředitel National Instruments pan Radim Štefan.

dých elektroniků je dnes nikdo nezná. Když někomu řeknete, že existují miniaturní rezistory s hodnotou napsanou na těle, tak na vás kouká a nevěřícně kroutí hlavou. Mě samotného nebaví zapojení odsimulovat a z toho udělat automatickým návrhem plošný spoj. Mnohdy si udělám nějaké to „vrabčí hnízdo“ a pak na první pohled vidím odpor rezistoru, který tam mám, i když některé proužkované kombinace znám z hlavy také. Proto si na základě této své zkušenosti myslím, že když v Praze bude prodejna s těmito rezistory, tak to bude jenom k dobru.

Tomu bych nevěřil, v dnešní době některé prodejny se součástkami jsou spíše na hranici přežití.

Nechci otevírat novou prodejnu, ale jen to zkusit v té naší někdy od podzimu. Stejně k nám už elektronici chodí. A je to na trase metra. Navíc jsem zjistil zajímavou věc: v Praze nenajdete prodejnu, ve které byste koupil součástky TESLA. Sice existuje nějaký bazar, ale ten není přes pracovní den normálně otevřen, až později odpoledne. Takže když někdo z Prahy potřebuje obyčejný MH7400, tak si ho musí objednat přes internet, a kvůli poštovnímu se to nevyplatí. Druhou možností je čekat na burzu OK1KFX na Jarově, která se koná jednou za dva měsíce (o prázdninách ne).

Tak to vám držím palce. Co byste chtěli našim čtenářům vzkázat na závěr?

Aby se nenechali otrávit situací a státní správou. Aby se vykašlali na závistivé kolegy. Aby si nic nedělali z blbců, kteří se jim připeletou do života. Aby hledali cestičky k vlastnímu štěstí v elektronice a bastlení. Zkrátka aby dělali to, co je baví, i když by to bylo třeba za menší výplatu.

Děkuji vám za rozhovor a přeji, aby vám to nadšení a optimismus vydržely.

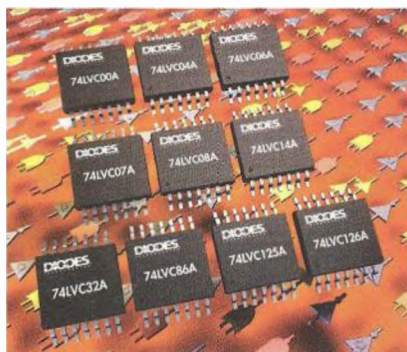
Připravil Ing. Josef Kellner.

SVĚTOZOR



Logické obvody CMOS pro všeobecné použití a malá napětí

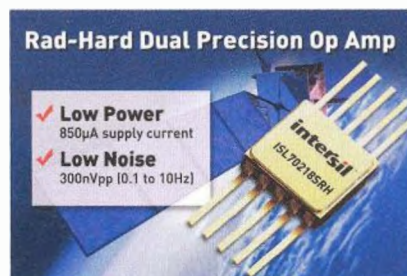
Firma **Diodes Incorporated** (www.diodes.com) rozšířila svou řadu nízkonapěťových CMOS logických obvodů LVC dosud tvořenou inventory, případně se vstupními Schmittovými klopnými obvody (KO) a oddělovači, o součástky v 14východových pouzdrech TSSOP realizující dalších 10 funkcí. Nové obvody 74LVCxx jsou určeny zvláště pro použití v stolních a přenosných počítačích a jejich perifériích, jako jsou pevné a optické disky, v síťových zařízeních typu routerů a hubů, ale také v televizních přijímačích, set-top boxech, rekordérech a herních konzolích. Nové IO, které jsou přímými ekvivalenty součástek ostatních výrobců, jsou 74LVC00AT14-13 (čtyři dvouvstupové NAND), 74LVC04AT14-13 (šest invertorů), 74LVC06AT14-13 (šest invertorů s otevřeným kolektorem), 74LVC07AT14-13 (šest oddělovačů s otevřeným kolektorem), 74LVC08AT14-13 (čtyři dvouvstupová hradla AND), 74LVC14AT14-13 (šest invertorů se Schmittovými KO na vstupu), 74LVC32AT14-13 (čtyři dvouvstupová hradla OR), 74LVC86AT14-13 (čtyři dvouvstupová hradla), 74LVC125AT14-13 (čtyři třístavové oddělovače OE LOW), 74LVC126AT14-13 (čtyři třístavové oddělovače OE HIGH). Hlavní výhodou nových obvodů je rozsah napájecího napětí 1,65 V až 5,5 V a odběr ve většině případů menší než 1 μ A.



Přesný operační zesilovač odolný vůči radiaci

Běžný uživatel je potřebovat nebude, přesto je zajímavé o existenci těchto součástek vědět. Firma **Intersil** (www.intersil.com) rozšířila řadu operačních zesilovačů odolávajících radiaci (Rad-Hard) o typ ISL70218SRH obsahující v plochem keramickém

pouzdrě s 10 vývody dva přesné zesilovače s malým příkonem napájené jedním zdrojem o napětí 3 až 36 V (případně +1,8/-1,2 V až \pm 18 V) s typickou vlastní spotřebou 850 μ A a rozkmitem výstupu Rail-to-Rail (<10 mV). Vstupní napěťový ofset je typicky 40 μ V. Velmi příznivé jsou i šumové parametry, vstupní napěťový šum 5,6 nV/ \sqrt Hz, proudový šum 355 fA/ \sqrt Hz. Zesilovače mají rozsah pracovních teplot -55 až +125 $^{\circ}$ C a odolávají dávce radiace až 100 krad (Si). Operační zesilovače ISL70218SRH jsou určeny především pro použití v měřicích a řídicích systémech nebo zařízeních pro sběr dat v satelitní technice a jaderné energetice.



Náramkové hodinky s GPS poznají všechny časové zóny

Firma **Seiko Epson Corporation** (<http://global.epson.com>) vyvinula jako první náramkové hodinky, které mají vestavěný energeticky úsporný miniaturní GPS přijímač. Na základě dat z alespoň čtyř satelitů hodinky automaticky nastaví správný čas v tě z 39 časových zón, ve které se jejich nositel právě nachází. Navíc nepotřebují žádnou elektrochemickou baterii, jsou napájeny sluneční. Příjem GPS signálu je aktivován automaticky jednou denně, aktivaci lze spustit i manuálně. Určení časové zóny trvá 30 s, úprava data a času 6 s. Kalendář hodinek je platný do roku 2100. Saffrové sklíčko s antireflexní vrstvou umožňuje dobrou čitelnost údaje i za jasného dne. Průměr hodinek je 47 mm, tloušťka 16,5 mm. Nové Seiko Astron budou mít tři modely, lehčí s pouzdrům z titanu (135 g i s náramkem), dva z nerezové oceli. Pouzdro je vodotěsné do 10 bar. GPS hodinky mají být na trhu na podzim 2012, jejich předpokládaná cena je 153 až 210 JPY.



JH

Nové vývojové centrum ON Semiconductor

ON Semiconductor Corporation, přední světový dodavatel špičkových produktů pro energeticky úspornou elektroniku, rozšířil své aktivity v Rožnově otevřením nové budovy moderního vývojového centra o celkové ploše 4 000 m². Centrum se nachází v rožnovském průmyslovém areálu v ulici 1. máje 2230 a je zaměřeno na vývoj řešení pro efektivní využití energie, např. zdrojů pro napájení televizorů, notebooků, nabíječek baterií, bílé techniky, bezdrátových aplikací a aplikací pro LED osvětlení.

Nové návrhové centrum bylo slavnostně otevřeno 22. května 2012. Otevření byli přítomni nejvyšší představitelé společnosti v čele s prezidentem a CEO koncernu Keithem Jacksonem. Otevření se dále zúčastnil senátor Jiří Čunek a starostka Rožnova pod Radhoštěm Markéta Blinková. Akce byla organizována pod záštitou premiéra České republiky Petra Nečase.

Budova nového design centra byla postavena s ohledem na minimalizaci jejího vlivu na životní prostředí. V budově, ve které se nachází 1000 m² high-tech laboratoří, byly použity efektivní vytápěcí a chladicí systémy. Inovativní rekuperační systémy budovy využívají například tepelných ztrát pro ohřev teplé vody a pro vytápění kanceláří. Ekologickou stopu budovy dále snižují kvalitní okna a vnitřní izolace.



Budova nového návrhového centra ON Semiconductor v Rožnově p. Radhoštěm



Slavnostní otevření nového návrhového centra. Zleva Bill Schromm, senior vice president skupiny CCPG, Keith Jackson, president a CEO společnosti, starostka města Rožnov pod Radhoštěm Markéta Blinková, Radek Václavík, ředitel návrhového centra a Enrico Corti, vice president sales pro Evropu

AR ZAČÍNÁJÍCÍM A MÍRNĚ POKROČILÝM

Antény pro začínající

Zkušení anténáři mi snad prominou některá zjednodušení, použitá k snadnějšímu pochopení daného tématu. Předpokládám, že čtenář již ví, že existuje elektrická a magnetická složka elektromagnetických vln atd. a po absolvování tohoto přehledu si prostuduje některá další díla, například uvedená na konci tohoto miniseriálu.

Vysokofrekvenční energie vysílače se přenáší ve formě elektromagnetických vln prostorem mezi vysílačem a přijímačem. Na vysílací straně vyzařuje vysokofrekvenční energii do prostoru anténa vysílací, na druhé straně přijímací anténa tuto vyslanou energii opět zachycuje. Proto jsou antény nezbytnou součástí každého rádiového spojovacího zařízení.

Tak od začátku. Anténa je zařízení pro vyzařování a příjem rádiových vln. Již v roce 1888 používal Heinrich Hertz ve svých experimentech dipólovou anténu (také se jí říká Hertzův dipól), i když ve skutečnosti první anténa byla použita pro vysílání a příjem již v roce 1865, tedy o více než dvacet let dříve, patent na ni byl udělen v roce 1872. Vysílací anténa se obecně definuje jako transformátor, který převádí vlnění šířící se podél vedení na vlnění ve volném prostoru. Přijímací anténa plní funkci opačnou.

Anténa je v podstatě laděný oscilační obvod, ve kterém jsou buzeny kmity buď přímo z výstupu vysílače, nebo (v případě přijímací antény) přijatou energií. Aby anténa dobře vyzařovala (nebo přijímala), musí být nalaďena na kmitočet vysílače, tedy musí být v rezonanci s pracovním kmitočtem, jinak anténa zachytí jen malou část dostupné energie, zbytek postupuje dál nebo se odráží. Proto pro antény platí většina pouček o laděných rezonančních obvodech. Toto srovnávání s laděným obvodem ale poněkud pokulhává, jelikož klasický laděný obvod je tzv. uzavřený, kdežto anténa představuje otevřený laděný obvod. Takže čím se oba tyto obvody od sebe liší – uzavřené laděné obvody (oscilační obvody se soustředěnými parametry) mají celou svou induk-

čnost soustředěnu v cívce a kapacitu v kondenzátoru (viz obr. 1).

Při kmitání laděného obvodu je magnetické pole soustředěno vždy uvnitř cívky a v jejím nejbližším okolí, elektrické pole je zase uvnitř kondenzátoru, mezi jeho deskami. Tyto uzavřené laděné obvody se používají v oscilátorech a zesilovačích pro generování a zesilování kmitů s vysokým kmitočtem. V běžné elektronice se vždy snažíme o to, aby obě pole, magnetické i elektrické, byla soustředěna výhradně v obvodu a aby nevyzařovala (nebo jen minimálně) do okolí. Naopak – z energie vyrobené vysílačem je žádoucí vyzařit do okolí co možná největší část. Tento úkol může plnit jen otevřený laděný obvod, který je vlastně podstatou antény.

Vznik otevřeného laděného obvodu můžeme odvodit z uzavřeného tak, že si představíme oddalování desek kondenzátoru, čímž se stále více rozšiřuje elektrické pole mezi jeho deskami (viz obr. 2).

Obdobně rozvinutím vodiče cívky a jeho natažením získáme rovný vodič, jehož indukčnost bude rovnoměrně rozložena po celé jeho délce. Desky kondenzátoru na koncích vodiče již nebudou nutné (jen někdy, pro zkrácení antény, ale o tom se zmíním jindy), jelikož každý sebumenší úsek tohoto vodiče bude mít vůči jeho ostatní částem určitou (i když docela malou) kapacitu. Říkáme, že otevřený laděný obvod má indukčnost L a kapacitu C rozloženou po celé své délce. Elektrické a magnetické pole se při jeho kmitání uzavírá již jen vzduchem. Obě pole, jak elektrické, tak i magnetické, spolu těsně souvisejí, jsou nutně vázána jedno na druhé, proto celý prostor, v němž se projevují jejich účinky, považujeme za jediné elektromagnetické pole.

Půlvlnný dipól

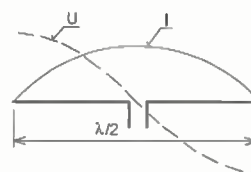
Základní, nejjednodušší anténou je jednoduchý zářič tvořený rovným vodičem umístěným ve volném prostoru. Poněvadž energie vyzařovaného elektromagnetického pole je úměrná druhé mocnině vysokofrekvenčního proudu v zářiči, je žádoucí, aby tento

proud byl při daném výkonu vysílače co možná největší. To bude možné jen tehdy, bude-li zářič při použitém kmitočtu v rezonanci. Nejlepší rezonující zářič je tzv. půlvlnný dipól. Jeho délka je odvozena ze vztahu:

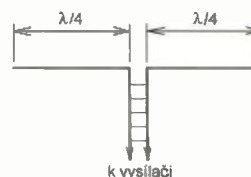
$$\lambda = \frac{v}{f} \doteq \frac{300\,000}{f} \quad [\text{m}; \text{km/s, kHz}],$$

kde λ je délka vlny v metrech, v rychlost šíření elektromagnetických vln v daném prostředí a f použitý pracovní kmitočet. Délka dipólu (půlvlnné antény) je pak

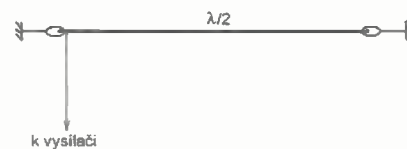
$$l = \frac{\lambda}{2} \cdot 0,95 \quad [\text{m}; \text{m}].$$



Obr. 3. Rozložení proudu a napětí v půlvlnném dipólu



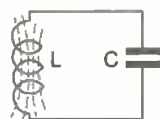
Obr. 4. Proudové napájení dipólu



Obr. 5. Napěťové napájení dipólu

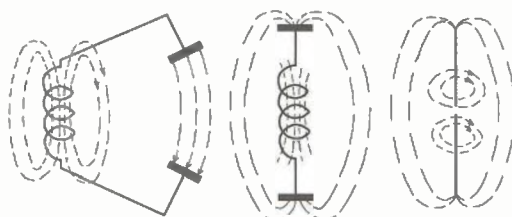
Málo známou skutečností je fakt, že přijímací anténa dodává do napájecího polovinu přijaté energie, druhou polovinu vyzáří zpět do prostoru. Tuto okolnost zjistil již Dr. Hidetsugu Yagi, a doplnil tedy dipól dalším prvkem, tak zvaným reflektorem, podle toho, že vyzářenou energii z nežádoucího směru odrážel zpět žádoucím směrem. V žádoucím směru pak přidal tak zvané direktory, které jsou nalaďeny tak, aby energii soustředily také tímto směrem (obr. 6).

J. Hellebrand
(Pokračování příště)



Obr. 1.

Paralelní laděný obvod

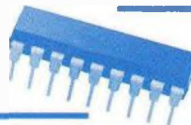


Obr. 2. Vznik otevřeného laděného obvodu



Obr. 6. Anténa typu Yagi

Mikrokontroléry PIC (55)



Rozhraní I²C u modulu SSP

V minulém dílu seriálu o mikrokontrolérech PIC bylo představeno rozhraní I²C a jeho obecné vlastnosti. Byl popsán způsob připojení obvodů na sběrnici, časové průběhy signálů, přenos dat v režimu master a slave, arbitrace na sběrnici v případě, že se o vysílání pokouší ve stejném okamžiku více obvodů pracujících v režimu master, formát přenosu dat při zápisu do obvodu slave, při čtení z obvodu slave nebo v kombinovaném režimu a adresace zařízení při použití sedmibitové nebo desetibitové adresy.

Ve srovnání s rozhraním SPI, se kterým jsme se seznámili v předchozích dílech seriálu, je sběrnice I²C podstatně propracovanější. Na rozdíl od SPI je I²C sběrnici typu multimaster, umožňuje tedy připojení více obvodů typu master, přičemž role obvodu připojeného na sběrnici není pevně určena (tj. kterékoliv připojené zařízení může teoreticky pracovat v podřízeném režimu nebo samo iniciovat přenos jako master). Sběrnice má dále vestavěný mechanismus adresování připojených zařízení. Každý obvod na sběrnici I²C je identifikován vlastní adresou o délce 7 nebo 10 bitů a obvod master musí na začátku každého přenosu vyslat adresy nejprve specifikovat, s jakým obvodem slave chce právě komunikovat. Na rozdíl od SPI lze tak na sběrnici I²C v praxi připojit podstatně větší počet stanic, a to s využitím pouhých dvou vodičů – SDA (data) a SCL (hodinový signál).
Pozn.: U sběrnice SPI se pro přenos využívají tři vodiče (dva pro data a jeden pro hodinový signál), v případě většího počtu obvodů slave však navíc každý vyžaduje samostatný vodič \overline{SS} pro výběr obvodu slave.

Modul SSP (synchronní sériový port), kterým je vybaven mikrokontrolér PIC16F88, s nímž v tomto seriálu pracujeme, a mnoho dalších obdobných mikrokontrolérů řady mid-range, podporuje většinu funkcí rozhraní I²C v režimu slave. Výjimkou je pouze příjem adresy broadcast (tzv. general call). Použije-li obvod master při adresování zařízení slave vyhrazenou broadcast adresu 0000000, jsou následně vysílaná data určena všem zařízením připojeným na sběrnici I²C. Obvod slave může příjem adresy potvrdit vysláním bitu ACK nebo general call jednoduše ignorovat (tj. nepotvrdí příjem adresy bitem ACK). Modul SSP nicméně nepodporuje u sběrnice I²C režim master (zatímco u SPI jsou plně podporovány režimy master i slave). Přenos dat přes sběrnici I²C v režimu master, kdy je obvod zodpovědný za generování hodinového signálu a podmínek START a STOP, adresování zařízení slave, ošetření případných chybových situací apod., je tedy nutné implementovat programově. Pro usnadnění softwarové implementace funkce master detekuje modul SSP automaticky podmínky START a STOP a vyvolá při

nich přerušení, je-li povoleno. Tímto způsobem lze snadno sledovat stav sběrnice I²C, tj. zda byl iniciován přenos jiným obvodem master a zda byl tento přenos dokončen.

Pozn.: Některé mikrokontroléry PIC16 jsou vybaveny pokročilejším modulem MSSP (Master SSP), který již režim master u I²C podporuje. V praxi je tak pravděpodobně vhodnější použít některý z těchto mikrokontrolérů. Softwarová implementace režimu master však na druhou stranu umožňuje dobře porozumět přenosu přes rozhraní I²C.

Modul SSP podporuje jak 7bitové, tak i 10bitové adresování, a počítá se základními přenosovými kmitočty 100 kHz nebo 400 kHz. Jak již bylo řečeno, přenos probíhá po dvou vodičích: SDA (data – u mikrokontroléru PIC16F88 pin 7: RB1/SDI/SDA) a SCL (hodinový signál – u mikrokontroléru PIC16F88 pin 10: RB4/SCK/SCL). Protože jsou oba tyto vodiče typu „otevřený kolektor“, úrovně na pinech SDA a SCL se řídí příslušnými bity v registru TRISB, přičemž oba by měly být standardně nastaveny jako vstupy (TRISB<x> = 1).

V režimu I²C využívá modul následující registry:

- SSPCON: Hlavní konfigurační registr modulu SSP.
- SSPSTAT: Stavový a konfigurační registr modulu SSP.
- SSPBUF: Registr pro příjem a vysílání dat.
- SSPSR: Interní posuvný registr, který není programově přístupný.
- SSPADD: Registr s adresou zařízení.

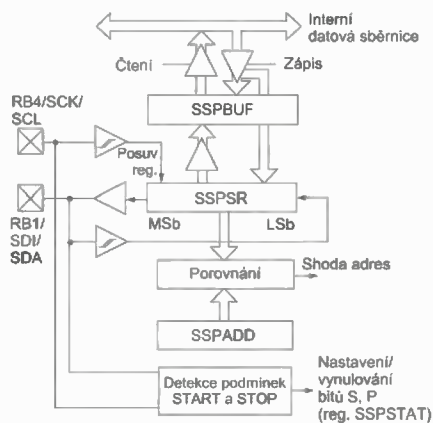
Popis jednotlivých konfiguračních a stavových bitů registrů SSPCON a SSPSTAT byl uveden v PE-AR 03/2012. Hlavní konfigurační bity modulu SSP obsahuje registr SSPCON. Bitem SSPEN (SSPCON<5>) se aktivuje nebo deaktivuje celý modul synchronního sériového portu. Je-li modul povolen (SSPEN = 1), jsou v režimu I²C piny SDA a SCL řízeny modulem SSP. V opačném případě lze tyto piny využít jako standardní vstupy/výstupy. Bit WCOL (SSPCON<7>) slouží k detekci kolize při zápisu do registru SSPBUF. WCOL = 1 značí, že zápis do registru SSPBUF selhal z důvodu právě probíhajícího přenosu. Bit musí být nulován programově. Bit SSPOV (SSPCON<6>) indikuje přetečení při příjmu dat. Je-li nový bajt dat přijat v okamžiku, kdy jsou v registru SSPBUF stále ještě data z předchozího příjmu (tj. program neprovedl čtení z tohoto registru), bude SSPOV = 1. Tento bit musí být rovněž nulován programově. Bit CKP slouží k uvolnění hodinového signálu. Modul SSP v některých případech (např. při vysílání dat na sběrnici obvodem slave) nastaví na pinu SCL úroveň L, čímž blokuje generování dalších hodinových impulsů obvodem master až do doby, kdy je obvod slave připraven. Nastavením bitu CKP se pak vo-

dič SCL uvolní (na pinu SCL se nastaví úroveň H) a přenos může pokračovat. Bity SSPM<3:0> (SSPCON<3:0>) slouží k výběru pracovního módu modulu SSP. Na výběr je kromě šesti různých režimů SPI pět následujících módů I²C:

- I²C mód slave se 7bitovou adresou (SSPM = 0110),
- I²C mód slave s 10bitovou adresou (SSPM = 0111),
- I²C programově řízený mód master, nečinný v režimu slave (SSPM = 1011),
- I²C mód slave se 7bitovou adresou a přerušením při detekci podmínek START a STOP (SSPM = 1110),
- I²C mód slave s 10bitovou adresou a přerušením při detekci podmínek START a STOP (SSPM = 1111).

Registr SSPSTAT obsahuje některé další konfigurační a stavové bity. Bit D/A (SSPSTAT<5>) indikuje, zda poslední přijatý bajt obsahuje adresu (D/A = 0) nebo data (D/A = 1). Bit S (SSPSTAT<3>) indikuje, zda byla detekována podmínka START, a podobně bit P (SSPSTAT<4>) obsahuje informaci o tom, zda byla detekována podmínka STOP. Je-li zjištěna shoda mezi adresou vysílanou na sběrnici I²C a adresou nastavenou v registru SSPADD, lze s využitím bitu R/W (SSPSTAT<2>) zjistit, zdali byl vyslán požadavek na zápis (R/W = 0) nebo na čtení (R/W = 1). Tímto způsobem je tedy možné zjistit stav bitu R/W, který je posledním vysílaným bitem v prvním bajtu po podmínce START. Bit UA (SSPSTAT<1>) indikuje, zda je nutné aktualizovat adresu v registru SSPADD (uplatňuje se pouze při použití 10bitové adresy), a bit BF (SSPSTAT<0>) obsahuje informaci o naplněnosti registru SSPBUF. Probíhá-li příjem dat, BF = 1 značí, že byl přenos dokončen a registr SSPBUF je naplněn přijatými daty. V případě odesílání dat je bit BF roven jedné po dobu přenosu, kdy jsou v registru SSPBUF stále ještě platná neodeslaná data.

Do registru SSPBUF se nahrávají data, která chceme odeslat, nebo jsou v registru k dispozici data, která byla přijata. Tento registr slouží jako vyrovnávací registr k internímu posuvnému registru SSPSR (viz obr. 82), který se uplatňuje při samotném přenosu dat a který není programově přístupný. Po dokončení příjmu dat se



Obr. 82. Blokové schéma modulu SSP v režimu I²C

zkopírují data z registru SSPSR do registru SSPBUF, nastaví se bit SSPIF a vyvolá se přerušení (je-li povoleno). Díky registru SSPBUF může začít příjem dalšího bajtu dat ještě před tím, než program přijatá data načte a začne zpracovávat. Pokud je však příjem dat dokončen před přečtením registru SSPBUF, nastaví se bit SSPOV indikující přetečení při příjmu dat a přijatý bajt v registru SSPSR bude ztracen.

Registr SSPADD obsahuje adresu obvodu, která se uplatňuje v režimu slave. V případě použití 10bitové adresy je nutné do registru nejprve nahrát bajt, který obsahuje dva nejvyšší bity adresy, ve tvaru: 1111 0A9A8 0 a až poté, co je detekována shoda u vyššího bajtu adresy, je nutné do registru nahrát nižší bajt adresy (tj. bity A7:A0).

Režim slave

V režimu slave musí být oba piny SCL i SDA nastaveny jako vstupy (tj. $TRISB<1> = TRISB<4> = 1$). V případě, že modul potřebuje na sběrnici vysílat (bit ACK nebo data), příp. potřebuje-li dočasně zablokovat přenos úrovní L na SCL, sám si řídí stav těchto vývodů a v případě potřeby na ně přivede úroveň L.

Modul SSP v režimu slave sleduje sběrnici I²C a je-li po podmínce START detekována shoda mezi adresou vyslanou na sběrnici a adresou nastavenou v registru SSPADD, modul SSP automaticky vygeneruje potvrzovací bit ACK. Podobně vygeneruje hardware modulu SSP potvrzovací bit ACK i za každým přijatým bajtem dat u přenosu, u kterého byla zjištěna shoda adres. Po přijetí každého bajtu se nahrají data z registru SSPSR do registru SSPBUF. Potvrzovací bit ACK se nicméně nevygeneruje v případě, že je nastaven bit BF nebo SSPOV. V takovém případě se rovněž nenahrají data z registru SSPSR do registru SSPBUF a zároveň se nastaví bit indikující přetečení při příjmu dat (SSPOV). Nezávisle na tom, zda byl příjem bajtu úspěšný, se však vždy nastaví bit SSPIF a vyvolá se přerušení, je-li povoleno. Tabulka 73 zobrazuje, co se stane po přijetí bajtu dat v závislosti na aktuálních hodnotách bitů BF a SSPOV. Poslední řádek tabulky odpovídá situaci, kdy zapomeneme v programu vynulovat bit SSPOV. Zatímco se totiž bit BF nuluje automaticky po přečtení registru SSPBUF, bit SSPOV je nutné nulovat programově.

Adresování

Poté, co je modul SSP povolen a nastaven do režimu I²C slave, začne sledovat sběrnici a čeká na podmínku START. Je-li tato podmínka detekována, načte se

postupně následujících osm bitů vysílaných na sběrnici obvodem master do posuvného registru SSPSR. Vzorkování jednotlivých bitů probíhá vždy s náběžnou hranou hodinového signálu SCL. Po načtení všech bitů se porovnají se spádovou hranou osmého hodinového impulsu (viz obr. 80, PE-AR 06/2012) bity SSPSR<7:1> s adresou uloženou v registru SSPADD. Je-li detekována shoda a hodnoty bitů BF a SSPOV jsou rovny nule, provedou se následující akce:

- Obsah registru SSPSR se se spádovou hranou osmého hodinového impulsu nahraje do registru SSPBUF a nastaví se bit BF.
- Je vygenerován potvrzovací puls ACK (viz obr. 80, PE-AR 06/2012).
- Nastaví se bit SSPIF a je vyvoláno přerušení, pokud je povoleno, a to se spádovou hranou devátého hodinového impulsu od podmínky START.

Situace je o něco složitější v případě, že používáme desetibitovou adresu, kdy je nutné přijmout a porovnat dva bajty adresy. Jak bylo řečeno v minulém dílu (viz obr. 81), první adresový bajt má tvar 1111 0A9A8 0, kde A9 a A8 jsou nejvyšší bity adresy. Při použití desetibitové adresy je nutné provést následující kroky:

1. Přijetí prvního bajtu adresy. Nastaví se bity SSPIF, BF a UA (indikuje, že je třeba do registru SSPADD nahrát další část adresy).
2. Nahrání druhé části adresy (tj. bity A7 až A0) do registru SSPADD. Tím se automaticky vynuluje bit UA a uvolní se vodič SCL, který blokoval obvod slave úrovní L, aby nemohl obvod master pokračovat ve vysílání dříve, než je obvod slave připraven.
3. Čtení registru SSPBUF (čímž se vynuluje bit BF) a vynulování bitu SSPIF.
4. Přijetí druhého bajtu, který obsahuje adresní bity A7 až A0. Opět se nastaví bity SSPIF, BF a UA.
5. Nahrání vyššího bajtu adresy do registru SSPADD. Tím se vynuluje bit UA a uvolní se SCL.
6. Čtení registru SSPBUF (čímž se vynuluje bit BF) a vynulování bitu SSPIF.

V tuto chvíli již může obvod slave přijímat data od zařízení master stejným způsobem jako při použití sedmibitové adresy. Pokud chce obvod master ze zařízení čist, indikuje tento požadavek v případě sedmibitového adresování bitem R/W, který doplňuje adresový bajt a který by byl v takovém případě roven jedné (viz obr. 78, PE-AR 06/2012). Při použití desetibitové adresy však musí být v prvním

bajtu R/W = 0 a druhý bajt s adresou již žádný bit R/W neobsahuje. Při požadavku čtení z obvodu slave musí proto obvod master vyslat opakovanou podmínku START (Sr), a poté znovu zaslat první bajt adresy ve tvaru 1111 0A9A8 R/W, kde je nyní R/W = 1. Druhý bajt adresy se po opakované podmínce START již nevysílá. V takovém případě je nutné postupovat podle následujících kroků:

7. Načtení opakované podmínky START.
8. Přijetí prvního bajtu adresy (nastaví se bity SSPIF a BF).
9. Čtení registru SSPBUF (čímž se vynuluje bit BF) a vynulování bitu SSPIF.

Přijem dat

Je-li detekována shoda adres a osmý bit v adresovém bajtu (bit R/W) je roven nule, čímž obvod master indikuje požadavek zápisu do obvodu slave, vynuluje se bit R/W v registru SSPSTAT a přijatá adresa se uloží do registru SSPBUF. Jak již bylo řečeno, potvrzovací bit ACK je generován obvodem slave pouze za předpokladu, že jsou bity BF a SSPOV rovny nule. Při splnění těchto podmínek může pokračovat přenos dat a po přijetí každého bajtu se nastaví bit SSPIF (který musí být následně programově vynulován) a vyvolá se přerušení (je-li povoleno). Další informace o přijatém bajtu zjistíme z registru SSPSTAT.

Vysílání dat

Je-li detekována shoda adres a přijatý bit R/W je roven jedné, čímž obvod master indikuje požadavek na čtení dat ze zařízení slave, nastaví se bit R/W v registru SSPSTAT a přijatá adresa se opět uloží do registru SSPBUF. Dále se vygeneruje potvrzovací bit ACK a obvod slave zablokuje přenos úrovní L na pinu SCL. Tím zabrání obvodu master v generování dalších hodinových pulsů až do doby, kdy je obvod slave připraven vysílat data. Program musí poté nahrát data do registru SSPBUF, která se následně automaticky přenesou do posuvného registru SSPSR, a nastavit bit CKP v registru SSPCON, čímž se uvolní vodič SCL. Osm datových bitů se poté postupně přenesou z registru SSPSR na pin SDA, a to vždy se spádovou hranou hodinového signálu SCL. Po dokončení přenosu se nastaví bit SSPIF (a příp. vyvolá přerušení), a to se spádovou hranou devátého hodinového impulsu. Při čtení dat ze zařízení slave generuje potvrzovací bit ACK obvod master. Je-li s náběžnou hranou devátého hodinového impulsu SDA = H, potvrzovací bit nebyl vygenerován a přenos tímto končí. (Pozn.: V případě, že chce obvod master přenos ukončit, musí před generováním podmínky STOP vždy nepotvrdit příjem úrovní H na SDA.) V tomto případě začne modul SSP opět sledovat sběrnici I²C a čeká na další podmínku START. Je-li příjem dat obvodem master potvrzen (bitem ACK, kdy je SDA = L), vysílání dat obvodem slave může pokračovat a je nutné opět nahrát příslušná data do registru SSPBUF a poté nastavit bit CKP, čímž se uvolní vodič SCL.

Vít Špringl
(Pokračování příště)

Tab. 73. Akce vyvolané po přijetí bajtu dat přes rozhraní I²C v závislosti na aktuálním stavu bitů BF (Buffer Full) a SSPOV (SSP Overflow)

BF	SSPOV	SSPSR → SSPBUF	Vygenerování potvrzovacího bitu ACK	Nastavení bitu SSPIF (a vyvolání přerušení, je-li povoleno)
0	0	Ano	Ano	Ano
1	0	Ne	Ne	Ano
1	1	Ne	Ne	Ano
0	1	Ne	Ne	Ano

JEDNODUCHÁ ZAPOJENÍ PRO VOLNÝ ČAS

Elektronický regulátor teploty sušičky ovocia

Niektoré elektrické sušičky ovocia sú vybavené bimetalovým regulátorom teploty. Neprijemný stav nastane, keď dôjde k spečeniu kontaktu a sušička sa zmení na varný hrniec so všetkými dôsledkami.

Podobný osud postihol aj sušičku mojej dcéry. Jej nalinkovanú cestu do zberného dvora odpadu som prerušil oznámením, že ju prevychovám časťou úpravou. Využil som publikované zapojenia spínania topnej špirály triakom v nule. Z množstva námetov som nakoniec vybral zapojenie z lit. [1], pričom som urobil čiastočné zmeny a doplnenia. Využil som možnosť manuálne nastavovať teplotu v rozsahu 25 až 60 °C pomocou potenciometra P1. Konečné zapojenie je na obr. 1.

Doska s plošnými spojmi (DPS) vychádza z návrhu v [1] (upozorňujem, že v pôvodnom návrhu DPS a v označenom pripojení sú chyby). Rozmer DPS nie je kritický, pretože v sušičke je k dispozícii dostatok priestoru. Na osadenie DPS boli použité šuplíkové zásoby, preto boli niektoré hodnoty prepočítané.

Ako snímač teploty som použil termistor T_h s označením M0247 6,8k v tvare rezistora $\varnothing 2,3 \times 12$ mm s osovými vývodmi. Pri meraní v olejovom kúpeli som pri teplote 25 °C nameral odpor termistora $R_{th(25)} = 5,86$ k Ω , resp. pri teplote 60 °C odpor $R_{th(60)} = 2,50$ k Ω (obr. 2a). Potenciometer P1 je lineárny s odporom 10 k Ω a s plastovou oskou. Vo funkcii reostat

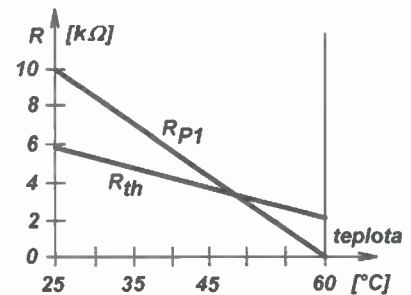
he pri nastavenej teplote 25 °C nameral odpor $R_{P1(25)} = 9,94$ k Ω a v pravej krajnej polohe pri nastavenej teplote 60 °C odpor $R_{P1(60)} = 0$ Ω (obr. 2a). Tieto údaje uvádzam, pretože som ich použil pri výpočte odporu R_p (pripojeného paralelne k termistoru) a odporu R_s (pripojeného sériovo k P1) - vid v ďalšom texte.

Pre zmeranie napäťovej úrovne preklápania Schmittovho klopného obvodu s T5 a T4 som túto časť zapojenia zostavil na skúšobnej doske. Namerané hodnoty napätia bázy T5 oproti zápornému vývodu filtračného kondenzátora C5 sú 2,07 až 2,08 V (hysterézia obvodu je asi 0,01 V) pri napätí $U_{C5} = 11,23$ V.

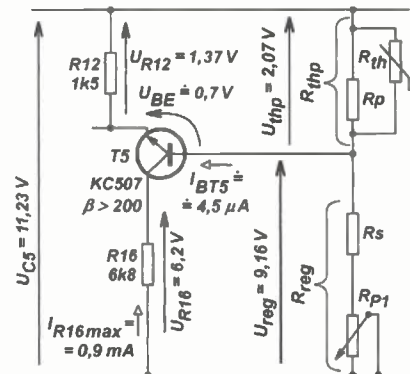
Pokiaľ chceme využiť na reguláciu teploty celý rozsah potenciometra P1, musíme medzi teplotného rozsahu stanoviť pomocou rezistora R_s sériovo zaradeného k P1 (R_s definuje hornú hranicu nastavenia teploty) a rezistora R_p zapojeného paralelne k termistoru (R_p viacmenej definuje spodnú hranicu nastavenia teploty). Bez týchto doplnovacích rezistorov R_s a R_p by linearita nastavenia teploty závisela výhradne na linearite čidla. Pridaním R_s a R_p sa nelinearita nastavovania teploty v závislosti na uhle natočenia potenciometra zväčší. V tejto aplikácii to však nie je podstatné.

Pretože parametre obvodu sú závislé na všetkých jeho prvkoch, zmena jedného z nich vyvoláva nutnú zmenu aj druhého. Odpor R_{th} a R_{P1} sú dané, odpory R_s a R_p vypočítame zo vzťahových rovníc odvodených podľa obr. 2b. Výpočet zjednodušujeme okrajovými podmienkami:

a) Prúdový zosilovací činiteľ β tranzistora T5 musí byť v pracovnom bode tak vysoký, aby prúd bázy I_{BT5} tranzistora T5 pri najnižšom prúde



Obr. 2a. Priebeh odporu R_{P1} potenciometra P1 a R_{th} termistora T_h



Obr. 2b. Zjednodušené zapojenie regulátora k výpočtu R_p a R_s

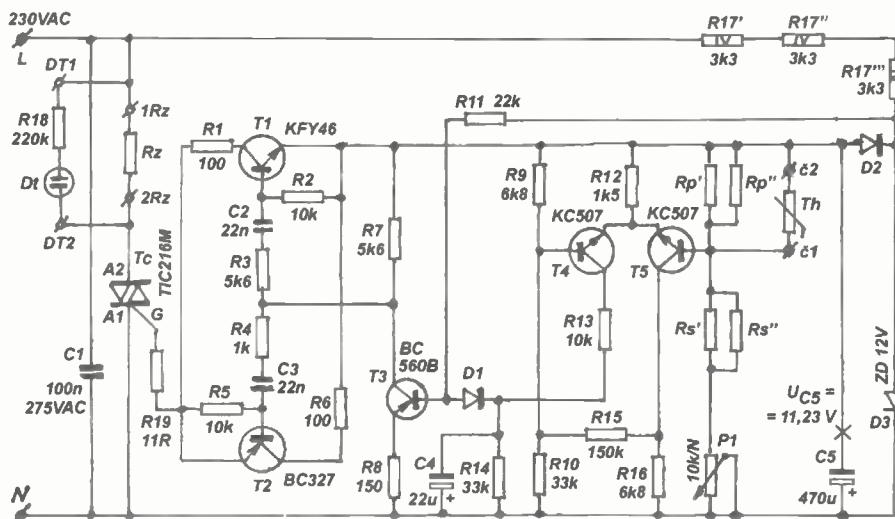
I_{P1min} tekúcim ladiacou vetvou so súčiastkami P1, R_s , T_h a R_p spĺňa podmienku $I_{BT5} \ll I_{P1min}$. Najnižší prúd v tejto vetve tečie pri vytočení P1 na maximum pri $R_{P1(25)} \approx 10$ k Ω . Podľa obr. 2 je na P1 a R_s napätie 9,16 V. Keby odpor R_s dosiahol hodnoty $R_{P1(25)}$, bol by prúd I_{P1min} :

$$I_{P1min} = 9,16 / (R_s + R_{P1}) = 9,16 / 20 = 0,458 \text{ mA} \quad [\text{mA}; \text{V}, \text{k}\Omega].$$

Podľa jednoduchého prepočtu zistíme, že pri plnom otvorení T5 ním tečie prúd 0,91 mA. Ak požadujeme, aby I_{BT5} bol pritom aspoň 50x nižší ako I_{P1min} , tj. $I_{P1min} \leq 0,009$ mA, musí byť β tranzistora T5 aspoň $0,91/0,009 = 101$. Túto podmienku hravo spĺňajú bežné nF kremíkové npn tranzistory s malým výkonom (napr. KC507).

b) V nadväznosti na bod a) budeme riadiaci obvod riešiť ako napäťový. Zanedbáme hysteréziu Schmittovho obvodu; pre výpočet použijeme úroveň preklopenia $U_{th} = 2,07$ V.

c) Zanedbáme zmeny napäťových pomerov obvodu v závislosti na kolísaní siete, resp. na zmenách odberu prúdu zo Zenerovej diódy D3 cez D2 obvodmi spínania triaku a riadiacimi obvodmi. Túto podmienku musíme stanoviť, pretože zdroj napájania je relatívne mäkký a napätie na D3 závisí na Zenerovom prúde a teplote D3.



Obr. 1. Schéma zapojenia elektronického regulátora teploty sušičky ovocia

Analýza a výpočet obvodu podľa obr. 2b:

1. Odpor paralelnej kombinácie R_{th} a R_p označme ako R_{thp} :

$$R_{thp} = R_{th} \cdot R_p / (R_{th} + R_p).$$

Sériovú kombináciu $R_{P1} + R_s$ označme ako R_{reg} :

$$R_{reg} = R_{P1} + R_s.$$

Napätie na $P1$ a R_s označme ako U_{reg} :

$$U_{reg} = U_{C5} - U_{thp} = 11,23 - 2,07 = 9,16 \text{ V}.$$

Pomer $U_{reg}/U_{thp} = R_{reg}/R_{thp}$ označme k . Vypočítame, že $k = 4,425$.

2. Pre dolnú a hornú teplotu platí:

$$R_{reg(25)} = R_{P1(25)} + R_s, \quad (Ia)$$

$$R_{reg(60)} = R_s \quad \text{\{pretože } R_{P1(60)} = 0\}. \quad (IIa)$$

3. Stavové rovnice pre dolnú a hornú teplotu sú:

$$\text{Pre } 25^\circ\text{C: } R_{reg(25)} = k \cdot R_{thp(25)};$$

dosadením za $R_{reg(25)}$ z (Ia) dostávame rovnicu:

$$R_{P1(25)} + R_s = k \cdot R_{thp(25)}. \quad (I)$$

$$\text{Pre } 60^\circ\text{C: } R_{reg(60)} = k \cdot R_{thp(60)};$$

dosadením za $R_{reg(60)}$ z (IIa) dostávame rovnicu:

$$R_s = k \cdot R_{thp(60)}. \quad (II)$$

4. Dosadením R_s z (II) do (I) dostávame rovnicu s jednou neznámou R_p :

$$R_{P1(25)} + k \cdot R_{thp(60)} = k \cdot R_{thp(25)},$$

resp.:

$$R_{P1(25)} + k \cdot [R_{th(60)} \cdot R_p / (R_{th(60)} + R_p)] = k \cdot [R_{th(25)} \cdot R_p / (R_{th(25)} + R_p)].$$

5. Dosadením známych hodnôt a odstránením zlomkov dostaneme kvadratickú rovnicu:

$$R_p^2 - 16,8625 \cdot R_p - 29,5497 = 0,$$

ktorú riešime podľa klasického vzorca:

$$R_{p1,2} = [-b \pm \sqrt{b^2 - 4 \cdot a \cdot c}] / 2 \cdot a,$$

kde jednotlivé členy sú:

$$a = 1, \quad b = -16,8625, \quad c = -29,5497.$$

Jeden koreň je kladný, druhý záporný. Kladný je $R_p = 18,463 \text{ k}\Omega$.

R_s vypočítame dosadením hodnoty R_p do rovnice:

$$R_s = k \cdot [R_{thp(60)} \cdot R_p / (R_{thp(60)} + R_p)].$$

A dostaneme výsledok $R_s = 9,7432 \text{ k}\Omega$.

Pretože výsledkom sú hodnoty, ktoré rady vyrábaných súčiastok neobsahujú, vytvoríme si uvedené hodnoty paralelnou či sériovou kombináciou dvoch rezistorov (napr. $R_s \parallel R_s''$).

Ak chceme overiť správnosť výpočtu, dosadíme vypočítané hodnoty do východziech rovníc uvedených pod bodom 1. Musíme sa dopracovať k pôvodnému koeficientu k .

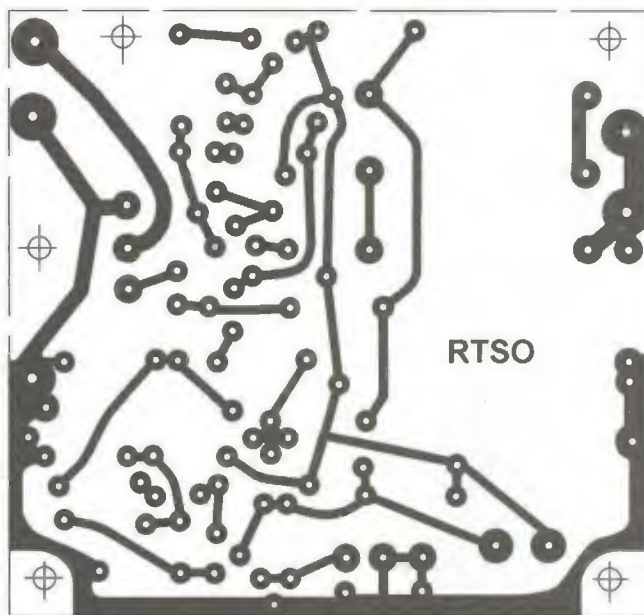
Poznámky ku konštrukcii

Predpokladám, že postavenie elektroniky je záležitosť bežnej rutiny. Návrh DPS s jednostrannými plošnými spojmi je na obr. 3. Po vyvítaní všetkých otvorov osadíme na príslušné miesta nitovacie očka na pripojenie vonkajších obvodov. Rozmiestnenie súčiastok na DPS je na obr. 4. Triak TIC216M je umiestnený na malom rebrovom chladiči, ktorý je priskrutkovaný na doske. Vývody triaku sú zaspájkované priamo v DPS. $R1$ až $R16$ a R_s , R_p sú typu TR 221a, TR 211 až TR 213, TR 151, TR191 a pod. (0,125 až 0,25 W). Varianty súčiastok a ich limitné parametre sú tam uvedené tiež. Pretože sušička nasáva vzduch štrbinami na dne korpusu, je celý systém dostatočne ochladzovaný

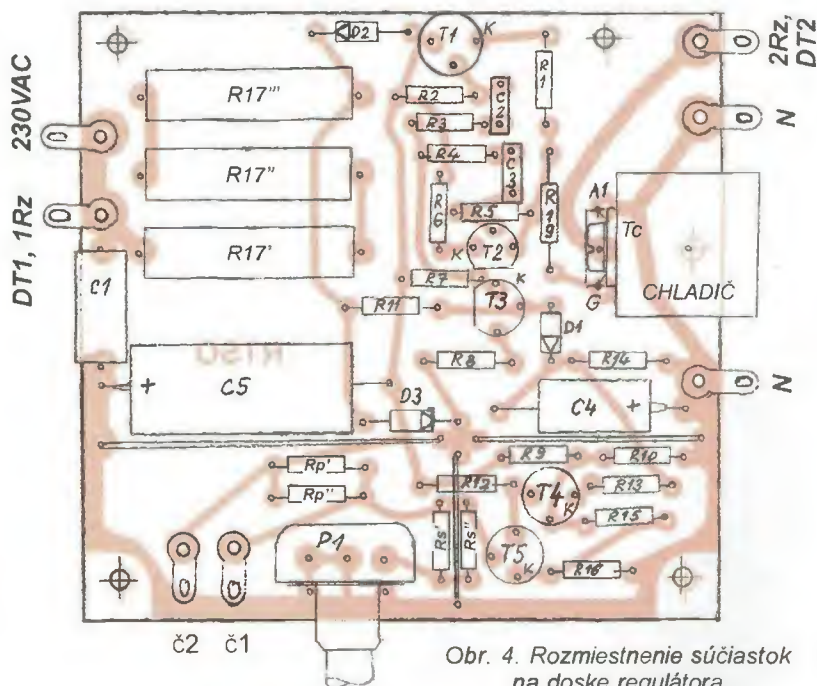
napriek použitiu zrážacích rezistorov $R17$ v napájacej vetve. Zrážacie rezistory nezhoršujú ekonomiku prevádzky, pretože nimi predhriaty vzduch je ďalej zohrievaný odporovou špirálou sušičky.

Použitý termistor Th je neznámeho pôvodu, preto uvádzam kompletný výpočet aj pre použitie iného druhu termistora s odlišným odporom. Odporúčam použiť termistory v doštičkovom (poduškovom) prevedení, aké sú používané v regulátoroch otáčok ventilátorov výkonnejších zdrojov starších počítačov AT a XT (dajú sa nájsť na vrakoviskách elektroniky).

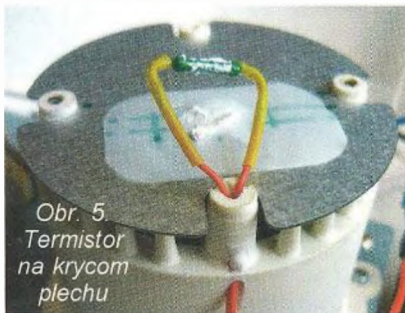
Termistor som umiestnil kontaktne na krycom plechu šachty sušičky, ktorý kryje topnú špirálu (obr. 5). Tento plech je zvrchu zakrytý výliskom plastu, do ktorého je nutné vyfrézovať



Obr. 3. DPS regulátora (mer.: 1 : 1). Rozmery 85 x 80 mm



Obr. 4. Rozmiestnenie súčiastok na doske regulátora



Obr. 5
Termistor
na krycom
plechu



Obr. 6
Termistor
v paste



Obr. 7.
Tlejivka
ako
kontrolka



Obr. 8. Spojka prekle-
nujúca bimetalový spínač

vať priehlbínu na termistor. Uvedený krycí plech je zároveň „kondenzátorom tepla“ z fúkaného vzduchu od topnej špirály, pričom zabezpečuje hysteréziu systému. Uvedené konštrukčné riešenie zdôvodňuje použitie čo najtenšieho snímača teploty. Pre zvýšenie teplotného kontaktu termistora s plechom je použitá teplovodivá silikónová pasta. Pre vývody termistora je využitý stĺpik šachty, ktorý nie je použitý na priskrutkovanie plastového krytu šachty (obr. 5 a obr. 6). Termistor je pripojený pomocou vodičov s teflonovou izoláciou.

Potenciometer P1 má plastovú osku kvôli bezpečnosti obsluhy pri použití akéhokoľvek gombíka na jeho obsluhu. Táto podmienka musí byť splnená, pretože spínacia elektronika je vodivo spojená so sieťou.

Nad gombíkom potenciometra je umiestnená kontrolka činnosti topného telesa - tlejivka s predradným rezistorom. Tlejivka je z nefunkčného kolískového panelového sieťového vypínača, ktorá má v uvedenom vypínači predradný rezistor s odporom 120 k Ω . V sušičke som použil rezistor s odporom 220 k Ω , pri ktorom tlejivka ešte spofahlivo a dostatočne svieti.

Konštrukčne som kontrolku riešil tak, že do korpusu sušičky som vlepil červené plastové „sklíčko“ a z vnútornej strany som umiestnil tlejivku (obr. 7).

Pôvodný bimetalový spínač som vyradil z činnosti preklenutím prepojkou z fosforbronzového kontaktu vyzískaného zo starého typu plochých telefónnych relé (obr. 8). Prepojku som jednoducho priskrutkoval cez duté nity, ktoré držia pôvodný bimetalový systém. Použité skrutky M1,6 s maticami sú z nepriamych konektorov (licencie FRB) typu TX(TY) 511 a 512, skrátene na potrebnú dĺžku. Prepojku neodporúčam spájať SnPb pájkou.

Vnútro sušičky po dokončenej úprave je na obr. 9.

Použité súčiastky a varianty

R1	100 Ω , miniatúrny
R2	10 k Ω , miniatúrny
R3	5,6 k Ω , miniatúrny
R4	1 k Ω , miniatúrny
R5	10 k Ω , miniatúrny
R6	100 Ω , miniatúrny
R7	5,6 k Ω , miniatúrny
R8	150 Ω , miniatúrny
R9	6,8 k Ω , miniatúrny
R10	33 k Ω , miniatúrny
R11	22 k Ω , miniatúrny
R12	1,5 k Ω , miniatúrny
R13	10 k Ω , miniatúrny
R14	33 k Ω , miniatúrny
R15	150 k Ω , miniatúrny
R16	6,8 k Ω , miniatúrny
R17', R17'', R17'''	3,3 k Ω /4 W (TR 522, TR 507, TR 510 a pod.)
R18	220 k Ω /0,6 W, metalizovaný, 0207
R19	11 až 15 Ω /0,6 W, metalizovaný, 0207

Rs', Rs''	
Rp', Rp''	viď text, miniatúrny
P1	10 k Ω /N, lineárny potenciometer vrstvový, vývody do DPS, oska plastová \varnothing 6 mm
Th	termistor, viď text
C1	100 nF/275 V (X2), možno aj iný odrušovací typ - rozmerovo väčší, spájať zosposu na DPS
C2, C3	22 nF/100 V, fóliový
C4	22 μ F/40 V, axiálny (TF010)
C5	470 μ F/40 V, axiálny (TF010)
D1	KA501, KA206, 1N4148 a pod.
D2	1N4001 až 1N4007
D3	KZ260/12, Zenerova dióda 12 V/1,3 W
T1	KFY46 (NPN, $U_{CE} > 30$ V, $I_{Emax} > 200$ mA, $\beta > 100$)
T2	BC327 (PNP, $U_{CE} > -30$ V, $I_{Emax} > -200$ mA, $\beta > 100$)
T3	BC560B (PNP, $U_{CE} > -30$ V, $I_{Emax} > -200$ mA, $\beta > 100$)
T4, T5	KC507 (NPN, $U_{CE} > 30$ V, $I_{Emax} > 100$ mA, $\beta > 100$)
Tc	TIC216M (TO220), triak ($U_{DRM} \geq 400$ V, $I_{TSM} \geq 6$ A, $I_{GTM} \leq 5$ mA)
Dt	tlejivka signalizačná s drôt. vývodmi, viď text

Použitá literatúra a zdroje

- [1] Svoboda, Z.: Regulátor teploty pro akvária. AR-B 4/85, str. 147 až 149.
- [2] Katalógy TESLA Lanškroun: Součástky pro elektroniku.
- [3] <http://www.alldatasheet.com/>
- [4] <http://www.datasheetcatalog.com/>
- [5] Katalóg TESLA Rožnov: Polovodičové součástky.

Ing. Juraj Lörinc



Obr. 9.
Vnútro
sušičky
po úprave

Nabíječka 4 článků NiCd nebo NiMH

Schéma zapojení jednoduché nabíječky až čtyř akumulátorových článků NiCd nebo NiMH rozměrů AA (tužkových) nebo AAA (mikrotužkových) je na obr. 10.

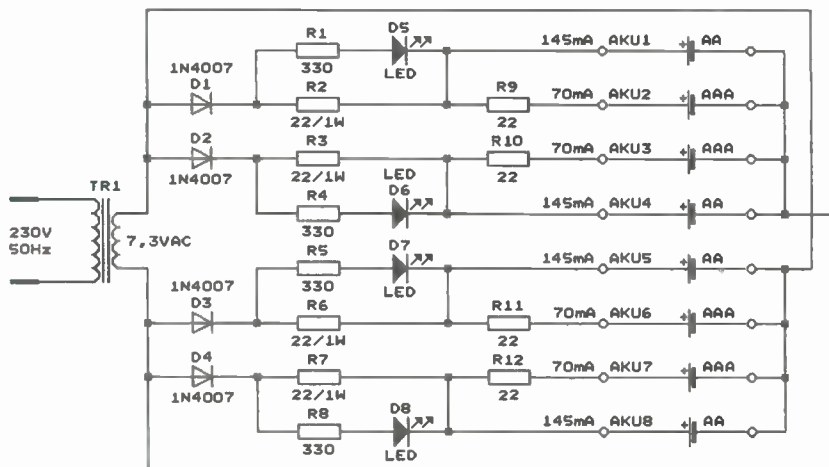
Články se nabíjejí jednocestně usměrněnými půlvlnami napětí ze sekundárního vinutí síťového transformátoru TR1. V původním prameni nejsou uvedeny parametry TR1, pouze je uvedeno, že je typu TS5/14 se sekundárním napětím 7,3 V. Zřejmě vyhoví běžný zalitý síťový transformátor do plošných spojů se jmenovitým sekundárním napětím 6 nebo 7,5 V a výkonem 8 až 10 VA.

Každý z maximálně čtyř nabíjecích článků má vlastní usměrňovací diodu (D1 až D4), aby přes předřadné rezistory nemohly mezi články téci vyrovnávací proudy.

Nabíjecí proud pro větší články AA (AKU1, AKU4, AKU5 a AKU8) je zvolen 145 mA a je určen předřadnými rezistory R2, R3, R6 a R7, které musejí být dimenzovány pro zatížení 1 W. Nabíjecí proud pro menší články AAA (AKU2, AKU3, AKU6 a AKU7) je zvolen 70 mA a je určován dalšími předřadnými rezistory R9 až R12.

Ze zapojení předřadných rezistorů vyplývá, že v každé nabíjecí větvi může být zapojen vždy jen jeden článek, buď AA, nebo AAA. Např. přes diodu D1 se může nabíjet buď AKU1 (AA), nebo AKU2 (AAA), nikoliv však současně AKU1 i AKU2.

Usměrňovací diody jsou zapojeny tak, že D1 a D2 se otevírají v kladných půlvlnách a D3 a D4 v záporných půlvlnách síťového napětí. Díky tomu při současném nabíjení čtyř článků neprotéká sekundárním vinutím transformátoru TR1 žádný ss proud. Pokud se nabíjí menší počet článků než čtyři, musíme je připojit tak, aby ss proud tekoucí sekundárním vinutím byl co nejmenší. Např.



Obr. 10. Schéma zapojení nabíječky 4 článků NiCd nebo NiMH

při nabíjení dvou článků musíme jeden článek připojit na pozici AKU1 až AKU4 a druhý článek na pozici AKU5 až AKU8. Při nabíjení jednoho nebo tří článků se průtok ss proudu nevyhne, transformátor to však vydrží.

Průtok nabíjecího proudu do jednotlivých článků je indikován diodami LED D5 až D8, na které je přiváděno napětí z předřadných rezistorů R2, R3, R6 a R7. Proud LED je nastaven dalšími předřadnými rezistory R1, R4, R5 a R8. Indikace nabíjecího proudu je velmi důležitá, protože nabíjené články často mají špatný kontakt (např. vlivem znečištění) a nenabíjejí se, i když je nabíječka zapnutá.

Pro připojení nabíjených článků je nejjednodušší použít osm běžně prodávaných plastových pouzder s pérovními kontakty určených vždy pro jeden článek. Čtyři pouzdra musejí být pro články AA a čtyři pro AAA.

Při ožívování nabíječky zkontrolujeme nabíjecí proudy tekoucí do připojených článků, zda jsou zhruba 70 nebo 145 mA. Měříme digitálním multimetrem přepnutým na rozsah „ss proud 200 mA“. Velikosti nabíjecích proudů případně upravíme změnou odporu příslušných předřadných rezistorů.

Potřebnou dobu nabíjení určíme ze vztahu:

$$T = (N \cdot Q) / I,$$

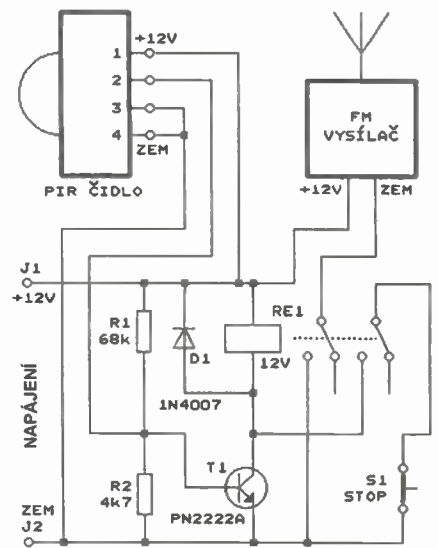
kde T je doba nabíjení v hodinách, $N = 1,2$ až $1,4$ je koeficient přebití, Q je kapacita článku v mAh a I je nabíjecí proud v mA.

MM

Radioelektronika Audio-HiFi-Video, 3/2009

Bezdrátový hlásič přítomnosti zvěře

Novozélandskému radioamatérovi ZL1ANH poškozovali ptáci kiwi trávník na zahradě. Proto si zhotovil bezdrátový (rádiový) hlásič přítom-



Obr. 11. Schéma zapojení bezdrátového hlásiče přítomnosti zvěře

nosti tohoto ptáka a na základě hlášení přijatého v domě jej pak chodil na zahradu plašit.

Zařízení lze jistě využít i u nás pro sledování přítomnosti jakýchkoliv zvířat (případně i lidských škůdců) na sfeženém místě.

Schéma zapojení hlásiče je na obr. 11. K detekci zvířete je použito PIR čidlo, k bezdrátovému přenosu informace z PIR čidla do domu se používá FM vysílač běžně prodávaný pod označením „Automobilový MP3 přehrávač s FM modulátorem“. PIR čidlo a FM vysílač jsou doplněny několika dalšími součástkami (T1, RE1 atd.), kterými jsou navzájem propojeny.

Použité PIR čidlo je určené pro napájení ss napětím 12 V a v klidu má na datovém vývodu 2 nízkou úroveň L. Při detekci sledovaného objektu se informační signál na vývodu 2 uvede na dobu 5 s do vysoké úrovně H.

Datový signál z čidla se výkonově zesiluje tranzistorem T1 a při úrovni H aktivuje relé RE1. Sepne se kontakt, který je připojen paralelně k T1, takže relé zůstane aktivováno i poté, když se datový signál navrátí do úrovně L. Relé tedy slouží jako paměť výskytu sledovaného objektu. Zpět do klidového stavu se relé uvádí stisknutím vypínacího tlačítka S1. Druhým sepnutým kontaktem relé se zapne napájení FM vysílače, který pak hlásí přítomnost sledovaného objektu. D1 potlačuje napěťové špičky indukované na cívice relé. Jako T1 lze použít i běžný BC337-16.

Rádiový signál z FM vysílače lze přijímat jakýmkoliv kvalitnějším rozhlasovým FM přijímačem. Dosah vysílání je několik desítek metrů.

Hlásič je napájen napětím 12 V z hermetizovaného (gelového) olověného akumulátoru.

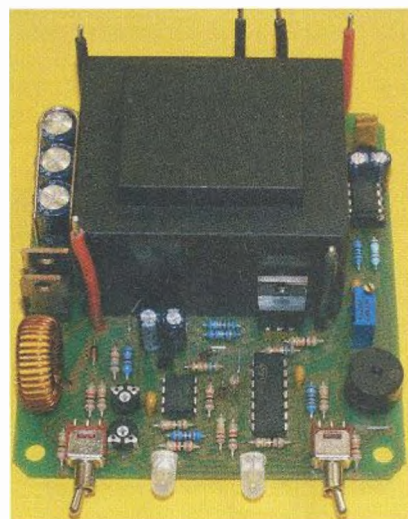
MM

BREAK-IN, březen/duben 2012

Malý nabíječ se síťovým zdrojem

Ing. Zdeněk Budinský

VYBRALI JSME NA
OBÁLKU



formátor TR1 a na jeho výstupu můstkový usměrňovač, složený z diod D2, D4, D5 a D6. Mimo to lze za usměr-

V dílně a v domácnosti jsou obvykle používány baterie akumulátorů různých druhů i kapacit. Pro každou baterii existují i větší jednocelové nabíječe. Existují také specializované IO, vyvinuté pro nabíjení určitého druhu baterie akumulátorů, pomocí kterých lze postavit jednoduché nabíječe. Spojit více specializovaných integrovaných obvodů a postavit tak univerzální nabíječ už tak jednoduché není.

Proto byl navržen tento jednoduchý, ale přesto univerzální nabíječ se širokým využitím. Jako řídicí obvod nabíječe byl použit malý mikroprocesor. Nabíječ umí nabíjet NiCd, NiMH, olověné a Li-polymer baterie. Proud lze nastavit v rozmezí 0,1 až 2 A. Pro každý druh baterie je naprogramován vhodný nabíjecí algoritmus, zajišťující jejich šetrné nabíjení. Na desce je transformátor, který umožňuje napájet nabíječ i ze sítě.

Nabíjecí proud:
nastavitelný 0,1 až 2 A (viz tab. 1).
Nabíjecí výkon:
max. 14 W (omezeno programem).
Další funkce: ochrana proti zkratu a přepólování na výstupu.

Popis zapojení

Schéma zapojení je na obr. 1. Na vstupu (pájecí body X1 a X4) je trans-

Základní technické údaje

Určeno pro baterie:

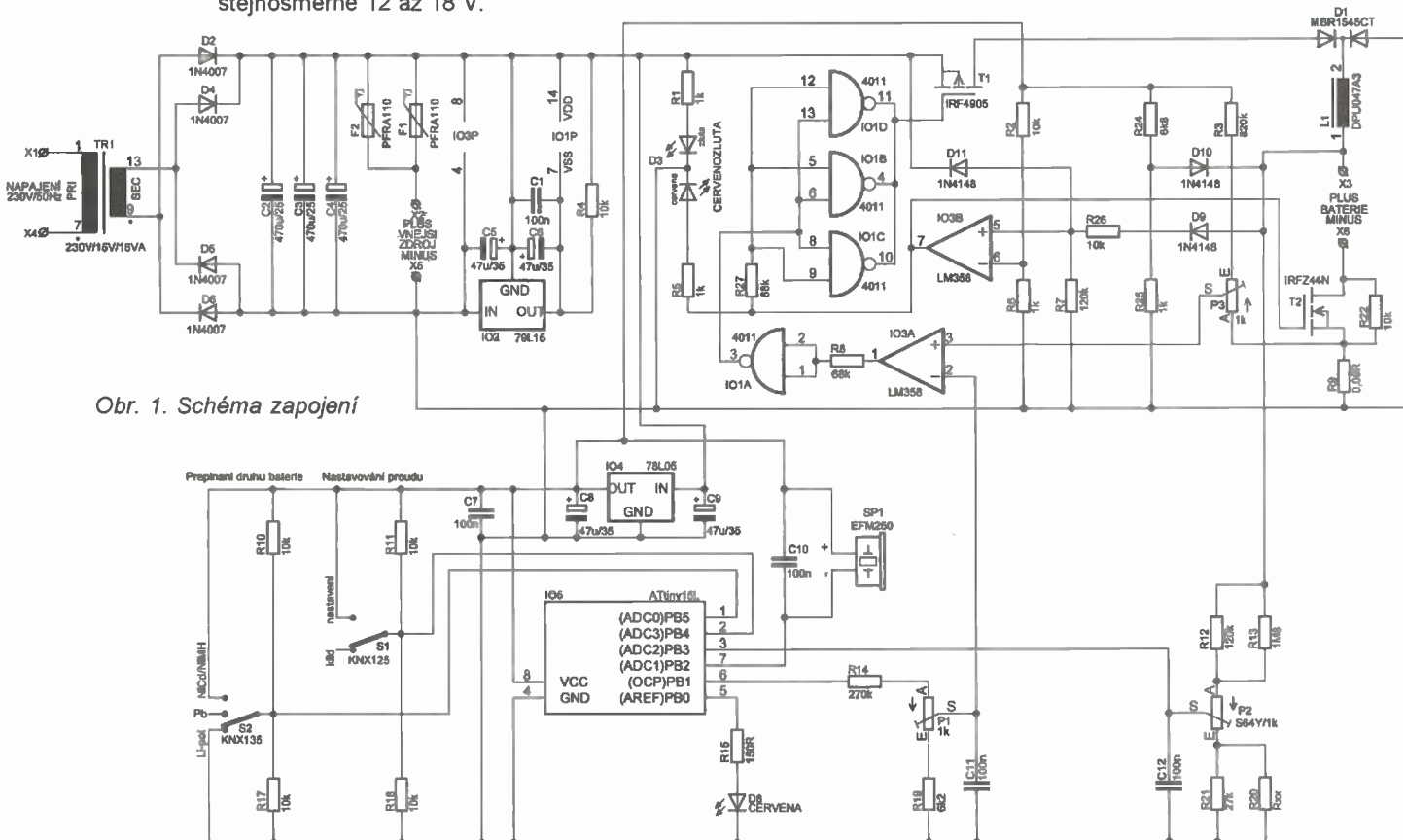
NiCd, NiMH - 1,2 až 12 V,
olověné (i gelové) - 2, 6 a 12 V,
Li-pol - 3,7; 7,4; 11,1 a 14,8 V.

Vstupní napájecí napětí:

střídavé 230 V/50 Hz,
stejnoseměrné 12 až 18 V.

Tab. 1. Tabulka závislosti maximálního nabíjecího proudu na druhu baterie

Druh nabíjené baterie:	NiCd nebo NiMH 1,2 V									
Počet článků baterie:	1	2	3	4	5	6	7	8	9	10
Maximální nabíjecí proud [A]:	2,0	2,0	2,0	2,0	1,8	1,5	1,2	1,0	0,9	0,8
Druh nabíjené baterie:	olověné 2 V			Li-polymer 3,7 V						
Počet článků baterie:	1	3	6	1	2	3	4			
Maximální nabíjecí proud [A]:	2,0	1,8	0,8	2,0	1,5	0,9	0,5			



Obr. 1. Schéma zapojení

řovač připojit napájecí body X2 (plus) a X5 (mínus) i vnější stejnosměrné napětí. Vnější napájecí zdroj je jistěn dvěma polymerovými pojistkami F1 a F2. Nabíjená baterie se připojuje na napájecí body X3 (plus) a X6 (mínus).

Vstupní napětí je vyhlazeno kondenzátory C2, C3 a C4. Stabilizátor IO2 omezuje napájecí napětí hradel IO1. Kondenzátory C1, C5 a C6 zabraňují zakmitávání stabilizátoru, rezistor R4 zajišťuje minimální odebratelný proud. Stabilizátor IO4 stabilizuje napájecí napětí mikroprocesoru IO5. Kondenzátory C7, C8 a C9 zabraňují zakmitávání stabilizátoru.

Činnost nabíječe řídí mikroprocesor IO5, který je propojen s okolními obvody pomocí tří vstupů a tří výstupů. Jeden vstup je připojen na třípolohový přepínač S2, kterým se volí druh baterie. Je-li přepínač v poloze NiCd/NiMH, je na vstup PB5 mikroprocesoru přivedeno napětí 5 V z výstupu stabilizátoru. Je-li přepínač v prostřední poloze, je na vstupu mikroprocesoru napětí 2,5 V, určené děličem R10 a R17. V poloze Li-pol je vstup PB5 připojen na zem. Mikroprocesor si pravidelně měří napětí na vstupu PB5, takže neustále ví, jaký druh baterie je nastaven, případně nezměnil-li se. Program je napsán tak, že změna nastavení druhu baterie způsobí odstartování nabíjecího procesu znovu od začátku.

Na druhý vstup (PB4) je přiváděno napětí z děliče R11 a R18. Paralelně k rezistoru R11 je připojen spínač S1, kterým se přepíná napětí na vstupu PB4 z 2,5 na 5 V. Tímto spínačem se nastavuje nabíjecí proud.

Na třetí vstup (PB3) se připojuje napětí nabíjené baterie, snižené děličem R12, R13, R21 a trimrem P2. Rezistor na pozici R20 je rezerva pro hrubší doladění napětí. Kondenzátor C12 filtruje případné vzplanutí napětí nabíjené baterie. Jako referenční napětí je použito vnitřní referenční napětí mikroprocesoru, které je 2,56 V. Mikroprocesor napětí baterie pravidelně měří a podle naprogramovaného algoritmu zapíná a vypíná nabíjecí proud.

Zapínání a vypínání nabíjecího proudu probíhá nepřímo pomocí výstupu PB1 mikroprocesoru. Na tomto výstupu má mikroprocesor k dispozici pulsně šířkový modulátor (PWM). V závislosti na stavu nabití baterie se PWM výstup nastaví na nulu, na maximum (5 V) nebo na nějakou jinou hodnotu mezi (je k dispozici 256 kroků), je-li to potřeba. Výstupní napětí PWM je zmenšeno děličem R14, P1 a R19 na velikost srovnatelnou s úbytkem napětí na bočnicku, pomocí kterého je měřen nabíjecí proud. Kondenzátor C11 filtruje střídavou složku PWM regulace, takže napětí určené k řízení proudu je čisté vyhlazeno.

Na další výstup mikroprocesoru (PB0) je připojena dioda LED D8, in-

dikující stav nabíječe a nabíjecího procesu. Význam indikace je vysvětlen v odstavci Indikační dioda LED. Rezistor R15 omezuje proud tekoucí diodou LED.

Na poslední výstup je připojena malá sirénka SP1, která také signalizuje stav nabíječe a průběh nabíjecího procesu.

Zbývá část zapojení již slouží k regulaci proudu. Operační zesilovač IO3A je zapojen jako komparátor. Porovnává napětí na invertujícím (-) vstupu, na kterém je napětí, úměrné tomu, jak má být nabíjecí proud velký a neinvertujícím (+) vstupu, na který, je přivedeno napětí z bočnicku R9, úměrné velikosti skutečného nabíjecího proudu. Do obvodu snímání proudu je ještě zapojen trimr P3 a rezistor R3, jež umožňují kompenzovat vstupní napětíovou nesymetrii operačního zesilovače IO3A a tím nastavit přesně nulový proud. Je-li napětí na bočnicku R9 (tedy i nabíjecí proud) větší než požadované, je na výstupu komparátoru IO3A napětí vyšší, blíží se napájecímu. V opačném případě je na výstupu komparátoru napětí blíží se nule. Napětí z výstupu komparátoru IO3A je přivedeno přes ochranný rezistor R8 na hradlo IO1A. Hradlo přemění vstupní analogový signál s poměrně dlouhými náběžnými a sestupnými hranami (dáno „pomalostí“ OZ) na pulsy s krátkými náběžnými a sestupnými hranami. Protože hradlo IO1A obrací fázi signálu, jsou na jeho výstupu zapojeny (a pro zvětšení budicího výkonu paralelně) ještě hradla IO1B, IO1C a IO1D, která obrazejí fázi signálu zpět a zároveň budí tranzistor T1 regulující nabíjecí proud. Celá regulační smyčka je navržena tak, aby v případě, že je nabíjecí proud větší než požadovaný, se tranzistor T1 rychle zavřel a naopak. Celý děj se neustále opakuje nejvyšší možnou rychlostí, danou především rychlostí (nebo lépe řečeno pomalostí) komparátoru IO3A. Nejvyšší rychlost je asi 20 kHz, tj. celý děj vypnutí a zapnutí T1 je opakován až 20 000krát za sekundu.

Do série s výstupní zátěží je zapojena toroidní tlumivka L1, která vyhlazuje výstupní proud a zvyšuje účinnost regulace proudu. Tranzistor T1 je sepnut, dokud proud nedosáhne nastavené hodnoty. Pak je vypnut. Po jeho vypnutí klesne výstupní proud pod nastavenou velikost a tranzistor T1 je opět zapnut. Díky rychle opakujícímu se vypínání a zapínání je nabíjecí proud dostatečně vyhlazený a jen mírně kolísá kolem požadované úrovně.

Protože se každá tlumivka snaží udržet velikost protékajícího proudu i po vypnutí spínače (T1), musíme mu průtok někdy umožnit. K tomu slouží polovina Schottkyho diody D1. Po vypnutí tranzistoru T1 se proud

uzavírá přes tlumivku L1, nabíjenou baterii, tranzistor T2 a bočník R9. Pokud by se opět neotevřel tranzistor T1, tak by postupně zanikl. Druhá polovina diody D1 zabraňuje průniku napětí nabíjené baterie přes tranzistor T1 do napájecího zdroje. Tranzistor T2 chrání nabíječ před poškozením, pokud by byla na výstup připojena baterie v opačné polaritě. Je spínán výstupním napětím komparátoru IO3B. Ten má na svém invertujícím (-) vstupu referenční napětí z děliče R2 a R6 (asi 0,45 V), které porovnává s napětím připojené baterie, přivedeným přes diodu D9 a dělič R26 a R7. Pokud je napětí připojené baterie vyšší než asi 1 V, tak se komparátor IO3A překlopí, sepne tranzistor T2 a ten připojí nabíjenou baterii k nabíječi. Dioda D11 chrání vstup IO3B před vysokým napětím, které by mohlo přicházet od připojené baterie. Z výstupu komparátoru IO3B je přes rezistor R27 blokováno regulátor proudu, je-li to potřeba (nepřipojená baterie, zkrat na výstupu, baterie v opačné polaritě).

K indikaci stavu výstupu komparátoru je určena červeně svítící polovina diody LED, napájená přes rezistor R5. Druhá, žlutě svítící polovina, napájená přes rezistor R1, indikuje napájení nabíječe. Rezistor R22 slouží k připojení baterie k nabíječi z důvodu měření jejího napětí.

Na vstupu komparátoru proudu IO3A je zapojen pomocný dělič R3, P3, který kompenzuje případnou odchylku reálných vlastností (konkrétně vstupní rozdílové napětí) operačního zesilovače od ideálních. Jinými slovy dělič zajišťuje, aby byl nabíjecí proud s jistotou nulový v době, kdy nulový má být.

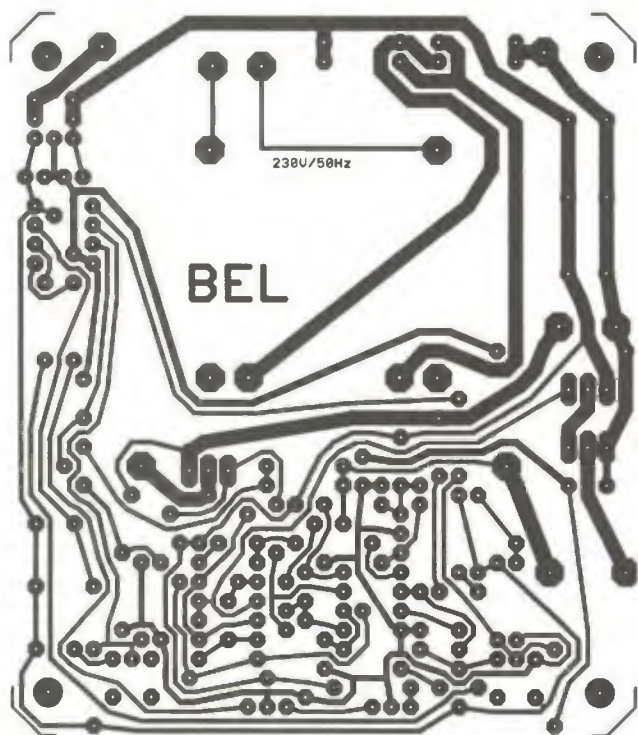
Další pomocný dělič je tvořen rezistory R24 a R25, který přes diodu D10 přivádí na výstup malé stejnosměrné napětí. Výše napětí je ovlivňována závěrným proudem diody D1, takže občas je nutno dělicí poměr trochu upravit podle vlastností použité diody tak, aby výstupní napětí nabíječe naprázdno bylo do 100 mV. Napětí na výstupu používá mikroprocesor k rozlišení tří stavů:

Vysoké napětí (>1 V) na výstupu znamená připojenou baterii, malé napětí znamená nepřipojenou baterii a nulové napětí signalizuje zkrat na výstupu nebo baterii připojenou v opačné polaritě.

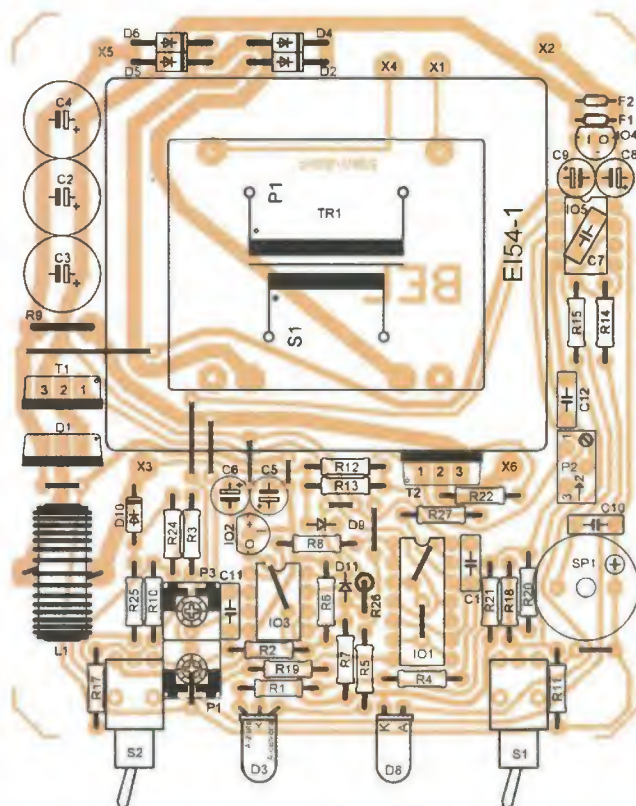
Nabíjecí proud lze po změně výkonových součástek (TR1, D2, D4, D5, D6, T1, T2, D1, L1 a R9) a doplnění chladičů prakticky libovolně změnit. Maximální proud se vypočítá podle vzorce:

$$I_{\max} = 4 \cdot [(R_{P1} + R_{14}) / (R_{P1} + R_{14} + R_{19})] / R_9 \quad [A; \Omega]$$

Proud lze nejjednodušeji změnit použitím jiného bočnicku R9.



Obr. 2. Deska s plošnými spoji 82,5 x 95 mm



Popis nabíjecích algoritmů

NiCd a NiMH baterie:

Je-li zvoleno nabíjení NiCd a NiMH baterie, může být nabíjení ukončeno po detekci vzrůstu napětí (inflexní bod nabíjecí křivky), nebo detekci poklesu napětí („delta peak system“). Jakmile je zahájeno nabíjení, začne blikat dioda LED červeně. Při nabíjení NiCd a NiMH baterií procesor každou minutu nabíjení přeruší a změří napětí baterie. Vzorky napětí získané při přerušení nabíjení se porovnávají a hledají se změny signalizující nabitou baterii. Pokud je detekován inflexní bod, nabíjení pokračuje dál polovičním proudem po dobu 1/4 dosavadní doby nabíjení. Inflexní bod se určuje porovnáváním rychlosti vzrůstu sousedních vzorků napětí baterie. Pokud je detekován pokles napětí, je nabíjení ukončeno ihned.

Pokles se určuje porovnáváním aktuálního vzorku s maximálním naměřeným napětím v průběhu nabíjení. Pokles musí být vyšší než 0,8 % z dosaženého maxima, minimálně ale 40 mV (dvě úrovně převodníku A/D mikroprocesoru). Potom je baterie nabíjena malými konzervačními pulsy, dioda LED blikne a sirénka pípe každých 8 sekund.

Olověné a Li-pol baterie:

Je-li zvoleno nabíjení olověné nebo Li-pol baterie, je nabíjení ukončeno po dosažení mezního napětí. Jakmile je zahájeno nabíjení, procesor určí počet článků baterie (1, 3 nebo 6 článků pro olověné baterie nebo 1 až 4 články pro Li-pol baterie) a zjištěný počet oznámí počtem bliknutí diody LED (červeně). Uživatel by měl vždy

zkontrolovat, zda byl počet článků určen správně, aby se baterie nemohla poškodit. Pak se dioda LED rozsvítí červeně. Procesor neustále měří napětí baterie a hlídá dosažení mezního napětí (olověné baterie 2,3 V na článek, Li-pol baterie 4,2 V na článek). Po jeho dosažení nabíjení ještě pokračuje 5 s a pak je přerušeno. Jakmile napětí baterie klesne pod mezní hodnotu, nabíjení se opět na 5 s obnoví. Čím více je baterie nabitá, tím delší jsou přestávky mezi těmito nabíjecími pulsy, takže průměrný nabíjecí proud postupně klesá. Dioda LED zhasíná v rytmu přerušování nabíjení. Je-li přerušování nabíjení delší než 25 s, je baterie považována za nabitou a nabíjení je ukončeno. Potom je baterie nabíjena malými konzervačními pulsy a dioda LED blikne a sirénka pípe každých 8 s.

Popis ovládání nabíječe

Nastavení druhu baterie:

Druh baterie se nastavuje přepínačem vlevo na předním panelu. Poloha Ni je určena pro nabíjení NiCd a NiMH baterií, poloha Pb pro nabíjení olověných (i gelových) baterií a poloha Li je určena pro nabíjení Li-polymer baterií.

Nastavení nabíjecího proudu:

Nabíjecí proud lze kdykoliv nastavit pomocí přepínače vpravo na předním panelu. Klidová poloha je vlevo, po přepnutí vpravo začne blikat červená dioda LED a pípat sirénka. Po každém pípnutí se nabíjecí proud zvětší o 0,1 A. Po nastavení požadovaného proudu (počtu pípnutí) přepínač vraťte zpět do klidové polohy vlevo.



Obr. 3. Fotografie z boku

Nabíječ si pamatuje nastavený proud i po vypnutí napájení nebo při změně baterie až do dalšího nastavení.

Indikační dioda LED

Dvoubarevná dioda LED vlevo indikuje napájecí napětí (svítí žlutě) nebo připojenou baterii (svítí oranžově). Červená dioda LED vpravo indikuje nastavování nabíjecího proudu, zjištěný počet článků baterie (pouze u Pb a Li-pol baterií), průběh nabíjení a konec nabíjení (viz odstavec Popis nabíjecích algoritmů).

Sirénka

Sirénka indikuje přepólovanou baterii (trvale píská), nastavování nabíjecího proudu (pípá), zjištěný počet článků baterie (pípá) a konec nabíjení (pípá).

Popis konstrukce a oživení

Rozmístění součástek na desce s plošnými spoji je na obr. 2. K pájení lze použít pistolovou páječku s pájecí smýčkou z drátu o průměru 0,7 mm nebo mikropáječku. Nejprve zapájejte všechny drátové propojky (13x). Místo mikroprocesoru zapájejte objímku. Diody 1N4148 mají katodu označenou černým proužkem, diody KA261 mají katodu označenou červeně. Diody 1N4007 zapájejte střídavě nastojato s co nejdelšími přívody, aby se lépe chladily (obr. 4).

Bočník R9 je vytvořen z manganinového drátu (obr. 5). Konce drátu trochu obruste a pocínujte. Pak drát ohněte do tvaru U a asi v polovině ohněte do tvaru L (aby na výšku nevyčníval nad transformátor). Po zapájení všech součástek odstraňte špičatým nástrojem zbytky kalafuny, abyste odhalili nedokonalé spoje nebo zkratky (pohledem proti světlu).

Seřízení nulového proudu

Po kontrole desky připojte na vstupní svorky stejnosměrné napětí 12 V. Zkontrolujte výstupní napětí stabilizátoru IO4 (+5 V) a IO2 (-15 V). Trimrem P1 nastavte do střední polohy. Vytoč-

te trimr P3 (bližší k transformátoru) proti směru pohybu hodinových ručiček. Rozsvítí se levá dioda LED červeně. Otáčejte trimrem zpět, až bude svítit levá LED pouze žlutě.

Seřízení měřeného napětí

Vypněte napájecí napětí, zasuňte procesor do objímky (prohlubní ke kondenzátorům). Zapněte napájecí napětí 12 V. Připojte na výstup stabilizované napětí 16,8 V z externího zdroje. Přepněte přepínač S1 do polohy vlevo a přepínač S2 do polohy vpravo (Li-pol baterie). Sirénka čtyřikrát pípne a červená LED se rozsvítí. Vytácejte víceotáčkový trimr P2 proti směru pohybu hodinových ručiček, dokud dioda LED D8 (červená) nezhasne (pozor dioda LED zhasíná se zpožděním 5 s po dosažení správné polohy trimru). Pak otáčejte víceotáčkovým trimrem zpět po směru pohybu hodinových ručiček, dokud se dioda LED opět nerozsvítí. Pozor, pokud by byla červená dioda LED zhasnuta déle než 25 s, nabíjení by bylo ukončeno a bylo by nutné je znovu nastartovat vypnutím a zapnutím nabíječe. Přesnost tohoto nastavení je velmi důležitá, nejste-li si jisti jeho správností, nastavení zopakujte!

Seřízení nabíjecího proudu

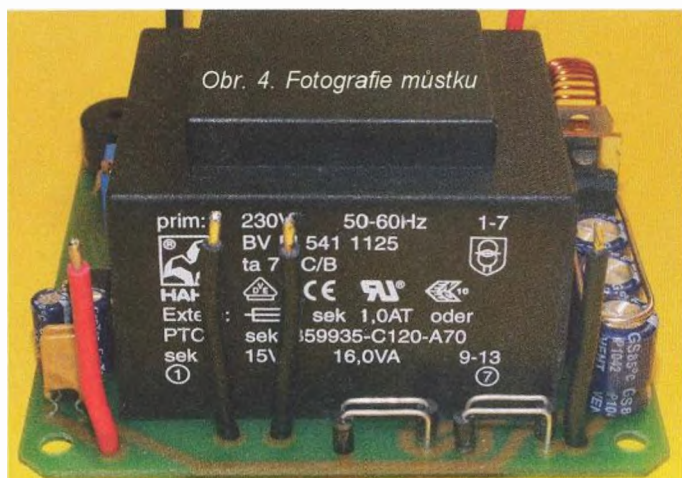
Připojte nabíječ na napětí 12 V a na výstup baterii s napětím do 11 V. Přepněte přepínač S2 doleva (NiCd/NiMH). Přepněte přepínač S1 doprava, nechte sirénku jednou pípnout a vraťte ho zpět. Tím se nastavil nabíjecí proud 0,1 A. Proud zkontrolujte ampérmetrem, měl by být v rozmezí 85 až 90 mA (lze opatrně doladit trimrem P3). Pak přepněte přepínač S1 doprava, nechte sirénku 12krát pípnout a vraťte ho zpět. Tím se nastavil nabíjecí proud 1,2 A. Sirénka jednou pípne a začne nabíjení. Trimrem P1 nastavte nabíjecí proud 1,2 A.

Tím je nabíječ oživen a nastaven, dejte ho do vhodné skříňky, doplňte zdířky, spínač a můžete ho začít používat.

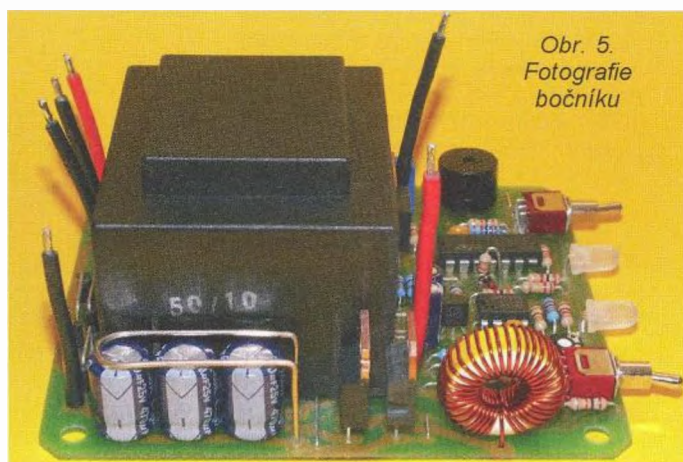
Seznam součástek

R1, R5, R6, R25	1 kΩ
R2, R4, R10, R11, R17, R18, R22, R26	10 kΩ
R3	820 kΩ
R7, R12	120 kΩ
R8, R27	68 kΩ
R9	50 mΩ,
	manganin Ø1 mm/95 mm
R13	1,8 MΩ
R14	270 kΩ
R15	150 Ω
R19	6,2 kΩ
R20	viz text
R21	27 kΩ
R24	6,8 kΩ
P1, P3	1 kΩ, trimr CA6V
P2	1 kΩ, trimr S64Y
C1, C7, C10, C11, C12	100 nF
C2, C3, C4	470 μF/25 V
C5, C6, C8, C9	47 μF/35 V
D1	MBR1545CT
D2, D4, D5, D6	1N4007
D3	5 mm, 3 vývody, žlutočervená
D8	5 mm, červená
D9, D10, D11	1N4148, KA261
F1, F2	PFRA110
IO1	HCF4011BE
IO2	79L15
IO3	LM358
IO4	78L05
IO5	ATtiny15L
T1	IRF4905
T2	IRFZ44N
L1	DPU047A3
S1	KNX125
S2	KNX135
SP1	EFM250
TR1	230 V/15 V/16 VA, EI54-1
	Precizní objímka DIL8

Pro zájemce o stavbu nabíječe je připravena sada součástek a deska s plošnými spoji (vše podle Seznamu součástek) za 600 Kč, případně samotný naprogramovaný mikroprocesor za 150 Kč. Objednávku můžete poslat na adresu: BEL, Eliášova 38, Praha 6, 160 00, tel. 222950345, info@bel-shop.eu. Komerční využití tohoto návodu bez souhlasu autora není dovoleno.



Obr. 4. Fotografie můstku



Obr. 5. Fotografie bočníku

Pomocný oscilátor

Jaroslav Skalník, OK1UKV

V zásobách každého radioamatéra se časem nashromáždí rozličné cívky a mf transformátory. Některé mají vestavěný kondenzátor, a je proto obtížné změřit indukčnost a zjistit kmitočet, na který byla původně cívka určena.

Také indukčnost cívek s feritovými jádry se obtížně zjišťuje. Běžný LC-metr měří indukčnost při nízkém kmitočtu. Na skutečném pracovním kmitočtu je pak vlivem vlastností jádra indukčnost odlišná.

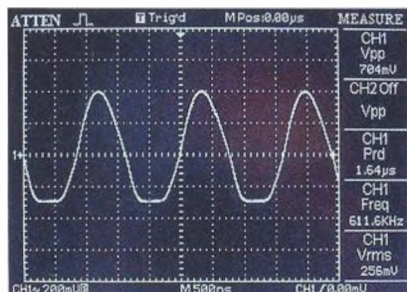
Pro takové případy je určen popísaný pomocný oscilátor. Připojíme k němu neznámý obvod LC nebo také jen samotnou cívku a na vývodu pro čítač nebo osciloskop můžeme odečíst rezonanční kmitočet. Použití zapojení oscilátoru je schopno kmitat i s cívkami s nízkým činitelem jakosti Q, a to v širokém rozsahu kmitočtů od nf až po vř.

Základní parametry

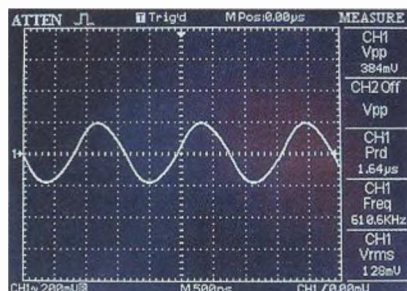
Rozsah:	10 Hz až 100 MHz.
Výstup:	minimálně 50 mV.
Napájení:	1,5 V.
Odběr:	1,6 mA.
Baterie:	1 × AAA (mikrotužka).

Zapojení

Tranzistory T1 a T2 tvoří oscilátor s vazbou na emitorovém rezistoru R1 (obr. 3). Emitorový sledovač s tranzistorem T3 slouží k oddělení výstupu od rezonančního obvodu, aby připojení čítače nebo osciloskopu příliš neovlivňovalo kmitočet. Na emitorový



Obr. 1. Překmitaný oscilátor se vyznačuje deformací sinusovky



Obr. 2. Po snížení rozkmitu oscilací pomocí P1

rezistor R4 je připojen konektor BNC výstupu pro čítač. Výstup je připojen přes ochranný rezistor R5, který chrání T3 před náhodným zkratem vývodů se zemnicím vývodem nebo kostrou připojených měřidel.

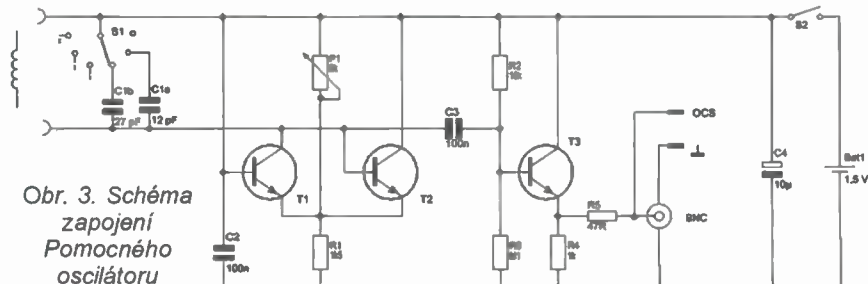
Přepínačem S1 je možné paralelně k měřené cívce připojit jeden ze sady jedenácti kondenzátorů pro hrubé ladění rezonančního kmitočtu. V první poloze přepínače není zařazen žádný kondenzátor a oscilátor pak kmitá pouze s kapacitou tvořenou montážní kapacitou plošného spoje a kapacitou tranzistorů. Nevýhodou použitého zapojení je, že se uplatní paralelní spojení vnitřních kapacit všech tří použitých tranzistorů. Tato „základní“ kapacita spoju a připojených součástek je přibližně 15 pF.

Obvyklé zapojení oscilátoru je doplněno o potenciometr P1, který slouží pro snížení vnitřního napětí oscilátoru tak, aby otevřené přechody tranzistorů co nejméně ovlivňovaly výsledný kmitočet. Při zkoušení cívky s dobrým činitelem jakosti Q je obvykle oscilátor „překmitaný“ (viz obr. 1). Sinusový průběh je deformovaný a začíná se tvarem blížit obdélníku. Tím je zároveň také ovlivněn výstupní kmitočet. Správný kmitočet dostaneme zmenšením rozkmitu oscilací pomocí potenciometru P1. Otáčíme knoflíkem potenciometru a snižujeme rozkmit oscilací, dokud nezačne být průběh kmitů sinusový (obr. 2).

Celé zapojení je napájeno napětím 1,5 V z jednoho článku mikrotužky (AAA). Spotřeba Pomocného oscilátoru je menší než 2 mA, takže baterie vydrží velmi dlouho, hlavně pokud nezapomeneme po měření vypnout vypínač S2.

Konstrukce

Pomocný oscilátor je postaven na jedné desce s plošnými spoji (DPS). Deska je jednostranně plátovaná a je



Obr. 3. Schéma zapojení Pomocného oscilátoru

VYBRALI JSME NA
OBÁLKU



na ní použita jedna drátová propojka. U DPS je nutné odříznout rohy, aby se vešla mezi sloupky krabičky (nebo je možné v rozích vyvrtat díry, kterými by se deska na sloupky nasunula. K připevnění DPS jsou použity malé výstupky na dně krabičky. Proto je třeba výstupky v krabičce provrtat vrátkem 2 mm, aby mohly být použity samořezné šroubky 2,2 × 6,5 mm.

Všechny součástky vstupu a výstupů, přepínač, spínač a potenciometr jsou umístěny na DPS, při stavbě nejsou potřeba žádné spojovací dráty. Potenciometr je umístěn tak, že stojí zadní plochou pouzdra na DPS a jeho vývody jsou ohnuty dolů a zapájeny do DPS. Po osazení všech součástek je potenciometr dodatečně upevněn k DPS dvěma kapkami tavného lepidla.

Pro snadné připojení osciloskopu bez přehazování šňůry se sondou za šňůru s konektory BNC je pomocný oscilátor vybaven vývodem tvořenými malými fastony (vývod OCS), které se dobře hodí pro zachycení standardní sondy osciloskopu.

Vstupní zdičky jsou k DPS připevněny pomocí kovových sloupků M4. Délka sloupků 15 mm je zvolena tak, aby připojovací mezera svorek byla právě nad povrchem smontované krabičky. Měřené cívky se tak mohou připojovat buď šňůrami s banánky,

nebo uchycením drátových vývodů pomocí šroubovací hlavy zdířek.

Pro uchycení článku AAA je použit držák, který sestává ze dvou stejných plechových výlisků. Tento držák byl vyvinut v dobách, kdy ještě měly tužkové baterie papírový obal. Papírový obal tužkových baterií se dnes již nepoužívá, baterie mají obal kovový a ten, i když je pokryt barvou, způsobí po čase mezi rameny držáku zkrat. Proto se kovový plášť baterie musí před vložením do držáku nejméně na jednom konci obalit kouskem izolační pásky!

Štítek přístroje (obr. 5) byl navržen pomocí programu FrontDesigner a vytištěn na samolepicí papír. Po přilepení byl papír proti ohmatání překryt čirou samolepicí fólií.

Upozornění - použité ovládací knoflíky mají upevňovací červíčky, které se utahují klíčem imbus 2 mm.

Měření

Ke vstupním zdíčkám připojíme měřenou cívku a k výstupnímu konektoru připojíme čítač. Vstupní zdíčky ani cívka se zároveň nesmí spojit s kostrou připojených měřidel, protože jsou na potenciálu +1,5 V a nastal by zkrat. Pokud máme digitální osciloskop, který prakticky vždy ukazuje kmitočet, stačí připojit jen ten. Zapneme spínač pomocného oscilátoru, nastavíme P1 na maximum a již můžeme odečíst kmitočet. Pokud cív-

ka již nemá připojen paralelně svůj kondenzátor, můžeme přepínačem S1 zařadit vhodný kondenzátor takové kapacity, aby kmitočet byl blízko požadovanému rozsahu. Přesnější kmitočet zjistíme po snížení rozkmitu oscilátoru pomocí regulačního potenciometru P1. Otáčíme knoflíkem potenciometru, až je průběh co nejvíce sinusový. Dá se říci, že nejpřesnější je kmitočet těsně před bodem, než oscilátor úplně vysadí. To lze využít, pokud nemáte připojen osciloskop, ale jen čítač. Otáčíme potenciometrem, až oscilace zaniknou, a pak se vrátíme o kousek zpátky. Potom můžeme nejen zjistit kmitočet, ale ze zařazené kapacity můžeme zároveň vypočítat indukčnost cívky použitím Thomsonova vzorce:

$$L = 25 \cdot 339 / (f \cdot C) \quad (\mu\text{H}, \text{MHz}, \text{pF})$$

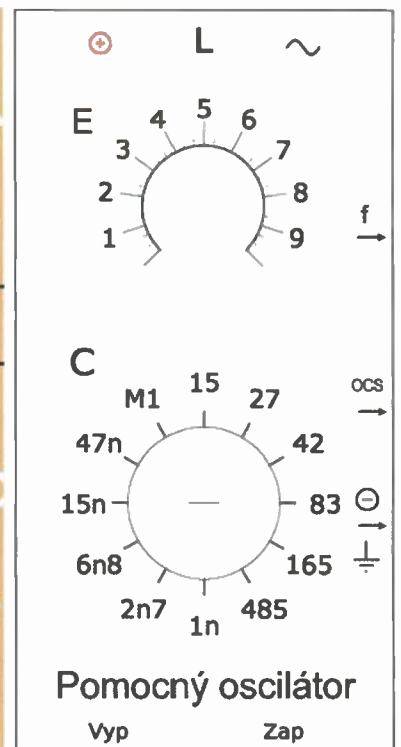
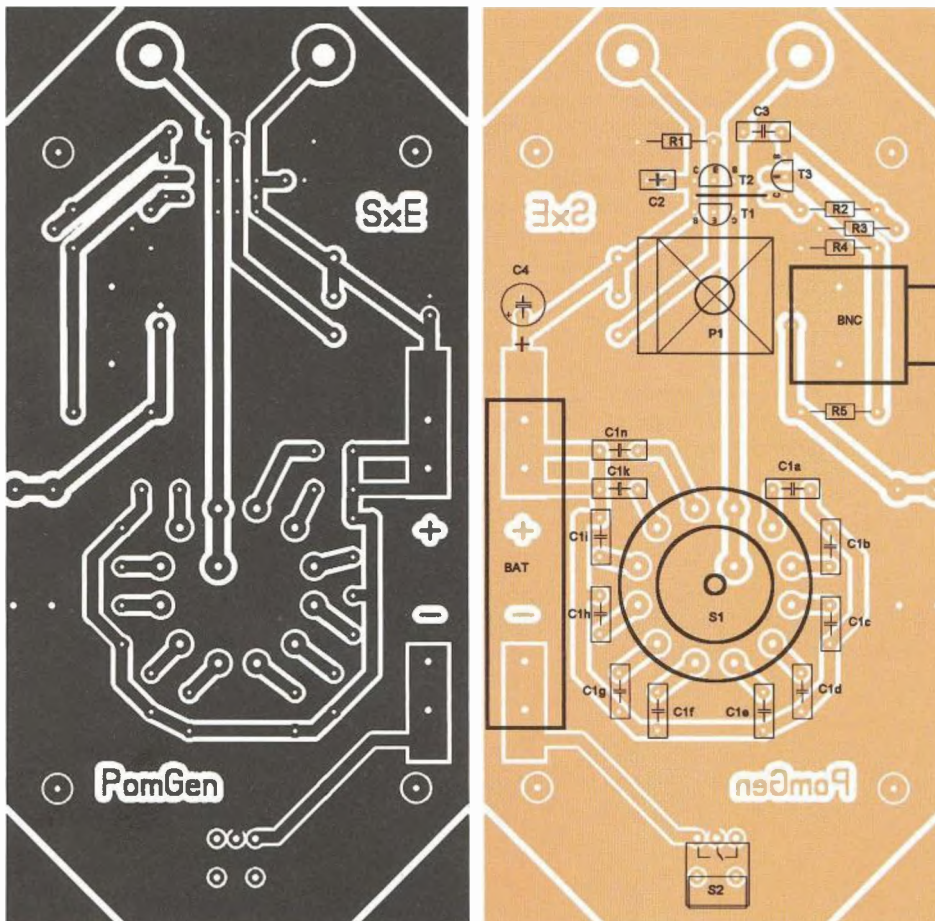
Míra natočení potenciometru pro vysazení, případně nasazení oscilací je do určité míry ukazatelem ochoty cívky kmitat na nastaveném kmitočtu, neboli ukazatelem Q. Toto je sice velmi hrubé posouzení Q cívky, ale výsledky přesto mohou být zajímavé. Poloha zániku kmitů ovšem závisí i na napětí článku. Oscilátor je schopen kmitat i při napětí článku asi 0,7 V a tak je vhodné ho včas vyměnit, aby nás nízké hodnoty nemátly. Napětí článku je (při zapnutém spínači) možné bez rozebírání krabičky změřit mezi levou zdíčkou (L+) a dolním fastonem (kostra -).

Výstupní střídavé napětí oscilátoru dosahuje až 1,5 V a po obvyklém snížení potenciometrem P1 je vždy větší než 50 mV, což stačí prakticky pro většinu čítačů i osciloskopů.

Výpočet základní kapacity

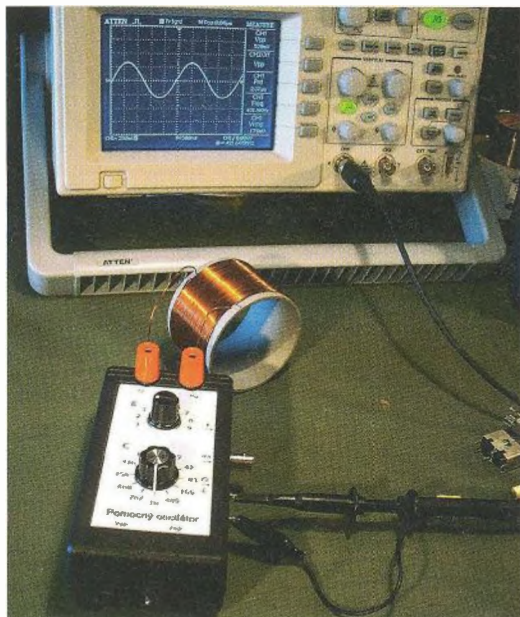
Dva závitů drátu připojené ke zdíčkám dávaly s vnitřní kapacitou přístroje kmitočet 112 MHz. Tato „základní“ vnitřní kapacita je připojena ke zdíčkám pomocného oscilátoru, i když je přepínač S1 v první poloze, kde není připojen žádný z osazených kondenzátorů. Oscilátor je sice schopen kmitat vysoko nad 100 MHz, ale konstrukce přístroje není pro vysoké kmitočty přizpůsobena. Pro tak vysoké kmitočty se stává významnou součástí kmitavého obvodu vedení k přepínači, sloupky zdířek a další části zapojení. Konstrukce je určena hlavně pro kmitočty pásma krátkých vln. Pro kmitočty přes 100 MHz by bylo nutné podstatně zkrátit vedení v obvodu a není možné použít tento přepínač. Také by pak bylo třeba podstatně omezit konstrukční kapacity.

Základní konstrukční kapacita pomocného oscilátoru je dána zejména kapacitou plošných spojů a připojených součástek, hlavně tranzistorů. Protože jsou přímo ke svorkám připojeny přechody tranzistorů, které navíc mají bez funkce jinou kapacitu než při oscilacích, nelze základní kapacitu jednoduše změřit. Můžeme ji ale vy-

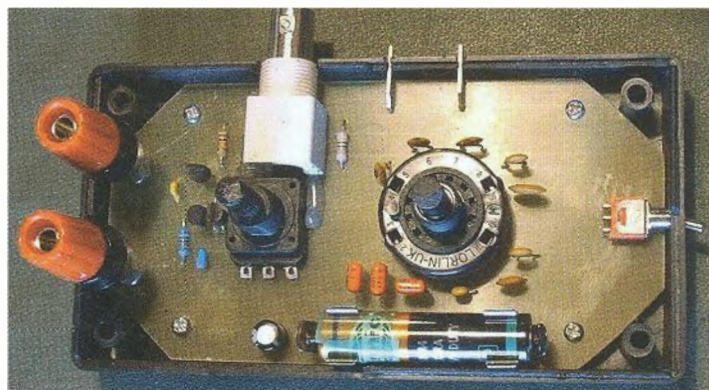


Obr. 5. Štítek se stupnicemi

Obr. 4. Deska s plošnými spoji 61×121 mm



Obr. 6.
Připojení
sondy
osciloskopu



Obr. 7.
Osazená deska
přišroubovaná
v krabičce

počítat. Použijeme libovolnou cívku, se kterou oscilátor dobře kmitá, nejlépe 5 až 7 závitů na feritové tyčce nebo lépe na feritovém toroidu. Vineme izolovaným drátem s velkými mezerami, aby byla vlastní kapacita vinutí co nejmenší. Když změříme kmitočet této cívky v první poloze přepínače S1 (tj. bez připojených kondenzátorů), je to frekvence, na které kmitá cívka pouze se základní (konstrukční) kapacitou přístroje. Nyní bez jiných změn přepneme (nejlépe o dvě polohy) na nějakou jinou polohu S1, která má připojen známý kondenzátor, nebo takový připojíme ke zdírkám. Základní kapacitu C_0 vypočteme podle vzorce:

$$C_0 = C_p / [(f/f_p)^2 - 1]$$

C_p je přidaný kondenzátor, f kmitočet bez C_p , f_p je kmitočet s připojeným C_p .

Když zadáte C_p v pF, tak vyjde C_0 také v pF. Frekvence se mohou zadat v libovolných jednotkách (MHz, kHz), jen obě ve stejných.

Na prvním kusu pomocného oscilátoru byla zjištěna kapacita C_p 17 pF. Od této hodnoty je odečtena odhadovaná kapacita měřicí cívky 2 pF. Podle takto získané kapacity byla napsána stupnice pro přepínač S1. Hodnota základní kapacity byla pak připočtena jen ke kondenzátorům s kapacitou do 1000 pF. Počítat vyšší hodnoty nemá smysl vzhledem k toleranci běžně dostupných kondenzátorů a také k dosažitelné přesnosti měření s tímto pomocným oscilátorem. Kmitočet zejména u vyšších frekvencí ovlivňuje poloha věcí v okolí cívky a také pohyb rukou u oscilátoru. Na to je třeba brát ohled.

Stejným postupem, jak je výše popsáno, můžeme také určit kapacitu paralelního kondenzátoru vestavěného v krytu cívky, který nemůžeme nebo nechceme pro měření indukčnosti samotné cívky rozebírat.

Závěr

Pomocný oscilátor je jednoduchý přístroj pro orientační měření a zkoušení parametrů cívek. Slouží k rychlému posouzení použitelnosti cívek v rozsahu od velmi nízkých frekvencí až po VKV. Z naměřeného kmitočtu a nastavené kapacity je možné vypočítat indukčnost zkoušené cívky. Oscilátorem lze měřit a naladit i cívky velkých rozměrů (např. rámovou anténu), které jinými přístroji nelze měřit kvůli velkému rušení, které taková cívka obvykle přijímá.

Nedostupný ladič kondenzátor je v pomocném oscilátoru nahrazen přepínačem se sadou jedenácti pevných kondenzátorů. Toto řešení má zároveň tu výhodu, že pokrývá mnohem větší rozsah kapacit. Na rezonanční kmitočty, které spadají mezi jednotli-

vé kapacity přepínače, se lze obvykle doladit jádrem cívky nebo roztahováním a stlačováním závitů. Další kondenzátory lze ostatně snadno připojit ke zdírkám pomocného oscilátoru.

S vhodnou cívkou je také možné oscilátor použít i jako pomocný zdroj signálu.

Seznam součástek

Přesné typy nejsou kritické, dodává je prakticky každý větší obchod se součástkami. Pouze pro jednoznačnost je v seznamu někde použito značení podle katalogu GM.

P1	5 kΩ, PC16MLK005, plastový
R1	1,5 kΩ
R2	10 kΩ
R3	100 kΩ
R4	1 kΩ
R5	47 Ω
C1a	12 pF/500 V, keram.
C1b	27 pF/500 V, keram.
C1c	68 pF/500 V, keram.
C1d	150 pF/500 V, keram.
C1e	470 pF/500 V, keram.
C1f	1 nF/500 V, keram.
C1g	2,7 nF/500 V, keram.
C1h	6,8 nF/50 V, keram.
C1i	15 nF/63 V, keram.
C1k	47 nF/J, fóliový
C1n	100 nF/J, fóliový
C2	100 nF/50 V, keram.
C3	100 nF/100 V, 10 %, keram.
C4	10 μF/100 V, radiální
T1 až T3	BF199, TO 92
S1	přepínač P-DS1PC 12×1, do DPS
S2	páčkový přepínač P-KNX125, 1 pól, 2 polohy, do DPS
z1, z2	přistr. svorka červená K205R
J	konektor BNC, BNC-Z 50RW, zásuvka do PLS, 90 st.
OCS	konektor FASTON, LS1407, do PLS, pravouhlý, 2 kusy
P-S8860	přístrojový knoflík 19,5 mm
P-S8879	přístrojový knoflík 15,5 mm
D17M4X15	sloupek kovový M4, délka 15 mm, 2 kusy
SKM4X6	šroub M4×6 mm, 2 kusy
SB812265	křížový samořezný šroub 2,2×6,5, 4 kusy
Krabička	U-KP25, 37×67×129 mm, 2 díly, spojení 4 vruty, černá
BCL-PC	AAA kovový držák na AAA články do DPS, 2 kusy
Bat1	1,5 V, AAA



Obr. 8. Hotový přístroj

Mikrospájkovačka

Adam Lassak

Žiadna dielňa sa nezaobíde bez kvalitnej mikrospájkovačky. Klasické bez regulácie nie sú až tak vhodné. Prvotne padla voľba na nejakú s mikroprocesorom a LCD, ale prišlo mi to ako zbytočný luxus.

Technické parametre

Výkon rúčky: 48 W.
Rozsah teplôt: 100 až 450 °C.
Presnosť teploty: ±10 °C.
Iné funkcie: stand-by (100 °C).

Popis zapojenia

Horná časť schémy zobrazuje napájaciu časť. Výstupné napätie transformátora je usmernené diodami D1 až D4 a vyfiltrované C2. Napätie po vyfiltrovaní dosahuje 26 V, preto je znížené na požadovaných 24 V za pomoci T1, D7, R1. Napätie nie je stabilizované, nemá spätnú väzbu, je len znížené. Z 24 V je ďalej stabilizovaných 5 V pre riadiacu elektroniku stabilizátorom IO1. Zo striedavého napätia je odvodnené záporné napätie pre IO3. To je stabilizované pomocou D8, R2.

Teplota hrotu je snímaná termočlánkom, ktorý je súčasťou spájkovačej rúčky. Termočlánok je s malými chybami lineárny. Pre potrebný rozsah teplôt 100 až 450 °C je jeho napätie 5 až 29 mV. Toto napätie je zosilnené 100x operačným zosilňovačom IO3, ktorý vyžaduje symetrické napájanie. S IO3 súvisia trimre P2 a P3 pre nastavenie offsetu a násobku zosilnenia v rozmedzí asi 83 až 115. Hlavnú riadiacu časť tvorí komparátor IO4. Ten má na invertujúci vstup privedené zosilnené napätie z termočlánku. Na druhom vstupe je vytvo-

rený napäťový delič tvorený R7, R9 a P1. Týmto deličom vzniká na vstupe napätie v rozmedzí 0,5 až 2,9 V.

Zapojenie komparátora využíva hysteréziu, preto má zavedený späťnoväzbový rezistor R8. To znamená, že ak je výstup IO4 v kladnom stave, je rezistor R8 pripojený paralelne k R7, čím sa napätie na deliči zvýši. Ak je výstup IO4 v zápornom stave, R8 je pripojený k sériovo spojeným R9 a P1, čím je napätie na deliči nižšie. V praxi to znamená, že ak je nastavená teplota mikrospájkovačky napr. na 300 °C, tak hriať bude na vyššiu teplotu, asi 305 °C, a znova sa zapne pri poklese na asi 295 °C. Tým na mikrospájkovačke teplota kolíše len v dovolenom rozmedzí.

Na spínanie výhrevného telesa je použitý tranzistor T4 typu MOSFET. Aby mal nízky R_{DS} , je potrebné na „gate“ priviesť vyššie napätie, pri 5 V by sa na ňom vytvoril vysoký príkon. V tomto prípade je to 15 V vytvorených Zenerovou diódou D10. Na oddeľenie ovládacieho napätia 5 V od riadiaceho napätia T4 je použitý optočlen IO5. LED D11 signalizuje zapnutý výhrev rúčky. Táto mikrospájkovačka je ďalej vybavená obvodom stand-by, vhodným, ak rúčku položíte do stojana na dlhší čas, pričom sa udržiava najnižšia teplota 100 °C. Nezáleží v akej polohe je potenciometer P1. Tento obvod je tvorený Johnsonovým čítačom IO2. Do stavu udržovacej teploty sa prepína tlačidlom T11. Na ochranu tlačidla proti zá-



kmitom slúži C8 a R3. Signalizácia stand-by je pomocou dvojfarebnej LED D9, červená/zelená. Pri zapnutí stand-by svieti červená LED. Vtedy je otvorený T3, ktorý premostuje potenciometer, čím je jeho hodnota nulová nezávisle na jeho polohe.

Stavba a oživenie

Mikrospájkovačka využíva spájkovaciu rúčku „Pensol Iron N“ pre spájkovacie stanice „SL-x0“ (Pozn. redakcie: najdete je v nabídku např. firem AME, AVELMAK).

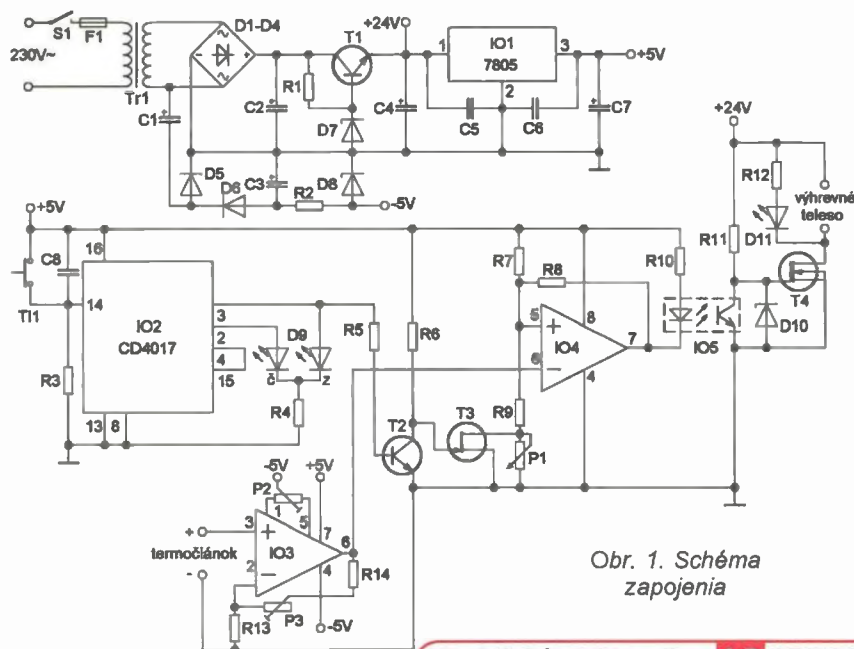
Tranzistor T1 a stabilizátor IO1 je potrebné umiestniť na chladič. Keďže DPS je navrhované tak, že majú spoločný chladič, musia byť oddelené kvôli kovovým puzdrám. Spínací tranzistor T4 nie je potrebné umiestniť na chladič vďaka nízkemu R_{DS} .

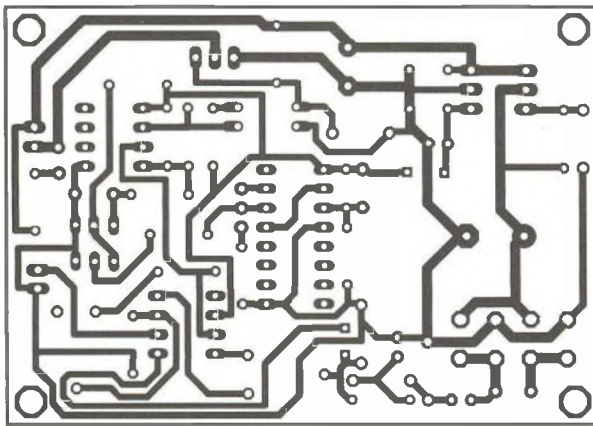
Prvým nastavením je napäťová nesymetria vstupov (offset). Tá sa nastavuje trimrom P2. Ak na vstup IO3 (vývod 3) privedieme 0 V, na výstupe (vývod 6) musí byť 0 V. Pre nastavenie prepojíme konektor pre termočlánok, čím je na vstupe 0 V a na výstupe nastavíme 0 V trimrom P2.

Ďalším krokom je nastavenie násobku zosilnenia na 100 trimrom P3. Toto nastavenie je možné vykonať dvoma spôsobmi. Prvým spôsobom je priviesť na vstup (vývod 3) známe napätie do 30 mV a trimrom P3 nastaviť na výstupe (vývod 6) 100-násobok tejto hodnoty. Druhým spôsobom je určenie hodnoty násobku zmeraním skutočnej hodnoty rezistorov R13, R14 a následným výpočtom. Dosadením do rovnice $P3 = 99 \cdot R13 - R14$; [Ω] vypočítame odpor P3, ktorý následne nastavíme ohmmetrom.

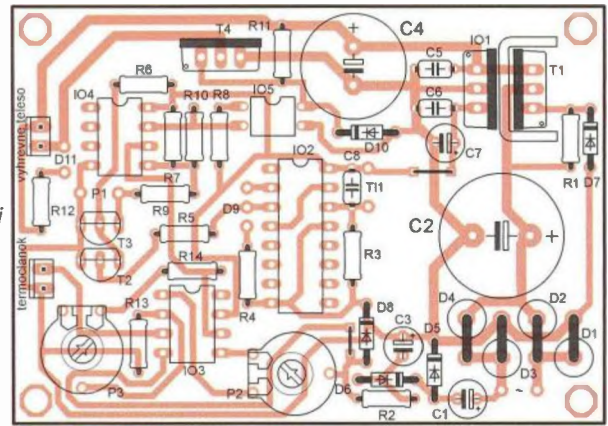
Zoznam súčiastok

R1	470 Ω
R2, R5, R11, R12	1 k Ω
R3	47 k Ω
R4	130 Ω
R6	10 k Ω

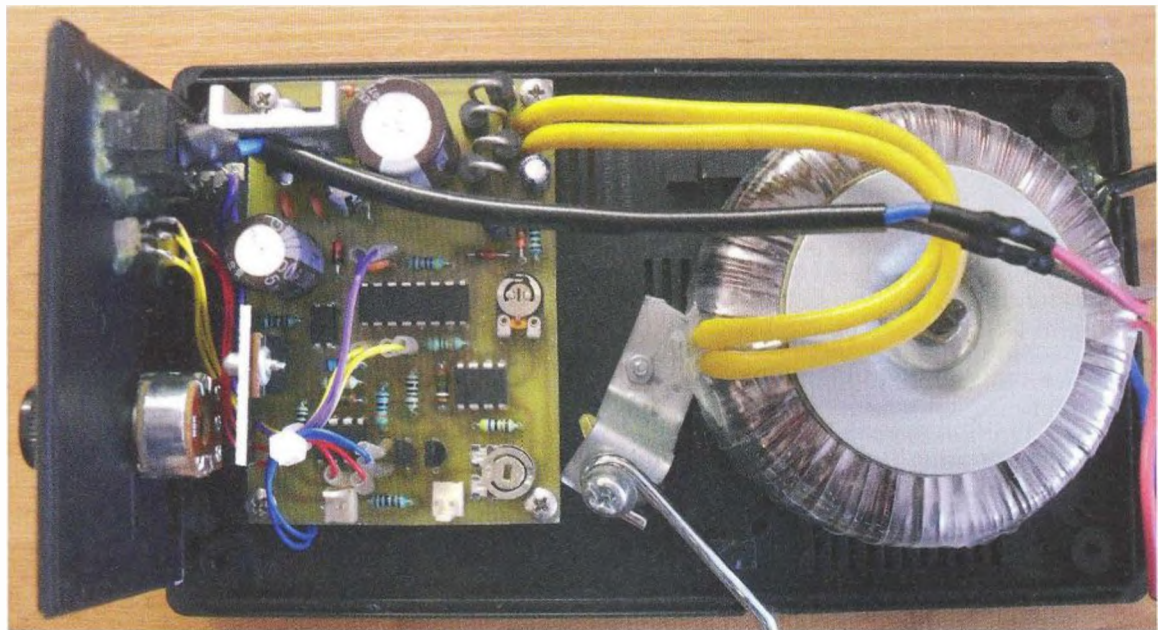




Obr. 2.
Doska
s plošnými
spojmi



Obr. 3.
Fotografie
mikropáječky



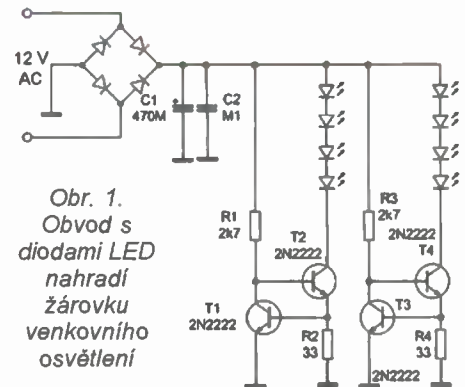
R7, R14	3,9 kΩ	P2	47 kΩ PT10, trimer	T3	BS170
R8	470 kΩ	P3	1,5 kΩ PT10, trimer	T4	IRF540
R9	430 Ω	D1 až D4	1N5404	IO1	L7805
R10	150 Ω	D5,6	1N4148	IO2	CD4017
R13	47 Ω	D7	24 V/1,3 W	IO3	TL071
C1,3	22 μF	D8	5,1 V/0,5 W	IO4	LM393
C2	2200 μF	D9	dvojitá, č/z	IO5	PC817
C4	1000 μF	D10	15 V/0,5 W	S1	spínač sietový
C5, C6, C8	100 nF	D11	červená	T11	tlačidlo
C7	100 μF	T1	BD649	F1	T250 mA
P1	5 kΩ/N, lineárny	T2	BC547	Tr1	230/19 V, 50 W

Zahradní osvětlení s LED

Pokud používáme pro venkovní osvětlení, např. zahrady nebo dvorku, klasická žárovková svítidla napájená malým napětím, lze se nadít problémů s poruchami žárovek a hrozí i koroze spojů. Jako inspirace pro jejich řešení může sloužit článek [1], jehož autor nahradil 7 až 12V žárovku ve svítidle osmi běžnými bílými LED napájenými obvodem z klasických součástek (obr. 1). Jako důvod tohoto řešení uvádí, že součástky určené pro povrchovou montáž (jak LED, tak jejich integrované budiče) jsou dražší a nejsou vhodné pro venkovní provoz. Časově a na základě venkovního osvětlení ovládaný zdroj střída-

vého napětí 12 V napájí po usměrnění a filtraci dvě čtveřice LED v sérii s tranzistorovými zdroji konstantního proudu. Velikost proudu diodami I_{LED} v řetězci se volí pomocí rezistorů R2 (R4), přičemž platí, že $I_{LED} \approx U_{BE}/R2$, kde U_{BE} je úbytek napětí na přechodu báze-emitor tranzistoru, který je přibližně 0,65 V.

Při odporu R2 (R4) 33 Ω teče diodami proud 0,65 V / 33 Ω, tedy přibližně 20 mA. Je vhodné zkontrolovat, zda následkem případně vyššího napájecího napětí nejsou výkonově přetíženy tranzistory T2 a T4. Tomu lze zabránit vřazením ochranných rezistorů s malým odporem do řetězců LED, které napětí na tranzistorech sníží. Spoje osvětlovacího systému by měly být pájené a kruhová spojová deska a spoje chráněny proti korozi samovulkanizujícím elektroizolač-



Obr. 1.
Obvod s
diodami LED
nahradí
žárovku
venkovního
osvětlení

ním tmelem a celek opatřen kruhovým stínidlem.

JH

[1] Johnston, E.: Transistors drive LED to light the pass. EDN 6. ledna 2011, s. 50, 51.

Přijímač pro signály meteorologických satelitů NOAA ve formátu HRPT (High Resolution Picture Transmission)

Ing. Miroslav Gola, OK2UGS

(Pokračování)

Stabilizované zdroje

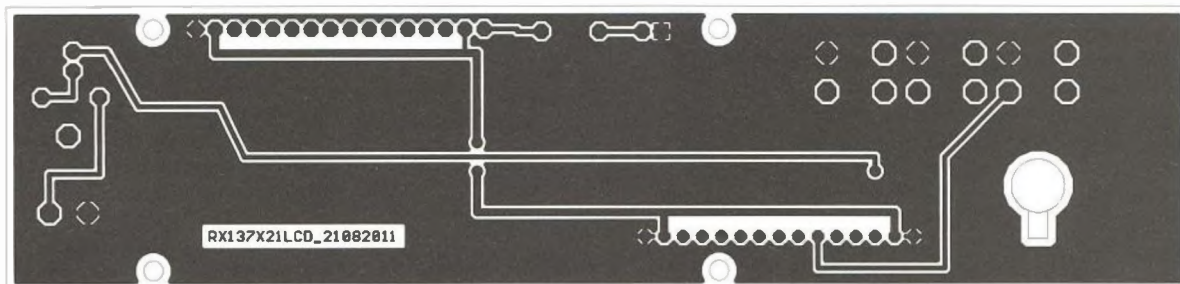
Přijímač je napájen z externího nestabilizovaného zdroje (adaptéru 230 V/15 V/350 mA) přes konektor N1. Tavná pojistka F2 ve spojení s výkonovou diodou D7 chrání přijímač před přepólováním zdroje. Na základní desce pak následuje kaskáda napěťových stabilizátorů, na jejímž prvním obvodu IC1 snížíme vstupní napětí na 12 V a vedeme ho na stabilizátory IC2 (LM78L08) a IC7 (LM7805). Dále vedeme 12 V také přes jednoduchou vf výhybku, tvořenou tlumivkou TL1 a blokovacím kondenzátorem C1, na anténní konektor pro napájení

konvertoru 1700/137 MHz a předzesilovače 1700 MHz. Výhybka je opatřena tavnou pojistkou, která ochrání desku před vypálením při nechtěném zkratu na koaxiálním kabelu při manipulaci s konvertorem a předzesilovačem. Stabilizátor IC7 napájí digitální část přijímače a oscilátor demodulátoru. Stabilizátor IC2 napájí vstupní vf část přijímače s tranzistorem T1 a T2, dále směšovač s IC3 a kladnou větev 4 operačních zesilovačů v pouzdru IC12. Záporná větev je napájena z napěťového invertoru s obvodem IC10. Všechny stabilizátory jsou zapojeny podle doporučení výrobců, při ožívání se omezíme na kontrolu výstup-

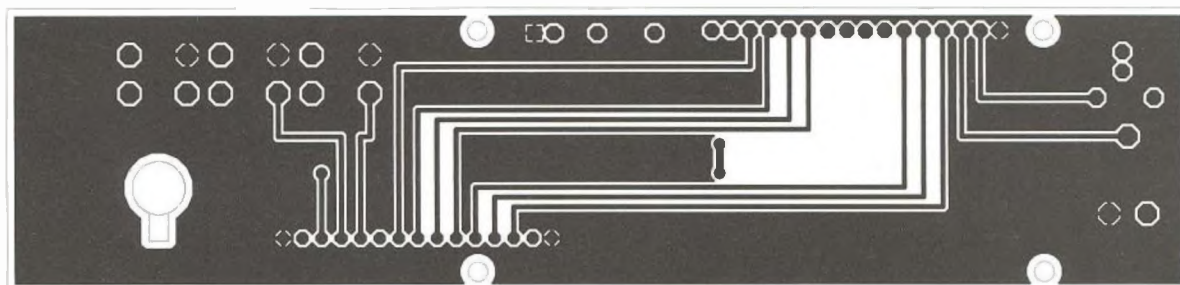
ního napětí. Pokud by se IC1 zahříval (odběr proudu je ovlivněn konkrétním typem předzesilovače a konvertoru) nad únosnou mez, opatříme jej chladičem. V zapojení jsou použity v relativně nadměrném množství vf tlumivky, které by měly zabezpečit omezení vzájemného ovlivňování jednotlivých částí přijímače po napájecí větvi. Abychom mohli ožítovat samostatné části přijímače, jsou v zapojení zdrojů použity propojky z rezistorů s nulovým odporem, nebo jen drátové propojky.

Vstupní část přijímače

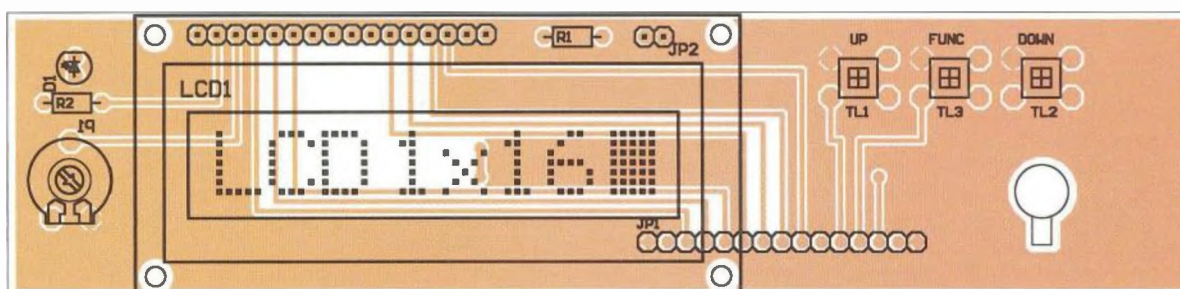
Signál z konvertoru 1700/137 MHz přichází přes vstupní konektor typu BNC nebo F na kapacitní dělič s C2 a C3 pro impedanční přizpůsobení dvojitého laděného obvodu s L1 a L2. Prvním zesilovacím stupněm je tranzistor T1 (BF982), jehož G1 je připojena na výstup pásmové propusti a G2 na napěťový dělič, kterým lze upravit zesílení obvodu. Důležitý je kondenzátor C8 v provedení SMD o kapacitě 1 nF, připojený na G2, který spolehlivě utlumí pokusy tranzistoru T1 zakmitávat. Zvláště tranzistory TESLA KF981 a KF982 je nutné tímto postupem ošetřit. Vývod D tranzistoru T1 je přiveden přes rezistor R3 (může být nahrazen trubičkou nf feritu s protaženým drátem, jehož oba konce zapájíme do DPS) na trojité la-



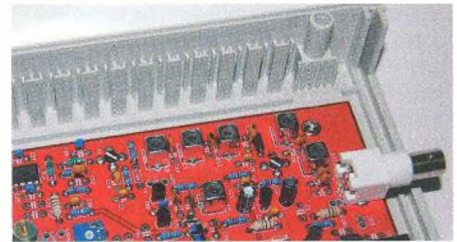
Obr. 7. Deska s plošnými spoji displeje - strana součástek



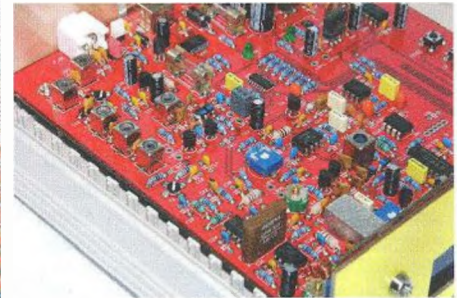
Obr. 8. Deska s plošnými spoji displeje - strana spojů



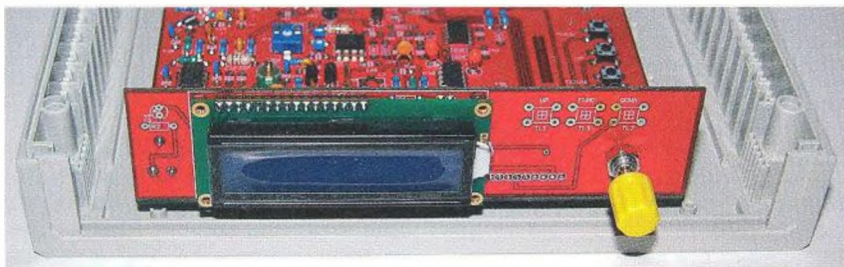
Obr. 9. Rozmístění součástek displeje



Obr. 12. Laděné obvody



Obr. 13. SAW filtr a laděné obvody



Obr. 10, 11. Fotografie desky displeje

děný obvod L3 až L5, jehož jednotlivé stupně jsou odděleny SMD kondenzátory 0,5 pF, stejně jako ve vstupní propusti s L1 a L2. Manipulace s tranzistory BF982 se nemusíte obávat, jsou opatřeny ochrannými diodami na vstupu a navíc jejich cena je dnes zanedbatelná. Při osazování laděných obvodů do DPS doporučuji vždy podložit dole kovový kryt kartónem tloušťky 0,5 mm a pak armaturu dotlačit do DPS a zespoda zapájet. Zajistíme tím, že se kryt po svém obvodu nebude v žádném případě dotýkat základní desky, jen v místech k tomu určených. Taková závada osazování se špatně hledá a navíc při následné

manipulaci s rozehrátou páječkou v okolí vývodů se obvody často zničí. Všechny laděné obvody L1 až L5 mají indukčnost 100 nH a lze je zakoupit u firmy TOKO. Vyzkoušel jsem také klasickou variantu s dob, kdy laděné obvody renomovaných výrobců byly prakticky nedostupné. Použil jsem sadu L kostry a krytu ze soupravy 5FF22116, kterou v závěru minulého století vyráběla TESLA Kolín pro velmi rozšířené elektronické technické kroužky mládeže. Sada byla opatřena popisem použitím, diagramy pro snadné výpočty rezonančních kmitočtů a obsahovala 3 jádra z materiálu N01, N05 a Ms, která umožňovala základ-

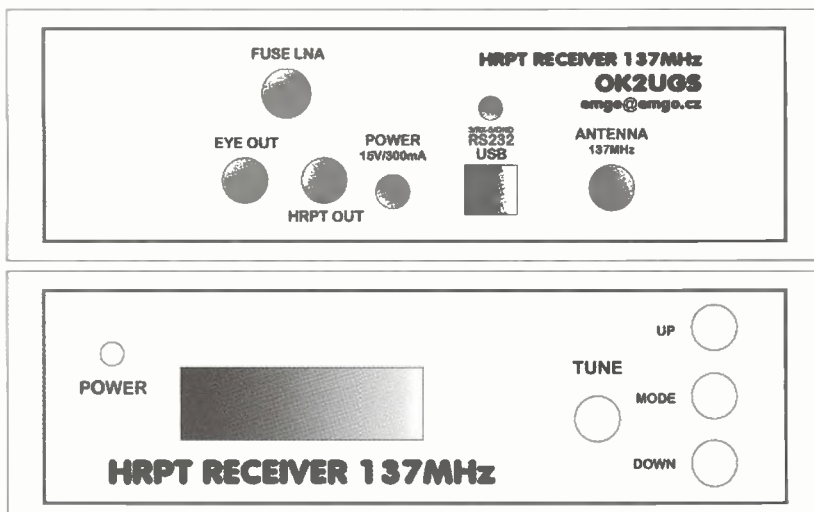
ní experimenty s laděným obvodem. Pro náš účel jsem navinul 2,75 závitů drátem o \varnothing 0,20 mm a opatřil jádrem N01P s fialovým zabarvením. Vinutí bylo zajištěno zakápnutím rozehrátým včelařským voskem, který lze nahradit v nouzi parafinem.

Druhý zesilovací stupeň s T2 je navázán na pásmovou propust stejným způsobem, G2 je blokována kondenzátorem C19. Výstupní signál z vývodu D tranzistoru vedeme přes kondenzátor C22 na směšovač s IC3. Integrovaný obvod SA612 zasuneme přímo do desky, bez objímky, před pájením pouze zkontrolujeme jeho orientaci podle osazovacího schématu. Zatím neosazujeme kondenzátory C26 a C27 (až při konečném oživení), přes které přivádíme injekci signálu z oscilátoru s T4 a T5.

Oscilátor prvního směšovače

Colpittsův oscilátor s tranzistorem T4 pracuje na středním kmitočtu 174,2 MHz (nebo na kmitočtu o mezní frekvenci níže). Z jeho emitoru je zaveden signál na oddělovací zesilovač - emitorový sledovač T5. Při oživení oscilátoru rozpojíme cestu mezi oscilátorem a PLL IC5 (ponecháme uzel s kondenzátorem C81 a emitem T5 pro měření osciloskopem a čítačem). Až po ověření požadované funkce [bez ladicího napětí na kapacitních diodách D1, D2 by měl oscilátor kmitat v okolí 150 MHz (100 MHz)] jej spojíme se vstupem 4 PLL obvodu IC5.

Tento integrovaný obvod vyžaduje podporu procesoru IC6, který do něj zasílá data inicializace a data pro funkci fázového závěsu v požadovaném rozsahu přeladění. Procesor IC6 může oscilátor přijímače nastavit na některý z kmitočtů odpovídající kmitočtovému plánu pro příjem jednotlivých satelitů a pevné naladění jej



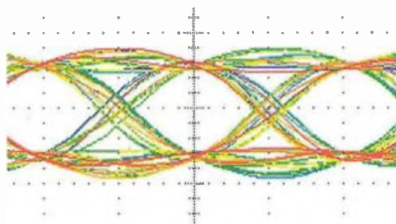
Obr. 14. Přední a zadní panel v měřítku 1 : 2

provází po celou dobu příjmu snímku. Nebo základní naladění na kmitočty jednotlivých satelitů uskutečňuje dálkový konvertor (k tomu je na procesoru připraven výstup JP4) a přijímač jen jemně koriguje změny naladění oscilátoru prvního směšovače podle požadavku kompenzace Dopplerova jevu. Přijímač může být řízen jen programem z počítače, nebo ho lze sestavit v provedení s displejem LCD a tlačítkovým manuálním ovládním a navíc řízením z počítače.

První směšovač

Integrovaný obvod IC3 v provedení NE612 nebo SA612 je mezi radioamatéry velmi vyhledávaný a často používaný v konstrukci přijímačů. Má ve své struktuře dvojitý vyvážený směšovač a oscilátor, který by umožňoval zjednodušení a náhrady tranzistorů T4 a T5 prvního oscilátoru z diskretních prvků. Připravili bychom se však o možnost experimentování se zpětnou vazbou a nastavením pracovního bodu T4. Nesmíme zapomenout, že konstrukce není optimalizována pro maximální zjednodušení, ale naopak dává dostatek prostoru pro experimenty. Mezivrcholový vzorek oscilačního signálu v rozsahu 200 až 300 mV je přiveden na vstup 6 IC3 přes kapacitní dělič C26, C27. Nastavením poměru kondenzátorů v děliči můžeme přizpůsobit jeho požadovanou úroveň.

Výstup aktivního směšovače je symetricky napojen na filtr SAW, jehož střední kmitočet je 36,7 MHz a šířka pásma propustnosti je 4,5 MHz (-6 dB). Filtr SAW je běžná součástka, kterou můžete získat na kterémkoliv sběrném dvoře elektronického odpadu ze staršího televizoru. Pozor však na záměnu za SAW filtry z přijímačů se samostatně vedenou zvukovou mezifrekvenčí, šířka pásma propustnosti filtru zvukové větve je příliš malá. Některé typy SAW filtrů jsou



Obr. 15. „Diagram oka“

dvojitě - (jeden pro obraz a druhý pro zvuk), pro tuto variantu jsem nepřipravil prostor na DPS. Filtr zapájíme do DPS bez objímky, dbáme hlavně na důkladné propájení zemního vodiče.

Mezifrekvenční zesilovač 36 MHz

Zde se na pozici IC4 nabízí opět volba „televizní součástky“ MC1350, která umožňuje symetricky napojit filtr SAW a regulovat zesílení v rozsahu 60 dB přivedeným napětím AGC na vývod 5. Řídicí napětí AGC musí být v rozsahu +5 V (maximální zesílení) a +7 V (minimální zesílení). Tento trochu nešikovný požadavek řeší zapojení s tranzistory T10 a T11. Nastavení požadovaného rozsahu dosáhneme trimrem P1. Na symetrický výstup obvodu je zapojen laděný obvod TR2/C34, který rezonuje na středním kmitočtu filtru SAW. Přesně to nastavíme trimrem C34. Laděný obvod je tvořen transformátorem TR2, který je navinut na feritovém kroužku, já jsem použil průměr 6 mm z materiálu N05 (Pramet Šumperk). Pro požadovaný rezonanční kmitočet jsem navinul 3x 20 závitů lakovaným drátem 0,2 mm. Konec prvního vinutí je spojen se začátkem druhého vinutí (nesmí omylem nastat protitaktní zapojení), oba vodiče vsuneme do středního otvoru na DPS. Oba zbývající vodiče vsuneme do krajních vývodů. Třetí vinutí je sekundární, které je navázáno na pasivní směšovač TESLA QN75601. Rovněž je zasuneme do

určených otvorů v DPS a po odstranění laku na vodičích zapájíme.

Demodulátor PSK

Základní prvek demodulátoru je kruhový směšovač MIX1, jehož vstup je napájen signálem z mf zesilovače, z vf transformátoru TR2. Směšovač důkladně připájíme do DPS, zvláště zemnicí přívody. Zapojení oscilátoru PLL s tranzistory T8 a T9 již známe ze vstupní části přijímače. Je shodné, jen cívka L7 je navinuta 8,5 závitů drátem CuL 0,2 mm a kondenzátory C47 až C50 mají větší kapacitu. Kapacitní diody D8 a D9 jsou KB105G. Výstupní signál je přiveden na vývod 7 směšovače přes kondenzátor C51 a dolní propust tvořenou TL9, kondenzátorem C43 a kapacitním trimrem C44.

Směšovací produkt vstupního HRPT signálu přijímače a oscilační injekce, které máme k dispozici na vývodu 3 MIX1, je přiveden na kaskádu operačních zesilovačů, které tvoří zpětnovazební větve oscilátoru PLL a produkuje řídicí signál pro kapacitní diody D8, D9. Časová konstanta zpětnovazební smyčky PLL je určena kondenzátory C56, C57 a rezistory R27, R28. V zapojení se neskrývá žádná záhada. Oživení nečiní problémy. Omezíme se jen na kontrolu napájecího napětí operačních zesilovačů a případně změnou odporové sítě nastavíme ladicí napětí na D8 a D9 na hodnotu, kdy potenciometr P2 je ve středě odporové dráhy a oscilátor PLL kmitá v okolí středního kmitočtu filtru SAW 36,7 MHz.

Na vývodu 3 MIX1 již máme demodulovaný HRPT signál, který dále zesílíme obvodem IC8 a vedeme z výstupu 1 do dvou větví.

První větev (analogová) nám umožní připojeným osciloskopem pozorovat kvalitu přijímaného signálu ve tvaru oka. Zvýšení amplitudy dosáhneme změnou napětí v rozsahu 5 až 7 V na vývodu 5 IC8. Analogový signál je vyveden na konektor přijímače označený K2.

Druhá větev (digitální) generuje signál tvarově přizpůsobený navazujícímu zařízení - HRPT dekodéru, který vyžaduje logické úrovně v rozsahu 0 až 5 V. Demodulovaný signál po zesílení v IC8 přichází na tvarovač s obvodem IC11 LM311. Na něj navazuje soustava dvou trojic invertorů s obvodem IC13 CD4049, která zajistí výkonové zesílení a inverzi signálu. Výstupy invertoru jsou přivedeny na JP5, z jehož středního vývodu je napájen konektor K1.

Změnou zapojení propojky dostaneme na výstupní konektor K1 signál „HRPTOUT - NORMAL“ nebo „HRPTOUT INVERTED“.



Obr. 16. Fotografie předního panelu

(Dokončení příště)

Picaxe

mikrokontrolér pro začátečníky a snadné použití (3)

Ing. Michal Černý

(Pokračování)

Čtení údajů z mikrokontroléru, sériové přenosy dat

DEBUG

je univerzálním prostředkem pro ladění programů, někdy však slouží i k přenosu výsledných údajů do počítače. Formálně má jeden parametr označující proměnnou, ale protože tento parametr je nepovinný a bez praktického významu, nebudeme jej používat. Příkaz po připojení programovací kabelu vyšle do PC hodnoty všech proměnných a ty se zobrazí v přehledné tabulce. Sériový přenos poměrně velkého množství dat výrazně zpomalí běh programu, takže se zpravidla nehodí pro odlaďování programů vyžadujících synchronizaci s vnějšími událostmi, navíc PIN0 už prakticky nemůže být používán k jiným účelům. (*6)

Zapišeme program s FOR cyklem, do něhož zadáme ladicí příkaz DEBUG. Abychom stihali sledovat změny, smyčku zpomalíme asi tak na jeden průchod za sekundu. Po spuštění programu se otevře na obrazovce ladicí okno, v němž vidíme stavy všech proměnných v desítkové, šestnáctkové i binární soustavě i jako znakovou reprezentaci. Stačí tedy údaj, který potřebujeme uložit do proměnné a podívat se na něj. V našem případě můžeme sledovat, jak se postupně mění řídicí proměnná cyklu.

REM test debug - Picaxe 8M2

```
START:
for b0=0 to 255
  debug
  pause 1000
next
goto start
```

Stále budeme využívat připojený programovací kabel, ale naučíme se přenést z mikrokontroléru jen ty údaje, které v da-

ném okamžiku potřebujeme, v podstatě si z počítače dočasně uděláme datový terminál se sériovou komunikací.

SERTXD

má za sebou v závorce seznam parametrů, které jsou brány jako ASCII znaky, a budou vyslány do počítače. Přenos probíhá rychlostí 4 800 Bd, bez parity (N), 8 bitů s 1 stopbitem, zkráceně zapsáno 4800,n,8,1. Jednotlivé parametry se odělují čárkou. Chceme-li poslat konkrétní zadaný text, uvedeme jej v uvozovkách („tohle se pošle“), pokud chceme poslat výpis hodnoty proměnné, zapišeme před její označení # (například #w0). Když uvedeme číslo, bude se brát jako kód znaku, který chceme poslat, stejně tak jen proměnná se bere jako znak, jehož kód odpovídá obsahu proměnné. Příklad: V proměnné b0 je hodnota 117. Použijeme-li #b0 vypíše se „117“, b0 vypíše „u“.

Rychlost přenosu 4 800 Bd odpovídá základnímu kmitočtu hodin 4 MHz, pokud ji změním, úměrně se změní i rychlost přenosu. Snadno tedy můžeme nastavit spolu s vyšší rychlostí mikrokontroléru i přenos na 9 600, 19 200 nebo 38 400 Bd. V našem zkušebním programu nahradíme příkaz DEBUG příkazem SERTXD, který vypíše nejdříve komentář „Průchod „, pak číslo průchodu cyklem z proměnné b0 a nakonec odřádkuje (znaky CR LF podle ASCII tabulky).

```
sertxd(„Průchod „,#b0,13,10)
```

Po přenesení do mikrokontroléru program poběží a bude vysílat data, my to však neuvidíme. Musíme tlačítkem F8 nebo přes menu Picaxe - Terminál otevřít okno sériového terminálu a nastavit v něm správné parametry přenosu. Hned potom se začnou naše údaje vypisovat. Protože

se může přenášet jen to nejnужnější (řádově jednotky bytů), tento způsob výstupu hodnot z mikrokontroléru mnohem méně zpomaluje běh programu a dovoluje nám kdykoli bez dalších nákladů třeba na LCD displej vyčítat údaje.

SEROUT

je obecnějším příkazem pro odesílání sériových dat. Jeho prvním parametrem je číslo pinu, na který bude výstup směřován, pak následuje způsob přenosu a rychlost, další parametry v závorce už jsou stejné jako v případě příkazu SERTXD. Kód způsobu přenosu a rychlosti je uveden písmenem T nebo N, T znamená normální přenos s klidovou úrovní True (vyšší napětí, logicky H), N znamená obrácené úrovně signálu s klidovou úrovní Negative (napětí blízké nule, logicky L). Číslo udává rychlost v baudech a za ním je připojen kmitočet hodin v MHz, pro který má platit (pro 4 MHz není nezbytné ji uvádět). Způsob nastavení a nabídka rychlostí je v 2. dílu anglické dokumentace. Příklad:

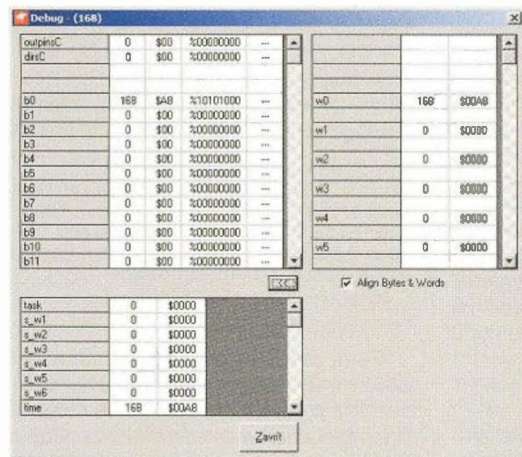
```
serout 7,N2400_8,(b1)
```

na pinu 7 jsou kladné impulzy 2 400 Bd při hodinách 8 MHz, výstup znaku podle obsahu proměnné b1.

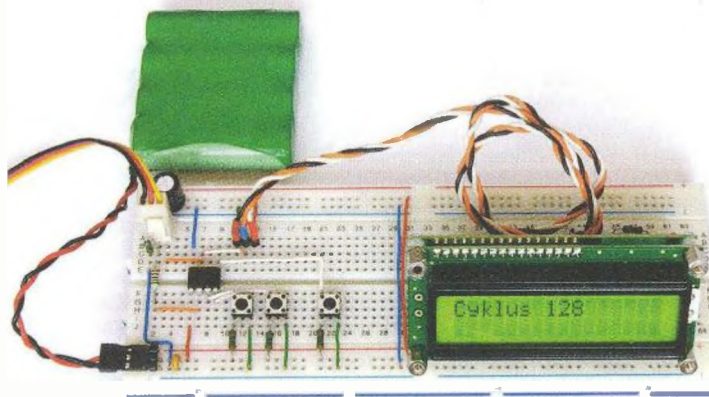
Zatímco příkaz SERTXD použijeme pro kontrolu programu a jako rychlý výstup místo tiskárny nebo displeje, SEROUT může pracovat s námi určeným pinem a použijeme jej ke komunikaci mezi mikrokontroléry, pro přenos dat na displej a podobně. Jeden mikrokontrolér může mít připojených několik sériových linek k různým zařízením. Nemá smysl zkoušet terminálem v PC posílat data do mikrokontroléru přes systémový (programovací) kabel, mikrokontrolér by je mohl vzít jako nový program a udělat „čert ví, co“. Pokud potřebujeme posílat data z PC do mikrokontroléru, vyhradíme tomu samostatný pin a použijeme příkaz SERIN.

SERIN

je příkazem pro příjem sériových dat. Jeho prvním parametrem je číslo pinu, z něhož se čte, pak následuje způsob přenosu a rychlost, sekvence, na kterou se má čekat, a pak seznam proměnných, které se postupně budou přicházejícími daty plnit. Kód způsobu přenosu a rychlosti je uveden písmenem T nebo N, T znamená



Obr. 17. Okno Debug ve vývojovém programu



Obr. 18. Generátor impulzů s připojeným displejem

normální přenos s klidovou úrovní True (vyšší napětí, logicky H), N znamená obrácené úrovně signálu s klidovou úrovní Negative (napětí blízké nule, logicky L). Číslo udává rychlost v baudech, opět je přes znak podtržítka připojen kmitočtet hodin (pro 4 MHz není nutné). Způsob nastavení a nabídka rychlosti je v 2. dílu anglické dokumentace. Příklad:

```
serin 1,N2400_16,("ABC"),b1
čte z pinu 1 kladné impulzy 2 400 Bd při
hodinách 16 MHz, čeká, až přijde text
ABC, a nejbližší následující byte uloží do
proměnné b1.
```

Uvedené příkazy nám už umožní připojit k mikrokontroléru asi nejnázornější výstupní zařízení, LCD displej. Tím se také zbavíme potřeby připojení k PC. Většina levných LCD displejů vyžaduje předávání dat prostřednictvím většího počtu vodičů. To není pro nás výhodné, protože se tím obsadí mnoho z vývodů mikrokontroléru. Existují ale i sériově ovládané displeje, jeden z nich, SIC1602AYPLEB20 ze sortimentu na internetových stránkách shop.snailinstruments.com už zmíněné české firmy, použijeme. Tabulka řídicích příkazů je uvedena v dokumentaci displeje. Tento displej si vystačí s jedním vývodem mikrokontroléru. Analogicky by bylo možné připojit i displeje komunikující přes rozhraní I²C. V následujících programech je vždy možné obejít použití displeje a přepsat výstup tak, aby směřoval na sériový terminál PC (a leckdy to vede k jednoduššímu zápisu), samozřejmě, musí se změnit formátování výstupu. Vyzkoušíme si ovládání displeje připojeného k označeným svorkám, zobrazíme si pořadí prováděného cyklu. Propojky jsou nastaveny na 2400 Bd a invertovanou polaritu.

REM test displeje - Picaxe 8M2

```
START:
for b0=0 to 255
  serout 0,N2400,($FE,$01) ; inicializace LCD
  serout 0,N2400,("Cyklus_","#b0); výpis textu a B0
  pause 1000 ; zpomalení
next
goto start
```

(Pro test displeje je použito zapojení z obr. 15)

Zatím jsme všechny programy uzavírali skokem na začátek, tedy do nekonečné smyčky. Pokud má zapojení začít pracovat s připojením napájení a s jeho odpojením končit, je to tak obvyklé, nicméně někdy je potřeba program ukončit v definovaném místě a okamžiku, k tomu slouží dva příkazy, END a STOP.

END

způsobí kdykoli v průběhu programu jeho ukončení a přechod mikrokontroléru do stavu „spánku“ s nepatrnou spotřebou. Tento režim zastaví i činnost interního časovače. Obnova činnosti programu je možná jen vypnutím a zapnutím napájecího napětí, resetem (pokud má daný mikrokontrolér reset vyvedený ven) nebo opětovným zavedením programu z PC.

STOP

funguje podobně, ale mikrokontrolér nepřechází do režimu s minimální spotřebou, takže příkazy závislé na interním časovači (servo, pwmout...) probíhají plynule dál.

Vstup a výstup přesných impulzů

Stále směřujeme k tomu, abychom vytvořili generátor impulzů. Zatím jsme generovali impulzy jen programem, můžeme k tomu však použít i vnitřní časovače mikrokontroléru, což je mnohem přesnější. Naučíme se také měřit délku impulzu a spočítat impulzy, které přijdou v určené době. S touto tematikou souvisí i příkazy sloužící k vytváření zvuku, což není nic jiného než generování signálu s přesným kmitočtem, ty si ale probereme později.

PULSOUT

má dva parametry (*18), první udává výstupní PIN, s nímž se bude pracovat, druhý délku (jednoho) impulzu, který mikrokontrolér vygeneruje. Impulz má opačnou polaritu vůči úrovni, ve které byl na počátku, takže příkaz můžeme použít pro generování jak kladných, tak záporných impulzů. Jednotkou pro délku impulzu je 10 μs při normálním hodinovém kmitočtu 4 MHz (mění se s frekvencí hodin), při 32 MHz je to 1,25 μs. Příklad:

```
pulsout 1,4
generuje na PIN1 při 32 MHz impulz dlouhý 5 μs.
```

Vydeme z připraveného zapojení. Reálně změřené impulzy na výstupu mikrokontroléru byly při 4 MHz o 4 μs delší, než by teoreticky měly být, při 32 MHz o 0,5 μs. Tento rozdíl by se případně mohl kompenzovat, zatím se tím však zabývat nemusíme. Nejdelší impulz, který můžeme tímto způsobem vytvořit, je 0,65 s při 4 MHz. Program, který vytvoří nejkratší možné impulzy opakované po 0,1 s, se vejde na jeden řádek:

```
ST: pulsout 1,1 pause 100 goto ST
```

PULSIN

měří délku impulzu na zadaném vstupu. Má tři parametry, první je číslo pinu, s nímž má pracovat, druhý určuje, zda se bude impulz měřit od náběžné (1) nebo sestupné hrany (0) signálu, a třetí udává proměnnou, do níž se uloží délka impulzu v daných jednotkách shodných s příkazem PULSOUT. Proměnná může být i typu byte, lépe je ale používat proměnnou typu word. Jestliže impulz nepřijde, skončí měření po 0,65 s (při 4 MHz) a v proměnné vrátí číslo 0. Můžeme tak otestovat, že měření bylo neúspěšné. Příklad:

```
pulsin 3,1,w6
bude čekat, až se na PIN3 dostane náběžná hrana impulzu, pak změří jeho délku v desítkách mikrosekund a výsledek vrátí v proměnné w6 (*18).
```

Příkaz je v podstatě opakem předchozího a také chyba odpovídá. Jako impulz dlouhý 1 jednotku se zaznamená impulz 10x kratší, než je jednotka času, jinak však měření funguje slušně přesně. Program, který můžeme považovat za nejjednodušší měřič délky impulzu v jednotkách 10 μs a výsledek posílá do PC, vypadá takto:

```
ST: pulsin 1,1,w0 debug goto ST
```

COUNT

má tři parametry, první udává vstupní pin, s nímž se bude pracovat, druhý dobu v ms, po kterou se budou impulzy počítat,

a třetí je proměnná (lépe typu word), do níž se výsledný počet uloží (*6). Jednotka času se mění podle kmitočtu hodin. Příklad:

```
count 1,1000,w0
sleduje po dobu 1 s PIN1 a vrátí počet impulzů, které přišly (tedy kmitočtet).
```

Vstupní pulzy by měly být alespoň 40 μs dlouhé (při 4 MHz), optimální je, když mají střídu 1:1. I když podle dokumentace je nejvyšší spolehlivě měřitelný kmitočtet 25 kHz, naměřené údaje podle mých zkušeností odpovídají přesně do 10 kHz, při vyšším kmitočtu se chyba zvětšuje a Picaxe měří méně, než by měl, jako by některé impulzy vypouštěl. Při hodinách 32 MHz se teoreticky rozsah rozšíří až do meze naplnění proměnné (65 kHz), ale v praxi měření bezchybně fungovalo jen do 50 kHz. Nejjednodušší program pro měření kmitočtu a čtení údajů přes PC tedy můžeme zapsat jako:

```
ST: count 1,1000,w0 debug goto ST
nebo
setfreq m32
ST: count 1,8000,w0 debug goto ST
```

Generátor impulzů

Nyní už můžeme předchozí střípky poskládat do celku, napsat program pro náš pokusný impulzní generátor a zbavit se i výstupu posílaného po sériové lince do PC. Potřebné údaje budeme mít na displeji.

```
REM Generátor impulzů - Picaxe 08M2
setfreq m8 ;kmitočtet 8 MHz
w0=200 ;počáteční šířka 1 ms (*0,005 ms)
w1=12 ;počáteční perioda 10 ms (*0,5 ms)
pause 200 ;čas na náběh LCD
serout 0,N9600_8,($FE,$01) ;vymazání LCD
pause 200 ;čas na vymazání LCD
serout 0,N9600_8,("Pulsni generator", $FE,$C0)
serout 0,N9600_8,(", verze 1 .,"); hlavička
pause 4000 ;zobrazení hlavičky 2 s
serout 0,N9600_8,($FE,$01) ;vymazání LCD
pause 200 ;čas na vymazání LCD
serout 0,N9600_8,("sirka"); popis
serout 0,N9600_8,($FE,$C0,"perioda .,"); popis
gosub vypis ;výpis počátečních hodnot impulzů
```

```
start ;generování impulzu a obsluha TL
if b20=4 then pulsout 1,w0 pause w1 endif
;impulzy, jen když se nemění nastavení
b20=b20-1 min 4 ;hlídání změny nastavení
if pin2=0 then ;přepínání mezi šířkou a periodou
if pin4=0 then dec w0 gosub vypis endif ;šířka -
if pin3=0 then inc w0 gosub vypis endif ;šířka +
else
if pin4=0 then dec w1 gosub vypis endif ;perioda -
if pin3=0 then inc w1 gosub vypis endif ;perioda +
endif
goto start ;konec smyčky hlavního programu
```

```
vypis ;podprogram pro výstup na LCD
w0=w0 min 1 max 2800 ;meze pro šířku v 0,005 ms
w1=w1 min 1 max 4000 ;meze pro periodu v 0,5 ms
w3=w0/2 ;převod na 0,01 ms
w5=w0/100 ;korekce periody podle šířky
w4=w1+w5/2+3 ;převod periody na 1 ms a korekce
serout 0,N9600_8,($FE,$86) ;umístění na 1. řádku
serout 0,N9600_8,("#w3,"0",234,115, ".,"); výpis
serout 0,N9600_8,($FE,$C8) ;umístění na 2. řádku
serout 0,N9600_8,("#w4,"ms .,"); výpis
b20=5 ;nastavení proměnné hlídání změny
return ;návrat z podprogramu
```

První část programu se stará o inicializaci proměnných na počátku běhu, o výpis hlavičky a prvních údajů na displeji. Má smysl si všimnout čekání na počátku a také po každém smazání displeje, doba potřebná na smazání LCD je totiž tak dlou-

Nízkofrekvenční zesilovač N-MOS

Jiří Halmazňa

Cílem tohoto článku je oživit poněkud zapomenuté zapojení nf zesilovače, které ovšem nemá až tak špatné parametry. Nejde o žádnou High-End konstrukci, spíše chci ukázat, že lze vyrobit kvalitní nf zesilovač i s pověstnými tranzistory MOS-FET na pozicích výkonových prvků poměrně levně a jednoduše. Konstrukční část je jen stručně nastíněna, každý si mechaniku jistě udělá ke svému obrazu sám.

Koncepce přístroje

Ve skříní zesilovače je pouze napájecí zdroj s obvodem zpožděného startu a dva výkonové zesilovače osazené tranzistory MOSFET s kanálem vodivosti N na pozicích výkonových prvků. Konkrétně jsem použil tranzistory IRFP140 vyrobené technologií HEXFET od firmy International Rectifier. Pro praktické použití zesilovače je nutné, aby mu v audiořetězci předcházel samostatný předzesilovač s možností regulace hlasitosti.

Výkonový zesilovač vychází z myšlenky doporučeného zapojení zesilovače s tranzistory SIPMOS firmy Siemens z 80. let minulého století, u nás známého jako V-MOS 60. Původní zapojení je ovšem výrazně zjednodušeno a osazeno aktuálně vyráběnými a dostupnými součástkami. I přes svou relativní jednoduchost vykazuje tento zesilovač velmi dobré parametry.

Technické údaje

(1 kanál, odporová zátěž 4 Ω)

Vstupní impedance:

36 kΩ, v pásmu 20 Hz až 20 kHz odporová.

Citlivost: 0,5 V pro výkon 70 W.

Výstupní výkon: 70 W (1 kHz; buzeny oba kanály), 100 W (maximální/hudební).

Napájecí napětí: ±35 V, +47 V naprázdno, ±27 V, +39 V při zátěži 2x 70 W/1 kHz; buzeny oba kanály.

Přenášené pásmo: 20 Hz až 20 kHz (-1 dB, výkon 70 W), 20 Hz až 60 kHz (-1 dB, výkon 12 W), 7 Hz až 220 kHz (-3 dB, výkon 12 W).

Činitel tlumení*: 200.

Harmonické zkreslení*: 0,03 % (70 W).

Intermodulační zkreslení*: 0,05 % (250 Hz + 8 kHz, 4:1).

*) – Tyto údaje neměřeny (nedosta- tečné vybavení), převzaty z původní dokumentace, předpokládám velmi podobné parametry.

Popis zapojení výkonového zesilovače

Schéma zapojení výkonového zesilovače je na obr. 1. Celý výkonový zesilovač je zapojen symetricky, což přispívá ke zmenšení zkreslení a také



zlepšuje odstup signál-brum. Vstupní signál je přiveden na konektor K1. Kondenzátory C18, C19 oddělují případnou nežádoucí stejnosměrnou složku, články R4, C11 zabraňují pronikání rádiových frekvencí do zesilovače. První diferenční stupeň tvořený tranzistory T1 a T2 je napájen ze zdroje konstantního proudu T3, R1, R8, DZ1. Rozdíl kolektorových proudů T1, T2 při vybuzení se projeví rozdílem úbytků napětí na rezistorech R2 a R3. Na tyto je navázán další symetrický stupeň s tranzistory T5 a T6. Tento stupeň poskytuje další napěťové zesílení v otevřené smyčce zpětné vazby (úbytky napětí na rezistorech R15 a R16). Kondenzátory C7, C8 „zpomalují“ tento stupeň, čímž zabraňují nechtěnému rozkmitání zesilovače se zapojenou zpětnou vazbou. Tranzistor T4 napájí T5, T6 konstantním proudem, který je ovšem závislý na aktuální teplotě chladiče výkonových tranzistorů. Tranzistor Q1 je stejného typu jako výkonové tranzistory (pouze v pouzdře TO-220) a je připevněn na společném chladiči. Tímto tranzistorem protéká proud přibližně 27 mA, daný napájecím napětím a odporem rezistoru R10. Takto se na Q1 vytvoří teplotně závislý úbytek napětí U_{g-s} , který se pomocí zdroje konstantního proudu s T4 „okopíruje“ na rezistory R15, R16. Na těchto rezistorech vznik-

há, že bez prodlevy by první následující byty displeji „utekly“. Proč byl použit kmitočtet 8 MHz? Protože je to nejnižší kmitočtet, při kterém mikrokontrolér umí generovat přenosovou rychlost 9 600 Bd, potřebnou pro displej. Pokud by byla použita nižší rychlost 2 400 Bd, 4x víc by to zdržovalo běh programu.

V době, kdy se přenášejí data po sériové lince, není možné generovat impulzy, a to dokonce ani kdyby byl použit multitasking. Z tohoto důvodu se v době změny parametrů tlačítka impulzy vypínají. Celé generování impulzů je na jediném řádku. Šířku impulzu vytvoří časovač mikrokontroléru, zbytek do periody je už časován programem. Proto je důležité, aby program běhal stále stejně rychle stejnou cestou ve smyčce, což se také děje. Zbytek střední části programu tvoří obsluha tlačítek, jedním se přidává hodnota, dru-

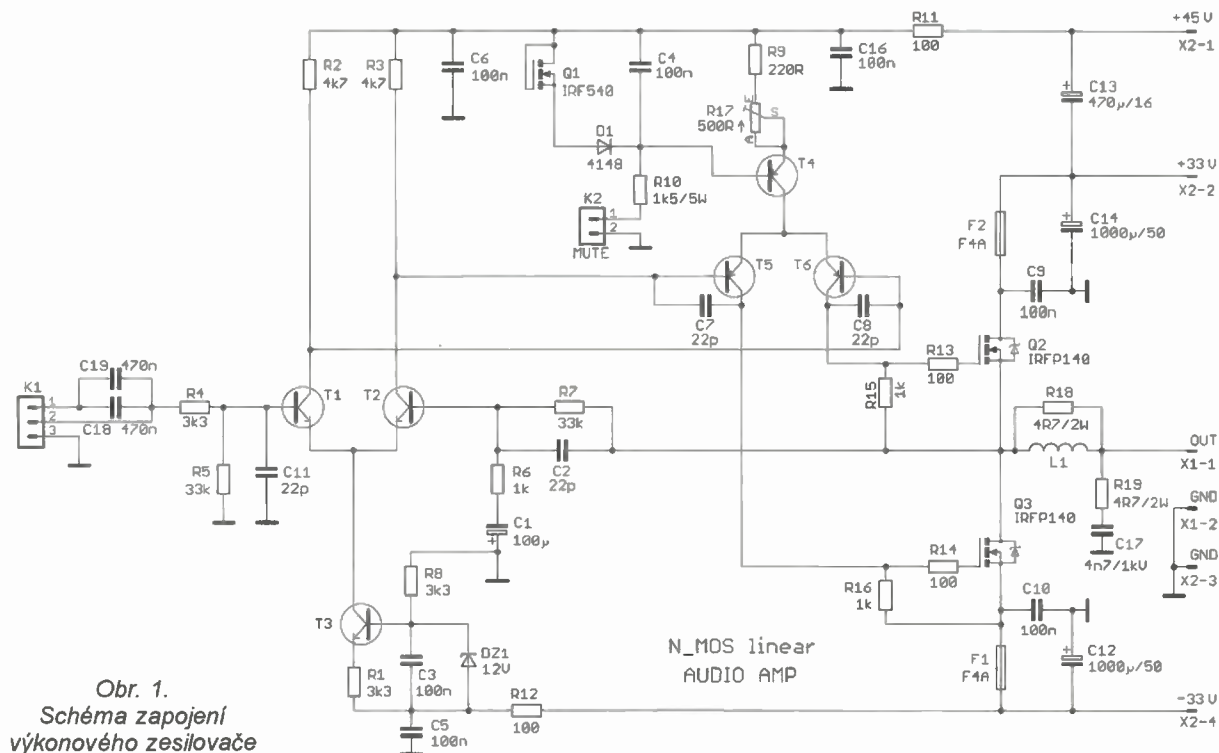
hým ubírá, třetí tlačítko (nebo přepínač) určuje, zda se bude měnit aktivní šířka impulzu nebo periody.

Třetí část programu je volána jako podprogram (viz dále) a stará se o zobrazení na LCD a také omezení rozsahu obou nastavených hodnot. Protože se pracuje s 2x vyšším kmitočtem, než je základní, musí se na celistvé desítky mikrosekund hodnota převést, stejně tak se převádí i periody na ms. Konstanta kompenzuje dobu, kterou mikrokontrolér stráví proběhnutím programem, o to kratší musí být čekání určující neaktivní část periody. Poslední kompenzace dorovnáva periody podle šířky aktivního impulzu. Aritmetické operace se vyhodnocují vždy postupně zleva doprava, přednost operací mikrokontrolér nedodrží!

Výsledný generátor generuje podle měření šířku impulzu od 7 μs do 14 ms (změ-

nou parametru možno rozšířit do 300 ms) a s periodou 4 ms až 2 s. V dalším postupu by bylo možné především zvětšit pohodlí ovládání progresivní rychlostí běhu autorepeatu, také by se třeba mohly lépe zarovnávat vypisované údaje, zaznamenávat do EEPROM naposledy nastavené parametry, předělat zadávání hodnot na číslcový vstup z klávesnice PC, což umí Picaxe přímo obsluhovat atd. I tak je myslím vidět, že program pro použitelný generátor není nijak dlouhý, a pokud jde jen o napsání jednoho konkrétního zdroje signálu bez dalšího ovládání tlačítka a displeje, je to záležitost na tři řádky a jednu minutu. Je zkrátka rychlejší takový generátor napsat než ho postavit. To nejpracnější je zajistit uživatelský komfort a uhlazený projev na displeji.

(Pokračování příště)



Obr. 1.
Schéma zapojení
výkonového zesilovače

nou stejné úbytky napětí jako na kombinaci R9 + R17 za předpokladu, že platí $R15 = R16 = (R9 + R17)/2$. Tato napětí nastaví pracovní body výkonových tranzistorů do třídy AB. Trimrem R17 je možné nastavit klidový proud výkonových tranzistorů, doporučená velikost je 100 mA. Vypnutím proudu Q1 je možné realizovat funkci MUTE – umlčení zesilovače. Proto není rezistor R10 připojen přímo na GND, ale je vyveden na konektor K2. Spojením pinů tohoto konektoru se uvede výkonový stupeň do chodu. Křemíková dioda D1 je umístěna v těsné blízkosti T4, čímž teplotně kompenzuje přechod B-E tohoto tranzistoru.

Rezistory R13, R14 oddělují nelineární kapacitu hradel výkonových tranzistorů od budiče a tím přispívají

ke stabilitě tohoto stupně. Výkonové tranzistory v tomto zapojení, na rozdíl od jiných konstrukcí, nefungují pouze jako emitorové (správně by asi bylo sourcové) sledovače, ale zesilují také napětově. Díky tomu je celý výkonový zesilovač složen ze třech symetrických stupňů se značným zesílením naprázdno (několik desítek tisíc). Po zavedení zpětné vazby rezistory R7, R6 je celkové napětěové zesílení nastaveno na 34 a takto silná zpětná vazba výrazně zmenšuje zkreslení způsobené nelinearitami použitých součástek. Zároveň zmenšuje výstupní impedanci zesilovače na v domácích podmínkách téměř neměřitelnou úroveň. Kondenzátor C2 opět zlepšuje stabilitu zesilovače omezením zesílení na vysokých kmitočtech

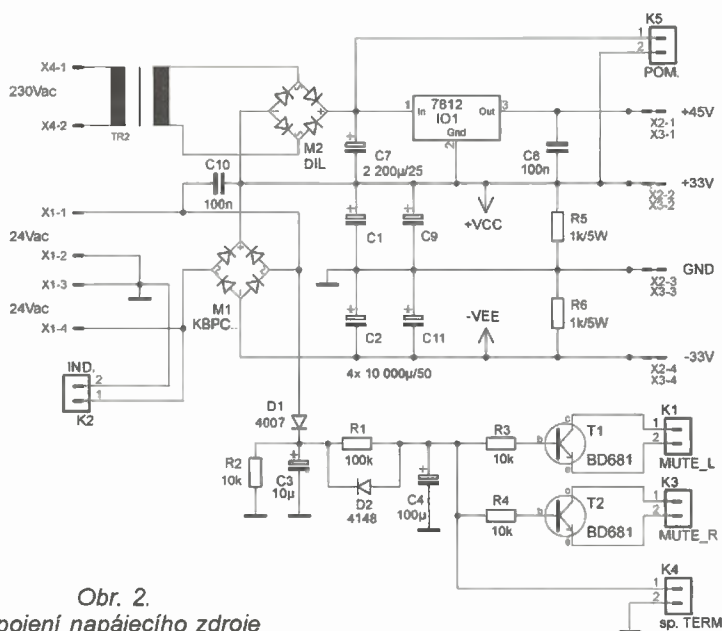
a kondenzátor C1 omezuje zesílení pro stejnosměrnou složku na 1.

LRC člen na výstupu zesilovače tvořený L1, R18, R19, C17 odděluje reaktanční impedanci reproduktorových soustav od smyčky zpětné vazby (zmenšením činitele jakosti na vysokých kmitočtech) a tím je zachována stabilita zesilovače i při značné reaktanční zátěži.

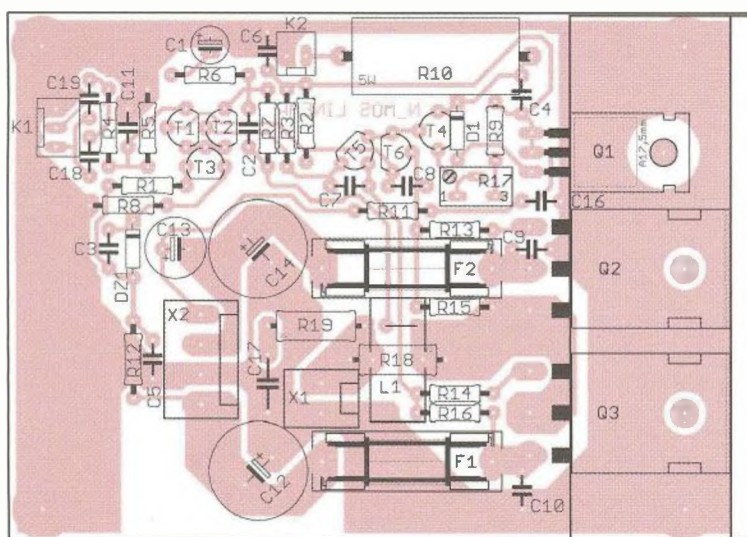
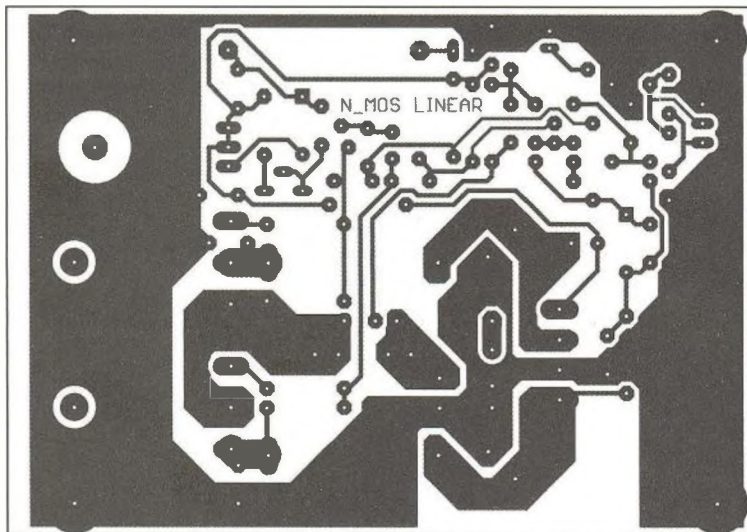
Výkonový zesilovač potřebuje ke své funkci 3 napájecí napětí. Dvě z nich jsou 33 V symetrická kolem GND a jedno je pomocné +45 V (33 + 12 V z pomocného zdroje) pro napájení budiče výkonových tranzistorů. Budič T5, T6 vyžaduje zvětšené napájecí napětí proto, aby obě půlvlny výstupního signálu limitovaly symetricky. Napětí U_{g-s} pro plné otevření Q2 je totiž asi 5 až 6 V a v případě, že source Q2 potřebujeme „dostat“ na potenciál kladné napájecí větve, musíme na hradlo přivést napětí o oněch 5 až 6 V větší. Napájecí napětí jsou dodatečně filtrována kondenzátory C12, C13 a C14. Výkonové větve jsou jistěny rychlými tavnými pojistkami F1 a F2.

Napájecí zdroj

Zdroj je zapojen standardním způsobem, jeho schéma je na obr. 2. Byl použit standardní toroidní transformátor 2x 24 V/250 VA, který napájí oba kanály zesilovače. Sekundární vinutí jsou připojena na konektor X1. Napětí je usměrněno můstkem M1 a filtrováno čtveřicí elektrolytických kondenzátorů C1, C2, C9 a C11. Rezistory R5 a R6 zajišťují minimální předzátěž zdroje a po vypnutí napájení vybijí filtrační kondenzátory. Dále je na desce zdroje pomocný zdroj 12 V



Obr. 2.
Zapojení napájecího zdroje



Obr. 3 a 4. Deska s plošnými spoji zesilovače (99 x 70 mm) a rozmístění součástek na desce

„opřený“ o kladnou napájecí větev. Pomocné napětí není třeba stabilizovat, ale měl jsem doma pouze transformátor se sekundárním napětím 12 V, proto jsem použil stabilizátor IO1. Nestabilizované napětí tohoto zdroje je vyvedeno na konektor K5 pro napájení např. ventilátoru, kontrolky zapnutí atd. Výstup zdroje je vyveden na konektory X2 a X3, na které jsou připojeny oba výkonové zesilovače.

Posledním obvodem na desce zdroje je obvod zajišťující zpožděný start. Ke konektoru K1, resp. K3 je připojen konektor K2 levého, resp. pravého výkonového zesilovače. Po zapnutí napájecího napětí jsou tranzistory T1 a T2 rozeznuty, výkonové zesilovače ztlumeny, čímž se zamezí různým „pazvukům“ v reproduktorech během ustalování pracovních bodů jednotlivých součástek. Přes diodu D1 je jednoduše usměrněno napětí z výkonového transformátoru, jímž se nabíjí kondenzátor C3. Přes rezistor R1 je malým proudem nabíjen zpoždovací kondenzátor C4. Po jeho nabití na asi 1,5 V se otevřou tranzistory T1

a T2 a výkonové zesilovače jsou připraveny k provozu. Po vypnutí napájení zanikne okamžitě střídavé napětí na anodě D1 a přes rezistor R2 a diodu D2 se rychle vybije zpoždovací C4. Ke konektoru K4 je možné připojit spínací termostat, který bude hlídat teplotu chladičů koncových tranzistorů.

Konstrukce

Zesilovač je vestavěn ve skříni vyrobené z hliníkových desek, i když je toto řešení poněkud nákladnější. Tato konstrukce byla zvolena proto, aby nebylo potřeba do skříně vrtat žádné nevzhledné větrací otvory. Bočnice a částečně celá skříň totiž fungují zároveň jako chladiče. Teplotní odpor takových „chladičů“ je sice veliký a nestačil by na dlouhodobé uchazení zesilovače při plném sinusovém výkonu, ale hudební signál má velkou dynamiku s efektivním výkonem někde mezi 1/10 až 1/8 maxima. I při několikahodinovém velmi hlasitém poslechu, kdy budil 4Ω reprosoustavy v místnosti o rozměrech tělocvič-

ny, bočnice dosáhly teploty asi 50 °C. Tloušťka bočnic je 10 mm, což zaručuje dostatečnou tepelnou setrvačnost. Při buzení harmonickým signálem 1 kHz na výkon 70 W do umělé zátěže se na bočnicích dala bez problému udržet ruka i po 1 minutě.

Dno skříně je také vyrobeno z hliníkové desky, tentokrát tloušťky 5 mm. Dno nese celý komplet - transformátor, desku zdroje a bočnice s výkonovými zesilovači. Přední, horní a zadní panel je vyroben z hliníkového plechu tloušťky 2 mm. Celkový pohled na zesilovač je na doprovodných fotografiích.

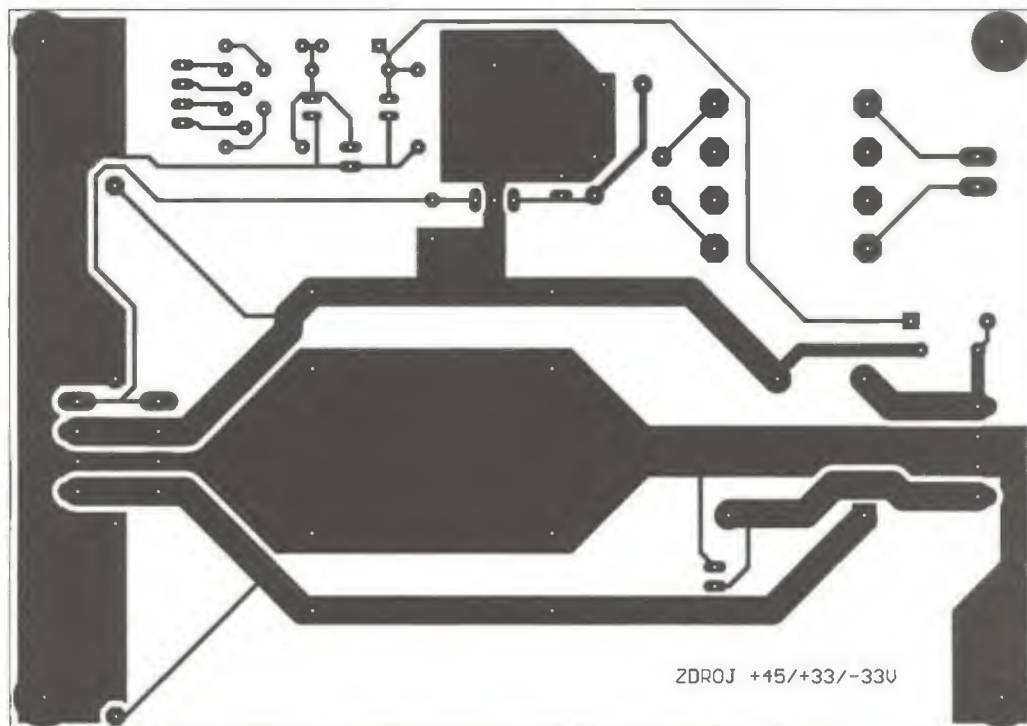
Závěr

Jak již bylo řečeno v úvodu, cílem tohoto článku bylo oživit poněkud zapomenuté zapojení nf zesilovače, které ovšem má velmi dobré parametry. Snad jediná nečnost tohoto zapojení spočívá v tom, že budič snadno velkým proudem otevře výkonové tranzistory, ale poměrně malý proud je zavírá (vybíjí kapacitu hradla přes rezistory R15, resp. R16). Proto při buzení zesilovače harmonickým signálem např. 60 kHz na výstupní výkon 70 W způsobí příčný proud koncovými tranzistory přepálení pojistek v napájecích větvích. Tuto nečnost lze odstranit konstrukcí silnějšího budiče. To ovšem již nechávám na každém případném konstruktérovi. V akustickém pásmu do 20 kHz je zesilovač schopen dodat plný sinusový výkon i se stávajícím buzením.

Seznam součástek

Zesilovač, 1 kanál

R1, R4, R8	3,3 kΩ, vel. 0207
R2, R3	4,7 kΩ, vel. 0207
R5, R7	33 kΩ, vel. 0207
R6, R15, R16	1 kΩ, vel. 0207
R9	220 Ω, vel. 0207
R10	1,5 kΩ/5 W
R11 až R14	100 Ω, vel. 0207
R17	500 Ω, trimr S64Y
R18, R19	4,7 Ω/2 W
C1	100 μF/10 V, elektrolytický
C2, C7,	
C8, C11	22 pF, keramický
C3 až C6, C9,	
C10, C16	100 nF, keramický
C12, C14	1000 μF/50 V, elektrolyt.
C13	470 μF/16 V, elektrolytický
C17	4,7 nF/1 kV, keramický
C18, C19	470 nF, keramický
D1	1N4148
DZ1	BZX85V12, Zenerova dioda 12 V
T1, T2, T3	BC639
T4, T5, T6	BC640
Q1	IRF540, TO220
Q2, Q3	IRFP140, TO-247
L1	viz obr. 7
F1, F2	F4A, pojistka 4 A rychlá
K1	PSH02-03P, vidlice - 3 piny
K2	PSH02-02P, vidlice - 2 piny

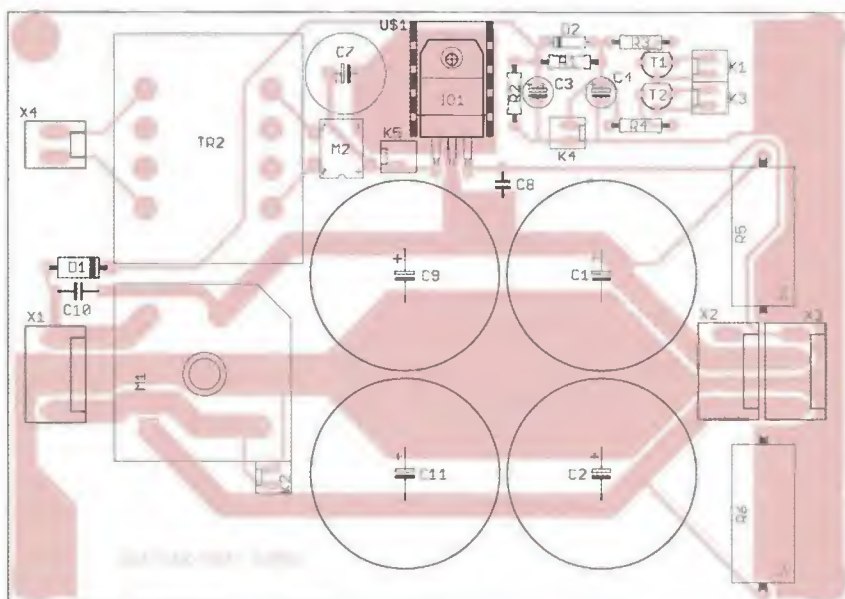


Obr. 5 a 6.
Deska s plošnými
spoji napájecího
zdroje pro zesilovač
(136 x 95 mm)
a osazení desky
součástkami

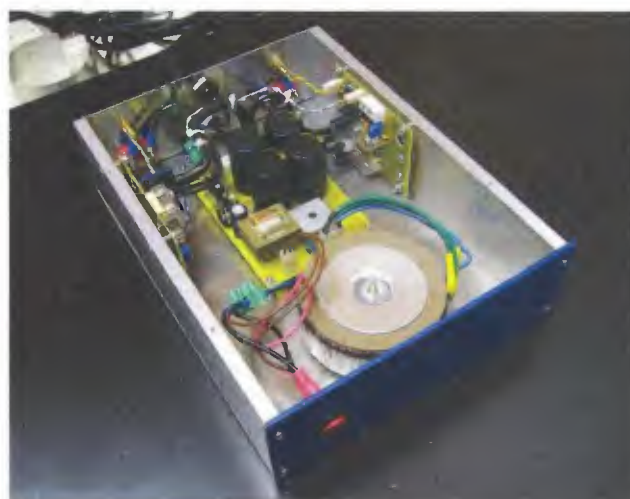
- X1 KK-156-2
- X2 KK-156-4

Napájecí zdroj

- R1 100 k Ω , vel. 0207
- R2, R3, R4 10 k Ω , vel. 0207
- R5, R6 1 k Ω /5 W
- C1, C2,
- C9, C11 10 000 μ F/50 V, elektrolyt.
- C3 10 μ F/63 V, elektrolytický
- C4 100 μ F/10 V, elektrolytický
- C7 2 200 μ F/25 V, elektrolyt.
- C8, C10 100 nF, keramický
- D1 1N4007
- D2 1N4148
- M1 KBPC..., diodový můstek
- M2 diodový můstek DIL
- T1, T2 BD681
- IO1 7812, TO-220
- TR2 transformátor 230/12 V,
TS2/034
- K1 až K5 PSH02-02P, vidlice - 2 piny
- X1, X2, X3 KK-156-4
- X4 KK-156-2



Obr. 7. Osazená deska koncového stupně zesilovače



Obr. 8. Stereofonní zesilovač ve skříni

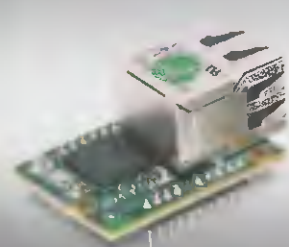
WiFi - LAN

moduly pro
Embedded
aplikace

- bezdrátová náhrada Ethernet kabelů¹⁾
- IP konektivita pro jakoukoli aplikaci
- přenos UART přes WiFi nebo LAN²⁾
- SSL a HTTPS pro Vaše aplikace

Connect One
The Device Networking Authority

¹⁾ pouze Nano LANReach™
²⁾ pouze Nano WiReach™
a Secure iWiFi™



Nano LANReach™
Nano SocketLAN™
805 - 785 - Kč
UART, SPI, USB, RMII
LAN, RJ45



Nano WiReach™
1.250,- Kč
UART, SPI, USB
WiFi, U.FL



novinka

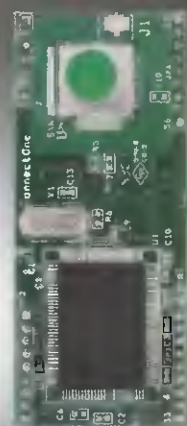
Nano WiReach™ SMT
1.100,- Kč
UART, SPI, USB
3x GPIO - 1, 4mA
WiFi, U.FL, 4x 2-pin headers



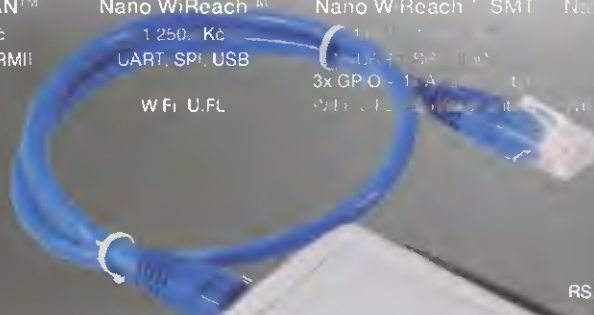
Nano Socket iWiFi™
1.200,- Kč
UART, SPI, USB
WiFi, SMA (M), antena



Mini Socket iWiFi™
1.190,- Kč
UART
WiFi, SMA (M)



Secure Socket iWiFi™
1.190,- Kč
UART
WiFi, U.FL



Secure iLAN
1.800,- Kč
RS232, RS485 (Half/Full Duplex)
LAN, RJ45

Wi-REACH™ Classic
2.060,- Kč
Personal 3G/4G/CDMA WiFi Hotspot

Zapojením USB modemu 3G/4G/CDMA se jednotka stane WiFi Hotspotem. Umožňuje WiFi připojení až 10 uživatelů do internetu přes mobilní síť. Interní Li-Ion polymer baterie stačí na 4 až 6 hodin provozu. Nahrání je možno i přes USB nebo Bluetooth.



Secure iWiFi
1.990,- Kč
RS232, RS485 (Half/Full Duplex)
WiFi, SMA (M)



Podporuje všechny 3G/4G/CDMA USB modemy CZ a SK i mobilních operátorů: T-Mobile, Vodafone, Telefónica O2, U:Fun, Orange Slovakia.

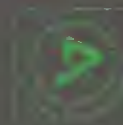
Connect One spol. s r.o. IČ: 252 23 123, zapsaná v obchodním rejstříku, IČ: 252 23 123, IČ: 252 23 123, IČ: 252 23 123



spezial electronic

spezial electronic
Wuttke Immobilien KG, o.s.
Šarecká 22/1931
160 00 Praha 6
Česká republika

tel.: 233 326 621
233 326 622
fax: 233 326 623
e-mail: spezial@spezial.cz
internet: www.spezial.cz





AKTIVNÍ LINE ARRAY S DIGITÁLNÍM ŘÍZENÍM SMĚROVOSTI



TTL11A
4000 W

Výšky: 4x 1,4" s 2,5" cívkou
Středky: 3x 8" s 2,5" cívkou
Basy: 4x 8" s 2,5" cívkou
DSP 96 kHz/32 bitů

KOMPAKTNÍ SYSTÉM S NEKOMPROMISNÍM ZVUKEM

Zvučit jednou kompaktní a nenápadnou sestavou široké spektrum alic a p ostoru bylo vždycky zvukarským snem. O možnosti takový aparát prostě postavit na zem, zapnout a pak mu třeba až od mixu určit, kde jsou posluchači a kam a jak daleko má hrát, se donedávna nikomu ani nesnilo. Někdy ale realita předhání i sny a TTL11A si už můžete koupit.

TTS26-A
3400 W

Subwoofer: 2x 15" s 4" cívkou
DSP 96 kHz/32 bitů

DIGITÁLNÍ ŘÍZENÍ SMĚROVOSTI

32 bitový DSP má kromě dnes běžných funkcí na starosti také řízení vertikálního vyzařovacího diagramu způsobem, jaký se používá v moderních radarech, nezbytnou podmínkou ovšem je, aby téměř každý reproduktor měl svůj vlastní zesilovač, protože každý jednotlivý zdroj zvuku vyžaduje specifický signál. V TTL11A je těch zesilovačů celkem sedm, osmý obsahuje TTS26-A. Nastavení přímo na zadním panelu je přesto rychlé a přehledné, pokud využijete RDNet, získáte navíc osmipásmový PEQ a kompletní monitoring provozu.



the rules of sound

RCF

Sleva 20 %



- Výstup - zásuvka 230 V
- Chráněn tavnou pojistkou
- Robustní kovové šasi

Oddělovací transformátor OT230.100

- OT230.100 je určen pro oddělení síťového napětí od připojeného zařízení s maximálním odběrem proudu 10 A.

~~10 215 Kč~~

8 172 Kč
bez DPH

* pouze pro objednávky v měsíci červenci

Další výrobky



SBL530

Stolní mikropáječka

2699,-



AC250K1D-S

AC zdroj 0-250V / 1A

9650,-



V130R50D

DC zdroj 0-30V, 0-10A

9800,-



Q130R50D

DC zdroj 0-30V, 0-20A

18250,-

* všechny ceny bez DPH

České výrobky světové kvality...

« **DIAMETRAL**[®]
www.diametral.cz

Diametral spol. s r.o., Hrdoňovická 178, 193 00 Praha 9 - Horní Počernice
tel./ fax 281 925 939 - 940, email: info@diametral.cz.

**** ZÁŠILKOVÁ SLUŽBA ****
PRODEJ NA FAKTURU
**** TRADIČNÍ KVALITNÍ SERVIS ****
<http://www.awv.cz>



STATRON
A.W.V.

A.W.V.



**Výhradní distributor laboratorních zdrojů
STATRON**



Specifikace / Typ	2229.1	2229.2	2223.0(1)	2250.0
Výstupní napětí	2 x 0 - 40 V	2 x 0 - 40 V	0 - 30 V	0 - 40 V
Výstupní proud	2 x 0 - 2,5 A	2 x 0 - 2,5 A	0 - 2,5 A	0 - 5 A
Zvlnění	2 mV	2 mV	2 mV	2 mV
Ukazatele U/I	analogové	digitální	analog.(digit.)	digitální
Š x V x H (mm)	260 x 140 x 230	260 x 140 x 230	140 x 120 x 260	260 x 140 x 200
Hmotnost	cca. 8,0 kg	cca. 8,0 kg	cca. 4,0 kg	cca. 7,0 kg
Cena Kč bez DPH	6 560,-	6 560,-	4 019,-	6 294,-

Specifikace / Typ	3250.1	3252.1	3254.1	3256.1
Výstupní napětí	0 - 36 V	0 - 36 V	0 - 36 V	0 - 36 V
Výstupní proud	0 - 7,5 A	0 - 13 A	0 - 22 A	0 - 40 A
Zvlnění	1 mV	1 mV	2 mV	2 mV
Ukazatele U/I	digitální	digitální	digitální	digitální
Š x V x H (mm)	372 x 134 x 252	372 x 134 x 252	451 x 134 x 324	451 x 134 x 410
Hmotnost	cca. 10,5 kg	cca. 12,6 kg	cca. 19,8 kg	cca. 31 kg
Cena Kč bez DPH	11 781,-	12 474,-	21 655,-	32 051,-



**Spínané zdroje
s velkým výkonem**



Specifikace / Typ	3654.1	3654.3	3656.1	3656.3
Výstupní napětí	0 - 30 V	0 - 60 V	0 - 30 V	0 - 60 V
Výstupní proud	0 - 33 A	0 - 16 A	0 - 66 A	0 - 33 A
Zvlnění	6 mV	8 mV	6 mV	8 mV
Ukazatele U/I	digitální	digitální	digitální	digitální
Š x V x H (mm)	445 x 134 x 320	445 x 134 x 320	445 x 134 x 410	445 x 134 x 410
Hmotnost	cca. 10,5 kg	cca. 10,5 kg	cca. 16 kg	cca. 16 kg
Cena Kč bez DPH	29 106,-	29 106,-	51 629,-	51 629,-

Specifikace / Typ	3250.3	3250.4	3250.5	3250.6
Výstupní napětí	0 - 72 V	0 - 150 V	0 - 300 V	0 - 600 V
Výstupní proud	0 - 2,5 A	0 - 0,2 A	0 - 0,1 A	0 - 0,1 A
Zvlnění	1,2 mV	1,5 mV	2 mV	4 mV
Ukazatele U/I	digitální	digitální	digitální	digitální
Š x V x H (mm)	372 x 134 x 252	372 x 134 x 252	372 x 134 x 252	372 x 134 x 252
Hmotnost	cca. 10,5 kg	cca. 10,5 kg	cca. 10,5 kg	cca. 10,5 kg
Cena Kč bez DPH	13 514,-	13 514,-	13 514,-	20 444,-



**Elektronické zátěže
do max. 80 V / 150 A**

novinka

Vyžádejte si podklady k celé řadě laboratorních zdrojů (napětí 0-18V, 0-36V, 0-72V, 0-150V, 0-300V, 0-600V) nebo zdroje s pevným napětím), popř. navštivte naše internetové stránky, kde jsou kompletní katalogy (laboratorní zdroje, měřicí příslušenství, reg. autotransformátory, měřicí a revizní přístroje ve formátu 3.PDF

Specifikace / Typ	3227.1	3229.0	3224.1	3223.1
Vstupní napětí	1 - 80 V	1 - 75 V	1-260V AC 1-300V DC	2,5 - 80 V
Zatěžovací proud	max. 25 A	max. 50 A	max. 13 A	max. 150 A
Krytí	IP 30	IP 30	IP 30	IP 30
Ukazatele U/I	digitální	digitální	digitální	digitální
Š x V x H (mm)	245 x 135 x 220	122 x 276 x 240	445 x 134 x 450	445 x 134 x 410
Hmotnost	cca. 4,0 kg	cca. 4,5 kg	cca. 16 kg	cca. 16 kg
Cena Kč bez DPH	9 735,-	17 259,-	48 840,-	49 896,-

Sídlo firmy:
A.W.V. ELEKTRO spol. s r.o.
tel: 382 213 756, 382 212 595
fax: 382 213 756, e-mail: awv@awv.cz
Žižkova 247, 397 01 Písek

Obchodní zastoupení v Praze:
MICRONIX spol. s r.o.
tel: 241 441 383, fax: 241 441 384
e-mail: merici@micronix.cz
Antala Staška 32, 140 00 Praha 4

Obchodní zastoupení na Slovensku:
BD SENSORS spol. s r.o.
tel: 055-7203112, fax: 055-7203118
e-mail: info@bdsensors.sk
Osloboditeľov 60/A, 040 01 Košice

GSM-DIN3 Moderní GSM ovládání na DIN lištu

Firma FLAJZAR je známa především svým uceleným sortimentem GSM komunikátorů a právě přichází s novým GSM ovládáním na DIN lištu nové generace pod typovým označením GSM-DIN3.

S tímto GSM zařízením můžete snadno ovládat topení, garážová vrata, čerpadla, zavlažování, restartování serverů a další – to vše pohodlně přes váš mobilní telefon pomocí SMS zpráv nebo bezplatným prozvoněním. Zařízení obsahuje i dva univerzální vstupy pro připojení čidel, senzorů a kontaktů, po jejichž aktivaci nebo změně stavu vám odešle SMS a zavolá.

Nastavení zařízení se provádí jednoduše v PC připojením přes microUSB kabel, pomocí bezplatného konfiguračního programu. Tento intuitivní program obsahuje přehledného průvodce nastavením. Konfigurace je také možná pomocí SMS příkazů z vašeho mobilního telefonu.

GSM-DIN3 je určeno pro montáž na DIN lištu, obsahuje dva reléové výstupy se spínacími kontakty 250V/5A a dva galvanicky oddělené alarmové vstupy. Navíc vstup pro připojení externího teplotního čidla s funkcí termostatu a teploměru - zasílá tedy informační SMS při překročení nebo poklesu teploty pod nastavenou mez.

Příklady použití:

- při letním parném dni si po cestě domů dálkově zapnout klimatizaci nebo vyhřívání bazénu
- možnost ovládat garážová vrata a brány
- v zimních měsících si zapínat vytápění domu
- signalizace nejrůznějších stavů z externích čidel

Technické údaje:

- napájecí napětí: 230V/AC
- pracovní teplota: -20°C až +55°C
- rozsah měření teploty: -50°C až +125°C
- kontakty relé: 2x max. 250V/5A
- rozměry: 90x36x58mm (v x š x h)
- velmi příznivá cena

Lze nakonfigurovat až 6 telefonních čísel oprávněných ovládat zařízení. Ke každému číslu lze nastavit rozdílná práva pro ovládání. Díky použití moderního spínaného zdroje má zařízení minimální spotřebu a vysokou spolehlivost.

Zařízení je zálohováno interním Li-ion akumulátorem, který zaručuje funkčnost GSM dálkového ovládání i při výpadku 230V. Po výpadku hlavního napájecího napětí vám bude zaslána informační SMS. Máte tak nad zařízením stále dohled a víte, co se právě děje.

Podrobné informace a návod naleznete na www.flajzar.cz



Souhrn funkcí a vlastností:

- 2x digitální vstup (alarmové vstupy pro připojení čidel a senzorů)
- 2x reléový výstup max. 250V/5A (pro ovládání kotle, čerpadla, chlazení atd.)
- 1x vstup teplotního čidla (pro hlídání a měření teploty)
- možnost nastavit výstupní relé do režimu termostatu (chlazení, topení,..)
- odeslání SMS zprávy po výpadku napájecího napětí, při překročení nastavené teploty, při aktivaci některého vstupu
- konfigurace v PC nebo SMS příkazy
- bezplatné aktualizace SW přes internet
- ochrana heslem

MAC - samostatné modulátory AV-COFDM

MAC- jsou autonomní zařízení sloužící k modulaci jednoho nebo čtyř AV signálů do jednoho výstupního DVB-T kanálu v TV pásmu. Zařízení provádí v reálném čase digitalizaci AV signálů, komprimaci dle standardu MPEG2 a modulaci COFDM. Výstupní signál je plně kompatibilní s normou DVB-T (EN 300 744).

Typickou aplikací jsou informační kanály a modulace signálu z DVD, kamer a jiných zdrojů AV signálu.



- MAC-401 čtyřvstupý DVB-T modulátor
- MAC-HOME jednovstupý DVB-T modulátor

- 1 nebo 4 video a stereo audio vstupy
- špičková kvalita modulace MER: 35 dB MAC HOME, 38 dB MAC-401
- zpracování a vložení PSI/SI tabulek
- podpora LNC (Logical Channel Number)
- nastavení z číselního panelu nebo přes webové rozhraní (pouze MAC-401)
- jeden RF COFDM DVB-T výstup v pásmu 51-858 MHz pro MAC-401, 474-858 MHz pro MAC HOME

antech spol. s r.o.

Rovnice 998/6, 691 41 Břeclav, tel/fax. 519 374 090
e-mail: obchod@antech.cz, http://eshop.antech.cz



ERA COMPONENTS spol. s r.o.

KERAMICKÉ KONDENZÁTORY SMD pro nejvyšší nároky



KONDENZÁTORY PRO POVRCHOVOU MONTÁŽ

- ◆ standardní (16V, 25V, 50/63V, 100V, 200V; velikost 0603 - 2225)
- ◆ vysokonapěťové (500V, 1kV, 2kV, 3kV, 4kV a 5kV, vel. 1206 - 8060)
- ◆ s nízkou indukčností (16V až 100V; velikost 0805, 1206)
- ◆ pro velmi vysoké kmitočty (vysoké Q) (velikost 0603 - 1210)
- ◆ nízkoprofilové (tloušťka 0,45 až 0,65 mm, 25 - 50V, vel. 0805 - 1210)
- ◆ 250Vac kondenzátory X1/Y2 a X2 (250Vac; X7R, velikost 2220)
- ◆ přepětí ochranné kondenzátory Y3/X2 (250Vac; C0G, velikost 1808)
- ◆ kondenzátory s diel. X8R pro teploty -55 až +150°C (až 200V; 0805 - 2225)
- ◆ kondenzátory TIP & RING pro telekom. Y3/X2 (250V; X7R, vel. 1812 - 2225)

EMI FILTRY PRO POVRCHOVOU MONTÁŽ

- ◆ třívodové kondenzátory EMI 0,3A (100V; velikosti 0805, 1206)
- ◆ třívodové kondenzátory EMI 2A (50V; velikosti 0805, 1806)
- ◆ EMI kondenzátory pro symetrická vedení - balanced line (vel. 0805 a 1206)
- ◆ C a π filtry 5A - typ SBSG (X7R, 50 - 500V, velikost 5,25 x 3,2 mm)
- ◆ C a π filtry 10A - typ SBSM (X7R, 50 - 500V; velikost 6,6 x 5,0 mm)

PRŮCHODKOVÉ ODRUŠOVACÍ FILTRY EMI

- ◆ široký rozsah kapacit 10pF - 2,2 μ F až do 500V, stabilní a ultrastabilní dielektrikum
- ◆ elektrická konfigurace: C, L-C, T - článek, π - článek
- ◆ různá provedení vč. metrických závitů, šestihřanné, kulaté i nízkoprofilové, pájecí

MULTIČÍPOVÉ VÍCEVRSTVÉ KONDENZÁTORY

- ◆ vysoké kapacity (až 82 μ F) C0G a X7R (50V - 5 kV), SMD, DIL apod.

KAPACITNÍ POLE, DISKOVÉ a VÝVODOVÉ KONDENZÁTORY

Vysoká kvalita a spolehlivost (certifikace podle ISO 9001, CECC a BS 9000). Možnost přímých dodávek. Konstrukční katalogy a katalogové listy jsou k dispozici. Ceny na konkrétní typy součástek sdělíme na požádání.

Michelská 12a, 14000 Praha 4 T: 241483138 F: 241481161 era@comp.cz

ELEKTRONICKÉ SOUČÁSTKY
e-mail: bucek@bucek.name
www.bucek.name
Jaromír BUČEK
Tel/Fax: (05) 45 21 54 33
Vranovská 14, 614 00 BRNO

Výroba zakázkových
plošných spojů - jednostranné
- oboustranné

- * plošné spoje dle časopisů AR, PE, KE, Radio PLUS (KTE)
- * plošné spoje zakázkové - Jednostranné,
Oboustranné prokovené/neprokovené
(měďáky, cinované, vrtané, s nepájivou maskou, s potiskem)
- * zhotovení filmových předloh
- * digitalizace plošných spojů
- * digitalizace dat pro strojní vrtání
- * výroba plošných spojů z hotových DPS, ke kterým nejsou výrobní podklady

Bližší informace o výrobě naleznete na www.bucek.name

AEC ELEKTROTECHNIKA spol. s r.o.

Member of the Kathrein Group

AEC ELEKTROTECHNIKA, spol. s r.o.
Na Rovinách 6/390, 142 00 Praha 4
Tel.: +420 241 710 018, -48
Fax: +420 241 710 003
E-mail: info@aec-eltech.cz

KATHREIN

Antennen · Electronic



CAP 710 – TV příjem pro Váš karavan.

- ▶ Automatické nastavení antény na požadovaný satelit.
- ▶ HD přijímač s HDMI výstupem a externím IR čidlem pro skrytou montáž v interiéru.
- ▶ Napájení 12 V!
- ▶ Také v provedení pro 2 TV s rychlejším nastavením pomocí GPS(model CAP910).



HDS 910 - sada přijímače a pozicionéru

- ▶ Je určena pro přestavbu starších systémů CAP pro příjem satelitního digitálního TV i HDTV vysílání.
- ▶ Obsahuje HDTV satelitní přijímač UFS940sw a pozicionér HDS900.
- ▶ HDS900 umožní spolupráci nového přijímače se staršími servojednotkami.



Internetový obchod naleznete na:
<http://obchod.aec-eltech.eu/>

Alternativní řešení s ručním nastavením.
Díky elektronickému úhloměru je nastavení velmi jednoduché !

Soupis potřebných komponent:

- ▶ Anténa BAS60
- ▶ Stožárek HDM140 nebo 141
- ▶ Přijímač UFS940sw
- ▶ Čidlo náklonu HDZ60



WWW.AEC-ELTECH.CZ

AVEL MAK

LED PÁSY

- INDOOR
- 150 LED
- 300 LED
- 600 LED
- OUTDOOR
- 150 LED
- 300 LED
- 600 LED
- LED LIŠTY
- ZDROJE
- OVLÁDAČE
- LIŠTY AL



Preverte si naše ceny
a kompletný sortiment :

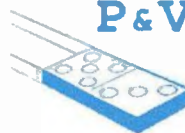
www.avelmak.sk

E-mail: avelmak@avelmak.sk
Telefón: +421-57-7682825, Fax: +421-57-7580460

P & V ELEKTRONIKA

spol. s r.o.

Nad Rybníkem 589
19012 Praha 9 - Dolní Počernice



VINUTÉ DÍLY PRO ELEKTRONIKU

- Samonosné a tvarové cívky
- Antenní spěkané cívky
- Zákaznické vinuté díly
- Měřicí cívky a senzory
- Transformátory a tlumivky do spínaných zdrojů
- SMD tlumivky a převodníky
- Toroidní síťové transformátory a tlumivky



MECHANIKA NEJEN PRO ELEKTRONIKU

- Nástroje a přípravky pro elektrovýrobu
- Elektroerovizní drátové řezání a hloubení
- Konvenční broušení na plocho, na kulato a tvarové
- CNC soustružení do průměru 41 mm

Provozovna 33544 Kasejovice 389
telefon: 00420371595412, fax: 00420371595280
e-mail: pvelektronic@pvelektronic.com
<http://www.pvelektronic.com>



Akce platí od 1. 7. do 31. 7. 2012, nebo do vyprodání zásob.

od výrobce **Pro'sKit**

sleva až **28 %**

62 různých modelů
již od **40,-**

Kleště

sleva až **28 %**

16 různých modelů
již od **79,-**

Krimpovací kleště

sleva až **25 %**

8 různých modelů
již od **23,-**

Nože, nůžky, skalpely

sleva až **33 %**

14 různých modelů
již od **14,-**

Ruční a elektrické nářadí

sleva až **36 %**

6 různých modelů
již od **450,-**

Pájení

sleva až **32 %**

17 různých modelů
již od **20,-**

Pinzety, háčky

sleva až **38 %**

31 různých modelů
již od **40,-**

Sady nářadí

sleva až **39 %**

52 různých modelů
již od **7,-**

Šroubováky

sleva až **27 %**

7 různých modelů
již od **39,-**

Tašky na nářadí, plast. krabičky, úložné boxy

Kompletní nabídku naleznete na www.gme.cz.

Najdete nás také na:



AKCE

90 zdrojů za 90% ceny

Zdroje **MEAN WELL** vynikají nepřehledným množstvím výkonových řad, různými typy zapouzdření, svou vysokou kvalitou a dlouhou životností. **MEAN WELL** nabízí modulové zdroje s plechovým zakrytváním, modely bez krytu, zapouzdřené zdroje s vyšším krytím určené pro venkovní použití, zdroje určené pro napájení výkonových LED s konstantním výstupním proudem a zdroje určené k montáži na DIN lištu.

Některé modely těchto zdrojů nabízejí také speciální funkce jako integrované nabíječky akumulátorů, nebo více výstupů s různými úrovněmi napájení. V sortimentu GM electronic naleznete více než 150 typů zdrojů **MEAN WELL** a další modely do sortimentu stále přibývají. Nyní Vám nabízíme 90 vybraných modelů s 10% slevou.

Kompletní nabídku naleznete na www.gme.cz.



Všechny ceny jsou uvedeny v Kč včetně DPH. Změna cen a jiných údajů vyhrazena.



www.gme.cz

Praha: Thámova 15, 186 00 Praha 8, e-mail: paha.maloobchod@gme.cz
Brno: Koliště 67a, 602 00 Brno, e-mail: brno.maloobchod@gme.cz
Ostrava: Dlouhá 1485/8, 702 00 Ostrava, e-mail: ostrava.maloobchod@gme.cz
Hradec Králové: OC Atrium, Dukelská třída 1713/7, 500 02 Hradec Králové, e-mail: hradec.maloobchod@gme.cz

Plzeň: Korandova 4, 301 00 Plzeň, e-mail: plzen.maloobchod@gme.cz
Bratislava: Mlynské Nivy 58, 821 05 Bratislava, e-mail: bratislava@gme.sk

Infolinka: 226 535 111

www.reproduktory.org

Staré triky
výrobců...

Na co si dát
pozor?

Jak vybrat
ozvučení?

PORTÁL na ozvučení

Nepřehledný
e-shop
s množstvím
blikajících slev?

NE!

DEXON[®]

TEORIE - KONSTRUKCE - NAVRHY UZVUČNÝCH
PORADNA - DISKUZE - INZERCE

DEXON[®]

Objednejte si nový KATALOG III!

A&A, výroba, obchod a servis, s.r.o.
739 47 Kozlovice 587, tlf./fax: 558697697

A&A

www.krabicky.cz

www.krabicky.cz

Převodníky ETHERNET - RS232/422/485

Různá provedení, snadné použití, nízká cena (převodník, webový server, FTP server, ...), zákazkový software



papouch

Teploměry

S výstupy RS232/485, USB, Ethernet (IP teploměr). Měření přímo ve °C.

Převodníky USB - RS232/485/422

"Chybí Vám sériový port?"
Běžné i průmyslové provedení, galvanické oddělení, přenos všech signálů, virtuální driver

Měřicí moduly DRAC

AD převodník 0-10 V, 4-20 mA, výstup Ethernet, USB, RS232/485. Nové rychlé provedení.

Převodníky a opakovací linek RS232 i RS485/422

Galvanické oddělení, přepětová ochrana, různá provedení, vysoká spolehlivost

Optické oddělení a prodloužení RS232

I/O moduly pro RS232/485/422, USB, Ethernet

PAPOUCH s.r.o.

Elektronické aplikace dle Vašich požadavků - www.papouch.com
Strašnická 1a, Praha 10, tel. 267 314 267-9, 602 379 954

On-line obchod zaměřený na pájení, antistatiku a dávkování

esdshop.cz

internetový obchod

Každý týden nová speciální nabídka s 10% slevou!

Po - Pá: 8:00 - 16:00
INFOLINKA
☎ 607 100 687

www.esdshop.cz
obchod@esdshop.cz

BS ACOUSTIC

BS ACOUSTIC CZ, s.r.o., Brno - CZ
tel.: 00420 541 633 797
BS ACOUSTIC, s.r.o., Radošovce - SK
tel.: 00421 34 660 4511

**REPRODUKTORY, REPROSOUSTAVY
OZVUCOVACÍ TECHNIKA
CAR-HIFI-PROFESSIONAL SOUND SYSTEMS**

**www.bsacoustic.sk
www.bsacoustic.cz**



JD & VD s.r.o.
Mečovská 378/3
193 00 Praha 20
tel: 281 920 323
www.ferity.cz
info@jdvd.cz

Nabízíme:

feritové hrníčky
feritové trubičky
feritové tyčky
závitová jádra
dvouotvorová jádra
RM-jádra
E-jádra
ETD-jádra
EF jádra
EC jádra
X-jádra
U-jádra
I-jádra
toroidy,
kostříčky,
spony, aj.



Obchodujeme
s výrobky firem:
Pramet Sumperk
FERROXcube
Cosmo
Epcos, Norwe
Magnetics
Kolektor Magma
Micrometal
Miles Platts



Základní sortiment
rezistorů, kondenzátorů
polovodičů, konektorů, ...

KONEKTORY - BRNO, s.r.o.
Musilova 1, 614 00 BRNO
tel. + fax: 541 212 577
www.konektor.cz
e-mail: brno@konektor.cz

LEVNÉ OSAZOVÁNÍ A PÁJENÍ SMD a THT

- Osazování již od 1ks
- Zajišťujeme výrobu šablony pro nanášení pojecí pasty
- Většinu SMD R,C,D,T velikosti 0603, 0805, 1206 máme skladem
- Bezolovnaté i olovnaté pojení
- Žádná technologická omezení desky
- Stačí vykres osazení s hodnotami součástek
- Cenu si snadno spočítáte sami podle jednoduché tabulky v Excelu

Maximální osazovací rychlost až 3000 součástek/hodinu
Maximální velikost osazované desky 343 x 560 mm
Přesnost osazování 0,025 mm
Rozlišení 0,002 mm a přesnost až 0,025 mm umožňují osazování všech SMT součástek včetně diskrétních, SOIC, PLCC a QFP
Schopnost osazování fine-pitch součástek až do rozteče vývodů 0,381 mm
Možnost používání součástek balených v páskách, tyčích, volně sypných nebo v plátech
Nejmenší součástku lze osazovat 0402, největší součástka má rozměry 35 mm x 35 mm



KPZ electronics s.r.o. Partnerský podnik IC, elektronika a.d. - Česká republika
Mlýnská 4, Brno 602 00, tel: 542 21 111, www.kpz.cz

Programming speed improvement

BeeProg2 BeeProg+

Podporuje
> 70900 obvodů

BeeProg2 extrémně rychlý univerzální programátor
BeeProg+ velmi rychlý univerzální programátor

- duálně připojení k PC: USB port / printer port
- možnost násobného programování připojením viacerých programátorů k jednému PC
- konektor pre ISP ● záruka - 3 roky

BeeHive204

EXTRÉMNE RYCHLÝ
MULTI PROGRAMÁTOR

- 48 univerzálných pin-driverů, nie sú potrebné adaptéry pre obvody v páždach DIL
- připojení k PC - USB port
- záruka - 3 roky
- podpora ISP

Podporuje
> 70500 obvodů!

SmartProg2

UNIVERZÁLNÍ PROGRAMÁTOR
s možností ISP

- výkonný a rychlý univerzální programátor
- připojitelnost k PC: USB port
- konektor pre ISP
- záruka - 3 roky

Podporuje
> 29350 obvodů!

Programovacie adaptéry

- viac ako 900 modelov ● vysoká životnosť
- pre obvody: PLCC, LCC, SDIP, SOIC, SOP, PSOP, SSOP, TSOP, TSOPII, TSSOP, QFP, PQFP, TQFP, VQFP, QFN, MLF, BGA, EBGA, FBGA, VFBGA, UBGA, FTBGA, CSP, QLP, QIP, SOT23 a i.
- počet pinov: od 3 do 676

výroba a dodávka Elneec s.r.o.
Jilská 120/11
SK - 054 01 Prácheň
Tel: 251 777 345 25
elneec@elneec.sk, www.elneec.sk

Cigler software, a.s. (správa a zastúpenie pre ČR)
Rudolfstavovo nám. 12, 612 00 Brno, tel. 5 4952 2511,
fax 5 4952 2512, eShop: http://shop.elneec.cz

Fanda elektronik s.r.o. Těrná 476/2 73535 Horní Suchá
tel: 603 531 065, fax: 59 642 56 19, elneec@fanda.cz

HW U Pily 103/3, 143 00 Praha 4, info@hw.cz
tel: 241 402 940, fax: 222 513 834, www.hw.cz

Ryston electronics s.r.o. Mořanská 82/172, P.O. Box 13
143 00 Praha 4, tel: 225 272 111, fax: 225 272 291

S.O.S. electronic s.r.o., Pň prachov 16, 040 11 Košice
tel: 053/786 04 10-16, fax: 053/786 0445, info@sos.sk

S.O.S. electronic s.r.o., Hybešova 42, 602 00 Brno
tel: 5 35 427 111, info@sos-electronic.cz

www.aradio.cz
inzerce@aradio.cz

ELTIP s.r.o., elektro součástky

Velkoobchod, maloobchod, zásilková služba

Bulharská 961, 530 03 Pardubice

TEL: 466 611 112, 466 657 688, FAX: 466 657 323

eltip@eltip.cz, www.eltip.cz

L7805CV ST TO220	á 3,90 /50ks	L7805ABV TO220	á 4,90/50ks
PC817 Sharp	á 2,90/50ks	CR2032 Panasonic	á 9,50/50ks
Relé Schrack RT 424 012, 024 (2x8A) 12, 24 V DC			á 39,-/20ks
Relé Schrack RT 314 012, 024 (1x16A) 24V DC			á 39,-/20ks
Relé Schrack RT 314, 424 730 (1x16A, 2x8A) 230V AC			á 69,-/20ks

Aktuální ceny dalších součástek sdělíme na požádání emailem, faxem.

Distribuce ENIKA, LINEAR TECHNOLOGY, SUNON, WAGO ATD.

Pro obdržení cen z tohoto inzerátu uvádějte
na objednávkách kód SPEC.NAB.04/2011

Ceny bez DPH

fischer

elektronik

chladiť chránit spojiť

Skřínky „Design“

- Víceúčelovost díky modernímu vzhledu
- Funkční konstrukce skříněk
- Nárazům odolní umělohmotné obložení
- Integrovaná těsnění a přístrojové nožky
- Popisy sítotiskem, digitálním eloxováním, gravírováním a YAG laserem
- Speciální zákaznické barvy a zpracování na přání



Více se dozvíte zde:
www.fischerelektronik.cz

Fischer Elektronik GmbH & CO. KG
»ESKJ REPUBLIKA
390 02 T. bor, Bydlišinského 2964
Tel.: 00 420 - 382/ 52 10 70
Fax: 00 420 - 382/ 52 10 25
mobil: 00 420 - 602/ 486 335
distribuce@fischerelektronik.cz



OPTOELEKTRONICKÁ ČIDLA A ZÁVORY



INFRA ZÁVORY 15m
REFLEX. ZÁVORY 5m
DIFUZNÍ ČIDLA 1,2m
INDUKČNÍ ČIDLA 6 mm

PROGRAMOVATELNÁ ČIDLA A ZÁVORY

Použití: kontrola osob, předmětů,
rozměru, ochrana objektů

REHABILITAČNÍ A MASÁŽNÍ PŘÍSTROJE

ELFA-SRB
s.r.o.

Řečice 22
388 01 BLATNÁ

e-mail: ar@elfa.cz

<http://www.elfa.cz>

tel. fax 383 423 652

Prodej elektronických měřicích přístrojů.



repasované , nové

Elex - Křenová 12
Brno 60200
Tel/fax 543255252/1
www.elexbrno.cz
elex@elexbrno.cz



Provádíme opravy a
kalibrace.



Vzhůru na Mars! Reaktivace

Společnost TME vždy podporovala nové technologie a se zájmem sleduje jejich vývoj. Stali jsme se sponzorem Skarabea, marťanského robota a jeho autorů - studentů Varšavské technické univerzity a členů Mars Society Polska, kteří jako jediní evropští zástupci postoupili do mezinárodní soutěže marťanských robotických vozítek University Rover Challenge 2009. Tato soutěž se konala ve Spojených státech amerických na poušti ve státě Utah.

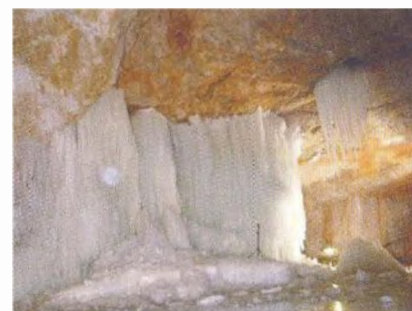
Proto jsme také ani na okamžik neváhali, když nás oslovil toruňský technologická startup ABM Space Education za účasti doktorandů Univerzity Mikuláše Koperníka s žádostí o podporu expedice do rakouského pohoří Dachstein, kde se ve dnech 17 dubna až 1. května konaly terénní testy marťanských robotických vozítek. Testy byly provedeny ve třech pečlivě vybraných místech v Ledové a Mamutí jeskyni, které se nacházejí na

území přírodní rezervace pod správou UNESCO. Organizátorem akce je Austrian Space Forum, organizace, která již řadu let pracuje na výzkumném programu zaměřeném na vybavení pro průzkum Marsu, planet a extrémního prostředí. Testů se kromě polských zástupců zúčastnilo devět týmů z Rakouska, Francie a USA.

Ve vozítku ABM SE (Magma White), který zastupoval Polsko, byl instalován prototypový georadar WISDOM, který vyvíjejí francouzští vědci. Toto zařízení je určeno pro vozítko EXOMARS, které bude vysláno na marťanskou misi ESA, naplánovanou na rok 2018. Radar je testován na mnoha místech na zemi, tzv. marťanských analogiích, kde existuje možnost plné simulace podmínek na Marsu.

Účast v misi je neopakovatelnou příležitostí pro získání mnoha zajímavých informací, navázání kontaktů s jinými nadšenci a možností setkat se s nejmodernějšími technologiemi, představit své vybavení a podělit se o své zkušenosti. Během testů proběhla řada experimentů a testy nejnovější verze vesmírného skafandru Auoda.X. Ověřovány byly také technologie spojení a dálkového ovládání. Technologie WISDOM může posloužit nejen při marťanských misích, ale i mimo vesmírný výzkum. Celá expedice byla přenášena přes internet.

Firma TME je jedním ze sponzorů expedice Dachstein.



PRAKTICKÁ ELEKTRONIKA RADIO

OBJEDNÁVKA PRO ČESKOU REPUBLIKU

**Zajistěte si předplatné u naší firmy AMARO a získáte až dvě čísla PE-AR zdarma!!!
Spolu s předplatným navíc získáváte výraznou slevu na nákup CD ROM a DVD**

Titul	Předplatné 12 čísel	Předplatné 6 čísel	Objednávku od č.:	Množství
Praktická elektronika - Amatérské Radio	756,-- Kč	378,-- Kč		

Tituly prosím zasílat na adresu:

Příjmení Jméno

Adresa

Organizace doplní název firmy, IČO, DIČ, Tel./fax/e-mail

Objednávku zašlete na adresu: Amaro spol. s r. o., Karlovo nám. 30, 120 00 Praha 2, tel./fax: 257 317 313; e-mail: odbyt@aradio.cz



Titul	Cena	Množství	Cena pro naše předplatitele	Množství
CD ROM AR 1996 - 98	220,-- Kč		220,-- Kč	
CD ROM PE a KE ročník 1996, 1997, 1998	po 290,-- Kč		po 170,-- Kč	
CD ROM ročník 1999, 2000, 2001, 2002	po 350,-- Kč		po 220,-- Kč	
CD ROM ročník 2003, 2004, 2005, 2006	po 350,-- Kč		po 220,-- Kč	
CD ROM ročník 2007, 2008, 2009	350,-- Kč		220,-- Kč	
CD ROM ročník 2010	350,-- Kč		220,-- Kč	
CD ROM ročník 2011 (od 1. 3. 2012)	350,-- Kč		220,-- Kč	
DVD 1945 - 1951 + 1996 - 2010	1250,-- Kč		850,-- Kč	
DVD AR ročníky 1952 - 1995	1650,-- Kč		1150,-- Kč	

Tituly prosím zasílat na adresu:

Příjmení Jméno

Adresa

Organizace doplní název firmy, IČO, DIČ, Tel./fax/e-mail

Objednávku zašlete na adresu: Amaro spol. s r. o., Karlovo nám. 30, 120 00 Praha 2, tel./fax: 257 317 313; e-mail: odbyt@aradio.cz

ARDUINO v sortimentu GM electronic

Díky stále stoupající oblíbenosti vývojových kitů pro práci s mikrokontroléry jsme se rozhodli zavést do našeho sortimentu populární a celosvětově rozšířené řešení ARDUINO. Tento vývojový systém s sebou přináší několik základních vývojových modulů s různými mikroprocesory výrobce ATMEL, které obsahují vlastní bootloader a programují se pomocí open-source vývojového software. Kromě modulů s mikrokontroléry tento systém nabízí také řadu rozšiřujících modulů, které umožňují téměř libovolné využití ARDUINA nejen pro výuku elektroniky a programování, ale také k tvorbě sofistikovaných mikroprocesorových řešení. V tomto článku bychom Vám rádi představili základní moduly, které naleznete v sortimentu GM electronic a jejichž nabídka se bude postupem času stále rozrůstat.

ARDUINO Uno (kód: 772-008) je základní mikrokontrolérová vývojová deska založená na ATmega328. Deska obsahuje 14 digitálních vstupních/výstupních pinů (z toho může být 6 použito jako výstupy PWM), 6 analogových vstupů, 4 UART, 16MHz krystal, připojení pomocí USB, napájecí konektor, ICSP rozhraní a resetovací tlačítko. Obsahuje vše potřebné k provozu mikrokontroléru, jednoduše jej připojíte k počítači pomocí USB kabelu a můžete začít pohodlně programovat.



Základní parametry:

MCU:	ATmega328
Pracovní napětí:	5V
Vstupní napětí:	7–12V
I/O piny:	14 (6x PWM)
Analog. vstupy:	6
DC proud / pin:	40mA
Flash paměť:	32KB
SRAM:	2KB
EEPROM:	1KB
Krystal:	16MHz

ARDUINO Mega 2560 (kód: 772-006) je vývojová deska založená na ATmega2560. Má 54 digitálních vstupních/výstupních pinů (z toho je 14 použitelných jako výstupy PWM), 16 analogových vstupů, 4 UART, 16MHz krystalový oscilátor, připojení pomocí USB, napájecí konektor, konektor ICSP, a resetovací tlačítko. Obsahuje vše potřebné k podpoře mikrokontroléru—stačí jednoduše připojit k počítači pomocí USB kabelu a můžete začít. Mega je kompatibilní s většinou periférií určených pro Arduino Duemilanova nebo Diecimila.



Základní parametry:

MCU:	ATmega2560
Pracovní napětí:	5V
Vstupní napětí:	7–12V
I/O piny:	54 (14x PWM)
Analog. vstupy:	16
DC proud / pin:	40mA
Flash paměť:	256KB
SRAM:	8KB
EEPROM:	4KB
Krystal:	16MHz

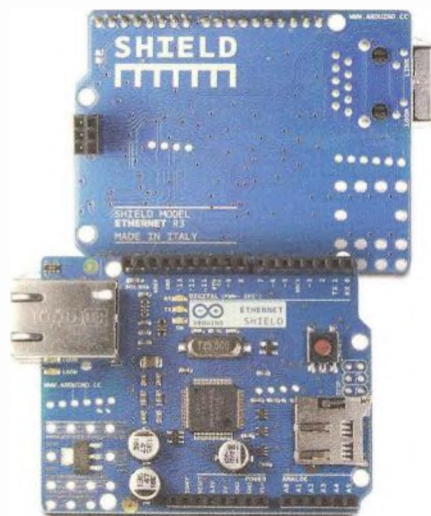
ARDUINO ADK (kód: 772-007) je vývojová deska založená na ATmega2560 a je téměř shodná s předchozím modelem. Oproti kitu Arduino Mega 2560 má navíc rozhraní USB host pro připojení s telefony Android založené na MAX3421e. Deska obsahuje 54 digitálních vstupů/výstupů (z toho je 14 použitelných jako výstupy PWM), 16 analogových vstupů, 4 UARTy, 16MHz krystalový oscilátor, rozhraní USB, napájecí konektor, konektor ICSP a resetovací tlačítko.



Základní parametry:

MCU:	ATmega2560
Pracovní napětí:	5V
Vstupní napětí:	7–12V
USB host rozhraní	
I/O piny:	54 (14x PWM)
Analog. vstupy:	16
DC proud / pin:	40mA
Flash paměť:	256KB
SRAM:	8KB
EEPROM:	4KB
Krystal:	16MHz

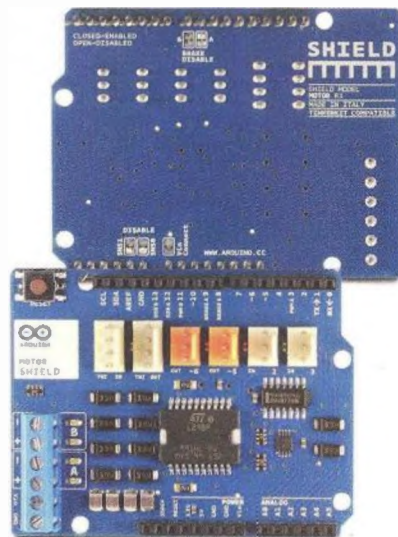
ARDUINO Ethernet Shield (kód: 772-009) – připojte Vaše ARDUINO k internetu během několika minut. Stačí jen připojit tento modul k Vaší desce Arduino, připojit ho k Vaší síti RJ45 kabelem (není součástí dodávky) a dodržet několik jednoduchých pokynů k zahájení řízení Vašeho světa přes internet. Jako vždy je každý prvek platformy – hardware, software a dokumentace – volně dostupný a open-source.



Základní parametry:

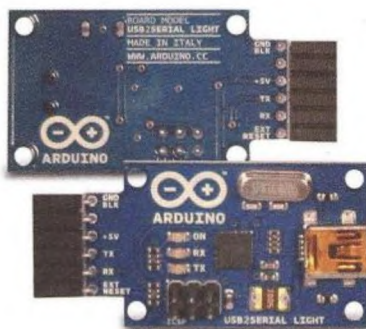
MCU:	ATmega328
Pracovní napětí:	5V
Vstupní napětí:	7–12V
I/O piny:	14 (6x PWM)
Analog. vstupy:	6
DC proud / pin:	40 mA
Flash paměť:	32 KB
SRAM:	2 KB
EEPROM:	1 KB
Krystal:	16 MHz

ARDUINO Motor Shield (kód: 772-003) je založen na L298, což je duální most pro řízení zátěží, jako jsou relé, solenoidy, DC a krokové motory. To Vám umožní řídit dva DC motory s pomocí desek Arduino a řídit rychlost a směr každého z nich samostatně. Můžete také měřit proudy tekoucí motory.



Pracovní napětí: 5V–12V
Motorový driver: L298P pro 2x DC motory nebo 1 krokový motor
Max. proud: 2A na kanál nebo 4A celkově (s externím zdrojem napájení).

USB Serial Light Adapter (kód: 772-004); tato deska převádí rozhraní USB na 5V sériové TX a RX kanály, které lze připojit přímo k ARDUINO Mini, ARDUINO Ethernet nebo jiným mikrokontrolérům, a tím jim umožní komunikovat s počítačem. Je vybaven Atmega8U2 naprogramovaným jako USB-sériový převodník.



Arduino Proto Shield (kód: 772-002) je určen pro tvorbu vlastního příslušenství k vývojovým kitům ARDUINO.

Náhradní MCU ATMEL MEGA328 (kód: 772-010) s bootloaderem pro ARDUINO UNO – v případě poškození původního mikrokontroléru na kitu ARDUINO UNO jej můžete snadno nahradit. MCU již obsahuje ARDUINO bootloader.

Výuková kniha ARDUINO – Getting started with Arduino, 2nd Edition – anglicky (kód: 772-012) – kniha je úvodem pro práci s Arduinem – nabízí spoustu nápadů na projekty a pomůže Vám s nimi pracovat.

Obsah publikace:

- 1 | Popis hardware a software Arduina a vývojového prostředí.
- 2 | Úvod do základů elektroniky.
- 3 | Úvod do prototypování na nepájivém poli.
- 4 | Úvod do kreslení elektronických schémat.

Začátek s ARDUINEM je s touto publikací velmi snadný!

Arduino představuje ideální možnost pro snadnou výuku základů programování, se kterou se dá začít v každém věku. Díky nepřebornému množství příslušenství a možností kity dále rozšiřovat jsou možnosti ARDUINA téměř nevyčerpatelné. Můžete snadno řídit LCD displeje, DC a krokové motory, inkrementální spínače a mnoho dalších. Specializované modely jako například ARDUINO ADK navíc umožňují vývoj zařízení spolupracujících s dalšími zařízeními, například mobilními telefony, díky USB host rozhraní. Většina kitů je programovatelná přímo pomocí USB rozhraní (stačí Vám k tomu pouze mini USB kabel), případně pomocí RS232 rozhraní prostřednictvím RS232/USB převodníku.



+420 226 535 111

Praha: Thámova 15, 186 00 Praha 8, e-mail: praha.maloobchod@gme.cz
Brno: Koliště 67a, 602 00 Brno, e-mail: brno.maloobchod@gme.cz
Ostrava: Dlouhá 1485/8, 702 00 Ostrava, e-mail: ostrava.maloobchod@gme.cz
Hradec Králové: OC Atrium, Dukelská třída 1713/7, 500 02 Hradec Králové, e-mail: hradec.maloobchod@gme.cz
Píseň: Korandova 4, 301 00 Píseň, e-mail: plzen.maloobchod@gme.cz
Bratislava: Mlynské Nivy 58, 821 05 Bratislava, e-mail: maloobchod@gme.sk

Xprotolab – – šikovní trpaslík

Ing. Michal Černý

(Dokončení)

V první části jsme si představili modul Xprotolab americké firmy Ga-botronics. V této části budou popsány další funkce přístroje.

Dvojitý voltmetr

V režimu měření napětí se v pravém horním rohu displeje ukazuje údaj časově základny 10 ms/d, což zřejmě vypovídá o vzorkovacím kmitočtu, který je v tomto režimu použit. Číselné údaje jsou vypisovány na tři (případně dvě) desetinná místa větším písmem a jsou dobře čitelné. Můžeme nechat vyhodnotit průměrné (stejnoseměrné) napětí nebo mezivrcholové napětí signálu. Modul neměří efektivní hodnotu, ale jinak je velmi dobře použitelný i jako nf voltmetr.

Pod zobrazením napětí se ukazuje miniaturizovaný průběh signálu, na němž se dá v hrubých obrysech poznat, jaký charakter má signál, který právě měříme. Při plynulé změně amplitudy signálu je vidět, jak zobrazení „přeřazuje“ rozsahy. Když jsem zkoušel přesnost měření, v rozsahu ± 15 V se údaj nelišil od 4místného DVM o více než 0,2 V, což je myslím docela slušný výsledek.

Měřič kmitočtu

Dvojitý měřič frekvence využívá stejně jako voltmetr vstupy osciloskopu a jejich možnosti. Na velmi nízké kmitočty nereaguje, mezi 10 a 50 Hz je měření ještě dost nepřesné, ale od 50 Hz do 400 kHz funguje výborně, při vyšších kmitočtech začíná ukazovat nesmyslné hodnoty. Vzhledem k tomu, že hodiny procesoru jsou řízeny krystalem 16 MHz, je přesnost a stabilita měření kmitočtu velmi dobrá a zobrazovaná čtyři platná místa odpovídají. Amplituda signálu na vstupu stačí asi 35 mV (U_{ef}), což odpovídá mezivrcholovému napětí kolem 80 mV, tedy jeden dílek nejcitlivějšího rozsahu osciloskopu.



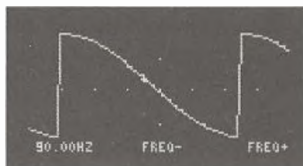
Obr. 17. Režim voltmetru



Obr. 18. Režim čítače



Obr. 19. Zobrazení trojúhelníkového signálu z vlastního generátoru

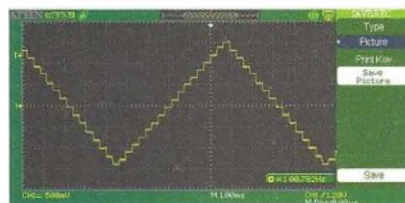


Obr. 20. „Pulsinus“ z vlastního generátoru

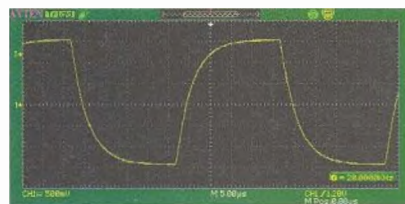
paralelního LC obvodu. Na obvodu napájeném přes sériový rezistor z výstupu vlastního generátoru se měří špičkové napětí osciloskopem přepnutým do pomalého běhu, který odpovídá rychlosti rozmitání generátoru. Nastavením nekonečného dosvitu se pomalu vykreslí křivka napětí zachycující rezonanci. Odměřovacími pravítky pak jde odečíst rezonanční kmitočet nebo interval, v němž se nacházejí pro určitý vzestup amplitudy signálu, a z toho pak určit jakost obvodu.

Zdroj

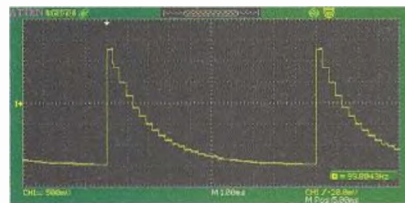
Xprotolab se může napájet dvěma základními způsoby, buď po připojení k PC napětím 5,0 V z USB konektoru, nebo z vnějšího zdroje 5 V, jeho vlastní spotřeba se pohybuje kolem 60 mA. Vnitřně modul používá i napětí -5 V generované měničem TPS60403, toto napětí je vyvedeno na konektor a může být použito k napájení vnějších obvodů, dostupný odběr je asi do 50 mA. Vlastní mikrokontrolér Xprotolabu se napájí napětím 3,3 V ze stabilizátoru AP7333-33 a také toto napětí je vyvedené a použitelné, snese odběr až 200 mA, ale to je opravdu maximum. Modul je celkově lépe přizpůsobený pro pokusy s třívoltovou logikou, kterou může jednoduše napájet a současně i zobrazovat logické stavy.



Obr. 21. Stupně digitální syntézy při kmitočtu 100 Hz (snímek z osciloskopu Atten ADS 1022 CL+)



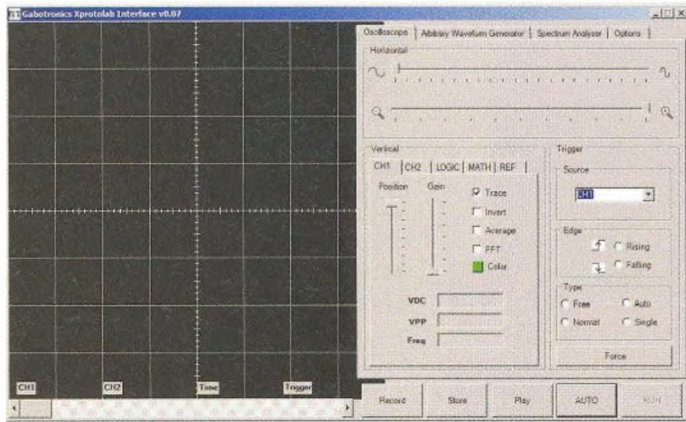
Obr. 22. Deformace obdélníkového signálu při 20 kHz



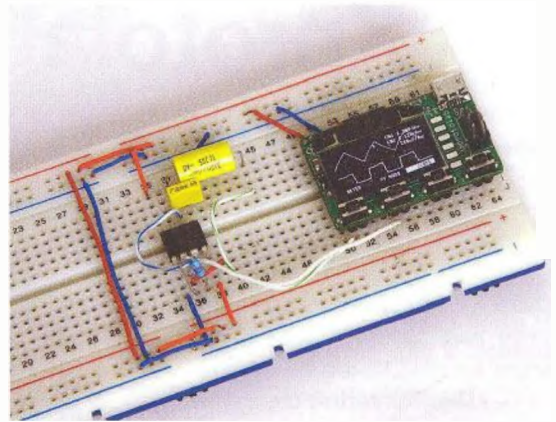
Obr. 23. Uživatelský průběh signálu dodávaný výrobcem



Obr. 24. Rezonanční křivka napětí paralelního LC obvodu



Obr. 25. Obslužný program do PC



Obr. 26. Použití Xprotolabu v nepájivém poli

Spojení s PC

Propojení s PC je zjevnou slabinou a nedodělkem té verze Xprotolabu, kterou jsem zkoušel. Předchozí verze se připojovaly ke COM portu počítače, verze 1.7 dostala sice už mikro USB konektor, ale její programové vybavení zatím přímo s USB nespolečně pracuje, takže je nutné použít převodník USB/COM, který navíc pracuje s logickými úrovněmi 3,3 V. Takový výrobek Gabotronics nabízí za 20 USD. Předpokládal jsem, že pokud jsou známy parametry přenosu dat (115 200 bps, 8 bit, bez parity, 1 stopbit) i úrovně, podaří se mi komunikovat s modulem i pomocí jiného převodníku. Bohužel, nezdařilo se, program sice s převodníkem pracoval bez problémů, ale modul data nečetl a tedy ani neodpovídal, ani když jsem vyzkoušel snad všechny možné úpravy, jako jsou úrovně nebo bitová negace signálu. Možnosti spolupráce s PC tedy popíši jen podle technických údajů a videí bez vlastního ověření.

Obslužný program do PC dovoluje podstatně rychlejší a přehlednější ovládání, než čtyři tlačítka na modulu a promění Xprotolab v plnohodnotný digitální osciloskop ve zvukové oblasti kmitočtů. Jak prostředím vypadá, je snad znát z obr. 25. Kromě toho, co umí samotný modul se svým displejem, dovoluje vyměnit uživatelský průběh křivky generátoru a může i přenést obsah OLED displeje jako obrázek do PC. V návodu jsou popsány jak řídicí povely, tak reakce na ně. Povely mají charakter znaků ASCII, zpět se vracejí bloky binárních dat. Tato otevřenost dovoluje dodělat si komunikaci s Xprotolabem i pro jiné počítače a zařízení.

Je třeba upozornit na jedno nebezpečí. Konektor USB, tak jak je, umožňuje

napájet Xprotolab z PC, ale přímo na vývodu mikrokontroléru se dostanou úrovně napětí, které na nich být nesmí, a může se poškodit vstup mikrokontroléru. Proto by se při napájení z PC měl využívat výhradně k tomu určený převodník s výstupními úrovněmi 3,3 V a nenechat se svést k přímému propojení USB kabelem.

Zatím jsem se nezmínil o dvou LED, které jsou také na desce Xprotolabu a jsou funkční. Je to proto, že obě LED jsou v podstatě ukryté pod horními rohy displeje a při práci prakticky neviditelné. Návod se o nich nerozepisuje a k obsluze nutné nejsou. Smysl, proč jsou takto osazeny, mi zůstal skryt.

Technické údaje podle výrobce

Napájecí napětí: 5 V.
Zobrazení: 24,4 mm, 128 x 64 bodů.
Rozměry (půdorys) modulu: 41 x 25,7 mm.

Osciloskop:
Vstupní napětí (oba kanály): -14 až +20 V.
Vzorkování max.: 2 MSPS/8 bit.
Vstupní impedance: 1 MΩ.
Šířka pásma: 200 kHz.

Logický analyzátor:
Vzorkování max.: 2 MSPS/8 kanálů.
Vstupní úroveň: 0 až 3,3 V.
Zobrazení protokolů (sniffer): UART, I²C, SPI.

Generátor signálu (jeden kanál):
Průběhy: sinus, obdélník, trojúhelník.
Frekvence převodu max.: 1 MSPS/8 bit.

Kmitočet signálu max.: 44,1 kHz.
Výstupní napětí: ±2 V.

Závěr

I když má Xprotolab proti stolním přístrojům řádově menší rozsah i přesnost a ani ovládáním se jim nemůže rovnat, oblíbil jsem si ho. Ve dvou ohledech se jemu totiž naopak nemůže vyrovnat žádný stolní přístroj. Jako součást zkušební desky je stále pohodlně v zorném poli, není potřeba zdvihat pohled, přestřevovat nebo dokonce měnit brýle. Musím si přiznat, že s postupujícím věkem začalo být tohle docela důležité. Omezení signálu v podstatě na zvukové kmitočty je těžko

možné mít přístroji za zlé, každý přístroj má své omezení, a pokud pracujeme s digitálními signály, je rozsah kmitočtů podstatně vyšší. Druhou výhodou je absolutní mobilita, Xprotolab je kdykoli k dispozici, napájet se většinou dá z téhož zdroje jako logické obvody. V každém případě si myslím zaslouží uznání, kolik funkcí a možností dokázali tvůrci Xprotolabu doslova vepchat do tak titěrného výrobku. Kdo by ale pořizoval přístroj především kvůli praktickému používání a nezáleželo mu na miniaturních rozměrech, pro toho asi bude vhodnější opatřit si o něco větší, ale jinak funkčně stejný Xminilab.

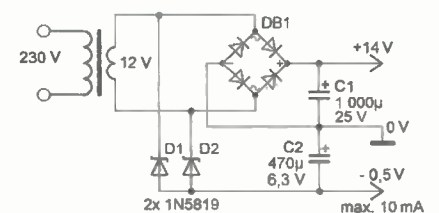
Odkazy

<http://www.gabotronics.com/development-boards/xmega-xprotolab.htm>

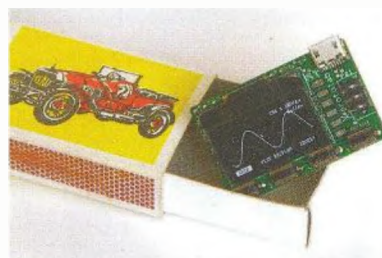
Zdroj malého záporného napětí

Zapojení na obr. 1 může pomoci, potřebujete-li kromě hlavního napájení ještě malé záporné napětí. To je usměrněno dvěma Schottkyho diodami a filtrováno kondenzátorem C2, další vinutí není potřeba. Zdroj využívá toho, že Schottkyho diody mají menší úbytek napětí v propustném směru než běžné křemíkové diody použité v můstkovém usměrňovači. Obvod je užitečný například tehdy, potřebujete-li na výstupu operačního zesilovače mít skutečně 0 V. Při běžném způsobu napájení se totiž při použití rail-to-rail OZ napětí na výstupu může 0 jen přiblížit. S malým záporným napájecím napětím dosáhnete na výstupu OZ nulové napětí bez problémů.

<http://www.discovercircuits.com/H-Corner/negative%20supply.htm>



Obr. 1. Zapojení zdroje malého záporného napětí.



Obr. 27. Opravdu se vejde do krabičky od zápalek

Přidejte si 6m pásmo ke své trapované Yagi

(řešení téměř bezbolestné, nenápadné a snadné...)

Po roce 1950 KV transceivery teprve začínají nahrazovat samostatné přijímače a vysílače a naše tehdejší DX pásma byla 20, 15 a 10 metrů. Třípásmová trapovaná Yagi se stala velmi populární anténou pro ty, kteří chtěli pracovat na DX, ale nemohli si dopřát 3 monobandery. Řada amatérů také pracovala na 6m pásmu, ale zařízení na 6 m nebylo obvyklou součástí KV transceiverů; bylo totiž považováno spíše za doménu tehdejších VKV specialistů. Nyní téměř všechny moderní KV transceivery jsou si podobné a zahrnují pásma od 160 do 6 m.

QST

Při pohledu na anténní stožáry je situace jiná. Tam často vidíme klasické tribandery jako v padesátých nebo šedesátých letech. To byla i moje situace – W1ZR. V mém případě byl tribander Yagi památkou z 80. let, který jsem získal za cenu příliš dobrou, než abych se ho vzdal. Neměl jsem samostatný stožár, na nějž bych tuto anténu umístil, a tak jsem ji instaloval i s rotátorem na ocelovou trubku ke komínu do míst, kde bývala dřívě jednoprvková anténa (viz obr. 4). Ve stejné době jsem dal na odpočinek můj starý TRX a pořídil si nový, který již měl i pásmo 6 m. A teď můj nový stroj převýšil svými možnostmi mé staré anténní instalace. Mohl jsem sice použít stávající 30m Zeep se středovým napájením, ten měl ale nuly ve vyzářovacím diagramu kolem dokola každých pár stupňů. Něco jsem musel vymyslet.

Čekaly na mě dva úkoly. První byl rotátor. Rotátor byl namontován na vrcholu ocelové trubky a musel jsem omezit zátěž větrem tak o 50 %, abych snížil ohybové namáhání konstrukci nad rotátorem. To znamenalo umístit tribander těsně nad rotátor. Při úvaze, jak nad KV anténu přidat 6m systém – to je ten druhý úkol, jsem

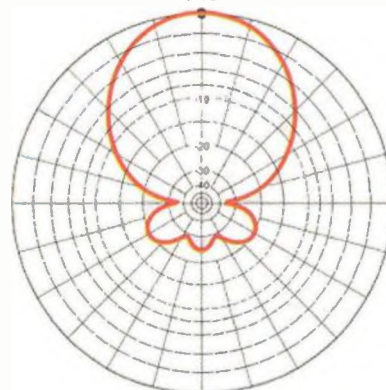
v prvním momentu zvažoval Moxon, který má malý odpor ve větru. Chtěl jsem jej umístit jen kousek nad tribander. Modelování soustavy však ukázalo, že se významně zhorší vyzářovací charakteristiky a zisk obou antén.

Z dřívějšíka jsem byl příjemně překvapen svoji 40/20m dipólovou soustavou (skeleton sleeve), nedávno také popsanou v QST. Otázkou bylo, zda stejnou techniku parazitního buzení mohu použít i v tomto případě? EZNEC model naznačil, že by to mohlo opravdu fungovat, a to dokonce dobře. A nabídl mi dvě významné výhody: Vyhnul jsem se většímu zatížení větrem. Přidal jsem tři tenké prvky přímo na ráhno starého tribanderu (tedy kousek nad rotátor), takže se podstatně nezvětšilo ohybové namáhání. Dále, a to snad bylo ještě lepší, jsem se vyhnul dalšímu napájecímu vedení. KV vedení napájeného prvku rovněž napájí 6m Yagi prostřednictvím parazitní vazby, přímé propojení na zářič tribanderu není třeba.

Než budu pokračovat, měl bych uvést, jak jsem k tomuto napájení došel. Po zveřejnění mého článku „Skeleton sleeve dipole“ jsem zjistil, že parazitní napájecí vazba byla publikována v „The ARRL Antenna Compendium, Vol. 5“, kde princip popsal Gary Breed, K9AY (vyvinul též při-

QS1109-Halles06

0 dB



Elevation Angle: 8°
Max Gain: 13.37 dBi

50.1 MHz
Front/Back 23.7 dB

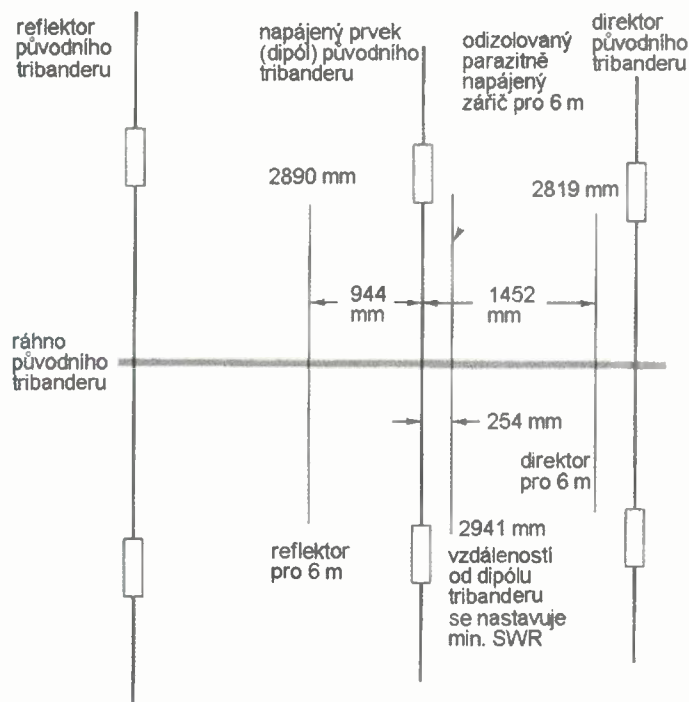
Obr. 3. Vyzářovací diagram 6m antény v horizontální rovině

jímající smyčkovou anténu pro nízké frekvence, která je známá pod jeho značkou). Gary hovoří o „coupled resonator antenna“, což je výstižnější. Prostě nic nového pod sluncem – jak se zdá.

Přístup ke konstrukci: Obvyklým problémem při návrhu antény Yagi je mnoho proměnných a mnoho cílů. Primární proměnné jsou délka a rozteče prvků, zatímco cíle představuje zisk, předozadní poměr a šířka pásma. Vše se vzájemně ovlivňuje a kdokoliv je schopen vymyslet jinou kombinaci, která může být v jiném ohledu výhodnější. Prostě návrh má velký stupeň volnosti.

Mým cílem bylo dosáhnout přiměřené kvality tříprvkové 6m antény s prvky pohodlně konstrukčně umístěnými mezi prvky mého stávajícího tribanderu. Pomocí EZNEC modelování se mi podařilo najít umístění, rozměry a vzdálenosti vložených prvků, vycházející přitom z návrhové normy od National Bureau of Standards (NBS) pro antény typu Yagi, doporučenou vzdálenost 0,2 λ mezi prvky parazitně buzené antény. Modelovaný zisk byl v toleranci 1 dB v porovnání s obdobnými tříprvkovými Yagi (nikoliv tribandery), a to byl dobrý výsledek.

Bylo třeba věnovat obzvláštní pozornost přizpůsobení 6m soustavy impedanci, kterou má Yagi na svorkách napájecího vedení. U klasických VKV antén je obvykle možnost nastavit správnou impedanci, která odpovídá charakteristické impedanci napájecí linky, některým z typů transformace impedance. Pro parazitně buzený zářič, kde není přímá vazba buzených prvků, je toto zajištěno správným nastavením vzdálenosti mezi KV zářičem a parazitně buzeným prvkem (jak udává Breedův vzorec v „The ARRL Antenna



Obr. 1. Návrh s rozměry a vzdálenostmi tříprvkové antény pro pásmo 6 m, doplněné do původního tribanderu



Obr. 2. Detail uchycení prvků

Tab. 1. ČSV (SWR) přidané antény pro pásmo 6 m v závislosti na kmitočtu

Frekvence	SWR
50,0	1,2
50,1	1,1
50,2	1,1
50,3	1,2
50,4	1,6

Compendium", Vol. 5). Zjistil jsem, že při rozsahu nastavení vzdálenosti středů prvků v rozmezí 4 – 10 palců (= 100 – 254 mm, 4 palce jsou minimum omezené konstrukční montáží prvků na ráhno) dosáhnou impedance jednoho parazitního prvku v rozmezí 45 – 120 Ω. Rezonanční kmitočet se mění od 50,2 do 49,2 MHz, proto je třeba si ponechat možnost nastavení vzdálenosti zářičů. V případě původní 3prvkové Yagi a při použití 10palcové vzdálenosti prvků se impedance transformovala blízko požadované hodnotě 50 Ω (tab. 1).

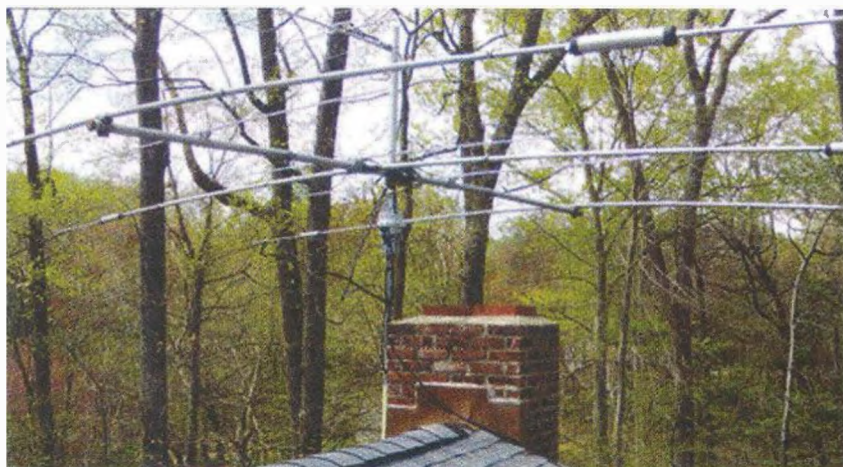
Použil jsem kvalitní nerezové úchytky s podpěrami pro trubky a U-šrouby od firmy DX Engineering (obr. 2). Kdo má hluboko do kapsy, může použít materiál z běžné oceli. Montážní deska o rozměrech 7 x 15 cm (3 x 6 palců) je vyrobena z polykarbonátu. Rozměry odpovídají pro ráhno o průměru 50 mm. Pro jiné ráhno použijte odpovídající úchytky a rozteče otvorů.

Původně jsem zamýšlel použít společně napájený zářič. Ize totiž uvažovat o vhodné formě odbočení napáječe pro druhý zářič. To jsou jistě použitelná řešení. Tuto cestu jsem ale nezkoušel a můžete ji prověřit. Pro výrobu prvků 6m antény jsem zvolil hliníkové trubky o průměrech 12,5 mm (= 1/2 palce) a 9,5 mm (= 3/8 palce) o tloušťce stěny 1,5 mm. Trubky s těmito rozměry jdou do sebe pěkně teleskopicky nasunout. Pro zpevnění středů každého prvku jsem použil 90cm kus 1/2palcové trubky, do které byla tenčí trubka nasunuta. Její konce byly rozříznuty a staženy nerezovou trubkovou sponou. Vnější část prvku je vyrobena ze dvou kusů trubky o Ø 3/8 palce a délce 1320 mm. Na každý prvek tedy potřebujete takové trubky dvě. Posouváním se nastaví přesná délka a zafixuje sponami. (Je jistě možné použít trubku prvku nedělenou, avšak s přesnou délkou pro každý z prvků.)

Rozhodl jsem se montovat prvky na ráhno izolovaně, abych se vyhnul nutnosti ochrany proti korozi. K upevnění jsem použil již zmíněnou desku 70 x 150 mm z polykarbonátu o tloušťce 6 mm. Jistě je možné použít i jiný typ materiálu, polykarbonát jsem měl k dispozici a konstrukčně je v literatuře pro toto použití doporučován.

Máte-li vše připraveno, pečlivě vyvrtejte otvory do desky. Je důležité vrtat díry přesně symetricky s osou prvku, aby se po dotažení prvek nedeformoval. Nepřesnost se projeví tak, že 6m prvky nebudou přesně paralelně s prvky tribanderu. Průměr vrtáků vyberte jen o málo větší, než je průměr šroubů úchytky. Obr. 1 ukazuje rozměry prvků 6m Yagi. Všechny vzdálenosti jsou vztaženy ke středu KV zářiče. Tab. 2 ukazuje rozdíly v rozměrech pro různé tribandery.

Anténa, ze které já jsem vycházel, je Wilson Electronics SY-33. Je velmi po-



Obr. 4. Původní tribander s doplněnou anténou pro pásmo 6 m v praxi, na ocelové trubce u komína, těsně nad rotátorem

dobná populární Mosley TA-33, má na rozdíl od ní mírně větší vzdálenosti prvků. Tab. 2 shrnuje rozměry pro standard NBS 0,2 λ (který jsem v mém případě použil). Pro ty případy, kdy váš tribander má kratší ráhno, jsem do tab. 2 přidal rozměry pro kompaktní verzi se vzdálenostmi prvků 0,2 a 0,15 λ. Model EZNEC ukazuje, že kratší verze má zisk asi o 0,5 dB nižší oproti delší variantě. Kratší verzi jsem ale netestoval.

Modelování je užitečné, ale „on-air“ měření vše ukáže a zabráni dohadům. Anténu jsem vyzkoušel v provozu se stanicí W1AW na vzdálenost asi 80 km na 20-, 15- a 10m pásmu, a to před a po instalaci 6m Yagi. Žádné rozdíly na KV pásmech nebyly pozorovány. Pak jsem požádal W1AW o signál na 6m pásmu. Byl jsem velmi příjemně překvapen: zisk byl alespoň tak dobrý, jak ukazoval EZNEC (obr. 3). Předozadní poměr sice tak dobrý nebyl, to zřejmě bylo způsobeno místními odrazy od dalších antén. Po doladění délky parazitního zářiče byl ČSV tak dobrý, jak ukazoval model (tab. 1).

Rovněž jsem pro nastavení a ověření zisku a směrového diagramu použil blízký maják (N2GHR/B 39 km) a vzdálený maják (NL7XN/B 174 km). Provedl jsem drobné korekce v nastavení. Díky, že tyto signály byly k dispozici. Jakkoliv výše popsané řešení bylo určeno pro tříprvkovou a třípásmovou Yagi, i jiná využití parazitního buzení jsou možná. Parazitní prvek je obzvláště vhodný pro uživatele otočných jedno- nebo vícepásmových dipólů. Pro srovnání uvádím, že dvouprvková Yagi pro 6m pásmo s přímo napájeným zářičem a reflektorem má v porovnání s mým

řešením asi o 1 dB menší zisk a horší předozadní poměr.

Před tím, než se pustíte do přestavby své staré antény, ujistěte se, že nemá v napájecí cestě dolní propust s omezením nad 30 MHz. Ujistěte vás, že se to stává. Rovněž moje koaxiální kabely a bleskojistky, určené až do VKV, nebyly dobré. Také jsem zjistil, že cesta kabelem z transceiveru přes by-pass v zesilovači a externím tuneru velmi významně ovlivňuje PSV na 6 m a zvětšuje ztráty. Bezpochyby to je způsobeno cestou signálu v těchto zařízeních, která na frekvence 6m pásma nebyla navržena, a to ani v by-pass režimu. Ujistěte se proto, že v takovém případě měříte, nastavujete nebo pracujete s anténou přímo připojenou k vašemu vysílací.

Poznámka: Také u nás mnoho radioamatérů vlastní tyto tříprvkové směrovky obdobných parametrů. Mohl by to být tedy dobrý návod, jak poměrně snadno a lacině si mohou pořídit i směrovou anténu na pásmo 6 metrů. Samozřejmě musí vycházet z možnosti koupě trubek u našich prodejců. Také použití anténního analyzátoru bude nezbytné při nastavování veškerých parametrů potřebných k dobré funkci této antény a ke kontrole celé sestavy.

Pramen

[1] Hallas, Joel, R., W1ZR: Add 6 Meters to Your Triband Trap Yagi. QST 9/2011, s. 40 – 42.

Volně přeložil

OK2JS

Tab. 2. Rozměry prvků antény pro pásmo 6 m v mm (f = 50 MHz, Ø prvků = 9,5 mm). Referenčním bodem je střed napájeného prvku původní třípásmové Yagi

Prvek	Délka	Vzdálenost od ref. bodu
<i>3prvková Yagi – verze NBS (rozesťup prvků 0,2 λ)</i>		
Reflektor	2890 mm	944 mm
Napájený prvek	2941 mm	254 mm
Direktor	2819 mm	1452 mm
<i>3prvková Yagi – zkrácená verze (vzdálenost reflektoru od parazitně napájeného zářiče je 0,2 λ, vzdálenost direktoru 0,15 λ)</i>		
Reflektor	2895 mm	944 mm
Napájený prvek	2926 mm	203 mm
Direktor	2824 mm	1158 mm

Světla a zvuk

Rubrika pro zájemce o zvukovou a světelnou techniku

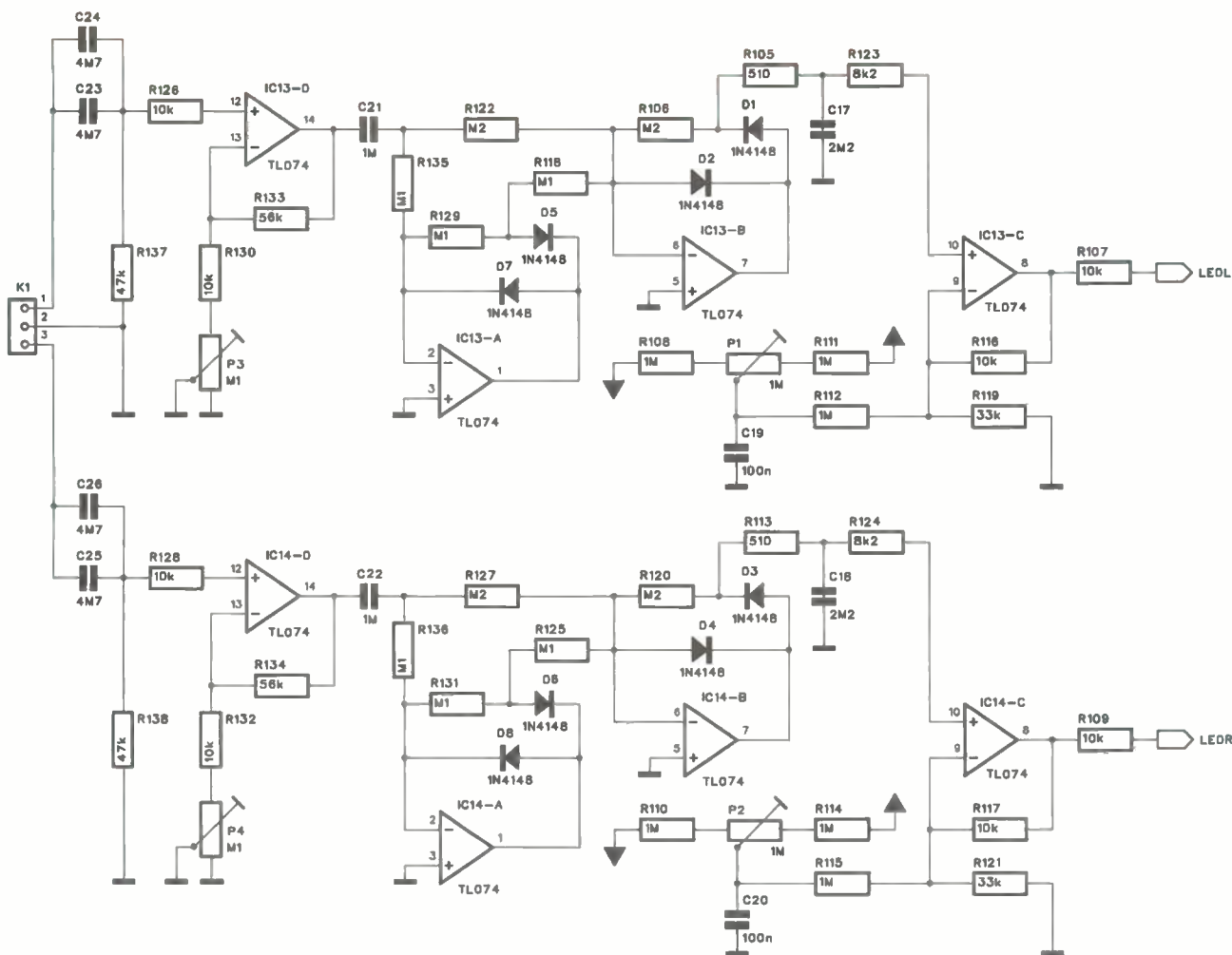
Stereofonní studiový VU metr s LED stupnicí

Alan Kraus

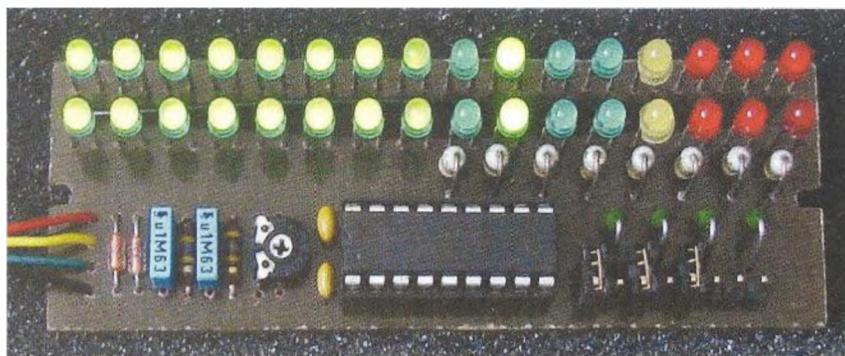
VU metry jsou velmi užitečnou pomůckou v řadě nf zařízení. V podstatě měří určitým způsobem úroveň nf signálu. Název pochází z anglického sousloví Volume Unit (VU). Organizace ASA standardizovala jeho vlastnosti již v roce 1942 pro použití v telefonii a rozhlasovém vysílání. Ve spotřební elektronice se často používá, a to jak z praktických důvodů, tak i pro efekt. Analogové VU metry jsou často doplněny špičkovým indikátorem s LED. Základem analogových VU metrů je klasické ručkové měřidlo, obvykle μA metr s rozsahem 200 μA . Hmotnost ručičky integruje rychlé změny střídavého proudu s dobou náběhu asi 300 ms. VU metr má dynamický rozsah od -20 dB do +3 dB s -3 dB ve středu stupnice.

Specifikace VU metrů je poměrně obsírná a obsahuje především časové údaje - tedy požadavek na dobu náběhu a doběhu, kdy musí být dosaženo 99 % jmenovité hodnoty (100 % nebo 0 dB) za 300 ms. Jmenovitá hodnota 0 VU musí být při připojení ukazatele ke střídavému sinusovému napětí o kmitočtu 1 kHz a úrovni 1,23 V. Doba doběhu je stejná - také 300 ms.

Tyto údaje platí pro klasické ručkové měřidlo. Dnes se sice ručkové VU metry stále používají, mnohem častěji se ale setkáváme s elektronikou. Klasické mechanické měřidlo je nahrazeno stupnicí s LED. Záleží pak jen na elektronice a počtu použitých LED. Tomuto trendu se samozřejmě přizpůsobili i výrobci, kteří dodávají řadu integrovaných budičů LED. Použití je velmi jednoduché a mimo vlastní integrovaný obvod a LED potřebu-



Obr. 1. Schéma zapojení obou kanálů vstupního zesilovače pro VU metr



Obr. 2. Příklad VU metru osazeného mikroprocesorem

jeme minimum externích součástek. Jejich zásadní nevýhodou je omezený počet diod, tedy buď malý dynamický rozsah, nebo velmi hrubé dělení stupnice. Navíc dělení stupnice je určeno výrobcem a není možné ho měnit.

V řadě případů navíc požadujeme rozšíření dynamického rozsahu nejen k nižším úrovním, ale vzhledem k požadavkům na přebuditelnost též k hodnotám převyšujícím +20 dB. Tento typ indikace se používá zejména na mixážních pultech při zpracování signálu z živého hraní. I když i zde se standardně pracuje s normovanou úrovní signálu, to je 0 dBu nebo +4 dBu, dynamické špičky mohou mít mnohem vyšší úroveň.

Pokud tedy potřebujeme navrhnout kvalitní VU metr s dostatečným dynamickým rozsahem a jemným dělením stupnice, existují pouze dvě možnosti: diskrétní řešení s odporovou sítí a řadou komparátorů nebo použít procesor. Řešení s procesorem vychází jednodušeji na celkový počet součástek, bohužel ne každý si umí napsat vhodný program.

Diskrétní řešení sice vypadá na první pohled složitější, jedná se ale pouze o jednoduché zapojení řady komparátorů. Pokud použijeme levné nízkopříkonové obvody řady LM339, ani cena VU metru není nijak vysoká. Výhodou odporové sítě na vstupu komparátorů je naprostá volnost v rozložení stupnice.

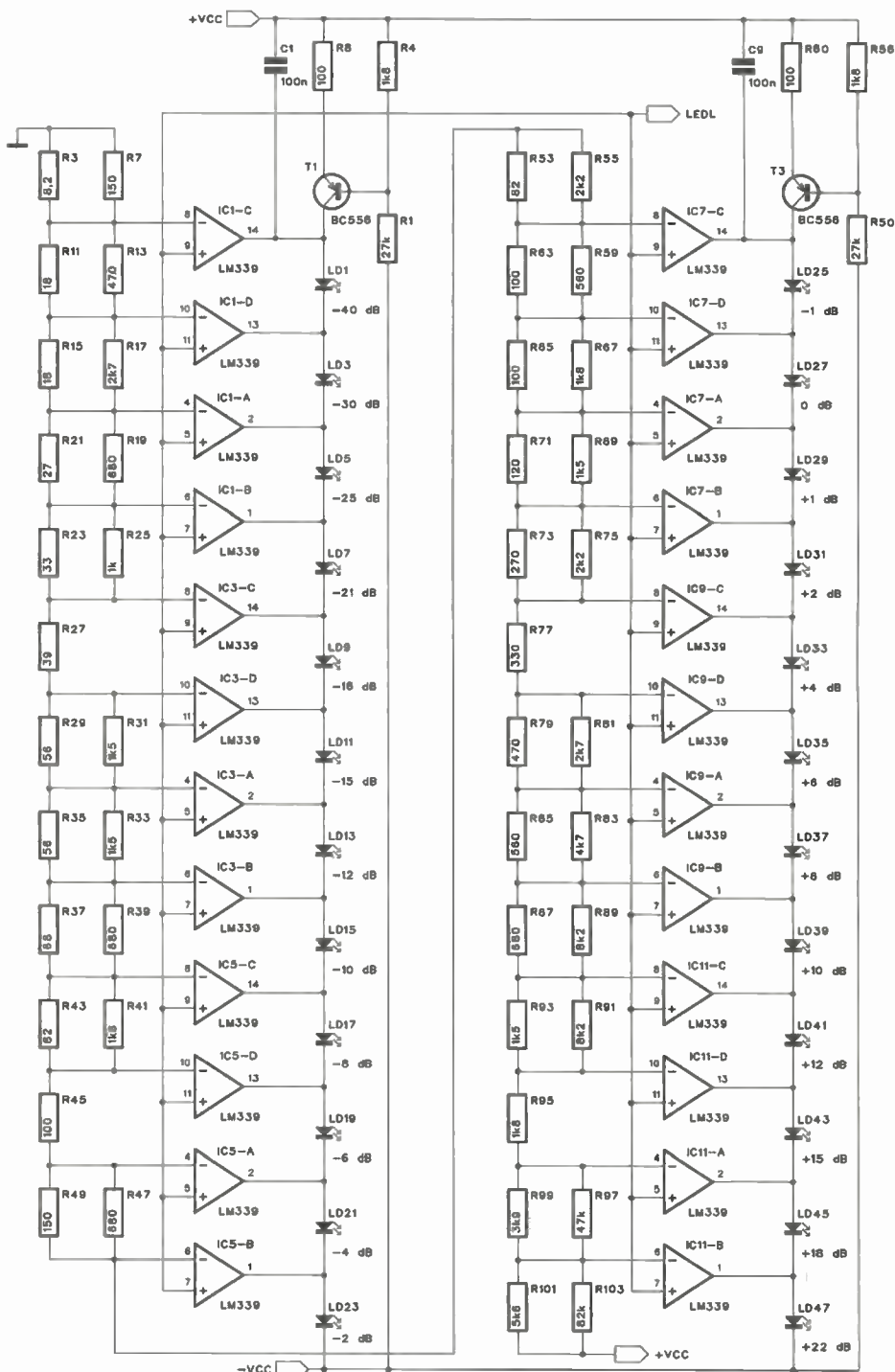
Schéma zapojení vstupu je na obr. 1. První operační zesilovač IC13D určuje citlivost VU-metru. Následuje dvoucestný usměrňovač s obvody IC13A a IC13B. Časová konstanta je dána RC kombinací R105/C17. Výstupní zesilovač IC13C umožňuje trimrem P1 nastavit offset pro nejnižší úroveň signálu. Schéma zapojení komparátorů jsou na obr. 3 a 4. Sloupec LED je napájen zdrojem proudu, tvořeným tranzistory T1 a T3. Jednotlivé napěťové úrovně pak spínají příslušný komparátor. Výhodou je konstantní proudový odběr - zde asi 10 mA na jeden sloupec LED. VU metr je napájen stabilizovaným napětím ±15 V. Schéma zdroje je na obr. 5.

VU metr je navržen na dvoustranné desce s plošnými spoji o rozměrech 195 x 80 mm. Deska s plošnými spoji je na obr. 6, 7 a 8.

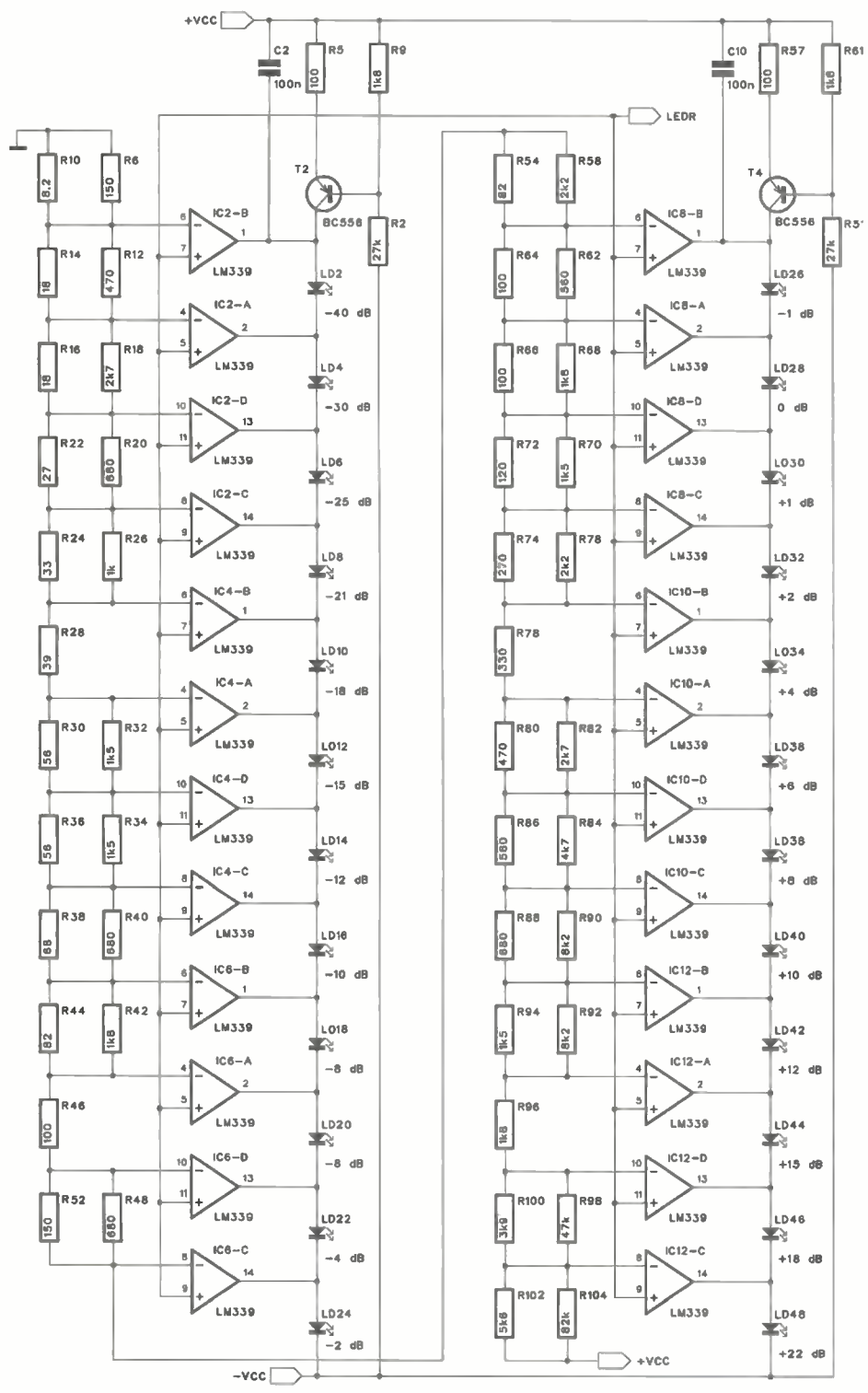
Seznam součástek pro VU metr

Rezistory

R1, R2, R50, R51	27 kΩ
R3, R10	8,2 Ω
R4, R9, R41, R42, R56, R61, R67, R68, R95, R96	1,8 kΩ
R5, R8, R45, R46, R57, R60, R63 až R66	100 Ω



Obr. 3. Schéma zapojení levého kanálu VU metru



- R6, R7, R49, R52 150 Ω
- R11, R14, R15, R16, 18 Ω
- R12, R13, R79, R80 470 Ω
- R17, R18, R81, R82 2,7 kΩ
- R19, R20, R39, R40, R47, R48, R87, R88 680 Ω
- R21, R22 27 Ω
- R23, R24 33 Ω
- R25, R26 1 kΩ
- R27, R28 39 Ω
- R29, R30, R35, R36 56 Ω
- R31, R32, R33, R34, R69, R70, R93, R94 1,5 kΩ
- R37, R38 68 Ω
- R43, R53, R54, R44 82 Ω
- R55, R58, R75, R76 2,2 kΩ
- R59, R62, R85, R86 560 Ω
- R71, R72 120 Ω
- R73, R74 270 Ω
- R77, R78 330 Ω
- R83, R84 4,7 kΩ
- R89 až R92, R123, R124 8,2 kΩ
- R97, R98, R137, R138 47 kΩ
- R99, R100 3,9 kΩ
- R101, R102 5,6 kΩ
- R103, R104 82 kΩ
- R105, R113 510 Ω
- R107, R109, R116, R117, R126, R128, R130, R132 10 kΩ
- R108, R110, R112, R114, R115 1 MΩ
- R118, R125, R129, R131, R135, R136 100 kΩ
- R119, R121 33 kΩ
- R122, R120, R127, R106 200 kΩ
- R133, R134 56 kΩ
- P1, P2 1 MΩ
- P3, P4 100 kΩ

Kondenzátory

- C1 až C16, C19, C20, C27, C28, C31, C32 100 nF
- C17, C18 2,2 μF
- C21, C22 1 μF
- C23 až C26 4,7 μF
- C29, C30 470 μF/25 V

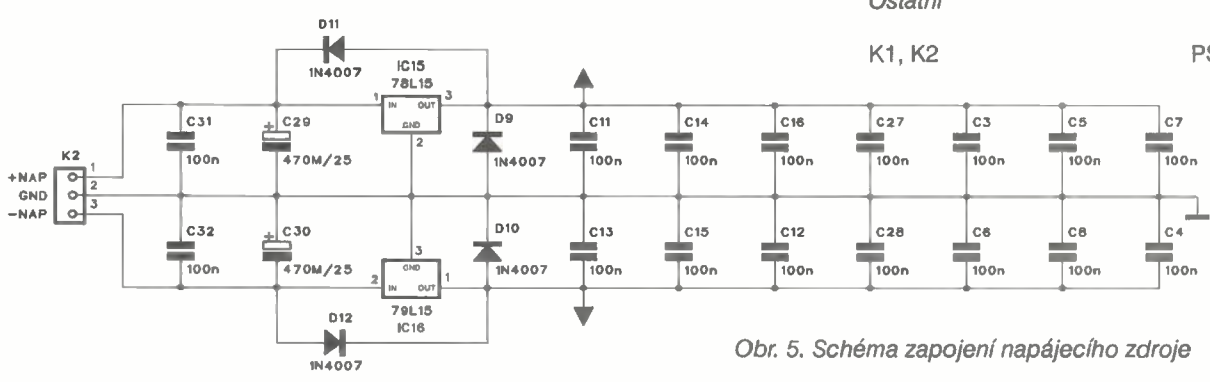
Polovodičové součástky

- D1 až D8 1N4148
- D9 až D12 1N4007
- IC1 až IC12 LM339
- IC13, IC14 TL074
- IC15 78L15
- IC16 79L15
- LD1 až LD48 LED 3 mm
- T1 až T4 BC556

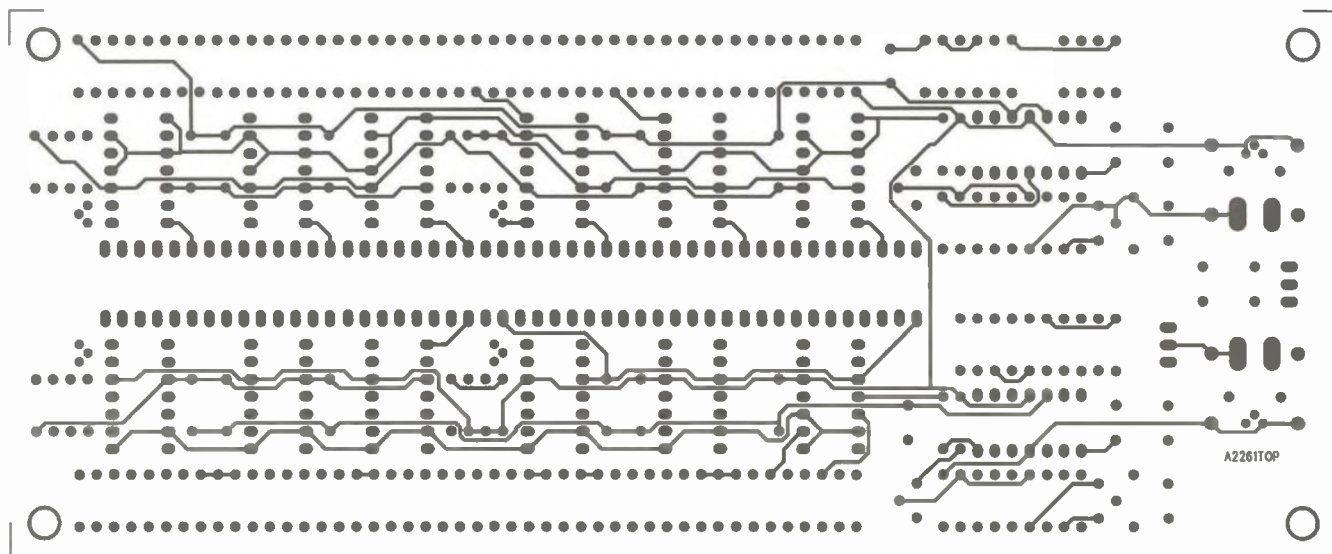
Ostatní

- K1, K2 PSH03

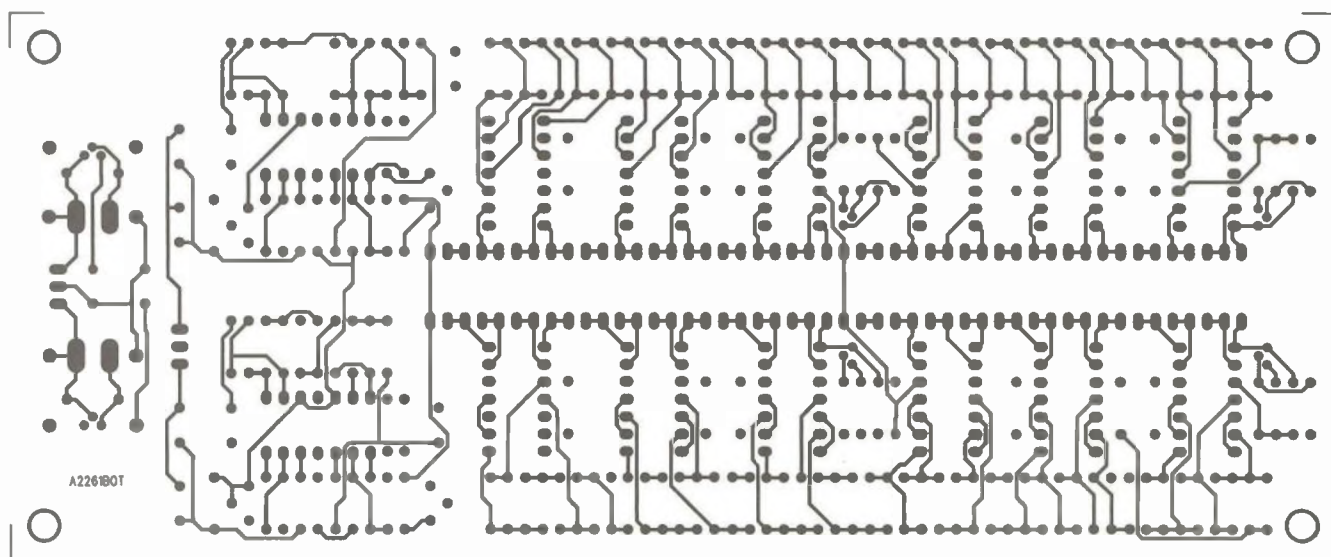
Obr. 4. Schéma zapojení pravého kanálu VU metru



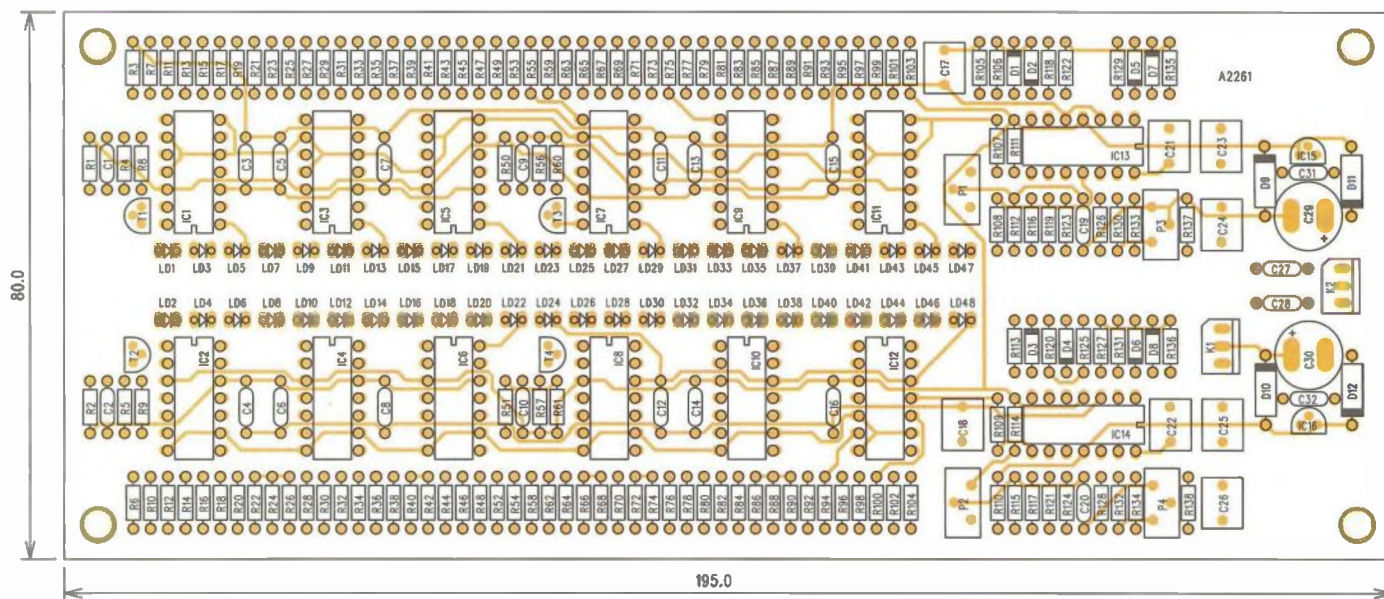
Obr. 5. Schéma zapojení napájecího zdroje



Obr. 6. Deska spojů VU metru ze strany součástek



Obr. 7. Deska spojů VU metru ze strany spojů



Obr. 8. Rozložení součástek na desce s plošnými spoji

Koncové zesilovače 200 W a 350 W

Rostislav Rončka

Klasické výkonové zesilovače ve třídě AB dnes můžeme řešit v podstatě dvojím způsobem. Pro výkony nad cca 150 W se již nehodí monolitické koncové stupně, i když několik konstrukcí s paralelně řazenými obvody již také bylo publikováno. Ale cena obvodů a problémy s odvodem tepla z malé plochy čipu toto zapojení dost znevýhodňují. Takže máme k volbě integrovaný budič a diskretní koncový stupeň nebo celý zesilovač řešený diskretně. Obě řešení mají své zastánce i odpůrce.

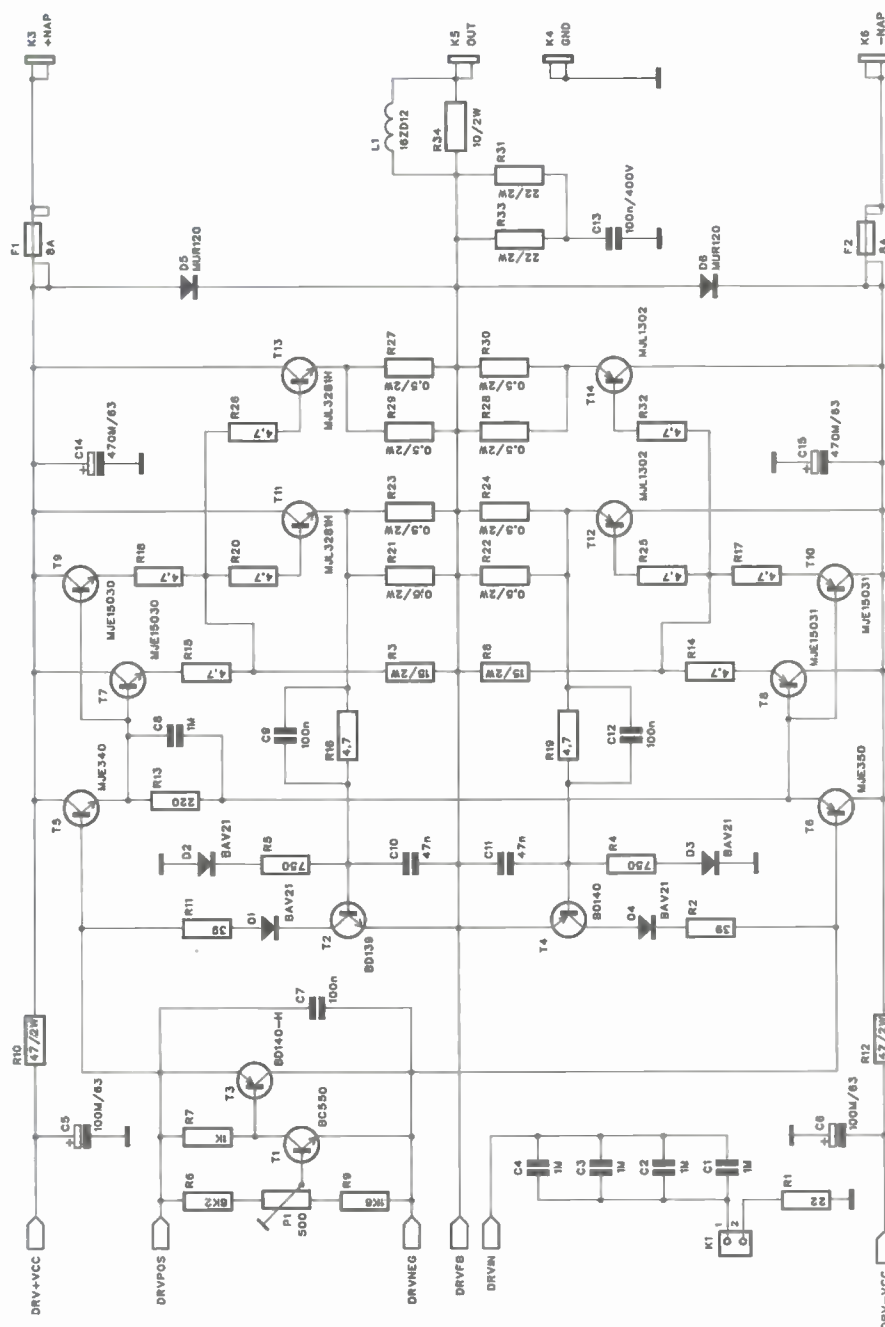
Dnes máme k dispozici několik typů monolitických budičů výkonových zesilovačů, především od firmy National Semiconductor. Jedná se zejména o LM4702 - dvoukanálový budič pro napětí 2x 75 V a LME49810 s napájecím napětím ± 100 V. S těmito parametry můžeme navrhovat zesilovače s výkony nad 500 W bez nutnosti použít můstkové zapojení.

Oba jmenované obvody vynikají svými parametry a výbornou reprodukovatelností realizovaných zesilovačů. Nicméně existuje skupina amatérských konstruktérů, kteří těmito obvody opovrhují a preferují klasické diskretní řešení. I když nejsem zcela přesvědčen o tom, že lze v amatérských podmínkách bez zdlouhavého vývoje dosáhnout výrazně lepších výsledků než s výše jmenovanými obvody, v předminulém čísle PE-AR byl otištěn návod na diskretní budič koncového zesilovače. Konceptním řešením se částečně podobá monolitickým obvodům, ale složeným z diskretních součástek. Také jeho vstupy a výstupy, stejně jako napájení jsou v podstatě shodné s monolitickou verzí. Po mechanické stránce je budič navržen na desce s plošnými spoji s šířkou 80 mm, osazené dvouřadou adresovací lištou s 2x 20 vývody. Ty slouží jednak k propojení všech vývodů, ale současně zaručují dostatečně pevné spojení budiče se základní deskou zesilovače.

Při mechanickém řešení koncového zesilovače je zásadní otázkou uspořádání koncových tranzistorů vůči použitému chladiči. Častým provedením je osazení všech budičích i výkonových tranzistorů podél zadní strany desky spojů. Ty pak lze snadno přišroubovat k rovné zadní straně vertikálně žebrovaného chladiče. Alternativou je položení tranzistorů podél zadní strany desky na hliníkový úhelník, přes který je pak teplo odváděno na připojený chladič. Toto řešení však

vykazuje o něco vyšší tepelný odpor. Já osobně preferuji umístění koncových tranzistorů podél obou delších stran desky spojů. Tranzistory jsou pájeny do desky ze strany spojů s vývody ohnutými o 90 ° vzhůru. Tato topologie minimalizuje výkonové napájecí dráhy na desce a rozložení tranzistorů na větší ploše zlepšuje rozptyl tepla po chladiči. Vzhledem k výšce chladiče a výšce součástek na desce zesilovače, tedy zejména desky budiče, případně filtračních kondenzátorů, pokud je napájecí zdroj součástí desky zesilovače, vyžaduje toto řešení i odpovídající mechanickou stavbu.

Toto uspořádání jsem zvolil i pro dvojici následujících zesilovačů. Oba jsou navrženy jako proudový stupeň



Obr. 1. Schéma zapojení koncového stupně 200 W



Obr. 2. Uspořádání koncových tranzistorů podél stran desky spojů

pro dříve popsaný diskretní budič. Liší se pouze výstupním výkonem, tedy počtem paralelně řazených koncových tranzistorů. Schéma zapojení menšího zesilovače s dvěma páry

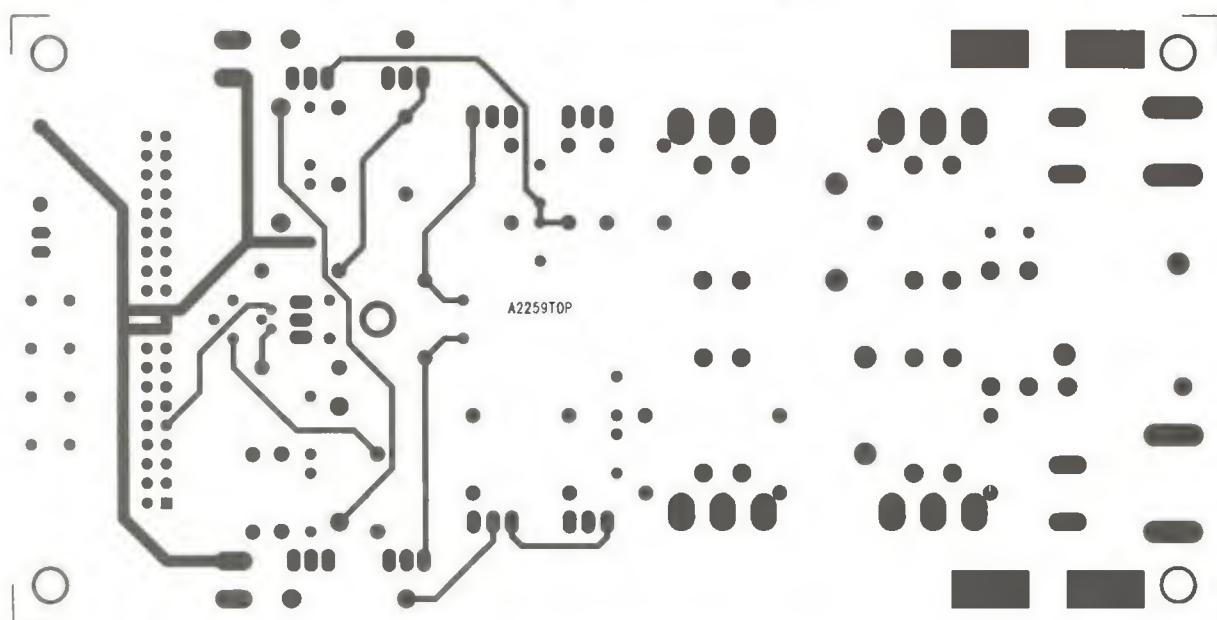
koncových tranzistorů je na obr. 1. Vstupní signál je přiveden na konektor K1 a přes čtveřici fóliových kondenzátorů na vstup budiče. Mezi pozitivním a negativním výstupem budiče

(POSDRV a NEGDRV) je klasický obvod stabilizace klidového proudu s tranzistory T1 a T3. Následuje první proudový budič s tranzistory T5 a T6. Hned za ním je další paralelní dvojice budičů T7, T9 a T8, T10. Ty již napájejí koncové tranzistory. Zde jsou použity typy MJL3281 a MJL1302.

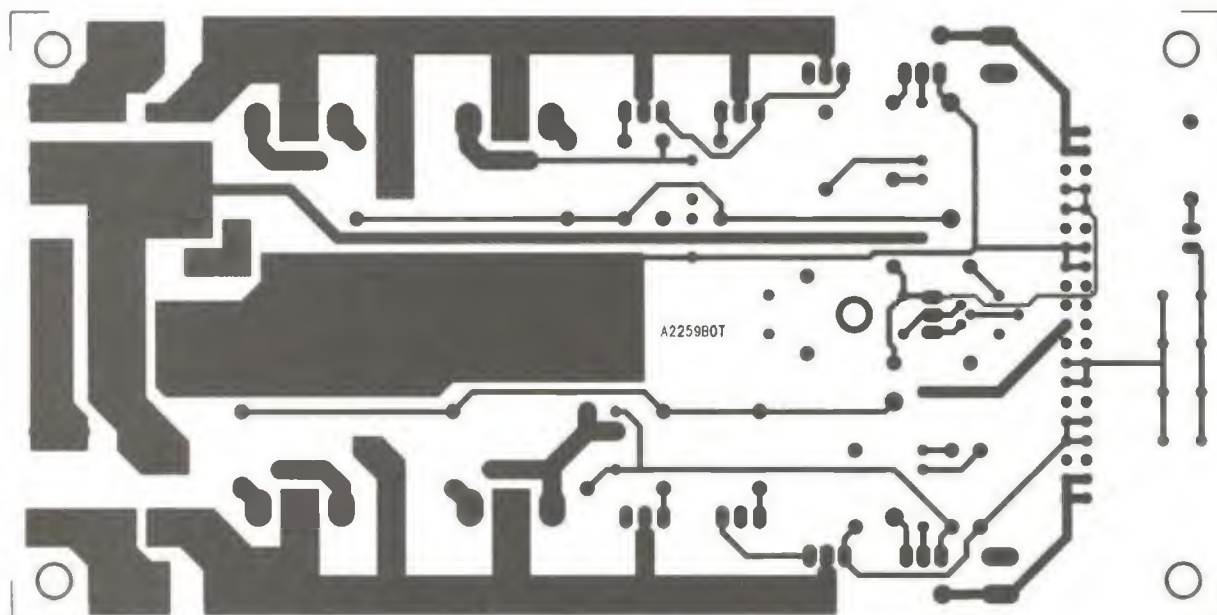
Seznam součástek pro zesilovač 200 W

Rezistory

R1	22 Ω
R2, R11	39 Ω
R4, R5	750 Ω
R6	8,2 kΩ
R7	1 kΩ
R8, R3	15 Ω/2 W
R9	1,6 kΩ

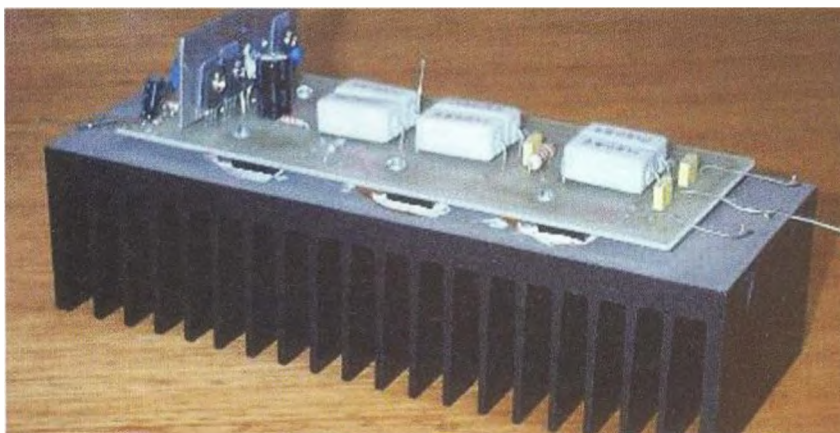


Obr. 3. Deska spojů zesilovače 200 W ze strany součástek

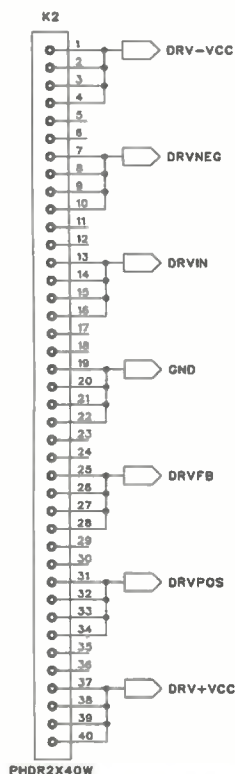


Obr. 4. Deska spojů zesilovače 200 W ze strany spojů

R10, R12	47 Ω/2 W
R13	220 Ω
R14 až R20, R25, R26, R32	4,7 Ω
R21 až R24, R27 až R30	0,5 Ω/2 W
R31	22 Ω/2 W
R33	22 Ω/2 W
R34	10 Ω/2 W
P1	PT 500 Ω



Obr. 6. Příklad montáže výkonových tranzistorů pod desku spojů



Obr. 5. Zapojení konektoru desky budiče

Kondenzátory

C1 až C4, C8	1 μF
C5, C6	100 μF/63 V
C7, C9, C12	100 nF
C10, C11	47 nF
C13	100 nF/400 V
C14, C15	470 μF/63 V

Polovodičové součástky

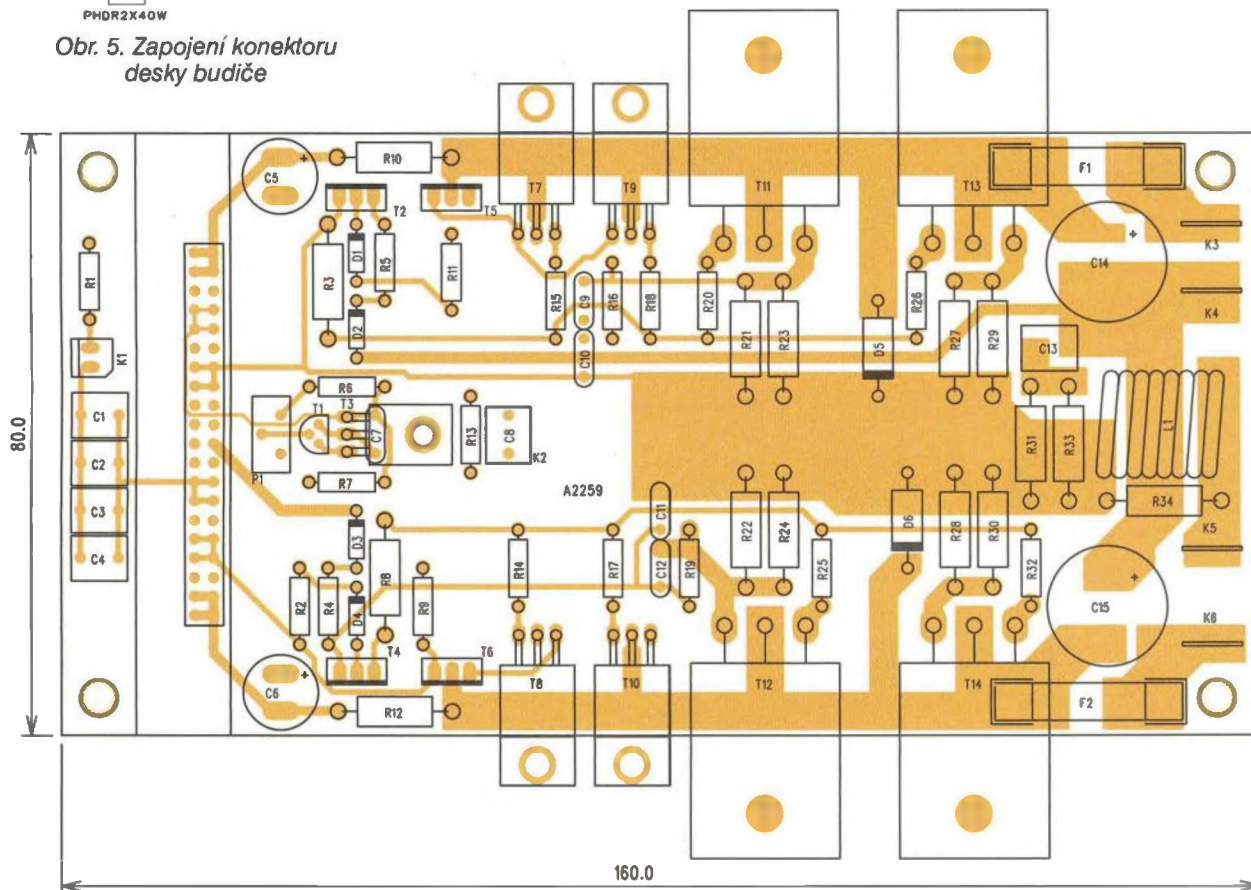
D1 až D4	BAV21
D5, D6	MUR120
T1	BC550
T2	BD139
T3	BD140
T4	BD140

T5	MJE340
T6	MJE350
T7, T9	MJE15030
T8, T10	MJE15031
T11, T13	MJL3281H
T12, T14	MJL1302

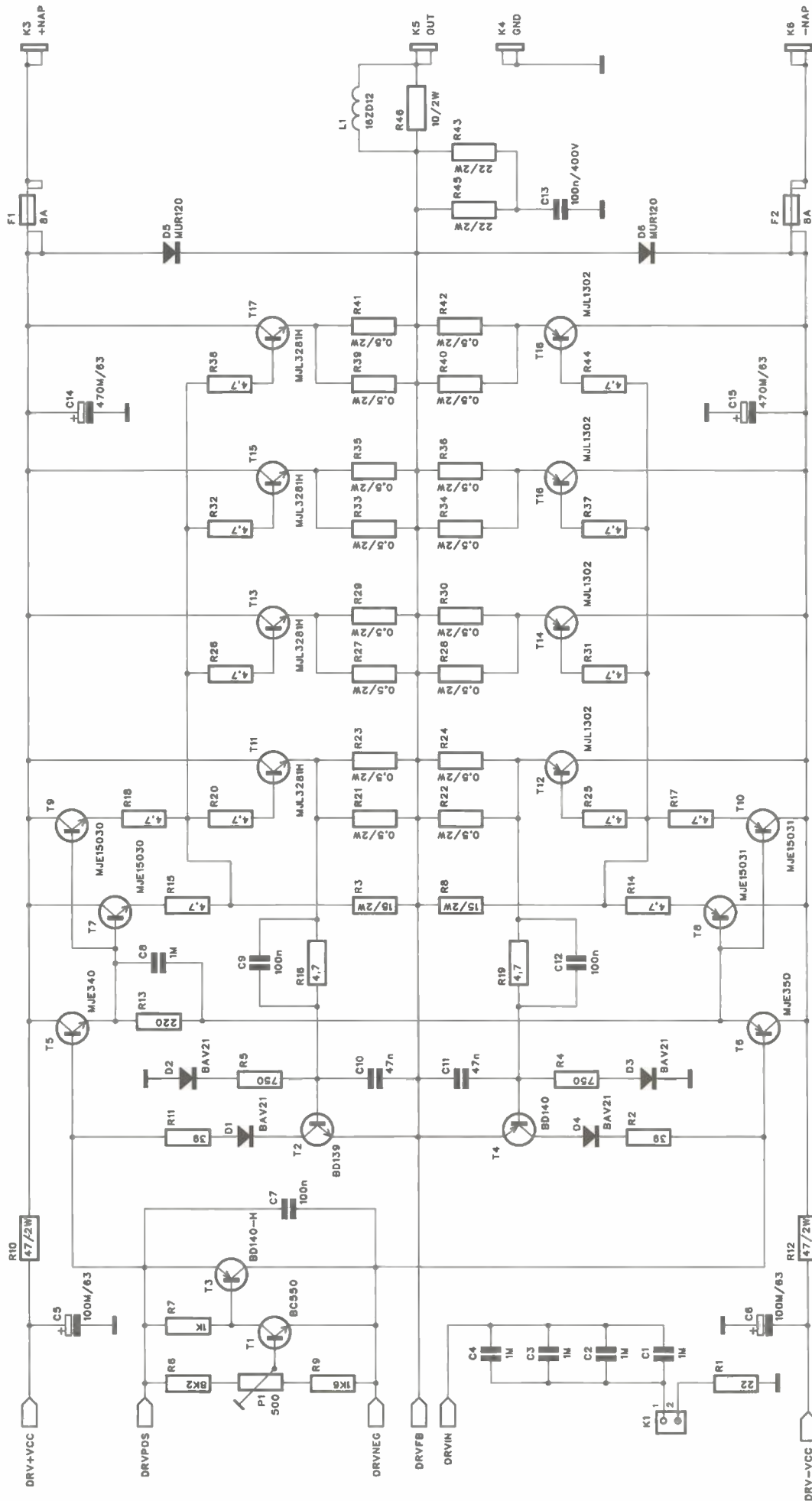
Ostatní

F1, F2	POJ 8A
K1	PSH02
K2	PHDR2X40W
K3 až K6	FASTON
L1	L 16Z D12

(Dokončení příště)



Obr. 7. Rozložení součástek na desce s plošnými spoji



Obr. 8. Schéma zapojení koncového zesilovače s výstupním výkonem 350 W a diskrétním buďičem



ZE SVĚTA POČÍTAČŮ

Rubriku připravuje ing. Alek Myslík, INSPIRACE, alek@inspirace.info

DÁLKOVÉ OVLÁDÁNÍ POČÍTAČE programem TeamViewer

Se svými již více než 100 milióny uživatelů patří *TeamViewer* mezi nejpoužívanější software pro dálkové ovládání počítačů. Jednoduše, rychle a bezpečně umožní sdílet obrazovku počítače (nebo její část) prostřednictvím počítačové sítě a Internetu, a to včetně možnosti ovládat vzdálený počítač klávesnicí i myší, jako byste u něj přímo seděli. Program existuje pro všechny běžné operační systémy a funguje i mezi různými platformami. K dispozici jsou i verze pro mobilní zařízení s operačním systémem *Android* a *iOS*. *TeamViewer* lze pro soukromé účely používat zdarma.

TeamViewer umožňuje např. snadnou technickou pomoc (podporu) kamarádům, kolegům nebo zákazníkům, prezentace pro jednotlivce nebo skupiny, správu vzdálených neobsluhovaných počítačů (serverů), které mohou být i bez fyzického monitoru, společnou práci na stejném dokumentu, připojování k vlastním počítačům doma nebo na pracovišti ap. Programu nevadí firewally, překladače adres NAT ani proxy servery a není zapotřebí zasahovat do jejich nastavení. Zároveň s přenosem obsahu obrazovky a ovládání lze přenášet i zvuk a video, tj. můžete se svým protějškem hovořit, popř. se přitom vzájemně i vidět.

Každý počítač (popř. telefon nebo tablet) získá při prvním spuštění programu své unikátní identifikační číslo (ID), které se nemění. Všechna propojení jsou kvalitně zašifrována a jsou tak chráněna proti jakémukoliv narušení popř. „odposlechu“.

Hlavní připojovací okno programu *TeamViewer* je rozděleno na dvě záložky – *Vzdálené ovládání* a *Schůzka*. Pro vzdálené ovládání jsou tři způsoby (volby) propojení – *Vzdálené ovládání*, *Přenos souborů* a *VPN* (virtual private network). Pro připojení k partnerovi potřebujete znát jeho ID a heslo. Heslo se generuje pro každý start programu nové. Když váš partner spustí *TeamViewer*, má v levé části okna vyplněné oba údaje, ID a heslo, které vám sdělí. Vy vložíte ID do příslušného políčka v pravé části propojovacího okna svého *TeamViewer*, zvolíte *Vzdálené ovládání* a *Připojit k partnerovi*, a do dialogového okna vyplníte heslo. Po stisknutí tlačítka *Přihlásit* jste připojeni k partnerovu počítači a můžete s ním pracovat vlastní klávesnicí a myší.

Pokud potřebujete ovládat počítač, u kterého „nikdo nesedí“, musíte nastavit *Bezobslužný přístup* (*Unattended*



Připojovací okno programu *TeamViewer*

access) a nastavit stálé (neměnné) heslo. *TeamViewer* se pak automaticky spouští při startu počítače (jako systé-

mová služba) a můžete se k němu dálkově připojit ze svého počítače po zadání přihlašovacích údajů, které jsou vždy stejné.

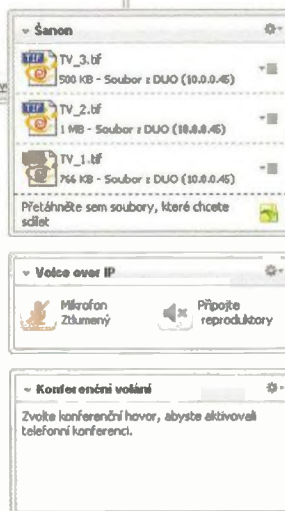
Po připojení k protějšimu počítači se kromě velkého okna s jeho obrazovkou zobrazí na vašem displeji i (skrývací) ovládací panel programu *TeamViewer* (obr. vlevo), jehož prostřednictvím můžete nastavovat a využívat další komunikační možnosti – lze zvolit přenos hlasu (*Voice over IP*), přenos videa z webových kamer nebo jiného zdroje, vytvořit konferenční hovor, provozovat *chat* (textovou komunikaci). Zároveň s ovládáním jeho počítače můžete tak s partnerem i hovořit i se při tom vidět.

Kromě přímého ovládání počítače máte ještě následující možnosti:

- zaměnit „směr“ dálkového ovládání, tj. umožnit naopak partnerovi ovládat váš počítač,



Z ovládacího panelu spuštěného programu *TeamViewer* (nahora) lze „vytáhnout“ jeho jednotlivé moduly a umístit je nezávisle na pracovní plochu počítače



- odeslat na vzdálený počítač kombinaci CTRL+ALT+DEL (nemůžete to udělat standardně ze své klávesnice, protože by to zafungovalo na vašem počítači),

- restartovat vzdálený počítač, změnit uživatelský účet,

- restartovat vzdálený počítač do bezpečného režimu (*safe mode*),

- odeslat do vzdáleného počítače kombinace stisku kláves (aniž by se projevíly na vašem vlastním počítači),

- zablokovat vstupy vzdáleného počítače (jeho klávesnici a myš),

- vypnout zobrazování na monitoru vzdáleného počítače (černá obrazovka).

Dále je možné nastavit kvalitu přenášeného zobrazování mezi maximální rychlostí a maximální kvalitou, změnit měřítko zobrazení vzdálené obrazovky (včetně *full screen*), je-li k vzdálenému počítači připojeno více monitorů, můžete mezi nimi přepínat nebo je zobrazit současně v různých oknech, lze i nastavit rozlišení obrazovky vzdáleného počítače, odstranit obrázek na ploše (*wallpaper*) pro rychlejší zobrazování, vybrat (a přenášet) pouze jedno okno (určitého programu).

Celý průběh vzájemné komunikace obou počítačů lze nahrávat do videosouboru a později přehrát buď v programu *TeamViewer* nebo po konverzi např. do formátu AVI i v jakémkoli jiném vhodném programu. Kdykoliv se dá také sejmout a uložit snímek obrazovky (*screenshot*) vzdáleného počítače.

Další možností programu *TeamViewer* je přenos souborů. Samostatně lze zvolit tuto funkci už v připojovacím okně – namísto *Vzdálené ovládání* vyberete *Přenos souborů*. Otevře se velké okno podobné běžným souborovým manažerům (viz obrázek), kde je na jedné straně zobrazena adresářová struktura vašeho počítače a na druhé straně adresářová struktura vzdáleného počítače. Se soubory pracujete běžným způsobem.

K přenosu souborů lze využít i tzv. *Šanon (File Box)*. Je to doplněk, který se spustí v rámci vzdáleného ovládání

a do jeho okénka přesunete libovolně zvolené soubory. V podobném stejně nadepsaném okénku se soubory zároveň objeví i vašemu partnerovi, který si je pak může (nemusí) stáhnout do svého počítače.

Třetím způsobem propojení obou počítačů je VPN (*virtual private network*). Vaše počítače se propojí jako by byly v jedné počítačové síti. Máte tak navzájem přístup na své disky, do svých adresářů popř. k externím zařízením jako jsou tiskárny, síťové disky, USB disky, optické mechaniky ap. Pro tento způsob propojení musí být funkce VPN (a s ní potřebný ovladač) nainstalována na obou počítačích (je volitelná).

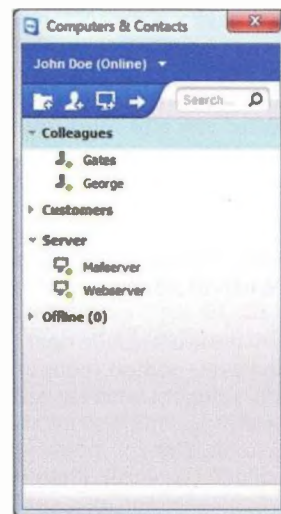


Nastavení VPN v programu *TeamViewer*

Ovládat vzdálený počítač v rámci vlastní sítě LAN lze pomocí programu *TeamViewer* i bez připojení k Internetu přímo zadáním síťové adresy daného počítače a vygenerovaného nebo stáhlého hesla. Tato funkce musí být předem aktivována u obou počítačů. Lze ji aktivovat i jako jedinou možnou (*exclusive LAN*), pak se lze k danému počítači připojit pouze z LAN.

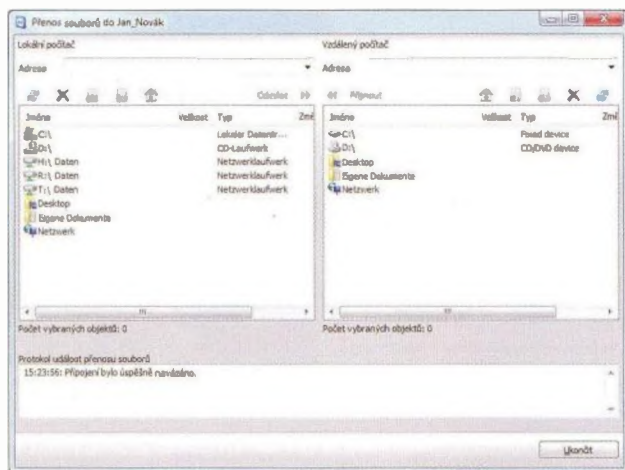
Pokud se zaregistrujete na serveru www.teamviewer.com a vytvoříte si tam (zdarma) svůj účet, můžete využívat doplněk *Počítače & Kontakty*. Přehled-

ně shromáždí údaje o všech počítačích a kontaktech, se kterými navazujete spojení, můžete je třídit do skupin a přiřazovat k nim poznámky, podobně jako např. v programu *Skype* vidíte, kdo je aktuálně dostupný, rychle vytvoříte spojení aniž byste museli opakovaně zadávat propojovací údaje, můžete využívat textovou komunikaci (*chat*) i před vzájemným propojením ad. Všechny tyto údaje jsou uloženy centrálně a jsou vám tak dostupné z kteréhokoliv počítače a místa.



Doplněk *Computer & Contacts* vyžaduje aktivaci účtu na www.teamviewer.com

Kromě plné verze programu (která je k máni i v provedení *portable*) existuje *TeamViewer* ještě v několika jednoúčelových variantách. Program *TeamViewer Host* se instaluje jako systémová služba *Windows* na (nejčastěji neobsluhovaných) počítačích (serverech), které chcete pouze kdykoliv dálkově ovládat. *TeamViewer QuickSupport* je program, kterým váš partner může rychle akceptovat vaše připojení ke svému počítači, aniž by musel instalovat *TeamViewer* (je to přímo spustitelný soubor). *TeamViewer QuickJoin* obdobně slouží k rychlému připojení příjemců ke svolané schůzce nebo vaší



Okno programu *TeamViewer* pro přenos souborů mezi počítači



Jednoúčelový program pro vaše partnery k umožnění rychlého sdílení jejich pracovní plochy na vašem počítači



Jednoúčelový program pro rychlé připojení ke schůzce

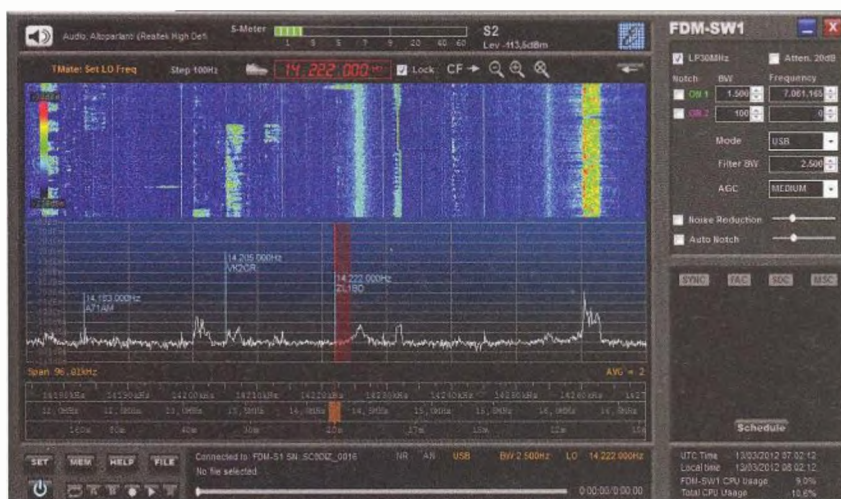
prezentaci – rovněž se neinstaluje, jde také o přímo spustitelný soubor, který můžete svým partnerům rozestat např. mailem před schůzkou. **TeamViewer Web Connector** je webový modul na www.teamviewer.com, jehož prostřednictvím se můžete připojit ke vzdálenému počítači z jakéhokoliv počítače kdekoliv na světě a nepotřebujete nic jiného, než webový prohlížeč a svůj účet na webu *TeamViewer*.

TeamViewer lze stáhnout (a zdarma používat) z jeho webových stránek www.teamviewer.com (které se vám otevrou v češtině) pro operační systémy *Windows*, *Linux*, *MacOS* a mobilní *iOS* i *Android*.

PŘIJÍMAČ SDR ELAD FDM-S1

Nový malý a kompaktní SDR přijímač od italské firmy *ELAD* byl uveden na trh letos na jaře. Jeho kmitočtový rozsah pokrývá 0 až 30, popř. až 170 MHz. Díky malým rozměrům, napájení z portu USB a spotřebě pouze okolo 2 W je vhodným doplňkem notebooku na cestách.

Jako většina současných přijímačů SDR používá *ELAD FDM-S1* přímou digitalizaci vstupního signálu, vzorkovací kmitočet je v tomto případě 61,44 MHz. Vstupní signál z antény je digitalizován čtrnáctibitovým převodníkem AD a dále zpracováván digitálně softwarem v počítači. Do počítače je digitalizovaný signál přenášen rychlým USB 2.0. Současně může být zobrazeno kmitočtové spektrum o šířce až 150 kHz. Celé toto spektrum lze nahrávat a kdykoliv později zpracovávat. Speciální vlastností přijímače *ELAD FDM-S1* je hardwarový dekodér rozhlasového vysílání DRM (toto dekodování bývá obvykle softwarevé a výrazně zatěžuje procesor počítače). Přijímač je vybaven i pro příjem mnoha dalších druhů provozu, např. USB, LSB, DSB, CW, AM, Synchron-AM, FM, W-FM ad. Šířka propouštěného přijímaného pásma je pohodlně a přesně nastavitelná pro každý druh provozu a ani při nastavení nejužšího propustného pásma 100 Hz filtr přijímače „nezvoní“.



Pracovní okno ovládacího softwaru k SDR přijímači ELAD FDM-S1

Technické parametry SDR přijímače ELAD FDM-S1

Rozsah kmitočtů:	20 kHz až 30 MHz (až do 200 MHz při down-sampling)
Provoz:	CW, CWSH+, CWSH-, USB, LSB, DSB, AM, SYNC AM, FM, WB FM STEREO, DRM (zabudovaný dekodér)
Paměť:	soubory XML
Anténní konektor:	SMA (50 Ω)
Rozsah teplot:	0 až 40 °C
Stabilita kmitočtu:	TBD
Přesnost ladění:	1 Hz
PC rozhraní:	USB 2.0 (480 Mb/s)
Napájení:	z portu USB
Spotřeba:	menší než 2,2 W
Externí I/O konektor:	DB9 female
Rozměry:	108x27x88 mm
Váha:	180 g
Princip:	přímé vzorkování
Vzorkovací ADC:	14 bitů, 61,44 MHz
Úroveň limitace:	-5 dBm
Vzorkování pro USB přenos:	192 kHz kanály I/Q, 32 bitů/vzorek
Šířka pásma USB přenosu:	150 kHz
Citlivost:	< 0,22 μV (CW, šířka pásma 500 Hz, 10 dB (S+N)/N)
Selektivita:	> 100 dB
Zrcadlová selektivita:	> 120 dB
IP3:	> 25 dBm @ 14 MHz, odstup 2 kHz
Dynamický rozsah IMD:	> 105 dB @ 14 MHz, odstup 2 kHz
Hladina šumu (MDS):	< -125 dBm @ 14 MHz, odstup 2 kHz, CW, šířka pásma 500 Hz
Útlumový článek:	0, 20 dB
Vf vstupní filtr:	vypnutý (celé pásmo), dolní propust (0 až 30 MHz)

Obslužný software *FDM-SW1* nabízí přehledné pracovní prostředí a mnoho zajímavých funkcí. Patentovaný sys-

tém ladění využívá tři myši ovládaných ladicích „knoflíků“ a umožňuje rychlé a přesné přeladování i jemné doladování přijímaných stanic. Pohodlně lze



Na přední straně přijímače je anténní konektor, signální LED a konektor pro externí doplňky, na zadní straně konektor USB pro připojení k PC

ladit i klávesnicí. Software umožňuje definovat neomezený počet kmitočtových segmentů (pásem), pro které lze předvolit typ provozu, šířku přijímaného pásma a kroky ladění. Každou naladěnou stanicí (kmitočtem) lze uložit do paměti a jejich počet je omezen pouze velikostí paměti počítače. Software *FDM-SW1* umožňuje i dálkové ovládání přijímače přes Internet (postačí i pomalé připojení, např. GSM). K ovládání přijímače *ELAD FDM-S1* lze použít i jiné programy, např. *Studio1* (komerční) nebo velmi populární volně šířený *HSDR* (www.hdsdr.de). Prostřednictvím konektoru DB9 lze k přijímači připojovat externí doplňky. Jsou na něj vyvedeny různé spínací signály, vstupy, nastavení kmitočtu ap.



Experimentální deska FDM-S1-SFE-R

Pro snadnou konstrukci doplňků se prodává i experimentální deska vybavená konektory, relátky, prepínači antén, prepínači příjem/vysílání, sběrnici I²C, napájecími obvody a velkým pájecím polem pro konstrukci libovolných vlastních elektronických obvodů.

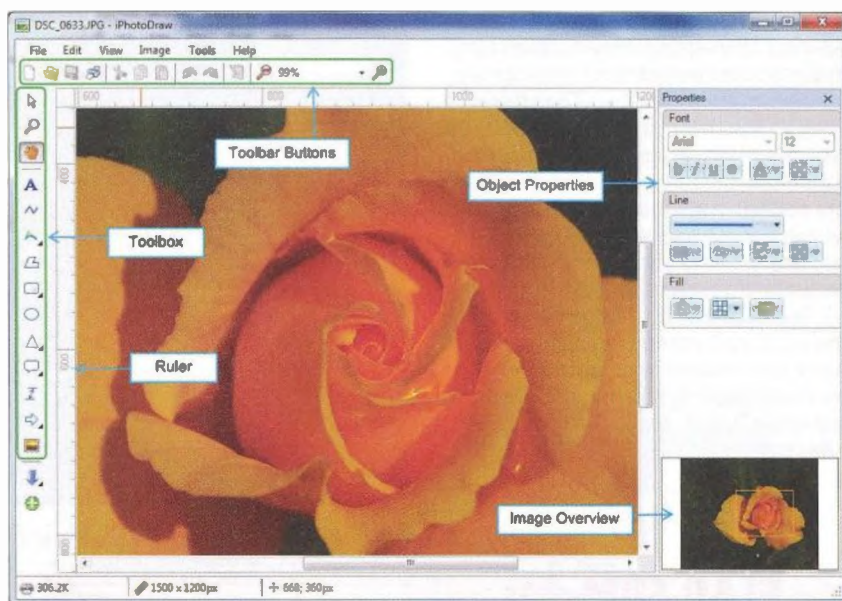
SDR přijímač *ELAD FDM-S1* měří 108x27x88 mm, váží 180 g a prodává se za asi 440 €. Experimentální deska *FDM-S1-SFE* s relátkou stojí asi 46 €.

DIGITÁLNÍ HODINKY

Velmi originální digitální náramkové hodinky nejrůznějšího vzhledu si prohlédnete na japonském webu www.tokyoflash.com.



Kisai Sensai Pure LED Watch



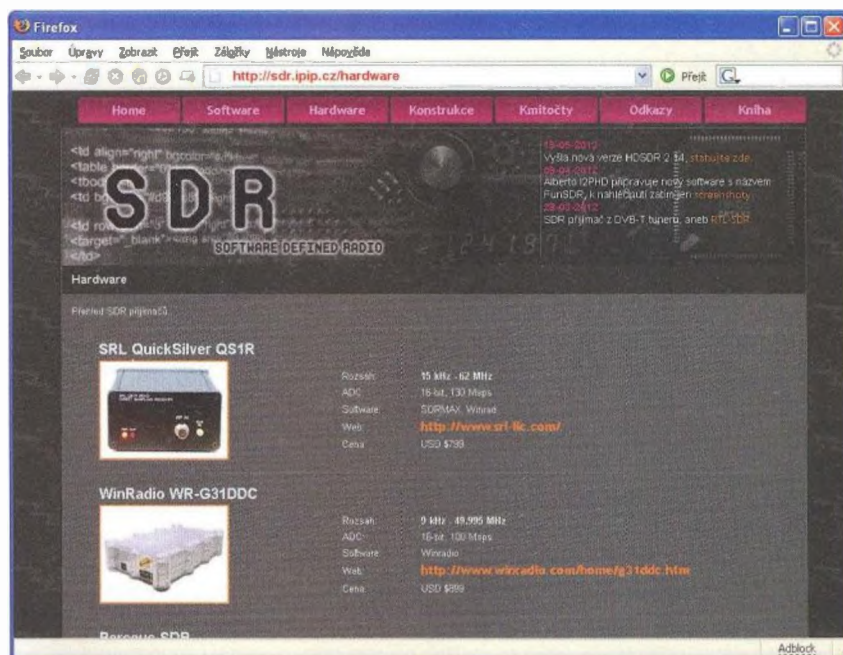
iPhotoDraw

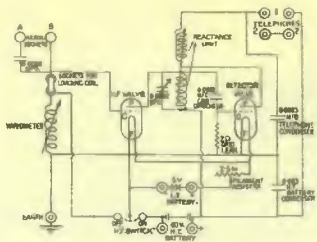
iPhotoDraw je jednoduchý kreslicí program, který umožňuje snadné přidávání poznámek a anotací do obrázků. Můžete do nich přidávat text, šipky, kóty, rozměry, ikony, „obláčky“ s komentáři ap. Všechny doplňky se ukládají do samostatného souboru a nenarušují originální obrázek. Pokud ale chcete mít všechny anotace v obrázku natrvalo, zvolíte export v některém z formátů BMP, JPG, PNG nebo GIF. Anotační program *iPhotoDraw* je k dispozici zdarma a můžete si ho stáhnout v souboru *iPhotoDrawSetup14.msi* (velikost 7,5 MB) z jeho webových stránek www.iphotodraw.com.

PŘEHLED SDR – HARDWARE & SOFTWARE

<http://sdr.lpip.cz/hardware>

Autor tohoto webu – V. Bartoš, *OK2IP* – píše: „ Jelikož je na českém internetu velmi málo informací o softwarovém rádiu, rozhodl jsem se udělat jednoduchý web, který by přinesl základní informace o této problematice. Najdete zde přehledný katalog přijímačů, potřebný software a také různé konstrukce... Máte-li dostatek finančních prostředků, můžete zakoupit hotové řešení. Máte-li dostatek potřebných znalostí, můžete si SDR postavit sami :-). Máte-li nedočkavého ducha, můžete si hned vyzkoušet webové SDR.“





RÁDIO „HISTORIE“

Sovietske rádiostanice Veľkej vlasteneckej vojny (2)

PaedDr. Miroslav Horník, OM3CU

V predchádzajúcom texte (PE-AR 2 – 4/2012) sme spomenuli, že počas vojny sa objavovali snahy nahradiť prijímač US (univerzálny superhet) vyrábaný v rôznych modifikáciách, najznámejšia je US-P, rôznymi inými. Hlavným dôvodom bola nízka zrkadlová selektivita a pomerne malá stabilita prijímača a tiež celkový akútny nedostatok prijímačov.

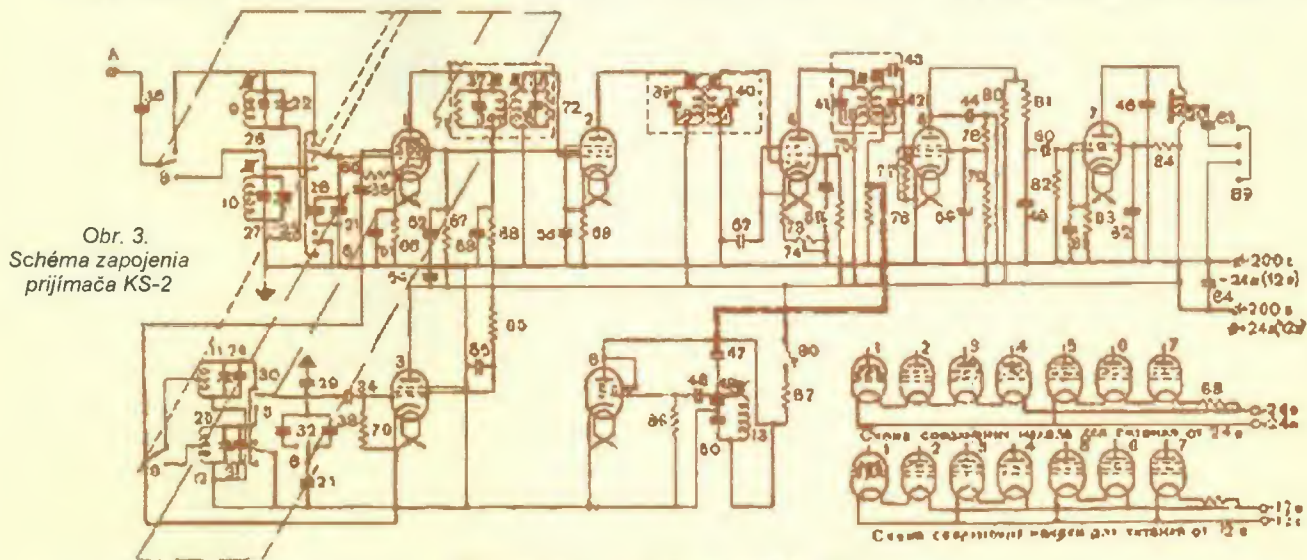
Jedným z prvých prijímačov, ktorý mal pomôcť v riešení nedostatku, bol prijímač KS-2. Ten bol montovaný zo súčiastok určených pre prijímače 6N1, dokonca je predpoklad, že niekoľko ich bolo vyrobených priamo z týchto prijímačov. Dokazujú to čísla vyrazené na šasi, ktoré zodpovedajú výrobným číslam prijímačov 6N1. Prijímač je na obr. 1, na obr. 2 je vnútorná konštrukcia prijímača, ktorá je takmer rovnaká ako v prijímači 6N1. Zmeny sú spôsobené iným druhom napá-

jania. Prijímač KS-2 bol napájaný z rotačného meniča a žeravenie z 24 V. Schéma prijímača je na obr. 3. Ako je možné vidieť, ide o veľmi jednoduché zapojenie bez vysokofrekvenčného zosilňovača, čo sa prejavilo na citlivosti prijímača a tiež jeho zrkadlovej selektivite, ktorá bola iba o veľmi málo lepšia ako pri US. Medzifrekvenčný zosilňovač pracoval na 460 kHz, v prípade US to bolo 110 kHz. Použitím vyššieho kmitočtu medzifrekvencie sa zväčšila šírka priepustného

pásma až na 8 kHz. Citlivosť pri A1 bola okolo 2 μV a pre A3 asi 10 μV . Oproti pôvodnému prijímaču sa pridaním jedného medzifrekvenčného stupňa vylepšili vlastnosti, použitím samostatného oscilátora sa zasa zlepšila stabilita tak, že vyhovovala pre použitie v rádiostaniciach. Pracovný rozsah prijímača bol prispôbený vysielateľom RAF, ku ktorým bol prijímač určený, a bol 2,5 až 12 MHz v dvoch podrozsahoch. Predný panel a celá konštrukcia je hrubá, až by sa dalo povedať primitívna, ale bola daná podmienkami výroby.

Na báze súčiastok prijímača 6N1 bol vyrábaný aj ďalší prijímač, Ural. Tento sa iba minimálne líšil od rádiostanice 13-R a bol vyrobený tak, že v rádiostanici nebol zabudovaný vysielateľ a obvody prepínania príjem/vysielanie. Rozsah zostal rovnaký, 1,75 až 4,25 MHz. Prepínač, pôvodne slúžiaci na prepínanie príjem/vysielanie, bol použitý na vypínanie prijímača a pripnutie nf filtra pre telegrafiu. Prijímač Ural je na obr. 4.

Ďalším prijímačom, ktorý bol používaný v Červenej armáde, je 45PS z roku 1936 (obr. 5), ktorý bol inšpirovaný prijímačom HRO. Na rozdiel od iných štátov Sovietskej v tomto prípade neprešli k otrockému kopírovaniu, ale využili z konštrukcie HRO iba systém zmeny rozsahu a umiestnenie otočného kondenzátora. Rozsah prijímača bol 1,45 až 20 MHz. Prevádzky štandardne, A1 a A3. Prijímač 45PS používal iba jeden stupeň vf zo-



Obr. 3. Schéma zapojenia prijímača KS-2

Принципиальная схема приемника КС-2



Obr. 1. Čelný panel prijímača KS-2



Obr. 2. Vnútročné usporiadanie prijímača KS-2



Obr. 5. Prijímač 45PS

silnenia oproti dvom v HRO a nemal v mF kryštálový filter. Išlo o prijímač pre veľké prijímacie strediská, využívaný bol pre rádiorozvedku a príjem agentúrneho vysielania vlastných agentov.

Výkonnejším prijímačom ako 45PS bola Čajka, ktorú vyrábali od roku 1943 v dvoch verziách. Ako KV typ (1,5 až 27,4 MHz) a DV/SV (75 až 1700 kHz). KV verzií bolo niekoľko, s filtrom v mF aj bez, s rôznymi typmi meracích prístrojov a pod., asi v štýle „čo šuplík dať“. Používalo sa aj označenie „KV“. Mala to byť kópia Hammarlundu Super Pro (BC-779). Ale Hammarlund bol lepší, lebo v ňom „nebol socializmus“, ako sa píše v jednej publikácii. Prijímače Čajka sú na obr. 6 a 7. V prijímači, už vysokej triedy, opäť nie je použitý kryštálový filter. Ten bol doplnený až neskôr a bol umiestnený pod plechovým krytom v ľavom hornom rohu



Obr. 7. Čajka, verzia pre DV/SV (vpravo hore)

aj s vypínačom a fázovacím kondenzátorom. Pôvodné verzie používali aj indikátor vyladenia „magické oko“ nad prepínačom rozsahov a neskôr tam bola upevnená žiarovka v otočnom držiaku.

(Pokračovanie)



Obr. 6. Prijímač Čajka, verzia pre KV



Obr. 4. Prijímač Ural

Od júna do septembra 2012 v Bratislave výstava o Jozefovi Murgašovi



Centrum vedecko-technických informácií SR (CVTI SR) v spolupráci s viacerými odbornými partnermi organizuje v dňoch 6. 6. – 9. 9. 2012 výstavu pod názvom **Jozef Murgaš – komunikácia včera a dnes**. Výstava je prístupná vždy



Obr. 1. Model Murgašovho vysielača TX4, zhotovený pre Murgašovu pamätnú izbu v Tajove (2004). „Oblúk“ v iskršti je iba imitovaný malou žiarovkou z pageru, zafarbenou do modra

od pondelka do piatku od 9 do 16 hodín v priestoroch CVTI SR na Lamačskej ceste č. 8/A v Bratislave.

Cieľom výstavy je predstaviť postupný vývoj rôznych komunikačných technológií, ako napríklad vývoj drôtového telefónu, rádia, telegrafu, ako aj bezdrôtovú mobilnú komunikáciu. Výstava stavia na odkaze slovenského vynálezcu a priekopníka bezdrôtovej komunikácie Jozefa Murgaša, ktorého patenty získali uznanie v rámci celého sveta. Súčasťou výstavy je aj premietanie krátkeho filmu o Jozefovi Murgašovi a jeho vynálezoch. 20. júna sa konala v priestoroch CVTI SR séria prednášok, napr. na tému „Život a dielo Jozefa Murgaša“, „Vplyv vynálezov Jozefa Murgaša na súčasné komunikačné technológie“, „Vývoj oznamovacej elektrotechniky“ atď. (Podrobný článok o J. Murgašovi vyšiel v našom časopise PE 5 a 6/2004.)

Predpokladáme, že mládež asi bude najčastejšími návštevníkmi hlavne počas prázdnin. V pondelky bude z výstavy pracovať v čase medzi 9 až 13 hod. miestne-

Jozef Murgaš
KOMUNIKÁCIA
včera a dnes

VÝSTAVA
6. 6. – 9. 9. 2012
9.00 – 16.00 hod.

Jozef Murgaš

Centrum vedecko-technických informácií SR
Lamačská cesta 8/A, Bratislava

ho času aj stanica OM3KJF Rádioklubu Jozefa Murgaša z Bratislavy. Výkon vysielača ale bude iba 10 W a anténa nejaká NVIS; nie sú tam moc dobré podmienky na vysielanie.

Nabudúce predstavíme niektoré exponáty z dielne Mira, OM3CU, autora viacerých modelov aj replík Murgašových prístrojov.

Historie mechanických vysílačů

(Pokračování)

Polský vysílač Babice

Vysílací stanice podobná té v Grime-tonu ale byla postavena také v Polsku poblíž Varšavy. Polské ministerstvo pošt a telegrafů v roce 1920 přijalo plán na stavbu sítě čtyř radiostanic (nám nejbližší byla v Krakově), ta blízko Varšavy měla zajišťovat mezikontinentální spojení. Stavba byla započata asi 12 km od centra Varšavy firmou RCA. Pro vysílač a anténní systém bylo určeno 460 ha půdy na území bývalého vojenského újezdu, v katastru vesnice Babice. I tam byl využit mechanický Alexandersonův systém s výkonem 200 kW (obr. 8, 9, 10). Anténní systém směřoval na severovýchod, měl délku 4 km a jeho zářiče byly zavěšeny na 10 stožárech o výšce 126,5 m s rozstupem 384 m.

Zkoušky stanice, která dostala volací znak AXL, začaly v červenci roku 1923 a 1. září byla uvedena do provozu. Vysílací kmitočet byl 16,42 kHz a na kmitočtu 14,29 kHz vysílala stanice AXO. Oficiální uvedení do provozu proběhlo 17. 11. 1923 za účasti prezidenta Wojciechowského, který zaslal pozdravný telegram prezidentu USA, kterým byl tehdy ex officio Calvin Coolidge. Radiostanice v Babicích sloužila prakticky výhradně ke spojení s New Yorkem a později byl její volací znak změněn na SPL. Ve 30. letech bylo postaveno ještě dalších 6 stanic – 4 rozhlasové s cílem přenášet informace v polském jazyce pro občany v zahraničí, všechny však již byly elektronkové a hlavní mechanická stanice skončila svůj provoz v začátku války. Velitel stanice na začátku války, když bylo jasné, že Němci stanici obsadí, vydal rozkaz k jejímu zničení, ale když německé vojsko radiostanici obsadilo, zjistilo, že je jen nepatrně poškozena a po opravě byla brzy schopná dalšího provozu. Němci ji pak využívali pro spojení se svými ponorkami v Atlantiku a pro leteckou navigaci. Po varšavském povstání byly všechny objekty dokonale zaminovány a na konci války byly stožáry (jeden z nich se dokonce využíval jako pozorovatelná bránící se Němců)

i vlastní budova radiostanice totálně zničeny. Trosky lze doposud najít v lesoparku v místech, kde byla stanice postavena (obr. 11). Podrobnější údaje viz např. www.nadajnik-babice.pl

Ústřední vysílací stanice na Long Islandu – Radio Central

Tato radiostanice (obr. 12 na následující straně) byla uvedena do provozu 5. listopadu 1921 za účasti tehdejšího prezidenta USA Warrena Gamaliela Hardinga, který odeslal při otevření radiogram pro všechny stanice na světě. Harding byl také prvním prezidentem, jehož hlas 14. 6. 1922 uslyšeli všichni Američané v rozhlasovém vysílání; byl prvním, který měl radiopřijímač v Bílém domě, a on to byl, kdo započal éru rozhlasových souborů se svým protivníkem v boji o prezidentské křeslo. Jeden přenášela již 2. 11. 1920 pittsburská radiostanice.

Newyorská radiostanice byla umístěna v blízkosti přístavu Jefferson na Long Islandu, 113 km od města New York. Byla to radiostanice s nejmohutnějším vysílacím výkonem, který dodávalo celkem 10 mechanických generátorů o celkovém výkonu 2000 kW. Byla schopná pracovat na vlnách 15,8 – 20,0 km, k modulaci se používal rovněž magnetický zesilovač Alexandersona a vysílač mohl předávat telegrafní zprávy rychlostí 100 slov/min. Anténní systémy (celkem 12) směřovaly do různých směrů: na Jižní Ameriku, do Evropy „dlouhou cestou“ přes Tichý oceán, do Evropy přímo, do Japonska, do Číny ap. Stožárů bylo 72 o výšce 125 metrů a byly od sebe vzdáleny 381 m, každý vážil 150 tun a byly vyrobeny ze speciální oceli. Zajišťovaly jak vysílání, tak příjem a přijímat telegramy bylo možné po ukončení vysílání z několika směrů současně. Přijímané signály se z center dopravovaly dále telefonními linkami.

Napájení tohoto radiocentra elektrickou energií zajišťovalo zvláštní vedení s napětím 23 kV. Pod anténami byla ještě



Obr. 11. Trosky vysílače Babice dnes



Obr. 13. Zbytky posledního stožáru vysílače Central

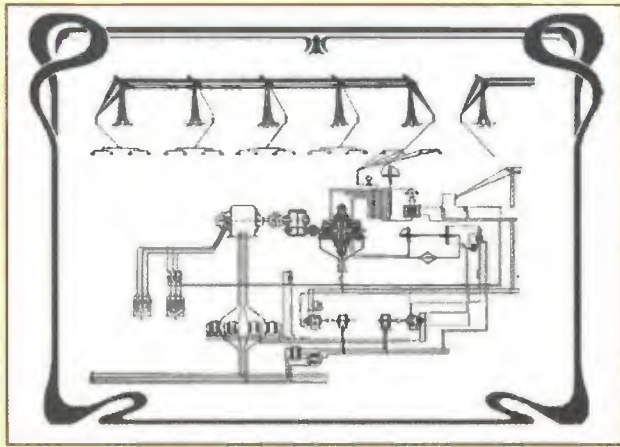
speciální zemnicí soustava, doladovaná do rezonance mohutnými vzduchovými cívkami. Na základy anténních stožárů se spotřebovalo celkem 8200 tun betonu! Vlastní anténní zářiče měly 16 paralelních bronzových vodičů, každý směr „spotřeboval“ přes 40 km drátu. Pro zemnicí systém bylo použito celkem 724 km měděných vodičů. Postupně však původní stanice ztratila význam, byla zrušena a poslední mohutný stožár, který nakonec sloužil jako světelný maják pro lodě a letadla, byl zlikvidován 13. 12. 1977 (obr. 13).



Obr. 8. Montáž generátoru v Babicích



Obr. 9. Budova vysílače Babice



Obr. 10. Principiální schéma Alexandersonova vysílače (převzato z *Przegląd Teletechniczny* č. 7 z r. 1929)



Obr. 12. Fotografie budovy vysílače Central

Transatlantické stanice německé provenience

Tuckerton, New Jersey

Jedna z prvních vysílacích stanic, která byla využívána pro transatlantickou komunikaci, byla postavena již v roce 1912 (!) německou společností „Hochfrequenz Maschinen A.G. für drahtlose Telegrafie“ (HOMAG – vysokofrekvenční strojní společnost pro bezdrátovou telegrafii, obr. 14) na severovýchodě USA ve státě New Jersey u města Tuckerton.

Anténní stožár (obr. 15) měl výšku asi 250 m a byla to svého času druhá nejvyšší stavba na světě po Eiffelově věži. Využíval se tam mechanický generátor s praktickým výkonem 100 kW (plánovaných bylo 150 kW) podle návrhu Rudolfa Goldschmidta. Stanice zajišťovala spojení s Německem, kde byla vybudována prakticky ve stejnou dobu podobná radiostanice poblíž Hannoveru, v Eilvese. Ta byla uvedena do stálého provozu krátce před vypuknutím 1. světové války 19. 6. 1914 odesláním telegramu císaře Viléma II. prezidentu Wilsonovi. Jednalo se vlastně o první trvalé bezdrátové spojení USA s Evropou, kterým byla zkoumána vhodnost systému pro dálková telegrafní spojení na velmi dlouhých vlnách. Hlavní anténní stožár stanice byl vysoký 258 m, v místním muzeu jsou uloženy památky na tuto stanici, zrušenou v roce 1931.



Obr. 14. Titulní list smlouvy o stavbě vysílače v Tuckertonu

Pro dálková spojení s tehdejšími německými koloniemi (dnes např. Namibie) již byly používány elektronkové vysílače. Podrobně je historie zpracována ve [4]. Prezident Wilson zprvu prohlásil USA neutrálním územím a stanice v Tuckertonu vysílala až do 6. 4. 1917, kdy se Spojené státy zapojily do války a německé radiostanice na území USA byly obsazeny vojskem. Amerikou otřásla tragédie lodí Lusitania 7. 5. 1915, kterou potopila německá ponorka bez varování, přičemž zahynulo 1198 lidí, z toho 128 Američanů, což přispělo k zapojení se do války. Později se prokázalo, že loď vezla i vojenský materiál.

V červnu 1918 na stanicích na východě USA byly postaveny nové vysílače s výkonem 200 kW a byly též modernizovány jejich anténní systémy. Stanice Tuckerton se pak stala řídicí stanicí pro americkou loďní flotilu a po válce připadla Spojeným státům jako vojenská reparace, nakonec byla prodána společnosti RCA. Pracovala však ještě po 2. světové válce až do 27. 12. 1955 s volacím znakem WSC – pak byl její anténní systém rozebrán. Dnes tam lze nalézt jen ohromně betonové bloky, které jej původně držely.

Radiostanice Seyville

V Německu se stavbou výkonných mechanických vysílačů mimo sdružení HOMAG zabývala také známá firma Telefunken. Ta v roce 1912 postavila vysílač v městečku Seyville na východním pobřeží Long Islandu v USA. Měla sloužit hlavně pro spojení s nákladními loděmi plujícími v severní části Atlantiku a k předávání šifrovaných zpráv na německé stanice v Nauen a v Kartageně. Vysílací generátory tam byly dva – jeden s výkonem 35 kW k předávání informací a druhý 5 kW pro spojení s loděmi. Generátory pracovaly na kmitočtu 9,613 kHz a speciálními statickými konvertory se kmitočty násobil až na výsledných 38,452 kHz. Generátory firmy Telefunken nemohly pracovat na vyšším kmitočtu a měly také menší účinnost než stroje Goldschmidtovy. Také ve statických konvertorech kmitočtu se energie ztrácela. Měly však jiné přednosti – rotory se otáčely menší rych-



Obr. 15. Stožár vysílače v Tuckertonu

lostí, daleko od rezonančního kmitočtu, a proto nedocházelo k jejich destrukcím. Anténa stanice měla výšku 150 m a 12. července 1913 byl navázán dálkový rekord při spojení této stanice s Nauen na vzdálenost 6400 km s výkonem 6 kW, přičemž bylo spojení udržováno nepřetržitě po celý týden. Američané během války monitorovali provoz stanice a ta byla po vyhlášení války uzavřena. Po válce stanice připadla společnosti MacKay Radio and Telegraph Company a stožáry byly demontovány v roce 1938.

(Pokračování)

QX

INZERCE

Cena za 1. tučný řádek 75 Kč,
za každý další i započatý 30 Kč.

Koupím TRXy: R-801 a R-130M, rot. měnič a kabeláž k RS-41 (Třinec), TXy: 80W.S., 100W.S. apod. Nabízím RX: Krot, RFT-188 aj. (histor. rozhl. RXY). M. Kornfeld, Břivany 9, 440 01 Louny.



Z RADIOAMATÉRSKÉHO SVĚTA

Radioamatérské setkání Kozákov 2012



Obr. 1. Mimořádně nevlídné počasí letos na Kozákově (vlevo)

Obr. 2. Test zařízení v pásmu 134 GHz (vpravo)

Rok utekl velmi rychle a 12. května 2012 se opět uskutečnilo radioamatérské setkání na Kozákově (okres Semily, lokátor JO70PO).

Oproti minulým se to letošní setkání vyznačovalo příkladně špatným počasím (obr. 1). O týden dřív se zhoršení „trefilo“ taktéž na víkend, kdy probíhal 2. subregionální závod na VKV, loni se to stalo dokonce několikrát a s trochou nadsázky se zdá, že to nemůže být náhoda, že to snad někdo řídí...

Po osmé hodině se rozpršelo a foukal dost silný vítr, který obracel dešťníky, takže se nedalo chodit ani mezi několika auty prodejců, kteří se omezili jen na otevření kufrů. Někteří dokonce ze svých materiálem naložených aut ani nevystoupili a po chvíli zase odjeli domů. Po dešti se ještě více ochladilo, teplota spadla na +5 °C a vypadalo to, že z tradičních mikrovlnných experimentů zcela sejde. Skutečně to někteří ani nevytáhli z auta.

Pro Milana, OK1JHM, který nosí na kótu Panna u Litoměřic pravidelně za každého počasí všechno na zádech, to zřejmě byla vycházková záležitost a nainstaloval dva komplety pro pásmo 134 GHz (obr. 2, 3, 4). Pro vysvětlení je třeba uvést, že ze zrušeného pásma 145 GHz (r. 2005) byla vytvořena dvě samostatná pásma, od sebe nepřilíhající vzdálená. Jedno je v rozsahu 122,250 – 123 GHz a druhé 134 – 141 GHz.

Po Evropě je upřednostněno to první pásmo – 122 GHz, Milan vybudoval z pilnosti zařízení i pro pásmo vyšší. Všechna zařízení má Milan provedena přímo profesionálně a velmi prakticky. Na zmíněné kótě Panna, která je sopečného původu, není na vrcholu kus rovného místa, musí se tam všechno vméstnat a je i obtížné na kamenitém terénu stát. Tam již pro nějaké experimenty v závodě prostor není, vše musí být vyzkoušeno předem. Naštěstí bydlí poblíž Eda, OK1EM, který taktéž velmi úspěšně tvoří stále nová zařízení, takže je možné se s ním podělit o zkušenosti, příp. se na něho obrátit. Eda to pečlivě popisuje na svých stránkách.

Pro pokusy tentokrát sloužilo několik pomůcek. I přes deštivé počasí byl slyšet maják OK0EA na 47 i 76 GHz, chvílemi s velkými úniky. Součástí pokusů byl i test majáku OK0EL, vysílajícího rovněž na 47 a 76 GHz a provizorně umístěného v jednom stavení na Benecku, ovšem za moderními, napařenými okny (sklo, označované „K Class“), která mají bohužel velký útlum pro vysoké kmitočty, takže maják přes ně opravdu slyšet nebyl. Ale byl to zatím první pokus.

Přímo na Kozákově, v chatě OK1KKL byl spuštěný maják na 76 032,030 MHz, který používá OK1AHO. Stačila jen mlha a již byl na jeho signálu patrný rain scatter. Každý pokus (i neúspěšný) přinese nějaký



Obr. 3. Milan, OK1JHM, se svým zařízením pro pásmo 134 GHz



Obr. 4. Detail zařízení OK1JHM

poznatek. Rozcházelí jsme se s tím, že máme do příště o čem přemýšlet.

(FOTO OK1DEF)

OK1AIY

Nejnovější transceiver firmy Kenwood má označení TS-990

Firma Kenwood připravila na trh zcela nový model transceiveru, který má velikost jako dřívější vlajková loď TS-950SDX. Ale jeho vzhled je pojat zcela nové a odlišné. V době psaní tohoto příspěvku nebylo mnoho bližších technických informací o tomto modelu. Byl poprvé předveden v květnu na ARRL setkání v Daytonu, Ohio. Poté byl prezentován i na evropském setkání Ham Radio/Hamtronic ve Friedrichshafenu v Německu 22. – 24. 6.

Tento transceiver má špičkovou kvalitu v citlivosti a odolnosti oproti silnému rušení na přeplněných radioamatérských pásmech. Má přepínatelnou dual-TFT obrazovku, podobně jako u nových výrobků ICOM. Obsahuje dva přijímače, je určen pro pásma 160 až 6 metrů. Výkon 200 W. Interní síťový spínací zdroj. Provozy CW, SSB, FSK, PSK, FM a AM. Interní super-rychlý anténní tuner. Dále pro připojení dalších přístavků či PC má dva USB porty A/B, COM port a Lan port. Předpokládaná cena je značně vysoká, a to mezi 5 až 6 tisíci dolarů. Přesto však



asi vzbudí nebývalý zájem radioamatérů celého světa. Bližší informace o něm Kenwood zveřejní ihned, jakmile bude v USA povolen jeho prodej úřadem FCC.

OK2JS

Snímání vyzařovacích charakteristik antén pomocí programu PolarPlot

Jedním ze zajímavých způsobů využití zvukové karty počítače je snímání vyzařovacích charakteristik antén. Principem metody je současné snímání polohy (natočení) antény a měření úrovně výstupního nf signálu přijímače (s vypnutým AGC/AVC).

Anténa přijímá signál z blízkého zdroje (ve vzdálenosti kolem 100 λ). Závislost úrovně výstupního signálu přijímače na úhlu natočení antény je pak vynášena do diagramu v polárních souřadnicích, pro úroveň je použita logaritmická stupnice (dB). Tím lze rychle získat vyzařovací diagram antény, stačí ji protočit kolem dokola (360°). Anténu můžeme měřit nejen při příjmu, kdy se otáčí přijímač anténa, která přijímá signál z pevně umístěného zdroje. Lze rovněž měřit vysílací anténu, jejíž signál je přijímán pevně umístěným přijímačem.

Metoda je tedy použitelná pouze pro otočné antény, tj. směrové antény pro vyšší KV pásma a VKV a malé zakončené přijímači smyčkové antény (Pennant, Flag, VE3DO Loop, F0AAA, Waller Flag apod.).

Měřicí sestava je blokově znázorněna na obr. 1. Jedná se o nejjednodušší uspořádání s využitím zvukové karty a přijímače.

Tato měřicí sestava poskytuje výsledky s poměrně malou přesností, které jsou vhodné zejména ke srovnávání. Pokud tedy např. vylepšujeme anténu, přesnost výsledků vyhoví. Důvodem nepřesnosti je nelinearita použitého přijímače – výstupní úroveň není stejným způsobem závislá na úrovni vstupního signálu v celém rozsahu měření. Měříme-li běžnou KV Yagi anténu, která bude mít zisk do 10 dB a předozadní poměr do 25 dB, bude „dynamický rozsah“ měřicí soustavy 35 dB. Pokud připustíme odchylky ± 1 dB, pravděpodobně vyhoví běžným přijímačům. U soustav antén s velkým ziskem pro pásma VKV by však nároky na tento rozsah mohly být až o 20 dB vyšší a běžný přijímač nevyhoví. Bude tedy třeba se poohlédnout po nějakém přesnějším řešení. Těch se nabízí hned několik, neboť existují vlnometry, měřicí s poměrně slušnou přesností v mnohem větším rozsahu:

FTBMeter je ukázkou použití modulu DLP2232M-G (DLP Design), založeného na čipu FTDI, který komunikuje se zařízením prostřednictvím protokolu SPI. Jde o implementaci, ve které program komunikuje s obvodem Maxim MAX187 (12 bit

ADC), který čte stejnosměrné výstupní napětí logaritmického zesilovače AD8307 (Analog Devices), tj. tím vzniká počítačový měřič vř výkonu [2].

Další možností je digitální wattmetr podle Thomase, OZ2CPU [3] s programem OZ2meter [5], který byl popsán v časopise Elektor Magazine v říjnu 2002. Stavebnice tohoto wattmetru je pod názvem PM3 k dispozici na stránkách Fox Delta [4]. David Bates, MODFT, vyvinul pod označením PolarWatt modifikaci tohoto wattmetru bez LCD displeje, navrženou pro program PolarPlot.

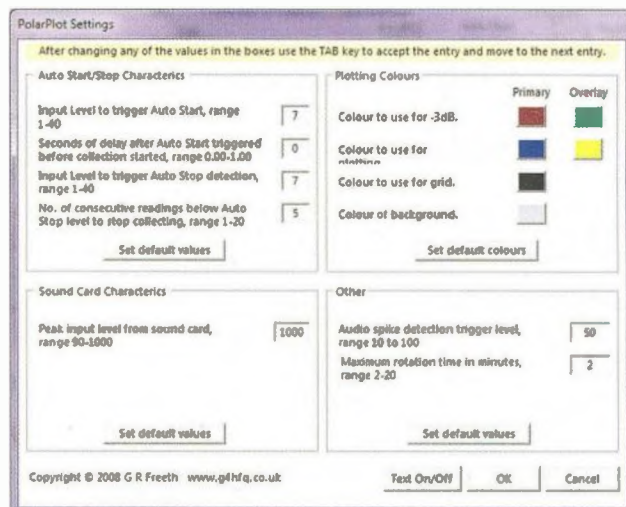
Možná nejdokonalejším řešením je využití vstupů moderního digitálního vektorového vř wattmetru LP-100A s doplňkem LP-100-VCP (Virtual Control Panel) [6].

Vlastní program kreslí v polárních souřadnicích relativní výkon v dB a relativní sílu pole, což lze využít jako indikátor zisku měřené antény v dBi. S ohledem na poměrně malou přesnost výsledků je opravdu na místě použít spíše označení „indikátor“, než mluvit o měření. Program je samozřejmě třeba nastavit – nejprve zvolíme vstupní zařízení (obr. 2), můžeme rovněž zvolit spouštěný režim, který je vhodný, příp. nutný při použití dokonalejších vyhodnocovacích zařízení, než je přijímač.

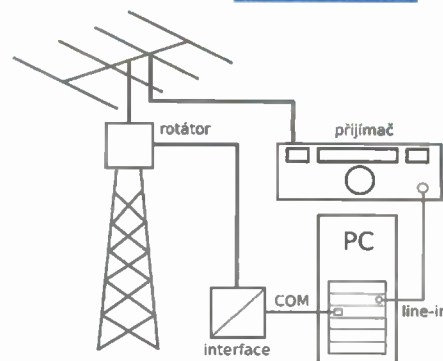
Další nastavení umožňuje volbu výchozích hodnot start/stop nastavení (tj. úrovní, při kterých dochází ke spuštění, a zpoždění spuštění), výchozí hodnotu vstupního signálu zvukové karty, eliminaci náhodných špiček, rychlost otáčení antény a volbu barev (obr. 3). Parametry lze měnit i v průběhu měření.

Výsledky jsou znázorněny formou diagramu v polárních souřadnicích v rozsahu 50 dB (minimum/maximum). Stupnice mohou být lineární nebo logaritmické. Výsledky lze samozřejmě ukládat,

Obr. 2. Nastavení vstupních zařízení (vlevo)



Obr. 3. Nastavení parametrů zvukové karty, spuštění, rychlosti otáčení antény a barev



Obr. 1. Měřicí sestava pro snímání vyzařovacích charakteristik antén v nejjednodušším uspořádání s využitím zvukové karty a přijímače

tisknout či použít v jiných programech, neboť jsou v textovém (ASCII) formátu.

Program běží na libovolném počítači, vybaveném standardní zvukovou kartou s linkovým (line-in) nebo mikrofonním vstupem. Upozorňuji, že některé zvukové karty, integrované na základní desce počítače, nemusí vyhovět, produkují totiž značný šum. Byl zkoušen na Windows 2000, Windows XP, Windows Vista a Windows 7. Pokud budeme chtít využívat spouštěný režim, musí být počítač rovněž vybaven standardním sériovým portem. Spouštěcí pulsy (1 – 5 ms, 6 V) se přivádějí na vývod 8 (CTS).

Odkazy

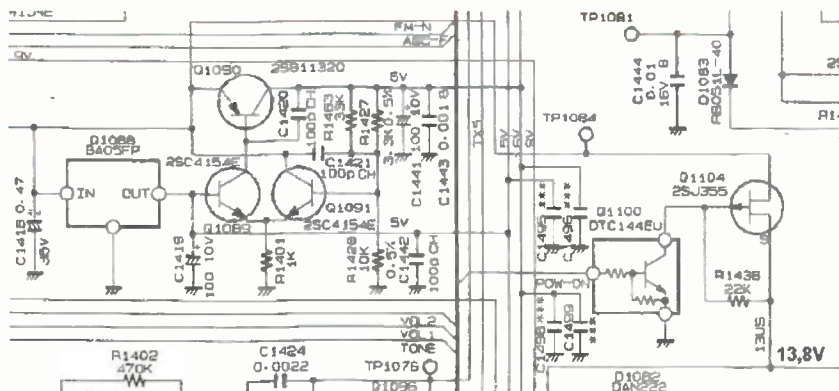
- [1] Bob Freeth, G4HFQ: PolarPlot, <http://www.g4hfq.co.uk/>
- [2] Bob Freeth, G4HFQ: FTBMeter, <http://www.g4hfq.co.uk/>
- [3] Thomas Scherrer, OZ2CPU: <http://www.webx.dk/oz2cpu/radios/milliwatt.htm>
- [4] Fox Delta: PM3 kit, <http://www.foxdelta.com/products/pm3.htm>
- [5] OZ2meter, <http://www.softpedia.com/get/System/System-Miscellaneous/OZ2Meter.shtml>
- [6] Larry Phipps, N8LP: LP-100A Digital Vector Wattmeter, <http://www.telepostinc.com/>

(Pokračování)

RR

Oprava transceiveru FT-817

Stalo se, že shodou okolností v době, kdy jsem odeslal k záruční opravě transceiver FT-450, si snad ze solidarity usmyslela i devítiletá FT-817, že nebude vysílat. I pravil jsem sobě: „Když etfěčko ti marodí, tak zahálet se nehodí“ a pustil jsem se do práce.



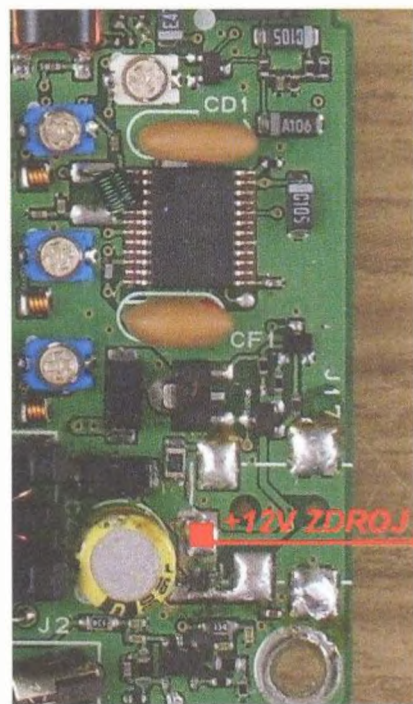
Náhrady tranzistorů: 2SJ355 ... IRML6402 SMD nebo IRFL9014 SOT-223, C1444EU ... BCR148W SMD, B1132Q ... BCP53-16 SMD

Obr. 1. Výřez ze schématu zapojení transceiveru FT-817 s inkriminovaným místem

Po odkrytí všech šroubků, které držely desku na šasi, a ejhle, někde to spolu pořad drželo. Po delší prohlídce jsem zjistil, že u konektoru J15, který sestává ze tří paralelně spojených čtverhranných vodičů, zasouvaných do čtverhranné zásuvky, je svrchu připájena robustní dioda, která má katodu na plus a anodu na kostru. Teprve po odpájení diody z kontaktů šel konektor rozpojit a bylo možné vyjmout vrchní desku, samozřejmě po vytažení plochých vodičů z J1003 a J1008. Preventivně jsem bez připojeného napájení otestoval všechny elektrolytické kondenzátory ESR metrem. Závada nezjištěna. Následovalo měření na ovládací větvi pro pow-on (obr. 1) tím způsobem, že jsem přivedl na J15 napětí 12 V (obr. 2) a zkratou báze digitálního tranzistoru Q1100 na zem se měl otevřít Q1104, což se nepovedlo. Po vypájení tohoto tranzistoru (2SJ355) bylo jasné, že on je původcem problému. Ovšem žádný z našich renomovaných prodejců neměl tento typ v databázi, a tak nezbývalo, než slídit po náhradě. Když jsem při rozhovoru s pracovníkem servisu, který zajišťoval opravu FT-450, tuto situaci zmínil, dozvěděl jsem se, že u každého výrobku je ještě po skončení

výroby nejméně 5 let k dispozici veškerý sortiment náhradních dílů, tedy že i zmíněný tranzistor mají po ruce, protože FT-817 se stále vyrábí. Ani jsem se raději neptal na možnost jeho získání a cenu.

V databázi GM jsem si našel dva vhodné náhradní typy, a to IRML6402 SMD za 4,40 Kč a IRFL9014 SOT-223 za 11 Kč (obr. 4 až 6). Vyhrál to ten první typ – ne snad kvůli ceně, ale vzhledem k rozměrům a desetkrát menšímu průchodovému odporu v sepnutém stavu, než má původní typ 2SJ355. Abych se pojistil pro případ nějakého dalšího zádrhelu v obvodu pow-on, objednal jsem si i náhradu za digitální tranzistor DTC144EU (BCR148W) a také za PNP tranzistor Q1090 – typ 2SB1132Q (BCP53-16 SMD). Jediné, co je nutné při tomto řešení udělat navíc, je připájení dvou sériově spojených „zenerek“ (6V8) mezi G a S jako ochranu (obr. 3), kterou už má typ 2SJ355 vestavěnu uvnitř. Po instalaci zmíněných součástek jsem provedl testovací pokus opět připojením 12 V na J15 a zkratováním báze Q1100 na zem, přičemž na stabilizátoru naskočilo 5 V a na C1441 6 V. Tím oprava skončila ke spokojenosti majitele a signál FT-817 zase rejdl po pásmech v rámci aktuálních podmínek.

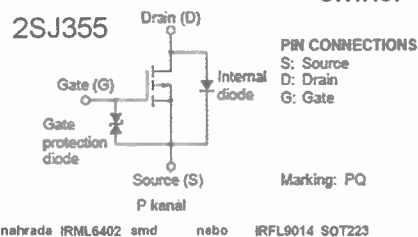


Obr. 2. Místo odběru napětí 12 V

Při té příležitosti nemohu nezhodnotit kvalitu FT-817, která těch devět let fungovala bez závad, aniž byl koncový stupeň přišroubován na chladič, tedy kostru transceiveru. Prostě oba šroubky M3 chyběly. Přitom ona navíc instalovaná dioda by snad měla smysl, kdyby se jednalo o nějaký „parní“ typ Zenerovy diody, jak se vyjádřil servisman dovozce, z důvodu, že z počátku osazované tranzistory v PA moc nesnášely ani napětí 13,8 V. Tak to tedy nebylo a já bez obav tam už žádnou diodu nenabastil, zvláště když ochranu proti přepólování spolehlivě zajišťuje sériová Schottky D1085.

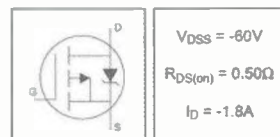
Všechny popisované úkony jsem zdokumentoval schématicky i fotograficky a činí přílohu tohoto článku. Pokud nebude nutné, aby některý čtenář tento popis musel použít, pak lituji námahy, a pokud ano, tak chvála redakci za přemlouvání, protože tím zbytečnost přišla zkrátka.

OK1ACP



náhrada IRML6402 smd nebo IRFL9014 SOT223

IRFL9014



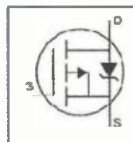
$V_{DSS} = -60V$
 $R_{DS(on)} = 0.50\Omega$
 $I_D = -1.8A$



SOT-223

IRML6402

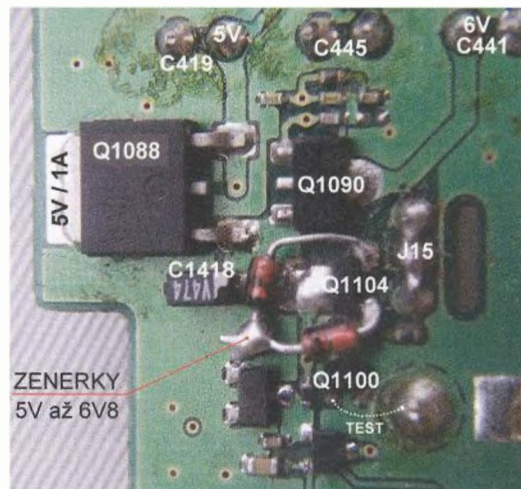
HEXFET Power MOSFET



$V_{DSS} = -20V$
 $R_{DS(on)} = 0.085\Omega$
 $I_D @ T_a = 70C = 2.2A$



Microware

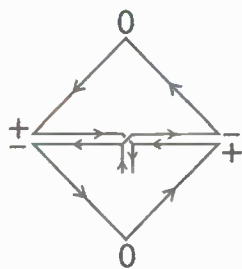


Obr. 3. Ochranné Zenerovy diody u Q1104 – IRML6402

Obr. 4, 5, 6. Katalogové údaje tranzistoru 2SJ355 a jeho náhrad IRML6402 a IRFL9014

Přijímací anténa Alford loop

Přijem signálů vzdálených stanic na krátkých vlnách je v podstatě problémem, jak se vypořádat s lokálním rušením. Pro jednotlivé části krátkovlnného spektra (1,5 – 5 MHz, 5 – 20 MHz a 20 – 30 MHz) přitom platí charakteristické podmínky, velmi úzce související s šířením krátkých vln.



Obr. 1. Principiální schéma Alfordovy smyčky

Pro dolní konec KV spektra (1,5 – 5 MHz) mj. platí, že dosah povrchové vlny je mnohem větší než v kmitočtové oblasti na jeho horním konci. Stovky testů, provedených americkými radioamatéry počátkem 90. let minulého století, prokázaly, že většina šumu a rušení, pocházejícího z blízkých zdrojů, se šíří povrchovou vlnou a přichází s vertikální polarizací, zatímco signály vzdálených stanic, jejichž signály se šíří prostorovou vlnou s využitím odrazů od specifických oblastí ionosféry, přicházejí se smíšenou polarizací s převažující horizontální složkou.

Vhodnou metodou, jak tyto dva druhy signálů od sebe oddělit a nežádoucí signály potlačit, je použití magnetické antény. Zde se většinou používají velmi malé smyčkové antény, případně feritové antény. Jejich ne-

výhodou je velmi malý výstupní signál. Alfordova smyčka [1] (obr. 1), známá od roku 1940, se však chová jako magnetická anténa, i když je poměrně velká, má tedy velkou aperturu a dodává nesrovnatelně vyšší úroveň signálu než velmi malá smyčka.

Analýza antény

Základní vlastnosti Alfordovy smyčky lze nejnázorněji zjistit analýzou antény ve volném prostoru. Soustředíme se pouze na vyzařovací vlastnosti (charakter pole a tvar vyzařovacího diagramu), přičemž impedanční parametry v této fázi nebudeme řešit. Vzhledem k tomu, že se jedná o poměrně neobvyklou anténu použitou méně obvyklým způsobem, byla provedena analýza nikoli celkového zisku, ale jednotlivě, tj. vertikálního i horizontálního komponentu (tj. pro signály, přicházející s horizontální a vertikální polarizací). Obr. 2 až 5 ukazují zisk Alfordovy smyčky pro obě polarizace jako řezy vertikální i horizontální rovinou. Tvar diagramu je pro oba komponenty obdobný, zásadním rozdílem je však zisk, který dosahuje v případě „horizontálního zisku“ hodnot kolem

-4 dB, zatímco „vertikální zisk“ se pohybuje ve svém maximu kolem -39 dB. Z toho lze usuzovat, že vertikálně polarizované signály (které jsou podle zmíněných testů rušivé) budou potlačeny o přibližně 35 dB. Zkoumána byla Alfordova smyčka ve volném prostoru dle obr. 1 o délce strany 7,62 m na kmitočtu 3,52 MHz.

Z obrázků vyplývá, že Alfordova smyčka umístěná naležato bude všesměrová (proto ji lze instalovat napevno), zatímco vyzařovací diagram ve vertikální rovině vykazuje potlačení signálu, přicházejícího kolmo nebo pod velkým úhlem, což rovněž významně přispívá k potlačení rušení z blízkých zdrojů.

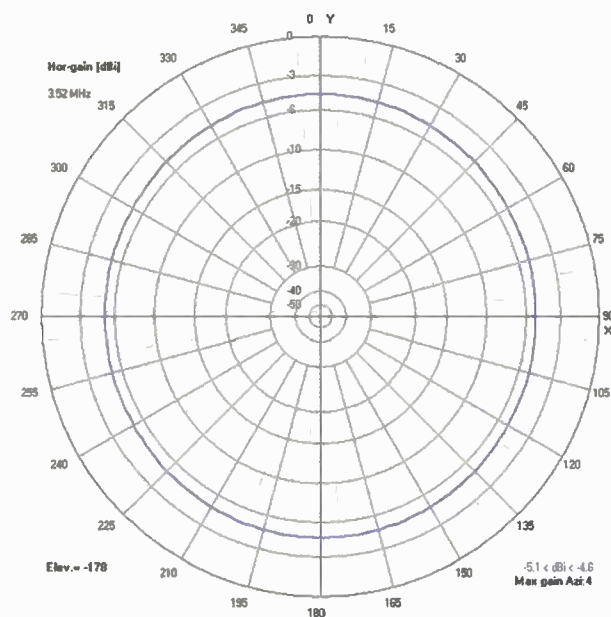
Pro názornost ještě doplníme vyzařovací diagramy v trojrozměrném zobrazení na vedlejší stránce dole. Vyzařovací diagramy na obr. 6 a 7 jsou zobrazeny ve stejném měřítku. Poměr mezi ziskem pro signály s vertikální a horizontální polarizací je takový, že se diagram pro signály s horizontální polarizací nevešel na obrazovku tak, aby byl zřejmý jeho tvar. Na obr. 8 je tedy zobrazen ještě jednou v jiném měřítku (v tomto měřítku by však tvar diagramu pro vertikální polarizaci nebyl vůbec vidět).

(Pokračování)

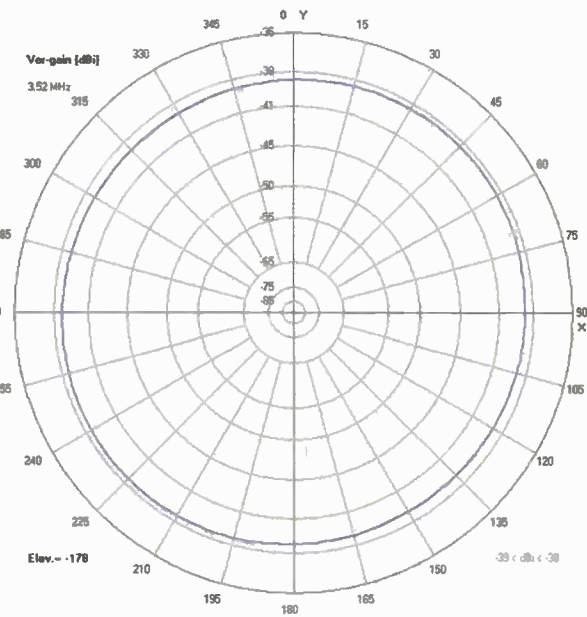
RR

Odkazy

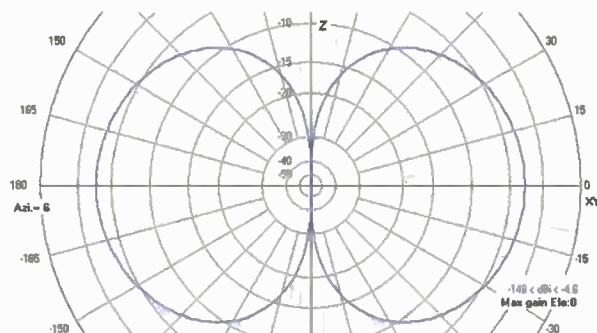
[1] Terman, Frederick: Radio Engineer's Handbook. 1st Ed. (New York: McGraw-Hill, 1943), str. 814-815.



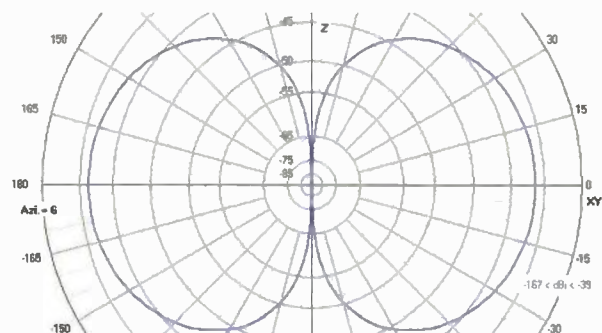
Obr. 2. Horizontální vyzařovací diagram Alfordovy smyčky pro signály s horizontální polarizací



Obr. 4. Horizontální vyzařovací diagram Alfordovy smyčky pro signály s vertikální polarizací



Obr. 3. Vertikální vyzařovací diagram Alfordovy smyčky pro signály s horizontální polarizací



Obr. 5. Vertikální vyzařovací diagram Alfordovy smyčky pro signály s vertikální polarizací

Vysíláme na radioamatérských pásmech – CI

Závodit? Samozřejmě ano! Ale jak?



Obr. 1. OK1RKZ – radioklub Kamenné Žehrovice

Když se podíváte na dnešní provoz na pásmech (kromě závodů), můžete směle konstatovat, že je velmi slabý. Začátečnické pásmo 80 m vesměs zeje v telegrafní části prázdnou, v těch několika Hz vymezených pro digitální módy jakbysmet. Na fonii uslyšíte – mimo malého počtu stanic ze sousedních států – dopoledne jen několik úzce zaměřených kroužků, probírajících témata hodně vzdálená od radioamatérské problematiky.

Pásmo od 15 m výše na tom nejsou o mnoho lépe, navíc jejich otevření je za současného stavu sluneční činnosti (a to nejsme daleko od maxima tohoto cyklu) jen krátkodobé, pokud vůbec otevřena jsou. Zbývají tedy pásma 7 až 18 MHz; vyjma toho posledního je sice provoz téměř nepřetržitý, ale když budete pracovat několik dnů, zjistíte, že těch aktivních stanic není zase tak mnoho – po několika dnech se zaslechnuté značky začnou opakovat. A korespondovat s někým podruhé, potřeť (příčemž málokdy je odpovědi něco jiného než report), to vás určitě brzy přestane bavit.

Pochopitelně, každý měsíc se na pásmech objeví nějaká zajímavá expediční stanice – pokud je z nějaké vzdálené lokality, pak navázat spojení s ní chce mít velké štěstí nebo již delší praxi. Nepředpokládám, že většina začínajících amatérů používá větší koncové stupně – mluvíme o běžném radioamatérovi, který před časem složil zkoušky, získal povolení vysílat a má zájem pod vlastním volacím znakem a s „obyčejným“ transceiverem za asi 20 000 Kč (oj – kdybychom takové měli před 40 a více lety!) navázat co nejvíce spojení.

Pokud se týče práce s expedicemi, ta vyžaduje znalost taktiky, vědět „jak na

ně“, což lze získat jen praxí, stěží se dá vyčíst z článků, byť dobře míněných. Nováčky v palbě stanic, používajících výkony od 1 kW výše, nemají mnoho šancí a většinou se ani v ohromném rušení stanic v okolí kmitočtu expediční stanice (a mnohdy expediční stanici úmyslně rušících) nevyznají.

Téměř každý víkend se však na pásmech vynoří stovky stanic, které v běžném provozu prakticky neuslyšíte, jak volají CQ TEST, někdy WSEM a navazují rychlá, krátká spojení. Těch závodů, kterých se účastní, je každý víkend několik a právě v nich je největší šance navázat v relativně krátké době mnoho zajímavých spojení. Problém je v tom, že se začátečníci obvykle bojí nějakou stanici zavolat; někdy ani nevědí, jaké to čísla nebo skupiny písmen si stanice vyměňují, většina stanic – pokud se týká telegrafního provozu – vysílá velice rychle (naštěstí většinou jen čísla), a mylně se domnívají, že taková stanice ani neodpoví. Omyl, odpoví a ráda – mnohdy právě spojením s vaší stanicí získá nový násobič nebo alespoň vylepší bodové skóre. Nemá také smysl snažit se hned v prvních závodech o nějaké dobré umístění. Vždy je nejpodstatnější mít z provozu radost bez ohledu na navázaný počet spojení.

Jaké zařízení je vhodné?

K závodům je třeba mít také odpovídající zařízení. Rozhodně to bude transceiver a ujišťuji vás, že i s tím nejjednodušším se mohou navázat stejná spojení jako se špičkovým, jehož cena je v korunách šesticiferná. Na druhé straně dnešní „miniaturní“ přístroje, vyžadující několik různých manipulací pro změnu většiny parametrů + manuál u ruky, jsou pro závody nevhodné (FT-817, 857, 897). Já z těch běžně dostupných doporučuji FT-450, IC-718, některou z verzí TS-480 (příp. TS-590, která je ovšem podstatně dražší), příp. DX-SR8T/E. Ovšem vyhoví i obdobné typy vyráběné dříve a koupené i telegrafním provozu, si musí dát pozor. Tam je úzký telegrafní filtr nezbytností a pořídit jej současně při koupi TRXu je obvykle výhodnější, než jej kupovat později samostatně. Pokud je na výběr i kmitočet, na kterém má filtr pracovat

(např. u TS-850), vhodnější je vždy vybrat ten pro vyšší mf kmitočet. Propustnou šířku pásma je vhodné zvolit co nejužší, šířka 500 Hz je pro závody již příliš široká, já sám pracuji nejraději se 300 Hz. Dotahovat selektivitu pomocí DSP a používat jen SSB filtr je nevhodné. AVC ovlivňuje signál, i když je stanice vzdálená třeba 1 kHz, při dobrém filtru o stanici, která je mimo propustné pásmo, vůbec nevíte.

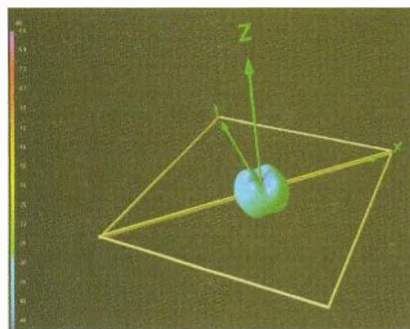
Pro ty, co se chtějí zabývat telegrafií, ještě jedno doporučení – naučte se hned z počátku používat automatický klíč. Všechny novější transceivery již mají elektroniku klíče integrovanou, jediným problémem je získat použitelnou pastičku. Opět nemá smysl poohlížet se hned po těch drahých, já sám používám jednoduchou vyrobenou z polarizovaného relé, která dnes již pamatuje 50 let a má za sebou více jak 300 000 spojení.

Dnes již skoro každý vlastní nějaký počítač, do závodů je dobré pořídit si nějaký závodní program a naučit se jej dobře obsluhovat. Na počítače nejsou kladeny žádné velké nároky, spíše naopak – dnešní USB porty potřebují složitější interface k propojení s TRXem. Zato stará 386ka zachráněná před sešrotováním pracuje výborně s programem N6TR, pro lepší počítače a OS Windows je výběr programů bohatý – od volně dostupných TR4W přes N1MM až po složitě a drahé, kterých je mnoho. Nesnažte se zkoušet každou chvíli jiný, podstatné je naučit se obsluhovat dokonale jeden, se kterým se dokonale sžijete a nebudete muset přemýšlet, na kterou klávesu v daném okamžiku sáhnout. Dobré umístění nezajistí žádný program, to je otázka zručnosti operátora. Pokud používáte notebook, pak vždy s externí klávesnicí! Jednak práce s ní je snazší a pak – vyměnit externí klávesnici je rychlejší a lacinější, než sehnat opravu té na NB – „v zápalu boje“ se obvykle klávesy nešetří.

Svůj klíč mějte nastaven vždy na takovou rychlost, kterou dokážete zvládnout při vysílání i příjmu. V závodech se používá nejčastěji 25 – 35 WPM, což odpovídá asi 120 – 175 zn/min, a to se při zápisu čísel dá zvládnout. Většina programů umožňuje měnit rychlost vysílání při reportu, vysílání TEST atp., ale pokud tuto možnost přezene, je to ke škodě věci. Větší rozdíly jak 6 – 9 WPM v jedné relaci působí spíše negativně.

(Dokončení příště)

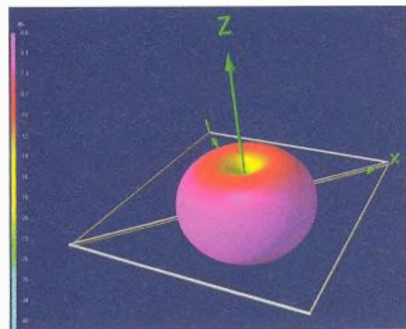
QX



Obr. 6. Trojrozměrné zobrazení vyzářovacího diagramu Alfordovy smyčky pro signály s vertikální polarizací

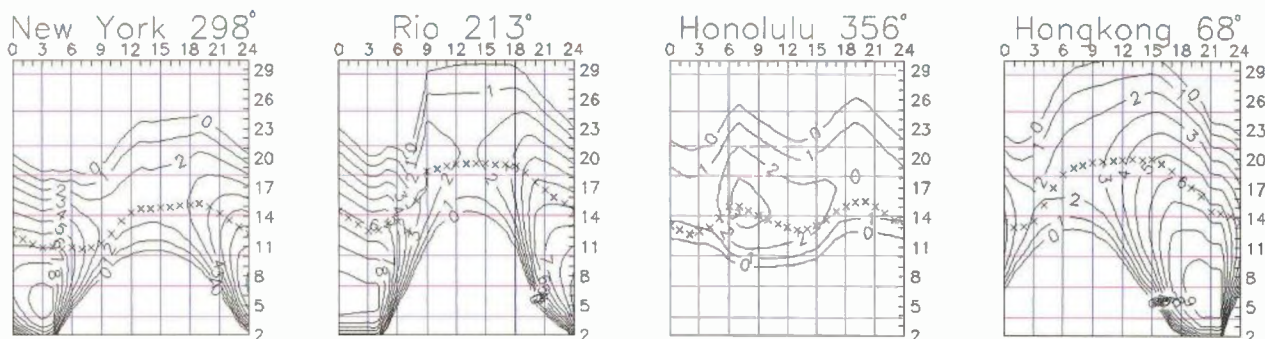


Obr. 7. Trojrozměrné zobrazení vyzářovacího diagramu Alfordovy smyčky pro signály s horizontální polarizací



Obr. 8. Vyzářovací diagram Alfordovy smyčky pro signály s horizontální polarizací, ovšem ve zmenšeném měřítku

Předpověď podmínek šíření KV na červenec



Během letošního jara, rok před očekávaným maximem jedenáctiletého cyklu, rychlost růstu i míra kolísání sluneční aktivity klesly, což je vhodná příležitost ke střídání revizi předpovědi dalšího vývoje. Opravdu jen velmi střídání, protože nedošlo k žádné zásadní změně ve vývoji a nadále jsme svědky celé škály energeticky zajímavých jevů od protonových erupcí na Slunci po poruchy v zemské magnetosféře a ionosféře.

Tradiční zdroje pravidelných předpovědí uvádějí pro červenec následující čísla: SWPC $R = 76,1 \pm 8$, IPS $R = 76,0$, SIDC $R = 68$ s použitím klasické metody a $R = 83$, získané metodou kombinovanou. Mediálně známý Dr. D. H. Hathaway z NASA Marshall Space Flight Center uvádí $R = 56,9$. Pro naše potřeby použijeme číslo skvrn $R = 96$, resp. sluneční tok $SF = 142$ s.f.u. Mělo by vyjádřit zejména míru předpokládaného působení zářivé i částicové složky přicházející sluneční

energie na ionosféru Země. Sezóna sporadické vrstvy E obvykle začíná již v poslední dubnové dekádě, s možným vlivem přiletu meteorického roje Eta-Akvarid, které ale dorazily později, s maximem 5. 5. 2012 při ZHR = 69. Aktivita sporadické vrstvy E byla během letošního května slabší než obvykle a i chod směru otevírání pásma 50 MHz (z N – S na E – W) se proti minulým rokům opozdil. Přítomnost Es je zde klíčová, samotná sluneční radiace dosud nestačí k šíření signálů DX prostřednictvím ionosférické vrstvy F2 a nejčastěji jde o kombinaci se sporadickou vrstvou E ve středních zeměpisných šířkách.

Po masívní poruše z 23. – 24. 4. zůstaly podmínky šíření KV degradovány až do 27. 4. V květnu měla na podmínky šíření výrazný vliv protonová sluneční erupce ze 17. 5. v 01.47 UTC. Byla spojena s výrazným zvýšením koncentrace i rychlosti slunečních protonů v okolí Země, je-

jichž přilet sám o sobě způsobil velké zhoršení podmínek šíření ještě týž a následující den. Ty byly příznivější např. 6. – 8. 5., 16. 5. a 19. 5. a naopak zhoršené 2. – 3. 5. a 9. – 13. 5.

V červenci jsou rozdíly mezi denními a nočními hodnotami použitelných kmitočtů malé, útlum v dolních částech ionosféry nad severní polokoulí Země naopak velký a malý je i počet současně otevřených pásem. O to větší význam mají tzv. pásma WARC. Jediná větší „díra“ zůstává mezi 3,5 a 7 MHz, a proto trvá snaha získat přiděl kolem 5 MHz.

K závěru patří přehled indexů aktivity z května 2012 – slunečního toku $SF = 121,6$ s.f.u., čísla skvrn $R = 69,0$ a geomagnetického indexu z observatoře Wingst $A = 9,7$. Poslední R dosadíme do vzorce pro vyhlazený průměr a za listopad 2011 dostaneme $R_{12} = 61,1$.

OK1HH

Červenec ve znamení radioamatérské aktivity z ostrovů na celém světě



Ostrov St. Paul (NA-094) leží na rozeklaném severovýchodním pobřeží Nového Skotska. Je tři míle dlouhý a jednu míli široký. Je horatý s vysokými útesy a jsou zde jen dvě místa, kde se dá bezpečně přistát. neobývají ho žádné suchozemští savci, ale je domovem

mnoha mořských ptáků. St. Paul je místem s dramatickým a nepočítatelným počasím; z ničeho nic začne pršet, vítr mění směr bez varování, a to vše několikrát v průběhu dne. Větší část dní v roce je tento neobývaný ostrov zahalený do modrošedé mlhy.

Naposledy byli radioamatéři aktivní z tohoto nehostinného místa před sedmi lety. Pro svoji nynější expedici si ho vybrali Oscar, EA1DR, George, EA2TA, Simon, IZ7ATN, Col, MMONDX, Kevin, VE3EN, Steve, VE3FM, Victoria, SV2KBS, Bjorn, SM0MDF, a Mike, AB5EB. Příprava expedice trvala několik měsíců. Skupina bude aktivní od 26. července do 1. srpna, pracovat bude všemi druhy provozu, na všech pásmech, se zvláštním důrazem na 6 m a 160 m. Budou vysílat pod značkou CY9M.

Ze severoamerických ostrovů bude v červenci zastoupený i Svatý Křištof, NA-104. V době od 12. července do 2. srpna odtamtud bude ze svého prázdinnového QTH vysílat pod značkou V47JA John, W5JON. Dále AD5WB z ostrova Galveston,

NA-143. A skupina amerických radioamatérů se ozve pod značkou V31MX z Belize, z ostrova Cay Caulker, NA-073 (23. až 31. července).

Z evropských ostrovů budou v době IOTA contestu zastoupeny známé i méně známé ostrovy (v přehledu i 1 turecký, AS):

MM3KBU/p	EU-008, Lismore	IJ7A	EU-073, San Pietro
GM7A	EU-008, Gigha	EJ0PL	EU-103, Little Saltee
G0VJG	EU-011, St. Mary	DA0T	EU-127, Neuwerk
GJ2A	EU-013, Jersey	DG5LAC/p	EU-129, Usedom
SA1A	EU-020, Gotland	SA6G/7	EU-137, Ven
IS0/OM8A	EU-024, Sardinia	CR6W	EU-150, Insua
TM7T	EU-039, Chausey	9A0D	EU-170, Zirje
IB0R	EU-045, Ventotene	TC0HA	AS-154, Giresun
DM50IOTA	EU-047, Borkum		

K mistrovství Evropy ve fotbale

Při příležitosti letošního mistrovství Evropy v kopané jsou v době od 1. 6. do 5. 7. aktivní z Polska a Ukrajiny stanice se speciálními prefixy SN, HF, 3Z, EM, EN, EO. Za spojení s nimi + při splnění dalších



podmínek jsou vydávány 3 radioamatérské diplomy: 1) Polish EFC 2012, 2) UR-SP EFC 2012, 3) KRARS EFC 2012. Jejich podrobné podmínky naleznete souhrnně např. na adrese:

www.rivieraarc.org.uk

OK1DVA

Kalendář závodů na červen a srpen (UTC)

14.7.	OM Activity	CW/SSB	04.00-06.00
14.-15.7.	IARU HF Championship	CW+SSB	12.00-12.00
15.7.	National Mountain Day HB9	CW	06.00-10.00
21.7.	HK Independence Day	CW+SSB	00.00-24.00
21.-22.7.	NA RTTY Party	RTTY	18.00-06.00
22.7.	RSGB Low Power	CW	09.00-16.00
28.-29.7.	RSGB IOTA Contest	CW+SSB	12.00-12.00
4.8.	SSB liga	SSB	05.00-07.00
4.8.	European SW Champ.	CW+SSB	12.00-24.00
4.-5.8.	North American Party	CW	18.00-06.00
5.8.	Provozní aktiv KV	CW	05.00-06.00
6.8.	Aktivita 160	SSB	19.30-20.30
11.8.	OM Activity	CW/SSB	04.00-06.00
11.-12.8.	European Contest (WAEDC)	CW	00.00-24.00
12.8.	Aktivita 160	CW	19.30-20.30
18.-19.8.	Keymen's Club (KCJ)	CW	12.00-12.00
18.-19.8.	RDA Contest	CW+SSB	08.00-08.00
18.-19.8.	SARTG WW RTTY	RTTY	viz podm.
18.-19.8.	N.A. Party	SSB	18.00-06.00
18.-19.8.	CVA DX Contest	CW	21.00-21.00
21.8.	Závod SNP	CW+SSB	04.00-06.00
25.-26.8.	SCC RTTY Contest	RTTY	12.00-12.00
25.-26.8.	YO DX Contest	CW+SSB	12.00-12.00
25.-26.8.	CVA DX Contest	SSB	21.00-21.00

Mimo těchto závodů probíhají ještě aktivity (party) některých států USA: Maryland 11. – 12. 8. Hawaii, Kansas a Ohio 25. – 26. 8. Zájemci najdou podrobné podmínky na internetové adrese www.hornucopia.com/contestcal/contestcal.html. Upozorňuji na změnu v bodování jednotlivých spojení u závodu IOTA: Vzájemná spojení stanic, kde žádná z nich není na ostrově, se od letošního roku hodnotí pouze dvěma body, a pokud někdo vyjede na ostrov, doporučuji pročíst celé podmínky, změn tam mají více. Termíny uvádíme bez záruky, podle údajů dostupných v začátku června t.r. Aktualizované podmínky (pokud je jejich zdroj dostupný) většiny závodů jsou uloženy na internetových stránkách www.aradio.cz, odkud si je můžete stáhnout a vytisknout. Doporučujeme však vzhledem k častým změnám, uveřejňovaným těsně před termínem závodu, kontrolu na internetových stránkách jednotlivých pořadatelů.

Adresy k odesílání deníků přes internet

CVA DX: cw@craec.org, ssb@craec.org
 EU HF Champ.: euahf@hamradio.si
 HK Contest: hk3cw@lcrs.org.co
 IARU Champ.: iaruhf@iaru.org
 IOTA: iota.logs@rsghfcc.org
 KCJ: kcj-log@kcj-cw.com
 N.A. Party: viz www.ncjweb.com
 OM Activity: omactivity@gmail.com
 Prov. aktiv: pfes
http://kvpa.unas.cz/nahrat_log.php
 RDA: rx3rc@rdaward.org
 RSGB LP: lowpower.logs@rsghfcc.org
 SARTG RTTY: contest@sartg.com
 SSB liga: ssbliga@nagano.cz
 WAEDC: wacw@dxhf.darc.de
 YO DX: yodx-contest@hamradio.ro
 Závod SNP: om3kfv@zoznam.sk

QX

Kalendář závodů na srpen (UTC)

1.8.	MOON Contest	144 MHz	18.00-20.00
4.8.	Sommer - BBT	1,3 GHz	07.00-09.30
4.8.	Sommer - BBT	2,3-5,7 GHz	09.30-12.30
4.-5.8.	QRP závod ¹⁾	144 MHz	14.00-14.00
4.-5.8.	PZK Contest	50, 144 MHz a výše	14.00-14.00
5.8.	Letní QRP závod ²⁾	144 MHz	07.00-13.00
5.8.	Sommer - BBT	432 MHz	07.00-09.30
5.8.	Sommer - BBT	144 MHz	09.30-12.00
5.8.	Alpe Adria VHF Contest	144 MHz	07.00-15.00
7.8.	VKV aktivita; NA ³⁾	144 MHz	17.00-21.00
8.8.	MOON Contest	432 MHz	18.00-20.00
9.8.	VKV aktivita; NA	50 MHz	17.00-21.00
11.8.	FM Pohár	145 a 432 MHz	08.00-10.00
11.8.	Mistr. ČR děti ⁴⁾	145 a 432 MHz	08.00-10.00
14.8.	VKV aktivita; NA	432 MHz	17.00-21.00
16.8.	VKV aktivita; NA	70 MHz	17.00-21.00
19.8.	Provozní aktiv	144 MHz-76 GHz	08.00-11.00
19.8.	Mistr. ČR děti ⁴⁾	144 a 432 MHz	08.00-11.00
19.8.	DUR Activity Cont.	1,3 GHz a výše	08.00-11.00
21.8.	VKV aktivita; NA	1,3 GHz	17.00-21.00
28.8.	VKV aktivita; NA	mikrovln. pásma	17.00-21.00

¹⁾ Deníky na: kvlogy@crk.cz

²⁾ Deníky na: qrp@seznam.cz

³⁾ NA – Nordic Activity Contest

⁴⁾ Hlášení na OK1OHK

DVA

✚ Silent key OK1GW



Dr. Antonín Glanc,
OK1GW,
na snímku z Amatér-
ského radia 8/1990

V pondělí 14. 5. 2012 jsme se naposledy rozloučili v kostele Všech svatých v Libochovicích s Dr. Antonínem Glancem, OK1GW. Zemřel 6. 5. 2012 ve věku 80 let. V letech 1990 až 1991 byl prezidentem Československého radioklubu.

Tonda, OK1GW, byl dlouholetým spolupracovníkem našeho časopisu, v kterém začal publikovat počátkem 60. let minulého století. Od r. 1975 do r. 1991 byl členem redakční rady, v letech 1974 až 1976 vedl v časopise pravidelnou rubriku „SSTV – Amatérská televize“.



SSTV signál
stanice OK1GW
z roku 1975

Radioamatérství se Tonda věnoval od mládí, stejně tak jako skautingu. V Libochovicích založil v 50. letech kolektivku OK1KAI, která žila skautským duchem. Po roce 1989 se mohl rádiiovému skautingu věnovat naplno, zúčastňoval se osobně i v éteru skautských jamboree.

V posledních letech často publikoval v měsíčníku „Libochovické noviny“. Nejen o radioamatérech, ale hlavně příspěvky k historii, o přírodě a osobní vzpomínky. Jeho články si můžete přečíst na www.noviny.libochovice.cz.

Dr. Antonín Glanc, OK1GW, byl výraznou osobností radioamatérského světa. Vzpomínáme.



Logo skautské
stanice
OK1GW/J,
vyslané
v posledních
letech SSTV
na KV

OK1PFM

Pozvánka k účasti ve švýcarské soutěži National Mountain Day 2012

Třetí neděli v červenci se tradičně koná švýcarská radioamatérská soutěž „National Mountain Day“ (NMD), letos tedy 15. července od 6 do 10 h UTC CW v pásmu 3,5 MHz. Stanice OK a OM soutěžit nemohou, ale mohou se zúčastnit jako protistanice a Švýcarům dávat body (předáváme jen RST).

Podrobnosti o této zajímavé, technicky i fyzicky náročné soutěži jsme přinesli v PE 7/2007 a jsou na nmd.uska.ch

Soutěžící švýcarské stanice musí vysílat v polních podmínkách, v nadmořské výšce min. 800 m, napájení z baterií a celková hmotnost veškerého zařízení (včetně antény) může být max. 6 kg.

Urs, HB9ABO, využívá k upevnění svého Inv Vee koníka (viz obr., ten se do celkové hmotnosti výbavy nezapočítává). Popis jeho zařízení na QSL-lístku je celkem jasný, jenom dodejme, že TRX, zesilovač 200 W i elbug jsou domácí výroby. Pokud vám jazyk připadá trochu záhadný, vězte, že popis je v rétoro-mánštině, jednom z úředních jazyků ve Švýcarsku.

DVA





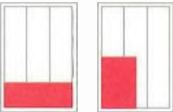
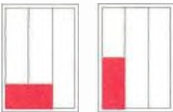

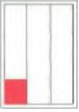
Mountain Day 2011

HB9ABO

Val Müstair

Staziun:	
dipol inelina, 29 m coax, suas da trar sü	1125 g
transceiver fabricat ajen cun:	
pult da manipular, com, elbug	513 g
battaria transceiver	245 g
amplificatur final 200 W	1247 g
battaria PA 41 V LiPo	1956 g
pais total	5086 g

CENÍK INZERCE (černobílá/barevná - Kč bez DPH)

 <p>celá strana 171 x 264 mm 19.600/23.520 Kč</p>	 <p>1/2 strany 171 x 130 mm 9.800/11.760 Kč</p>	 <p>2/3 strany 112 x 264 mm 13.060/15.670 Kč</p>
 <p>1/3 strany 171 x 85 mm 54 x 264 mm 112 x 130 mm 6.530/7.830 Kč</p>	 <p>1/4 strany 171 x 63 mm 83 x 130 mm 4.900/5.880 Kč</p>	 <p>1/6 strany 112 x 63 mm 54 x 130 mm 3.260/3.910 Kč</p>
 <p>1/9 strany 54 x 85 mm 2.170/2.600 Kč</p>	 <p>1/12 strany 54 x 63 mm 1.630/1.950 Kč</p>	<p>Specifické rozměry po dohodě 44/53 Kč/cm² Banner na www.aradio.cz 5.000 Kč/měsíc.</p>
<p>Obálka: vnitřní strana: 43.000 Kč, IV. strana: 53.000 Kč.</p>		
<p>Slevy při opakované inzerci Ve 3 a více číslech se sazba snižuje o 5 % V 6 a více číslech se sazba snižuje o 10 % Při celoroční inzerci se sazba snižuje o 20 %</p>		<p>Podklady pro inzerci přijímáme ve výstupních formátech PDF, JPG v rozlišení 150 LPI (300 DPI) na adrese inzerce@aradio.cz</p>
<p>Kontakt: AMARO, spol. s r. o., Karlovo nám. 30, 120 00 Praha 2; tel. 257 317 313; e-mail: pe@aradio.cz</p>		

- Výhodné předplatné Praktické elektroniky AR na rok 2012 - dva výtisky ročně zdarma

- Výrazná sleva na obě DVD se staršími ročníky již od roku 1945 až do roku 2010. www.aradio.cz

- Sleva na nové CD 2011 (v prodeji od 1. 3. 2012)



Seznam inzerentů v PE 07/2012

A+A - plastové krabičky aj. X	ERA components - elektronické součástky VI
AEC - TV technika VII	ESDshop - pájení, antistatika X
ANTECH - měřicí přístroje, STA a TKR VI	FC service - nářadí, pracovní stoly IV. ob.
AV-ELMAK - elektronické přístroje VII	FISCHER - elektronické součástky XII
A.W.V. - zdroje IV	FLAJZAR - stovebnice a kamery V
BS ACOUSTIC - ozvučovací technika X	GM electronic - součástky, nářadí, přístroje .. VIII, IX
BUČEK - elektronické součástky VI	JD+VD - el. součástky, ferity XI
DEXON - reproduktory X	KONEKTORY BRNO - konektory XI
DIAMETRAL - elektronické přístroje III	KPZ electronics - pájení a osazování XI
ELEX - elektronické součástky aj. XII	P + V ELECTRONIC - vinuté díly pro elektroniku... VII
ELFA - optoelektronická čidla XII	PaPouch - měřicí a komunikační technika X
ELNEC - programátory aj. XI	PRODANCE - ozvučovací technika II
ELTIP - elektrosoučástky XI	SPEZIAL ELECTRONIC - frézky, WiFi I + III. ob.

LPKF

Laser & Electronics

Frézky na výrobu DPS

- profesionální prototypy
- malosériová výroba
- vhodné i pro školy



LPKF ProtoMat E33

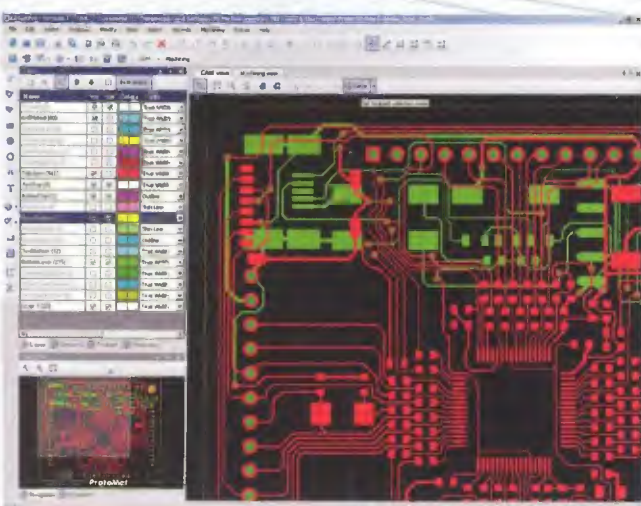
základní typ z řady ProtoMat
prac. oblast 229 x 305 x 10 mm,
mech. rozlišení $\pm 0,8 \mu\text{m}$ ($\pm 0,04$ mil),
opakovatelnost $\pm 5,0 \mu\text{m}$ ($\pm 0,02$ mil),
otáčky 33.000 ot/min, manuální výměna
nástrojů, rychlost pohybu hlavy max. 50
mm/s, rychlost vrtání 100 otvorů/min

Software LPKF CircuitPro

je součástí dodávky frézky a je určen pro ovládání frézky a importu nebo úpravy dat. Import dat ve formátech Gerber (Standard i Extended), Excellon NC Drill, Sieb & Meier NC Drill, HP-GL™, DPF, DXF, ODB ++R.

- frézování a vrtání DPS
- vyřezávání DPS (včetně odlamov. mustků)
- gravírování čelních panelů, štítků

Software umožňuje volbu způsobu výroby desky (od systému dělicích čar až k přesné podobě DPS tak, jako je na návrhu), úpravy návrhu a multiplikaci motivu na základní materiál.



spezial electronic

VÝROBNYCH • NÁDRAŽKOVÝCH • ZAŘÍZENÍ SKLIZŇA • POKRÁDENSTVÍ • ENGINEERING

spezial electronic

Wuttke Immobilien KG, o.s.

Šárecká 22/1931

160 00 Praha 6

Česká republika

tel.: 233 326 621

233 326 622

fax: 233 326 623

e-mail: spezial@spezial.cz

internet: www.spezial.cz



FC SERVICE

spol. s r.o.

Zbraslavské nám. 458, 156 00 Praha 5 - Zbraslav;
tel.: 603 436 785, E-mail: fc@fc.cz;
bernstein@fc.cz; elabo@fc.cz;



BERNSTEIN

Nářadí pro profesionály

Komplexní
vybavení
elektrolaboratoří,
zkušeben
a velinů

ELABO